

# علوم رایانش و فناوری اطلاعات

نشریه علمی انجمن کامپیوتر ایران

صاحب امتیاز: انجمن کامپیوتر ایران  
مدیر مسئول: دکتر جعفر حبیبی  
سردیبیر: دکتر احمد خونساری

## شورای علمی

قاسم جابری پور، دانشیار دانشگاه شهید بهشتی  
جعفر حبیبی، دانشیار دانشگاه صنعتی شریف  
امیر حسین جهانگیر، دانشیار دانشگاه صنعتی شریف  
شاهین حسابی، دانشیار دانشگاه صنعتی شریف  
سید حمید حاجی سید جوادی، دانشیار دانشگاه شاهد  
مسعود رهگذر، دانشیار دانشگاه تهران  
مهدی صدیقی، دانشیار دانشگاه صنعتی امیرکبیر  
和尚 فیلی، دانشیار دانشگاه تهران  
عبدالرسول قاسمی، دانشیار دانشگاه خواجه نصربالدین طوسی  
مصطفود عباسپور، دانشیار دانشگاه شهید بهشتی  
محمد عبدالله ازگمی، دانشیار دانشگاه علم و صنعت ایران  
مهدی کارگهی، دانشیار دانشگاه تهران  
مازیار گودرزی، دانشیار دانشگاه صنعتی شریف  
ناصر مزینی، دانشیار دانشگاه علم و صنعت ایران

محمد حسین یغمایی مقدم، استاد دانشگاه فردوسی مشهد  
مرتضی آنالویی، دانشیار دانشگاه علم و صنعت ایران  
محسن ابراهیمی مقدم، دانشیار دانشگاه شهید بهشتی  
حسین اسدی، دانشیار دانشگاه صنعتی شریف  
احمد اکبری ازیرانی، دانشیار دانشگاه علم و صنعت ایران  
رضا برنگی، دانشیار دانشگاه علم و صنعت ایران  
حسین پدرام، دانشیار دانشگاه صنعتی امیرکبیر  
نصرالله مقدم چرکری، دانشیار دانشگاه تربیت مدرس

## همکاران دفتر نشریه

لیلا نورانی  
مهردی دولتی

## نشانی

تهران، خیابان آزادی، ضلع غربی دانشگاه صنعتی شریف، کوچه شهید ولی‌ا... صادقی، پلاک ۲۶، طبقه ۴، واحد ۱۶، دفتر انجمن کامپیوتر ایران، نشریه علوم رایانش و فناوری اطلاعات  
تلفن: ۰۳۲۰۰۰-۸۷۲۲۴-۶۶۰۳۲۰۰  
دورنگار: ۰۲۱۱۴۹۶

پست الکترونیکی: csitjour@gmail.com  
نشانی سایت: <http://csi.org.ir/fa/publication/archive/name/csit>

مقالات درج شده در این نشریه صرفاً بیانگر نظرات مؤلفین آنها است و مسئولیت صحت و سقمه داده‌ها و نتایج بر عهده آنها است.

لیتوگرافی، چاپ و صحافی:

## فهرست مقالات

- دسته‌بندی و حاشیه‌نویسی همزمان تصویر با استفاده از مدل‌های احتمالاتی موضوع و کدگذاری LLC کلمات بصری ..... ۱  
سید نوید محمدی فومنی و احمد نیک‌آبادی
- بهبود ترجمه ماشینی مبتنی بر قاعده با استفاده از قواعد نحوی آماری ..... ۱۲  
حکیمه فدائی، هشام فیلی و فرناز قاسمی تودشکی
- پیش‌بینی رفتار مشتریان بیمه از طریق ترکیب تکنیک‌های داده کاوی ..... ۲۳  
احسان مختاری، سید ابوالقاسم میرروشنل
- مدیریت سیستمی دمای پردازندۀ‌های چند‌هسته‌ای برای زبان‌های موازی مبتنی بر زمانبند ربايش کار ..... ۳۰  
حمید گوهرجو، مرتضی مرادی و حمید نوری
- یادگیری عمیق در خلاصه‌سازی چندسندی متون فارسی ..... ۳۹  
شیما محراجی، حمیدرضا احمدی‌فر و سید ابوالقاسم میرروشنل
- یک سیستم توصیه‌گر در بستر تجارت اجتماعی برای صنعت گردشگری: مبتنی بر شباهت، جوامع اجتماعی، اعتماد و شهرت ..... ۴۷  
لیلا اسماعیلی، سید علیرضا هاشمی گلپایگانی و زینب زنگنه مدار



# دسته‌بندی و حاشیه‌نویسی همزمان تصویر با استفاده از مدل‌های احتمالاتی موضوع و کدگذاری LLC کلمات بصری

احمد نیک‌آبادی

سید نوید محمدی فومنی

دانشکده مهندسی کامپیوتر و فناوری اطلاعات، دانشگاه صنعتی امیرکبیر، تهران، ایران

## چکیده

تاکنون تلاش‌های زیادی به منظور استفاده از مدل‌های موضوعی نظریه مدل احتمالاتی LDA جهت دسته‌بندی و حاشیه‌نویسی همزمان تصاویر گرفته است. اخیراً مدل‌های موضوع دیگری بر مبنای شبکه‌های عصبی احتمالاتی نظریه SupDocNADE معرفی شده‌اند که نتایج خوبی در مدل‌کردن داده‌های چندمقداری ارائه داده‌اند. در این مدل‌ها کلمات حاشیه‌نویسی نیز در کنار کلمات بصری تعبیه شده و به عنوان بردار ویژگی برای شبکه در نظر گرفته می‌شود. عدم تعادل در تعداد کلمات بصری و حاشیه‌نویسی سبب می‌شود تا سهم کلمات حاشیه‌نویسی برای بازنمایی در لایه پنهان شبکه عصبی مورد استفاده در این مدل، بسیار کمتر از کلمات بصری باشد. برای حل این مشکل در این مقاله، کلمات حاشیه‌نویسی در هیستوگرام بردار ویژگی وزن‌دهی می‌شوند. با افزودن قابلیت وزن‌دهی ورودی‌ها می‌توان از کدگذار LLC که چندین کلمه مشابه در فرهنگ لغت را بصورت وزن‌دار در ساخت بردار ویژگی دخیل می‌کند، برای تولید کلمات بصری استفاده نمود. با آزمایش مدل پیشنهادی بر روی پایگاه داده‌های UIUC\_Sports و LabelMe ۵ درصدی در معیار F که چندین کلمه مشابه در فرهنگ لغت را بصورت وزن‌دار در ساخت بردار ویژگی دخیل می‌کند، برای تولید ۱ درصدی در دقت دسته‌بندی نسبت به مدل‌های موجود مشاهده می‌شود.

**کلمات کلیدی:** دسته‌بندی و حاشیه‌نویسی تصویر، مدل‌های موضوع، مدل احتمالاتی، شبکه عصبی، کدگذار LLC

## ۱- مقدمه

[۱] تخصیص پنهان دیریکله که به اختصار LDA نامیده می‌شود، مدل مولدی است که ابتدا در زمینه پردازش زبان‌های طبیعی معرفی شد. در این مدل هر سند بصورت توزیع چندجمله‌ای روی موضوعات تعریف شده است. از طرفی هر موضوع یک توزیع چندجمله‌ای روی کلمات می‌باشد. لازم به ذکر است که موضوعات بین همه سندها مشترک بوده ولی توزیع موضوعات برای هر سند، خاص آن سند می‌باشد [۴].

استفاده از مدل‌های احتمالاتی موضوع در بینایی ماشین با تعریف "کلمات بصری"<sup>۱</sup> آغاز شد [۵]. با استخراج کلمات بصری، هر تصویر تبدیل به یک سند می‌شود و حال می‌توان با آموزش LDA روی کیسه‌ای از کلمات بصری، تصاویر را مدل کرد. LDA یک مدل بدون ناظر بوده و برای کاربردهایی مانند دسته‌بندی مناسب نمی‌باشد. از این‌رو مدل تخصیص پنهان دیریکله با ناظر sLDA معرفی شد که با مدل کردن برچسب هر کلاس به همراه کلمات بصری، سبب استخراج ویژگی تمایزی می‌شود [۶]. اولین مدل جدی که دسته‌بندی و حاشیه‌نویسی را بطور

گسترش روزافزون داده‌ها و ذخیره‌ی آنها بصورت دیجیتال مدیریت و سازماندهی آنها را به یک امر مهم تبدیل کرده است. در این میان، طبقه‌بندی این داده‌ها و اطلاعات به طور خودکار به یک چالش مهم تبدیل شده است. تصاویر و متون حجم عظیمی از این داده‌ها را به خود اختصاص داده‌اند. دسته‌بندی و حاشیه‌نویسی تصاویر از جمله مسائل پرکاربرد در حوزه پردازش تصاویر هستند. در مسأله دسته‌بندی تصاویر، هدف تعیین دسته یک تصویر ورودی از میان مجموعه‌ای از دسته‌های از قبل تعریف شده است. در مسأله حاشیه‌نویسی سعی می‌شود که مجموعه‌ای از کلمات کلیدی مرتبط با یک تصویر استخراج شود. مدل‌های احتمالاتی موضوع<sup>۲</sup> یا تخصیص پنهان دیریکله<sup>۳</sup> را می‌توان به عنوان یکی از معروف‌ترین رویکردهای در مدل کردن داده‌های چندمقداری<sup>۴</sup> دانست

فرهنگ لغات جهت بازنمایی هر تکه از تصویر. حال با استفاده از روش LLC چندین کلمه بصری بصورت وزن دار در بازنمایی تکه‌های استخراج شده از تصویر شرکت می‌کنند.

در مدل SupDocNADE کلمات حاشیه‌نویسی و کلمات بصری کنار هم تعییه شده و بردار ورودی را تشکیل می‌دهند. از طرفی کلمات بصری بسیار بیشتر از کلمات حاشیه‌نویسی می‌باشند و این عدم تعادل سبب می‌شود تا مدل کارایی مناسبی در حاشیه‌نویسی تصاویر نداشته باشد. برای حل این مشکل، در این مقاله پیشنهاد می‌شود که کلمات حاشیه‌نویسی در هیستوگرام بردار ویژگی وزن‌دهی شود. این وزن‌دهی سبب می‌شود تا بردار کلمات حاشیه‌نویسی تاثیر مناسبی در بازنمایی پنهان مدل داشته باشند. از طرفی با افزودن قابلیت وزن دار شدن ورودی‌ها می‌توان از کدگذارهای مانند LLC به جای روش‌های سنتی کوانتیزاسیون برداری استفاده نمود.

در بخش ۲ ابتدا مدل پایه‌ای DocNADE و نحوه مدل کردن اسناد متنی شرح داده شده و سپس نحوه گسترش این مدل جهت کار با داده‌های برچسبدار معرفی می‌شود. در ادامه این بخش روش‌های مختلف کدکردن کلمات بصری شرح داده شده است. همانطور که پیشتر بیان شد عدم تعادل بین تعداد کلمات بصری و کلمات حاشیه‌نویسی سبب مشکلاتی در یادگیری کلمات حاشیه می‌شود که در بخش ۳ روش پیشنهادی جهت حل این مشکلات مطرح شده است. در بخش ۴ آزمایشات مختلفی جهت بررسی کارایی مدل انجام شده و نتایج آن مقایسه شده است. در بخش پایانی جمع‌بندی روی مطالب گفته شده و روش پیشنهادی انجام شده است.

## ۲- مبانی نظری

در این بخش ابتدا مدل‌های موضوع بر پایه شبکه‌های عصبی شرح داده شده است و سپس دو روش مورد استفاده در ساخت کلمات بصری شرح داده می‌شود و در انتهای نحوی کد کردن با استفاده از روش LLC بیان می‌شود.

### ۱-۱- مدل‌های SupDocNADE و DocNADE

در این بخش ابتدا به شرح شبکه عصبی تخمین‌گر توزیع اتورگرسیو برای اسناد (DocNADE) پرداخته شده است. سپس مدل باناظر DocNADE که برچسب کلاس را نیز مدل می‌کند شرح داده می‌شود. این مدل با دخیل کردن برچسب داده‌ها در روند آموزش ویژگی‌ها، تمایز بیشتری توسط ویژگی‌های پنهان مدل کسب می‌کند. در ادامه نحوه بهره‌برداری از اطلاعات مکانی توسط این مدل شرح داده شده و در انتهای نحوه مدل کردن کلمات حاشیه به همراه سایر ویژگی‌ها در مدل SupDocNADE شرح داده شده است.

### DocNADE - ۱-۱-۲

DocNADE به عنوان رویکردی برای مدل کردن اسناد معرفی شده است. برای استفاده از این مدل زمانی که نوع ورودی تصویر باشد لازم است که هر تصویر به صورت کیسه کلمات بصری بازنمایی شود. ابتدا تصویر به تکه‌های مشخص تقسیم می‌شود سپس برروی هر تکه توصیف‌گر SIFT اعمال می‌شود. حال با اعمال الگوریتم خوشه‌بندی نماینده‌هایی از این توصیف‌گرهای به عنوان کلمات بصری در نظر گرفته می‌شوند (برای اطلاعات بیشتر به بخش ۲-۴ مراجعه شود). حال هر تصویر می‌تواند بصورت کیسه‌ای از کلمات بصری  $[v_1, v_2, \dots, v_D]$  بازنمایی

همزمان انجام داد را می‌توان تخصیص پنهان دیریکله با ناظر چند کلاسیه (MC\_sLDA) دانست [۷]. در این مدل و مدل‌های مشابه تغییرات جدی در مدل پایه‌ای LDA انجام شده تا بتواند یک فضای مشترک بین برچسب تصاویر و متن حاشیه برقرار کند [۸، ۹، ۱۰].

یکی از معایب این مدل‌ها عدم وجود استنتاج دقیق<sup>۷</sup> و قابل محاسبه<sup>۸</sup> می‌باشد. در این مدل‌ها برای بدست آوردن توزیع پسین<sup>۹</sup> مجبور به استفاده از روش‌های تقریبی هستیم که به مراتب کنترل بوده و بار محاسباتی بالای دارند. برای حل مشکلات فوق، مدلی بر پایه ماشین بولتزمن محدود با نام سافت‌مکس تکراری<sup>۱۰</sup> معرفی شد [۱۱]. استنتاج بروی اسناد بازنمایی شده توسط این مدل، بسیار کاراتر از مدل‌های موضوع پیشین است. مهمترین مشکل مدل‌هایی که بر پایه ماشین بولتزمن محدود معرفی می‌شوند قابل محاسبه نبودن تابع نرم‌الیزه‌کننده یا همان تابع تقسیم<sup>۱۱</sup> است [۱۲]. عیب دیگر این روش‌ها ناتوانی در مدل کردن حالتی است که احتمال وقوع یک کلمه در هر موضوع خاص کم اما در ترکیبی از موضوعات زیاد است. به عبارت دیگر این کلمات توسط موضوعات استخراج شده، قابل تخمین نمی‌باشد. در مدل سافت‌مکس تکراری روش نمونه‌برداری متنی بر تابکاری (AIS)<sup>۱۲</sup> مورد استفاده قرار گرفته شده است که روشن مناسب جهت تخمین نسبت تابع تقسیم است [۱۳]. مهمترین عیب مدل سافت‌مکس تکراری وجود پیچیدگی زمانی خطی برابر با اندازه فرنگ لغت، در زمان بروزرسانی (یادگیری) پارامترها می‌باشد.

شبکه عصبی تخمین‌گر توزیع اتورگرسیو<sup>۱۳</sup> (NADE) جایگزین مناسبی برای RBM<sup>۱۴</sup>‌ها است [۱۴]. این مدل بیشتر شبیه اتوانکردها<sup>۱۵</sup> است که اندازه واحدهای ورودی و خروجی یکسان می‌باشد. در این مدل‌ها بدون نیاز به تخمین و با استفاده از روش‌های گرادیان، پارامترهای مدل آموزش داده می‌شود که این مزیت اصلی آنها به شمار می‌رود.

در [۱۵] مدل مولدی برای اسناد ارائه شده که از ترکیب NADE و سافت‌مکس تکراری الهام گرفته شده است. این مدل که با نام شناخته می‌شود، توزیع توان را با استفاده از قاعده زنجیره‌ای تجزیه کرده و هر احتمال شرطی را مانند NADE توسط یک گره از شبکه مدل می‌کند. از این مدل علاوه بر استفاده در داده‌های متنی می‌توان در داده‌های چند مقداری نیز استفاده نمود. به دلیل بدون ناظر بودن این مدل و نیاز به استخراج ویژگی‌های تمایزی بیشتر، مدل باناظر آن با عنوان SupDocNADE معرفی شد [۱۶]. مدل SupDocNADE به دلیل با ناظر بودن یادگیری آن، توانایی استخراج ویژگی‌های تمایزی بیشتری دارد از این روش مدل کردن توان برچسب کلاس، کلمات حاشیه‌نویسی و کلمات بصری استفاده شده است.

در تمامی مدل‌های ذکر شده جهت دسته‌بندی و حاشیه‌نویسی تصاویر از روش کیسه ویژگی‌ها<sup>۱۷</sup> استفاده شده است که به اختصار BoF نیز گفته می‌شود [۷، ۸، ۹، ۱۰]. در این روش هر تصویر توسط هیستوگرام تعداد رخداد الگوها بازنمایی می‌شود و مهمترین مزیت این روش‌ها کم بودن بار محاسباتی آن است [۱۷، ۱۸].

در روش سبد ویژگی‌ها، اطلاعات مکانی مورد توجه قرار نمی‌گیرد و برای این منظور روش تطبیق هرم مکانی<sup>۱۹</sup> مطرح شد که به اختصار SPM گفته می‌شود. در روش SPM چند سطح مختلف از تصویر جهت بازنمایی نهایی استفاده می‌شود [۲۰، ۲۱]. این روش نیازمند یک دسته‌بند غیرخطی می‌باشد که محاسبات لازم جهت دسته‌بند را افزایش می‌دهد. از طرفی محاسبه توصیف‌گر در سطوح مختلف دارای پیچیدگی زمانی بسیاری است. برای حل مشکل سرعت محاسبات در روش SPM و دقت پایین روش BoF روش کدگذاری خطی با محدودیت محلی بیان شد که به اختصار LLC گفته می‌شود. این روش کدگذاری جای چندی‌سازی<sup>۲۲</sup> برداری را در روش‌های گفته شده می‌گیرد [۲۱]. روش چندی‌سازی برداری در روش‌های ساخت کلمات بصری BoF و SPM استفاده شده است. چندی‌سازی در این روش‌ها یعنی تخصیص تنها نزدیک‌ترین کلمه بصری در

مودل  $\{W, V, b, c\}$  مدل توسط بهینه کردن درستنمایی داده‌های آموزشی با استفاده از رویکرد نزول در امتداد گرادیان حاصل می‌شود.  
پس از آموزش مدل، بازنمایی پنهان سند جدید<sup>\*</sup>  $v^*$  بصورت زیر استخراج می‌شود:

$$h_y(v^*) = g(c + \sum_{i=1}^D W_{:,v_i^*}) \quad (6)$$

این بازنمایی می‌تواند به عنوان ورودی یک دسته‌بند جهت اعمال باناظر بینای ماشین در نظر گرفته شود. در واقع اندیس  $y$  نشان‌دهنده استفاده این بازنمایی در تخمین برچسب کلاس تصویر می‌باشد [۸].

### SupDocNADE - ۲-۱-۲

مشاهده شده است که استخراج ویژگی‌های بصری از تصویر، با استفاده از مدل‌های احتمالاتی موضوع مانند LDA نمی‌توانند نتایج مناسبی برای کاربردهایی همچون دسته‌بندی داشته باشند. یکی از دلایل این امر را می‌توان در نوع آموزش ویژگی‌ها دانست. ویژگی‌هایی که به صورت بدون ناظر از تصاویر استخراج می‌شوند برای توصیف ساختار آماری تصویر آموزش داده شده‌اند و این ویژگی‌ها نمی‌توانند ساختاری را استخراج کنند تا تمایز بین کلاسی جداکثر شود. این موضوع سبب ابداع انواع مختلف LDA مانند LDA<sub>s</sub> شده است [۶, ۷]. DocNADE نیز یک مدل موضوع بدون ناظر می‌باشد از این رو SupDocNADE معرفی شد تا ویژگی‌های مناسبی را جهت کاربرد دسته‌بندی استخراج نماید [۱۶].

#### (الف) آموزش مدل

بطور خاص اگر تصویر  $\{v_1, v_2, \dots, v_D\} = v$  و برچسب کلاس  $y \in \{1, \dots, C\}$  به عنوان ورودی مدل باشد آنگاه توزیع توام SupDocNADE بصورت زیر تعریف می‌شود:

$$p(v, y) = p(y|v) \prod_{i=1}^D p(v_i|v_{<i}) \quad (7)$$

و مانند DocNADE احتمالات شرطی توسط واحدهای شبکه عصبی مدل می‌شود. در این مدل نیز از معماری مشابه DocNADE استفاده شده است و تنها نیازمند تعریف مدلی برای  $p(y|v)$  می‌باشد. از آنجایی که  $h_y(v)$  بازنمایی تصویر است، می‌توان از آن جهت دسته‌بندی استفاده کرد. از این‌رو  $p(y|v)$  بصورت یک رگرسیون لجستیک چند کلاسه مدل می‌شود که نحوه محاسبه آن از روی  $h_y(v)$  بصورت زیر است:

$$p(y|v) = \text{softmax}\left(d + Uh_y(v)\right)_y \quad (8)$$

که تابع  $a_j = \exp(a_i) / \sum_{j=1}^C \exp(a_j)$  و  $d \in \mathbb{R}^C$  پارامتر بایاس برای لایه با ناظر و  $U \in \mathbb{R}^{C \times H}$  ماتریس اتصال بین لایه پنهان  $h_y$  و برچسب کلاس است.

به عبارت دیگر  $p(y|v)$  به صورت یک شبکه عصبی چند کلاسه مدل می‌شود که ورودی آن کیسه‌ای از کلمات بصری است. تفاوت اساسی این مدل با شبکه‌های عصبی در این است که برخی پارامترهای آن (پارامترهای پنهان  $W$  و  $C$ ) نیز جهت مدل کردن احتمال شرطی کلمات بصری  $(v_i|v_{<i})$  استفاده می‌شوند. برای بیشینه کردن درستنمایی مدل باید تابع

$$-\log p(v, y) = -\log p(y|v) + \sum_{i=1}^D -\log p(v_i|v_{<i}) \quad (9)$$

شود که  $v$  اندیس نزدیکترین خوش به آمین توصیف گر SIFT می‌باشد و همچنین  $D$  عدد توصیف‌گرهای استخراج شده از تصویر را مشخص می‌کند [۱۵]. توزیع توام کلمات بصری  $(v_i|v_{<i})$  در DocNADE بصورت احتمالات شرطی  $p(v_i|v_{<i})$  بازنویسی می‌شود:

$$p(v) = \prod_{i=1}^D p(v_i|v_{<i}) \quad (1)$$

که در آن بردار  $v$  شامل همه  $v_i$ ‌های می‌شود که  $i < j$  است. لازم به ذکر است که رابطه (۱) برای تمامی توزیع‌ها براساس قانون زنجیره‌ای احتمال صادق است. در واقع مهمترین فرض DocNADE این است که احتمالات شرطی می‌توانند توسط یک شبکه عصبی پیشخور مدل شوند. یکی از معماری‌هایی که می‌توان برای مدل کردن  $(v_i|v_{<i})$  در نظر گرفت به صورت زیر است:

$$h_i(v_{<i}) = g(c + \sum_{k < i} W_{:,v_k}) \quad (2)$$

$$p(v_i = w|v_{<i}) = \frac{\exp(b_w + V_{w,:}h_i(v_{<i}))}{\sum_w \exp(b_w + V_{w,:}h_i(v_{<i}))} \quad (3)$$

که (۳) تابع فعالیت درایه به درایه غیرخطی است.  $W \in \mathbb{R}^{H \times K}$   $V \in \mathbb{R}^{K \times H}$  ماتریس اتصال،  $c \in \mathbb{R}^N$  و  $b \in \mathbb{R}^K$  پارامترهای بایاس و  $H, K$  به ترتیب تعداد واحدهای پنهان (موضوعات) و اندازه فرهنگ‌لغفت می‌باشد. محاسبه توزیع  $p(v_i = w|v_{<i})$  نیازمند محاسبات خطی از مرتبه  $K$  بوده و تکرار این کار به تعداد کلمات بصری  $D$  بسیار زمان بر است. برای حل این مشکل از درخت دودویی استفاده شده است. استفاده از درخت دودویی محاسبات را از مرتبه خطی  $K$  به لگاریتمی تبدیل می‌کند. برای این کار هر برگ درخت به صورت تصادفی به یک اندیس کلمه تخصیص پیدا می‌کند و احتمال آن کلمه برابر با ضرب احتمالات موجود در مسیر ریشه تا آن برگ تعريف می‌شود. احتمال انتقال به چپ/راست در درخت تابع رگرسیون لاجستیک دودویی مدل شده که ورودی آن  $(v_i|v_{<i})$  می‌باشد.

فرض کنید  $(v_i|v_{<i})$  نشان‌دهنده دنباله گره‌های درخت از ریشه به برگ  $v_i$  و  $\pi(v_i)$  نشان‌دهنده دنباله دودویی انتخاب چپ/راست گره در مسیر باشد. به عنوان مثال  $\pi(v_i)$  همواره گرهی ریشه و  $\pi(v_i)$  برابر ۱ است اگر  $v_i$  در زیردرخت چپ باشد و برابر صفر در حالت عکس آن. حال  $V \in \mathbb{R}^{T \times H}$  ماتریسی شامل وزن‌های رگرسیون لاجستیک است و  $b \in \mathbb{R}^T$  بردار بایاس که  $T$  تعداد گره‌های داخلی درخت دودویی و  $H$  تعداد واحدهای مخفی می‌باشد. احتمال  $p(v_i = w|v_{<i})$  بصورت زیر مدل شده است:

$$p(v_i = w|v_{<i}) = \prod_{k=1}^{|\pi(v_i)|} p(\pi(v_i)_k|v_{<i}) \quad (4)$$

که خروجی رگرسیون لاجستیک گره‌های میانی

$$p(\pi(v_i)_k = 1|v_{<i}) = \text{sigm}\left(b_{l(v_i)_m} + V_{l(v_i)_m,:}h_i(v_{<i})\right) \quad (5)$$

و  $\text{sigm}(x) = 1/(1 + \exp(-x))$  تابع سigmoid می‌باشد. تابع رگرسیون لاجستیک رابطه (۴) از مرتبه  $O(\log K)$  است.

بنابر آنچه گفته شد، با ترکیب روابط (۴، ۲ و ۵) می‌توان احتمال  $p(v)$  را برای هر سندی محاسبه کرد. یادگیری پارامترهای

## ۲-۲- ساخت کلمات بصری

در این بخش سه روش کد کردن سبد کلمات، روش SPM و LLC جهت ساخت کلمات بصری شرح داده شده است.

### ۱-۲- سبد کلمات

این روش که از روش‌های مبتنی بر فرهنگ لغت محسوب می‌شود به صورت زیر عمل می‌کند:

- ۱- استخراج نقاط کلیدی مربوط به همه تصاویر آموزشی (از همه دسته‌ها)
  - ۲- حصول توصیف‌گر حول تمام نقاط کلیدی
  - ۳- خوشه‌بندی تمام توصیف‌گرهای بدست آمده با روش k-means
- این نقاط کلیدی همان لغت همان کلمات بصری هستند که فرض حصول فرهنگ لغت. اعضای این فرهنگ لغت همان کلمات بصری هستند که فرض می‌شود هر تصویر با استفاده‌از این کلمات بصری ایجاد شده است (در پردازش زبان‌ها طبیعی تفسیر به این گونه است که هر جمله از تعدادی کلمه در فرهنگ لغت استفاده می‌کند و در اینجا هر تصویر از تعدادی کلمه بصری).
- پس از حصول فرهنگ لغت، زمان آن می‌رسد که بازنمایی جدیدی برای هر یک از تصاویر موجود در مجموعه دادگان مورد استفاده بدست آید. این روند برای هر تصویر در ذیل آورده شده است:
- ۱- استخراج نقاط کلیدی مربوط به تصویر و حصول توصیف‌گرهای حول تمام این نقاط کلیدی (همانند فاز یادگیری فرهنگ لغت)
  - ۲- مرحله کد کردن: یافتن نزدیکترین کلمه بصری موجود در لغت نامه به هر توصیف‌گر و تخصیص عدد مربوط به آن کلمه بصری (یا همان مرکز خوشه) به آن توصیف‌گر.
  - ۳- ایجاد هیستوگرام مبتنی بر تعداد کلمات بصری موجود در تصویر.
- هیستوگرام به دست آمده از روش فوق بازنمایی جدید آن تصویر را نمایش می‌دهد [۱۷]. در ادامه روش‌های دیگری بیان می‌شود که ساختار دیگری را برای ساخت کلمات بصری بیان می‌کنند.

### ۲-۲- روش تطبیق هرمی مکانی (SPM)

در روش سبد کلمات، اطلاعات مکانی نقاط کلیدی مورد توجه قرار گرفته نمی‌شود (این امر از نام سبد کلمات نیز بر می‌آید). بنابر این، یک منبع اطلاعاتی ارزشمند که می‌توانست در دسته‌بندی تصاویر کارا باشد مورد استفاده قرار نمی‌گرفت. در روش تطبیق هرمی مکانی، فاز یادگیری فرهنگ لغت همچون روش اصلی سبد کلمات انجام می‌گرفت، اما این بار با یک ایده ساده، چند سطح مختلف برای تصویر در نظر گرفته شده است که در هر سطح، تصویر به چند بخش با اندازه مساوی تقسیم می‌شود و برای هر بخش یک هیستوگرام مبتنی بر کلمات بصری ایجاد می‌شود.

در انتهای هیستوگرام‌های حاصل با اعمال یک ضرب (ضریبی که برای سطوح بالاتر، بزرگتر و برای سطوح پایین‌تر، کوچکتر است تا اهمیت هیستوگرام‌هایی که اطلاعات مکانی بیشتر دارند افزایش یابد)، به همدیگر الحق شده تا بازنمایی نهایی را شکل دهند. پس از حصول بازنمایی نهایی در روش تطبیق هرم مکانی، از یک دسته‌بندی کننده قوی همچون ماشین بردار پشتیبان برای دسته‌بندی تصویر استفاده شده است. این ایده ساده توائیست دقت را به نسبت روش سبد کلمات تا حد بسیار خوبی افزایش دهد [۲۰].

روی تصاویر آموزشی کمینه شود که این به عنوان بادگیری از نوع مولد شناخته می‌شود [۱۱]. عبارت اول در رابطه فوق بطور کامل تمایزی است، در حالی که عبارت دوم بدون ناظر بوده و می‌تواند به عنوان تنظیم کننده در نظر گرفته شود. این عبارت تنظیم کننده بصورت بدون ناظر ساختار آماری بین کلمات بصری را مدل می‌کند. در عمل این تنظیم کننده می‌تواند جواب را به سمتی بایاس کند که خاصیت تمایزی زیادی نداشته باشد و سبب تعویم‌پذیری بهتر مدل شود. همانند کارهای قبلی می‌توان ترکیبی از یادگیری مولد/تمایزی را در نظر گرفت که این امر با اعمال وزن‌دهی صورت می‌گیرد.

$$-\log p(v, y) = -\log p(y|v) + \lambda \sum_{i=1}^D -\log p(v_i|v_{<i}) \quad (10)$$

که  $\lambda$  به عنوان پارامتر تنظیم کننده رفتار می‌کند. جهت بهینه کردن رابطه (۱۰) بر روی مجموعه آموزشی از روش نزول در امتداد گرادیان تصادفی، و از قانون پس انتشار خطاب برای محاسبه مشتق پارامترها استفاده شده است.

### ب) موقعیت مکانی ویژگی‌های بصری

اطلاعات مکانی همواره نقش مهمی در درک تصاویر داشته است. به عنوان مثال آسمان همواره در قسمت بالای تصویر دیده می‌شود و یا ماشین همواره در نیمه پایینی تصویر به چشم می‌خورد. بسیاری از کارهای پیشین از این اطلاعات بطور موثر در کار خود استفاده کرده‌اند [۱۶].

فرض کنید تصویر به چند ناحیه مجزا  $R = \{R_1, R_2, \dots, R_M\}$  تقسیم شود که  $M$  تعداد نواحی مختلف می‌باشد. حال یک تصویر می‌تواند به صورت زیر بازنمایی شود

$$v^R = [v_1^R, v_2^R, \dots, v_D^R] = [(v_1, r_1), (v_2, r_2), \dots, (v_D, r_D)] \quad (11)$$

که  $r_i \in R$  ناحیه‌ای است که کلمه بصری  $v_i$  از آن استخراج شده است. برای مدل کردن احتمال توان کلمات بصری ابتدا توزیع بصورت  $\prod_i p((v_i, r_i) | v_{<i}^R)$  تجزیه می‌شود و با هر یک از  $K \times M$  جفت کلمه/ناحیه بصورت یک کلمه بصری مجزا رفتار می‌شود. این امر به این معنی است که به ازای هر حالت یک برگ به درخت دودویی افزوده می‌شود و از طرفی چون محاسبات بصورت لگاریتمی با اندازه برگ‌های درخت رشد می‌کند مشکلی با افزایش تعداد مناطق نخواهیم داشت.

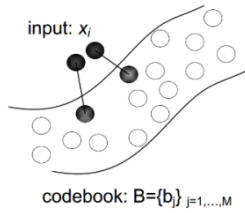
### ج) افزودن کلمات حاشیه‌نویسی

در این بخش به شرح چگونگی مدل کردن کلمات حاشیه‌نویسی پرداخته می‌شود. فرض کنید  $A$  فرهنگ لغت از پیش تعريف شده برای کلمات حاشیه‌نویسی باشد. برای یک سند خاص کلمات حاشیه‌نویسی بصورت  $a = [a_1, a_2, \dots, a_L]$  نمایش داده شود که  $a_i \in A$  و  $L$  تعداد کلمات حاشیه‌نویسی می‌باشد. حال یک تصویر به همراه کلمات حاشیه‌نویسی آن بصورت ترکیبی از کلمات بصری و کلمات حاشیه‌نویسی می‌توانند بازنمایی شوند:

$$v^A = [v_1^A, v_2^A, \dots, v_D^A, v_{D+1}^A, \dots, v_{D+L}^A] \\ = [v_1^R, v_2^R, \dots, v_D^R, a_1, a_2, \dots, a_L] \quad (12)$$

بطور خاص در این مدل کلمات حاشیه‌نویسی بصورت توان با کلمات بصری اندیس‌دهی می‌شوند و همچنین برگ‌هایی از درخت دودویی برای اندیس کلمات حاشیه‌نویسی تخصیص داده می‌شود.

### ۳-۲-۲- کد کردن LLC



شکل ۲- تخصیص نزدیکترین عضو فرهنگ لغات به توصیف‌گر ورودی در روش کوانتیزاسیون برداری [۲۱]

اما روش LLC برای یافتن کد مربوط به هر توصیف‌گر سعی در بهینه‌سازی رابطه دیگری دارد. این رابطه بهینه‌سازی در ذیل آورده شده است:

$$\begin{aligned} \arg \min_c \sum_{i=1}^N \|x_i - Bc_i\|^2 + \lambda \|d_i \odot c_i\|^2 \\ \text{s.t. } 1^T c_i = 1, \forall i \end{aligned} \quad (14)$$

که در رابطه فوق:

$$\begin{aligned} d_i &= \exp\left(\frac{\text{dist}(x_i, B)}{\sigma}\right) \\ \text{dist}(x_i, B) &= [\text{dist}(x_i, b_1), \dots, \text{dist}(x_i, b_M)]^T \end{aligned} \quad (15)$$

ترم اول این رابطه بهینه‌سازی با قیدی که ذکر شده است، در صدد است تا به جای اینکه همچون روش کوانتیزاسیون برداری که یک کد  $M$  بعدی به صورت  $[0, 0, \dots, 1, 0, \dots, 0, 0]$  که عنصر مربوط به نزدیکترین کلمه بصری آن ۱ است را تولید می‌کند، یک کد  $M$  بعدی تولید کند که خطای کوانتیزاسیون را با دخیل کردن تمام کلمات بصری کمینه می‌کند. اما ترم دوم رابطه بهینه‌سازی دارد تا معیار مجاورت<sup>۲۱</sup> را ارضا کند و این امر باعث می‌شود تا ضریب مربوط به کلمات بصری نزدیکتر در کد حاصل بزرگتر شود. پارامتر<sup>۲۲</sup> نحوه محاسبه فاصله بین توصیف‌گر و اعضای فرهنگ لغت را کنترل می‌کند و به ازای یک  $\sigma$  ثابت نیز،  $\lambda$  میزان وزن دهنی به مجاورت را مشخص می‌کند. هر چه  $\lambda$  بزرگ‌تر شود وزن مجاورت نیز بزرگ‌تر می‌شود. به این معنا که تنها به همسایه‌های نزدیک توصیف‌گر  $x_i$  در فرهنگ لغت ضرایب غیر صفر می‌دهیم. در شکل ۳ مثالی از نحوه کد کردن روش LLC آورده شده است. یال‌های متصل به اعضای فرهنگ لغت نشان دهنده این هستند که این اعضا به طور خطی و با وزن‌هایی که برایشان طی حل مسئله بهینه‌سازی بدست می‌آید، توصیف‌گر  $x_i$  را بازسازی می‌کنند.

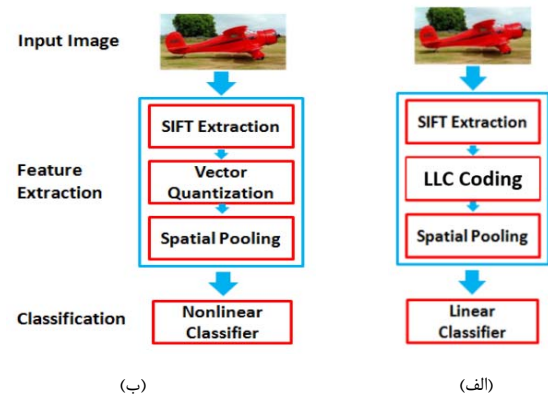
یکی دیگر از نکات جذاب در مورد روش LLC این است که رابطه بهینه‌سازی ارائه شده یک راه حل تخمینی از مرتبه  $O(M + K^2)$  به جای  $O(M^2)$  دارد که  $M$  تعداد کلمات بصری در فرهنگ لغت و  $K$  تعداد همسایه‌های در نظر گرفته شده برای وزن دهنی در LLC است که  $M \ll K$  است. برای این کار بجای بهینه کردن رابطه (۱۴) می‌توان از روش  $k$  نزدیکترین همسایه جهت پیدا کردن توصیف‌گرهای مجاور استفاده نمود و رابطه زیر که بسیار ساده‌تر است را حل نمود.

$$\begin{aligned} \min_{\tilde{c}} \sum_{i=1}^N \|x_i - \tilde{c}_i B_i\|^2 \\ \text{s.t. } 1^T \tilde{c}_i = 1, \forall i \end{aligned} \quad (16)$$

این موضوع، استفاده از این روش در کاربردهای بلادرنگ را نیز امکان‌پذیر کرده است.

روش اولیه تطبیق هرم مکانی برای عملکرد خوب نیاز داشت تا از یک دسته‌بندی کننده غیرخطی (برای مثال SVM با کرنل توابع پایه گوسی<sup>۲۳</sup>) استفاده کند [۲۱]. با توجه به اینکه مرتبه زمانی آموزش یک دسته‌بند SVM غیرخطی از درجه  $O(n^3)$  تا  $O(n^2)$  بود (برابر تعداد تصاویر آموزشی است)، بنابراین توسعه‌پذیری روش سنتی تطبیق هرم مکانی پایین بود. روش LLC با حزئیاتی که در ادامه شرح داده می‌شود، با ایجاد یک کد جدید برای هر یک از توصیف‌گرهای صحنه، موفق شد تا به یک بازنمایی جدید از تصویر برسد که این بازنمایی با یک دسته‌بندی کننده خطی که با مرتبه زمانی  $O(n)$  هم قابل آموزش بود، موفق شد که زمان آموزش را به شکل خوبی کاهش، و دقت حاصل را افزایش دهد.

پیش از پرداختن به نحوه حصول کد توسط روش LLC بهتر است تا دقیقاً جایگاه تغییر ایجاد شده در روش تطبیق هرم مکانی را مشخص کنیم. تفاوت این دو روش در شکل ۱ نمایش داده شده است.



شکل ۱- محل ایجاد تغییر در LLC به نسبت روش تطبیق هرم مکانی (اقتباس از [۲۲]). الف) LLC خطی ب) SPM غیرخطی

همانطور که در شکل مشاهده می‌شود، در روش LLC که در ستون راست تصویر واقع شده، کد کردن LLC جای کوانتیزاسیون برداری<sup>۲۰</sup> را گرفته است. روش کوانتیزاسیون برداری که در سبد کلمات و تطبیق هرم مکانی وجود داشت به این صورت بود که هنگام تخصیص یکی از کلمات بصری فرهنگ لغت به یکی از توصیف‌گرهای، تنها نزدیکترین کلمه بصری در نظر گرفته شده و مابقی کلمات بصری نادیده گرفته می‌شدند. به زبان ریاضی، اگر فرض کنیم هر تصویر دارای  $N$  نقطه کلیدی است که توصیف‌گرهایش را بدست آورده‌ایم، و هر توصیف‌گر قرار است با یک کد  $M$  بعدی جایگزین شود ( $M$  تعداد کلمات بصری فرهنگ لغت است)، می‌باشد رابطه بهینه‌سازی زیر حل شود:

$$\begin{aligned} \arg \min_c \sum_{i=1}^N \|x_i - Bc_i\|^2 \\ \text{s.t. } \|c_i\|_{l^0} = 1, \|c_i\|_{l^1} = 1, c_i \geq 0, \forall i \end{aligned} \quad (13)$$

که در رابطه فوق،  $B = \{b_j\}_{j=1,\dots,M}$  نمایش دهنده فرهنگ لغت و  $c_i$  کد جدیدی بوده که قرار است جایگزین توصیف‌گر  $x_i$  شود. در صورت حل رابطه بهینه‌سازی فوق که شرایط نرم  $a_0$  و نرم  $a_1$  آن آورده شده است، درواقع گویی برای توصیف‌گر ورودی  $x_i$  به دنبال نزدیکترین عضو فرهنگ لغت بوده‌ایم که مفهوم آن در شکل ۲ به تصویر کشیده شده است.

$$-\log p(v, y) = -\log p(y|v) - \lambda \sum_{i=1}^D \omega(v_i) \log p(v_i | v_{<i}) \quad (19)$$

و در رابطه (۲) نیز بجای  $v$  از  $\tilde{v}$  استفاده می‌شود.

با وزن دهی کلمات حاشیه، مدل با توجه بیشتر به این کلمات سبب کاهش مشکلات عدم تعادل بین کلمات بصری و کلمات حاشیه‌نویسی خواهد شد. در عمل مقدار وزن  $\mu$  توسط اعتبار سنجی متقابل<sup>۲۲</sup> مشخص می‌شود. در الگوریتم ۱ شبه کد بروزرسانی گرادیان پارامترهای رابطه (۱۹) براساس روش پیشنهادی نشان داده شده است.

#### الگوریتم ۱- نحوه محاسبه گردایان مدل برروی داده‌های آموزشی

**Input:** training vector  $\mathbf{v}$ , training weight vector  $\omega_D$   
 unsupervised learning weight  $\lambda$

**Output:** gradient of Equation 14 w. r. t parameters  
 $f(\mathbf{v}) \leftarrow \text{softmax}(\mathbf{d} + \mathbf{U}\mathbf{h}^c(\mathbf{v}))$   
 $\delta\mathbf{d} \leftarrow (f(\mathbf{v}) - 1_y)$   
 $\delta\mathbf{act} \leftarrow (\mathbf{U}^T \delta\mathbf{d}) o 1_{h_i > 0}$   
 $\delta\mathbf{c} \leftarrow 0, \delta\mathbf{b} \leftarrow 0, \delta\mathbf{V} \leftarrow 0, \delta\mathbf{W} \leftarrow 0$   
 for i from D to 1 do  
 $\delta\mathbf{h}_i \leftarrow 0$   
 for m from 1 to  $|\pi(v_i)|$  do  
 $\delta t \leftarrow \frac{\lambda \omega_i(\mathbf{i})(p(\pi(v_i)_m | \mathbf{v}_{<i}) - \pi(v_i)_m)}{D}$   
 $\delta b_{l(v_i)_m} \leftarrow \delta b_{l(v_i)_m} + \delta t$   
 $\delta V_{l(v_i)_m..} \leftarrow \delta V_{l(v_i)_m..} + \delta t \mathbf{h}_i^T$   
 $\delta h_i \leftarrow \delta h_i + \delta t \mathbf{V}_{l(v_i)_m..}^T$   
 end for  
 $\delta act \leftarrow \delta act + \delta h_i o 1_{h_i > 0}$   
 $\delta c \leftarrow \delta c + \delta h_i o 1_{h_i > 0}$   
 $\delta W_{:,v_i} = \omega(v_i) \delta W_{:,v_i} + \delta act$   
 end for

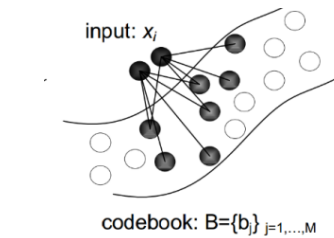
با افزودن قابلیت وزن دار شدن ورودی های مدل، می توان از LLC استفاده نمود. همانطور که در بخش ۳-۲-۲ بیان شد روش LLC برخلاف روش های سنتی که تنها از یک کلمه جهت بازنمایی استفاده می نمایند، چندین کلمه مشابه در فرهنگ لغت را بصورت وزن دار در ساخت بردار ویژگی دخیل می کند. حال هر تکه از تصویر توسط یک بردار وزن بازنمایی شده است. پس از اعمال توصیف گر و حصول بازنمایی، انباشت حداکثری روی بردار نهایی طبق رابطه (۱۷) اعمال می شود. بردار حاصل از انباشت به عنوان کلمات بصری بوده و مقادیر درایه های آن وزن ورودی می باشد. این کلمات بصری با کلمات حاشه نویسی و وزن های آن به عنوان ورودی به مدل داده می شود.

۴ - نتایج و آزمایشات

برای ارزیابی عملکرد مدل پیشنهادی در دسته‌بندی و حاشیه‌نویسی تصاویر از دو پایگاه‌داده‌ی UIUC-Sports [۲۳] و LabelMe [۱] استفاده شده است. این پایگاه داده‌ها به عنوان مجموعه داده‌های پایه جهت حاشیه‌نویسی و دسته‌بندی می‌باشد که هر تصویر به همراه کلمات حاشیه‌نویسی موجود است. مدل پیشنهادی با مدل‌های DocNADE [۱۶]، SupDocNADE [۱۵] و Mc\_sLDA [۷] مقایسه شده است.

## ۱-۴- معرفی مجموعه داده‌ها

در این مقاله از دو مجموعه داده استفاده شده است. مجموعه داده اول-UIUC می‌باشد که شامل ۱۷۹۲ تصویر در ۸ دسته ورزشی تقسیم شده است. Sports



شکل ۳- وزن دهی بیشتر به همسایه های نزدیک توصیف گر در لغت نامه در روش [۲۱] LLC

آخرین مطلبی که باید ذکر شود، این است که پس از حصول کدهای مربوط به روش LLC برای هر توصیف‌گر، بازنمایی نهایی براساس انباشت این کدها صورت می‌گیرد که در زیر نحوه انباشت حداکثری که بهترین روش انباشت در LLC است نشان داده شده است.

انباشت حداکثر: اگر  $C_{ij}$  نشان‌دهنده عنصر  $z_m$  مربوط به کد توصیف‌گر  $z_n$  باشد، انباشت حداکثر به صورت ذیل است:

$$\text{finalCode}_j = \max(c_{1j}, c_{2j}, \dots, c_{Nj}) \quad (14)$$

۳-روش پیشنهادی

در شکل ۴ بلاک دیاگرام مربوط به مدل موردنظر جهت دسته‌بندی و خاشیه‌نویسی تصویر نشان داده شده است. در قسمت پیش‌پردازش ابتدا هر تصویر تکه‌تکه شده و به توصیف‌گر داده می‌شود. پس از حصول خروجی توصیف‌گرهای مربوط به تصویر توسط کد‌ذار بازنمایی مربوط به هر تصویر تولید می‌شود. در بخش آموزش کلمات خاشیه‌نویسی در کنار کلمات بصری تعبیه شده‌اند و به عنوان بردار ویژگی به مدل SupDocNADE داده شده است. در قسمت آزمایش مدل فقط خروجی حاصل از توصیف‌گر تکه‌های تصویر به مدل داده شده و برچسب کلاس به همراه کلمات حاشه‌نویسی توسط مدل تولید می‌شود.

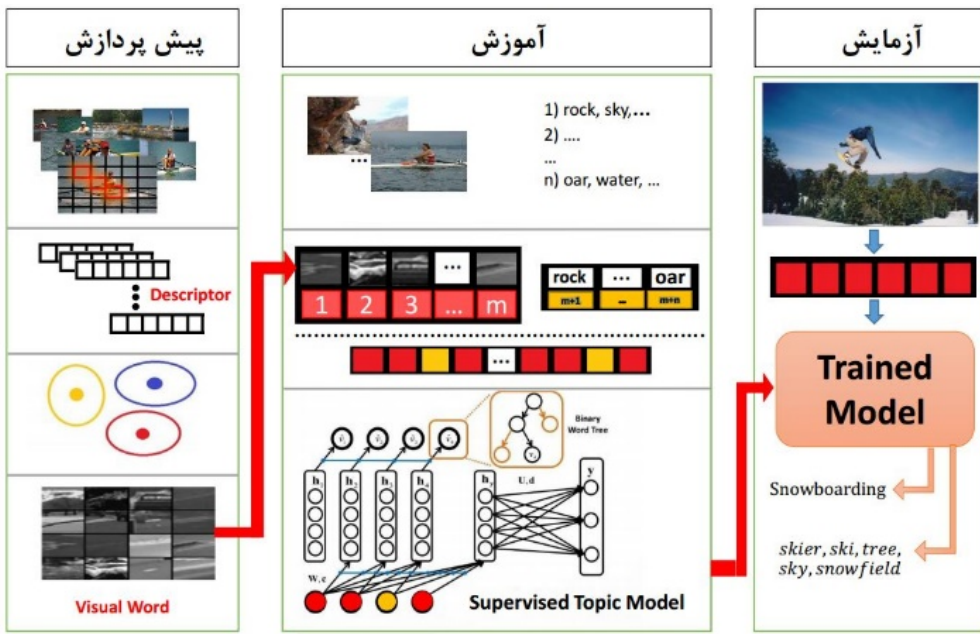
در عمل تعداد کلمات بصری استخراج شده از تصویر بسیار بزرگتر از کلمات خاشیه‌نویسی است. به عنوان مثال از یک تصویر با اندازه  $400 \times 300$  حدود ۲۰۰۰ کلمه بصری استخراج می‌شود (شکل ۴ قسمت پیش‌پردازش) این در حالی است که کلمات حاشه‌نهاده سی. ۵ ال. ۲۰ عدد متفق م باشند.

عدم تعادل بین کلمات بصری و کلمات حاشیه‌نویسی ممکن است سبب برخی مشکلات شود. به عنوان مثال سهم کلمات حاشیه‌نویسی برای بازنمایی در لایه پنهان بسیار کمتر از کلمات بصری است. از طرفی هر کلمه به نسبت تعداد تکرار خود به کل کلمات استخراج شده بر روی گرادیان خطاط تاثیر می‌گذارد. پس گرادیانی که از کلمات حاشیه تولید می‌شود بسیار کوچک بوده تا بتواند تاثیر با معنای در افزایش احتمال شرطی، حاصل از کلمات حاشیه داشته باشد.

برای حل این مشکل، پیشنهاد می‌شود که کلمات حاشیه‌نویسی در هیستوگرام بردار ویزگی  $i$  وزن دهی شوند. برای این منظور یک بردار  $\Theta$  به همراه  $7$  در نظر گرفته می‌شود. حال بردار ورودی به صورت زیر تعریف می‌شود:

$$\tilde{\mathbf{v}} = [(v_1, \omega(v_1)), (v_2, \omega(v_2)), \dots, (v_{D+L}, \omega(v_{D+L}))] \quad (18)$$

بردار  $w$  برای مولفه‌های متناظر با کلمات بصری برابر ۱ و برای مولفه‌های متناظر با کلمات حاشیه برابر  $p$  می‌باشد. حال رابطه  $(10)$  بصورت زیر بازنویسی می‌شود:



شکل ۴- بلوک دیاگرام مربوط به مدل جهت دسته‌بندی و حاشیه‌نویسی تصویر

در این مقاله همانند [۱۶] از ماشین بردار پشتیبان جهت دسته‌بندی تصاویر استفاده شده است. لایه مخفی  $h_i$  که توسط کلمات بصری و کلمات وزن دار حاشیه‌نویسی آموزش داده شده به عنوان ورودی به دسته‌بند ماشین بردار پشتیبان داده می‌شود. پارامترهای این دسته‌بند توسط اعتبارسنجی متقابل محاسبه می‌شود.

برچسب هر کلاس به علاوه تعداد تصاویر بصورت ۱- بدینتون (۳۱۳ تصویر) ۲- بوجی (۱۳۷ تصویر) ۳- کراکت (۳۰ تصویر) ۴- چوگان بازی (۱۸۳ تصویر) ۵- صخره نوردی (۱۹۴ تصویر) ۶- قایقرانی (۲۵۵ تصویر) ۷- موج‌سواری (۱۹۰ تصویر) ۸- اسکی (۱۹۰ تصویر) است. که تصاویر مطابق [۱۶] به عرض ۴۰۰ پیکسل تغییر اندازه داده شده است.

### ۴-۳- نتایج آزمایشات

در این بخش به بررسی تاثیر پارامترهای مختلف روش پیشنهادی بر دقت آن پرداخته شده و راهکارهایی برای تنظیم این پارامترها ارائه می‌گردد. در ادامه نتایج حاصل از آزمایشات مختلف شرح داده شده است.

پایگاه داده LabelMe بطور آنلاین و با استفاده از جعبه ابزارهای موجود آن قابل دسترس است. در این مقاله از مجموعه یکسان با [۱۶] استفاده شده است. در این مجموعه داده ۸ کلاس: بزرگراه، درون شهری، ساحل، جنگل، ساختمان بلند، خیابان‌ها، برونشهری با تعداد ۲۰۰ تصویر به ازای هر کلاس موجود می‌باشد. در هر دو این مجموعه داده‌ها کلماتی که کمتر از ۳ بار در متن حاشیه‌نویسی ظاهر شده‌اند از پایگاه داده حذف شده است.

### ۴-۱- تنظیم پارامترها

ابتدا جهت بدست آوردن مقدار  $k$  همسایه مناسب جهت بازنمایی هر تکه از تصویر در LLC تخمینی، دقت دسته‌بندی به ازای تعداد  $K$  مختلف مورد ارزیابی قرار گرفته است. مقادیر ۱، ۲، ۵، ۱۰، ۲۰ همسایه مختلف برای  $K$  در نظر گرفته شده که در شکل ۵ و ۶ به ترتیب برای پایگاه داده UIUC\_Sports و LabelMe معرفی شده‌اند. در این شکل نتایج متفاوتی از این دو پایگاه داده نشان داده شده است. این نتایج نشان می‌دهند که از این دو پایگاه داده برای ارزیابی LLC جواب یکسانی با روش کیسه کلمات دارد. همانطور که مشاهده می‌شود اما افزایش تعداد همسایه از یک تا ۵ باعث افزایش دقت روش پیشنهادی می‌شود اما افزایش بیشتر آن باعث کاهش کارآیی شده است. از سویی افزایش تعداد نمونه‌های آموزشی تا حدود ۸۰ نمونه به ازاء هر کلاس باعث افزایش دقت شده است. از آنجا که افزایش تعداد همسایه‌ها باعث افزایش بار محاسباتی و کاهش سرعت اجرای برنامه می‌شود، مقادیر کمتر این پارامتر که دقت مناسبی را فراهم سازند توصیه می‌شود.

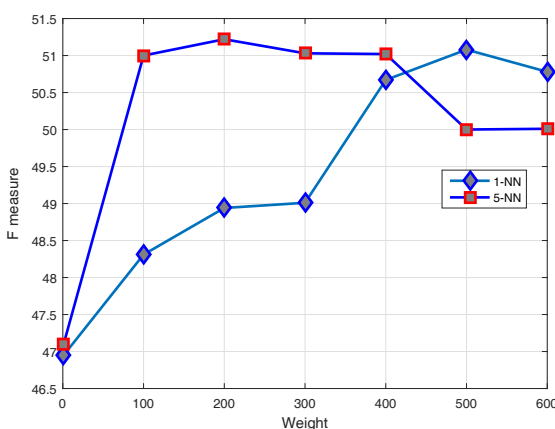
برای بدست آوردن وزن مناسب کلمات حاشیه‌نویسی، از روش اعتبارسنجی متفاصل استفاده شده است. الگوریتم به ازای وزن‌های مختلف با در نظر گرفتن

### ۴-۲- پارامترهای مدل و معیارهای ارزیابی

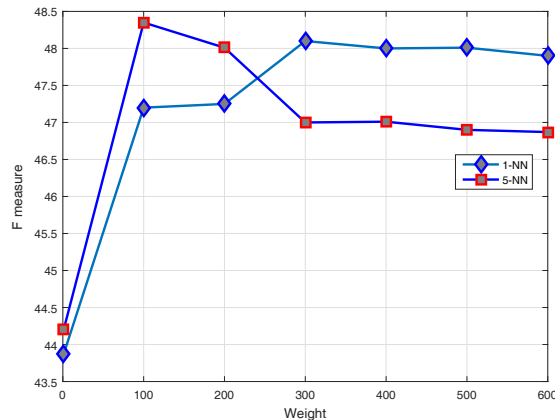
با توجه به [۷] از توصیف‌گر سیفت ۱۲۸ بعدی جهت استخراج کلمات بصری استفاده شده است. اندازه هر تکه  $h_i$  تصویر که عملگر سیفت روی آن اعمال می‌شود برابر  $16 \times 16$  پیکسل می‌باشد و اندازه قدم برای در نظر گرفتن تکه بعدی ۸ پیکسل است. از هر تصویر که در داده‌های آموزشی قرار دارد ۱۰۰ خروجی به تصادف انتخاب شده و به خوشبند k-means داده می‌شود. در این مقاله مرکز خوشبند کلمات بصری در نظر گرفته شده است. هر تصویر به شکلهای  $2 \times 2$  تقسیم شده و تعداد  $960 = 2 \times 2 \times 240$  کلمه بصری مختلف برای فرهنگ لغات را تشکیل می‌دهند.

از دقت دسته‌بندی جهت ارزیابی دسته‌بند مدل و از میانگین معیار F- پنج کلمه محتمل برای ارزیابی حاشیه‌نویسی مدل استفاده شده است. معیار F- بصورت زیر تعریف می‌شود.

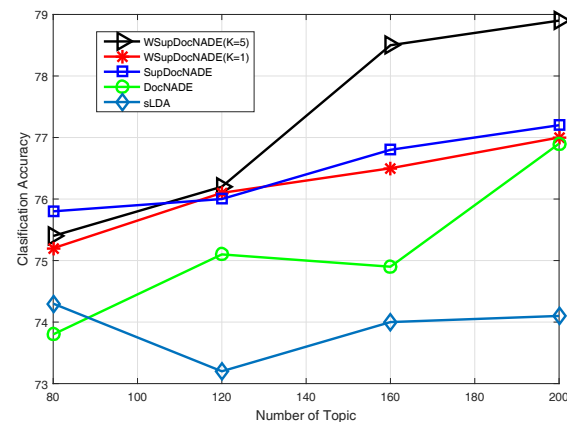
$$F - measure = \frac{2 \times Precision \times Recall}{Precision + Recall} \quad (15)$$



شکل ۷- نمودار معیار F پایگاه داده UIUC\_Sports به ازای وزن‌دهی‌های مختلف



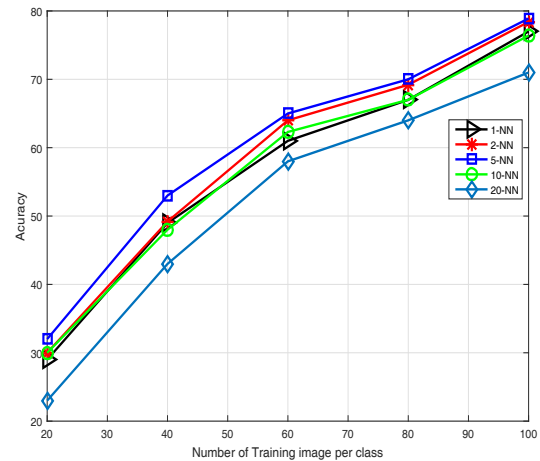
شکل ۸- نمودار معیار F برای پایگاه داده LabelMe به ازای وزن‌دهی‌های مختلف



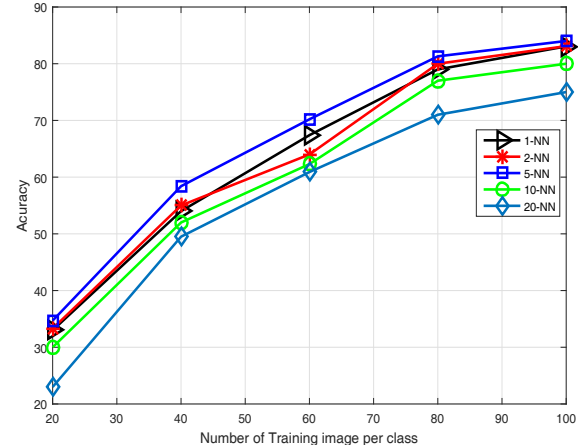
شکل ۹- نمودار دقت دسته‌بندی پایگاه داده UIUC\_Sports به ازای تعداد واحدهای پنهان (تعداد عنوانین)

شکل ۱۱ و شکل ۱۲ نتایج حاصل از حاشیه‌نویسی مدل را نشان داده است. همانطور که مشاهده می‌شود مدل پیشنهادی معیار F ۵۱.۲۲ و برای داده‌های UIUC\_Sports و برای داده‌های LabelMe مقدار ۴۸.۳۵ را کسب کرده است. با توجه به این نمودارها بهبود ۵ درصدی در معیار F کلمات حاشیه‌نویسی مشاهده می‌شود. جدول ۱ بهترین نتایج حاصل از دسته‌بندی و حاشیه‌نویسی مدل‌های مختلف را نشان می‌دهد.

روش LLC با ۵ و ۱ همسایه اجرا شده که در شکل ۷ و شکل ۸ نتایج معیار برروی داده‌های تست نشان داده شده است. همانطور که در این نمودارها مشخص است برای پایگاه داده UIUC\_Sports وزن ۵۰۰ و در حالتی که از کدگذار LLC استفاده می‌شود وزن ۲۰۰ مناسب است. برای پایگاه داده LabelMe وزن ۳۰۰ و در حالتی که از کدگذار LLC استفاده شده است وزن ۱۰۰ مناسب می‌باشد. با استفاده از وزن‌های بدست آمده در مرحله قبل یادگیری مدل برروی داده‌های آموزشی صورت می‌گیرد.



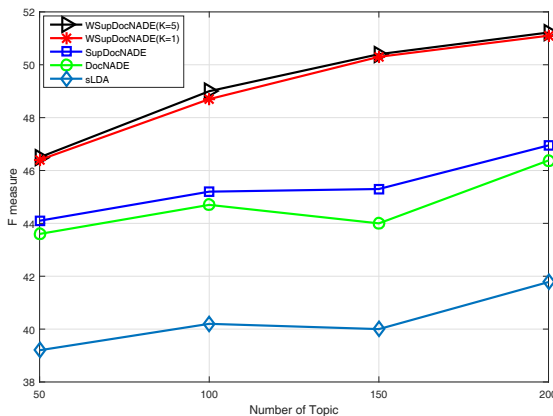
شکل ۵- نمودار دقت دسته‌بندی پایگاه داده UIUC\_Sports به ازای تعداد همسایه‌های در نظر گرفته شده در روش LLC



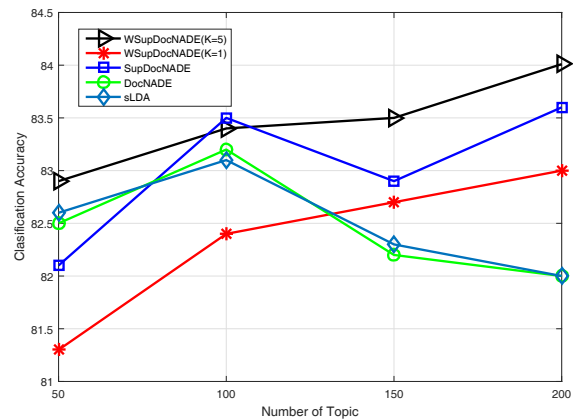
شکل ۶- نمودار دقت دسته‌بندی پایگاه داده LabelMe به ازای تعداد همسایه‌های در نظر گرفته شده در روش LLC

#### ۴-۳-۲- ارزیابی نتایج

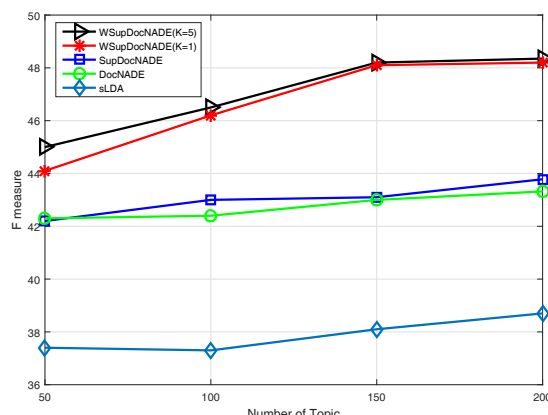
نتایج حاصل از دسته‌بندی برروی پایگاه داده‌های موردنظر در شکل ۹ و شکل ۱۰ نشان داده شده است. همانطور که مشاهده می‌شود با افزایش تعداد موضع‌های مختلف برای روش‌های مختلف دسته‌بندی و حاشیه‌نویسی دقت دسته‌بندی به مرتب افزایش یافته است. زمانی که از روش کیسه کلمات بدون LLC استفاده شود دقت دسته‌بندی بهبودی نسبت به مدل SupDocNADE ندارد ولی زمانی که LLC با در نظر گرفتن ۵ همسایه جهت کدگذاری استفاده شده است شاهد بهبود حداقل ۱ درصدی در دقت دسته‌بندی نسبت به قبل هستیم.



شکل ۱۱- نمودار معیار F برای پایگاه داده UIUC\_Sports به ازای تعداد واحدهای پنهان (تعداد عنوانین)



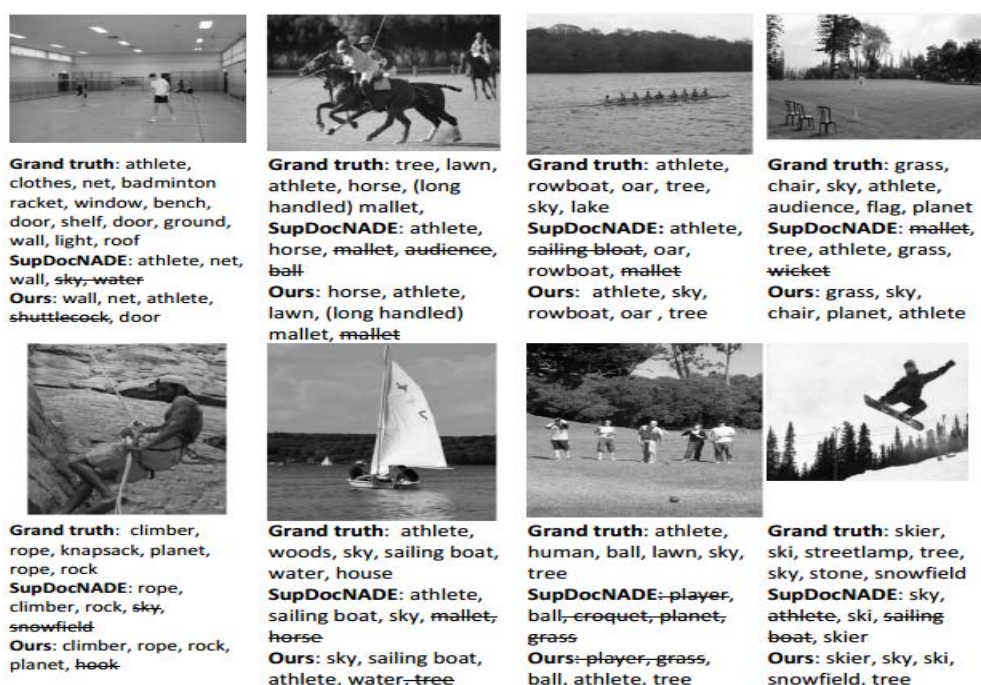
شکل ۱۰- نمودار دقت دسته‌بندی پایگاه داده LabelMe به ازای تعداد واحدهای پنهان (تعداد عنوانین)



شکل ۱۲- نمودار معیار F برای پایگاه داده LabelMe به ازای تعداد واحدهای پنهان (تعداد عنوانین)

جدول ۱- مقایسه کارایی مدل پیشنهادی با روش‌های دیگر

LabelMe	UIUC-Sport		مدل
	ACC	F-mesure	
% ۸۱/۸۷	% ۴۸/۷	% ۷۶/۸۷	% ۴۸/۰ [۱۴] sLDA
% ۸۱/۹۷	% ۴۳/۳۲	% ۷۴/۲۳	% ۴۶/۳۸ [۱۵] DocNADE
% ۸۳/۶	% ۴۳/۸۷	% ۷۷/۲۹	% ۴۶/۹۵ [۱۶] SupDocNADE
% ۸۳/۰۱	% ۴۸/۲	% ۷۷/۰	% ۵۱/۰۸ روش پیشنهادی (k=1)
% ۸۴/۰۱	% ۴۸/۳۵	% ۷۸/۹	% ۵۲/۲۲ روش پیشنهادی (k=5)



شکل ۱۳- برای هر تصویر کلمات حاشیه درست (Grand truth)، کلمات حاصل از روش SupDocNADE و کلمات حاصل از روش پیشنهادی این مقاله بیان شده است. کلمات خط خود ره کلمات پیشنهادی اشتباہ هستند

- [6] J. D. McAuliffe, and D. M. Blei, "Supervised topic models," in *Advances in neural information processing systems*, pp. 121–128, 2008.
- [7] W. Chong, D. Blei, and F.-F. Li, "Simultaneous image classification and annotation," in *Computer Vision and Pattern Recognition IEEE Conference on*, pp. 1903–1910, 2009.
- [8] L.-J. Li, R. Socher, and L. Fei-Fei, "Towards total scene understanding: Classification, annotation and segmentation in an automatic framework," in *Computer Vision and Pattern Recognition IEEE Conference on*, pp. 2036–2043, 2009.
- [9] X. LI, C. SUN, L. U. Peng, X. WANG, and Y. ZHONG, "Simultaneous image classification and annotation based on probabilistic model," in *Journal of China Universities of Posts and Telecommunications*, vol. 19, no. 2, pp. 107–115, 2012.
- [10] Y. Wang, and G. Mori, "Max-margin Latent Dirichlet Allocation for Image Classification and Annotation," in *BMVC*, vol. 2, no. 6, pp. 7, 2011.
- [11] G. E. Hinton, and R. R. Salakhutdinov, "Replicated softmax: an undirected topic model," in *Advances in neural information processing systems*, pp. 1607–1614, 2009.
- [12] R. Salakhutdinov, and I. Murray, "On the quantitative analysis of deep belief networks," in *Proceedings of the 25th international conference on Machine learning*, pp. 872–879, 2008.
- [13] R. M. Neal, "Annealed importance sampling," *Statistics and computing*, vol. 11, no. 2, pp. 125–139, 2001.
- [14] H. Larochelle, and I. Murray, "The neural autoregressive distribution estimator," in *Proceedings of the Fourteenth International Conference on Artificial Intelligence and Statistics*, pp. 29–37, 2011.
- [15] H. Larochelle, and S. Lauly, "A neural autoregressive topic model," in *Advances in Neural Information Processing Systems*, pp. 2708–2716, 2012.
- [16] Y. Zheng, Y.-J. Zhang, and H. Larochelle, "Topic modeling of multimodal data: an autoregressive approach," in *Proceedings of the IEEE Conference on Computer Vision and Pattern Recognition*, pp. 1370–1377, 2014.
- [17] G. Csurka, C. Dance, L. Fan, J. Willamowski, and C. Bray, "Visual categorization with bags of keypoints," in *Workshop on statistical learning in computer vision, ECCV*, vol. 1, no. 1–22, pp. 1–2, 2004.
- [18] J. Sivic, and A. Zisserman, "Video Google: A text retrieval approach to object matching in videos," in *Computer Vision Ninth IEEE International Conference on*, pp. 1470, 2003.
- [19] K. Grauman, and T. Darrell, "The pyramid match kernel: Discriminative classification with sets of image
- در شکل ۱۳ نمونه‌ای از حاشیه‌نویسی کلمات توسط مدل پیشنهادی و مدل [۱۶] نشان داده شده است. همانطور که مشاهده می‌شود کیفیت کلمات حاشیه‌نویسی در مدل پیشنهادی بهبود یافته است. برخلاف روش SupDocNADE پرهیز کرده و در کلیه تصاویر بررسی شده تعداد کلمات حاشیه‌ای نظری mallet و athlete پیشنهاد شده اشتباه کمتری داشته است.

## ۵- نتیجه‌گیری

در این مقاله ابتدا مدل موضوعی SupDocNADE معرفی شد که نتایج خوبی در مدل کردن داده‌های چند مقداری مانند دسته‌بندی و حاشیه‌نویسی تصاویر ارائه داده است. در این مدل کلمات حاشیه‌نویسی در کنار کلمات بصری تعییه شده و به عنوان بردار ویژگی برای شبکه در نظر گرفته می‌شود. در عمل تعداد ویژگی‌های استخراج شده از تصویر بسیار بزرگ‌تر از ویژگی‌هایی است که از کلمات حاشیه‌نویسی بدست می‌آیند. عدم تعادل بین کلمات بصری و حاشیه‌نویسی سبب می‌شود تا سهم کلمات حاشیه‌نویسی برای بازنمایی در لایه پنهان شبکه عصبی موردن استفاده در این مدل، بسیار کمتر از کلمات بصری باشد. در این مقاله برای حل مشکل فوق، از وزن‌دهی ویژگی‌های ورودی شبکه استفاده شده است به این صورت که به کلمات حاشیه‌نویسی شده وزن بیشتری نسبت به کلمات بصری استخراج شده از تصویر داده شود تا فراوانی کم این کلمات نسبت به کلمات بصری جبران شود. از طرفی با افزودن قابلیت وزن دار کردن ورودی از روش کدگذاری LLC به جای روش سنتی کوانتیزاسیون برداری استفاده شد. نتایج نشان دهنده بهبود ۵ درصدی در معیار F مدل در حاشیه‌نویسی تصاویر و بهبود حداقل ۱ درصدی در دقت دسته‌بندی تصاویر است. در ادامه می‌توان از روش‌های پیشرفته‌تری به منظور استخراج ویژگی‌های تصویر استفاده کرد و همچنین می‌توان مفهوم توجه<sup>۴۴</sup> را در تولید کلمات حاشیه‌نویسی مد نظر قرار داد.

## مراجع

- [1] L.-J. Li, and L. Fei-Fei, "What, where and who? classifying events by scene and object recognition," in *Computer Vision IEEE 11th International Conference on*, pp. 1–8, 2007.
- [2] D. M. Blei, and M. I. Jordan, "Modeling annotated data," in *Proceedings of the 26th annual international ACM SIGIR conference on Research and development in information retrieval*, pp. 127–134, 2003.
- [3] D. M. Blei, A. Y. Ng, and M. I. Jordan, "Latent dirichlet allocation," in *Journal of machine Learning research*, vol. 3, no. Jan, pp. 993–1022, 2003.
- [4] D. M. Blei, "Probabilistic topic models," in *Communications of the ACM*, vol. 55, no. 4, pp. 77–84, 2012.
- [5] L. Fei-Fei, and P. Perona, "A bayesian hierarchical model for learning natural scene categories," in *Computer Vision and Pattern Recognition IEEE Computer Society Conference on*, vol. 2, pp. 524–531, 2005.

<sup>۳</sup>Latent Dirichlet Allocation<sup>۴</sup>Multimodal<sup>۵</sup>Visual Word<sup>۶</sup>Multi-Class Supervised Latent Dirichlet Allocation<sup>۷</sup>Exact Inference<sup>۸</sup>Intractable<sup>۹</sup>Posterior<sup>۱۰</sup>Replicated Softmax<sup>۱۱</sup>Partition Function<sup>۱۲</sup>Annealed Importance Sampling<sup>۱۳</sup>Neural Autoregressive Distribution Estimator<sup>۱۴</sup>Restricted Boltzmann Machine<sup>۱۵</sup>Autoencoder<sup>۱۶</sup>Bag-of-Feature<sup>۱۷</sup>Spatial Pyramid Matching<sup>۱۸</sup>Quantization<sup>۱۹</sup>Radial Basis Function<sup>۲۰</sup>Vector Quantization<sup>۲۱</sup>Locality<sup>۲۲</sup>Cross Validation<sup>۲۳</sup>Patch<sup>۲۴</sup>Attention

features," in *Computer Vision Tenth IEEE International Conference on*, vol. 2, pp. 1458–1465, 2005.

[20] S. Lazebnik, C. Schmid, and J. Ponce, "Beyond bags of features: Spatial pyramid matching for recognizing natural scene categories," in *Computer vision and pattern recognition IEEE computer society conference on*, vol. 2, pp. 2169–2178, 2006.

[21] J. Wang, J. Yang, K. Yu, F. Lv, T. Huang, and Y. Gong, "Locality-constrained linear coding for image classification," in *Computer Vision and Pattern Recognition IEEE Conference on*, pp. 3360–3367, 2010.

[22] J. Yang, K. Yu, Y. Gong, and T. Huang, "Linear spatial pyramid matching using sparse coding for image classification," in *Computer Vision and Pattern Recognition IEEE Conference on*, pp. 1794–1801, 2009.

[23] B. C. Russell, A. Torralba, K. P. Murphy, and W. T. Freeman, "LabelMe: a database and web-based tool for image annotation," *International journal of computer vision*, vol. 77, no. 1, pp. 157–173, 2008.

**سید نوید محمدی فومنی** مدرک کارشناسی و کارشناسی ارشد خود را به ترتیب از دانشگاه زنجان در سال ۹۳ و دانشگاه صنعتی امیرکبیر در سال ۹۵ دریافت نموده است. پایان‌نامه ایشان در مورد استفاده از مدل‌های عنوان جهت دسته‌بندی و حاشیه‌نویسی تصاویر می‌باشد که از رویکرد شبکه‌های عصبی کانولوشنی جهت استخراج ویژگی



استفاده شده است.

آدرس پست‌الکترونیکی ایشان عبارت است از:

navid\_foumani@aut.ac.ir

**احمد نیک‌آبادی** عضو هیئت علمی دانشکده مهندسی کامپیوتر و فناوری اطلاعات دانشگاه صنعتی امیرکبیر است. وی مدرک کارشناسی ارشد و دکترای خود را در زمینه هوش مصنوعی از دانشگاه صنعتی امیرکبیر دریافت کرده است. زمینه‌های تحقیقاتی مورد علاقه ایشان مدل‌های احتمالاتی گرافی، پردازش تصویر و هوش محاسباتی است.



آدرس پست‌الکترونیکی ایشان عبارت است از:

nickabadi@aut.ac.ir

#### اطلاعات بررسی مقاله:

تاریخ ارسال: ۱۳۹۵/۱۰/۲۸

تاریخ اصلاح: ۱۳۹۵/۱۱/۱۵

تاریخ قبول شدن: ۱۳۹۵/۱۱/۳۰

نویسنده مرتبط: دکتر احمد نیک‌آبادی، دانشکده مهندسی کامپیوتر و  
فناوری اطلاعات، دانشگاه صنعتی امیرکبیر، تهران، ایران.

<sup>۱</sup>Annotation

<sup>۲</sup>Probabilistic Topic Models

## بهبود ترجمه ماشینی مبتنی بر قاعده از قواعد نحوی آماری

فرناز قاسمی تودشکی

هشام فیلی

حکیمه فدائی

دانشکده مهندسی برق و کامپیوتر، دانشگاه تهران، تهران، ایران

### چکیده

ترجمه ماشینی مبتنی بر قاعده<sup>۱</sup> از مجموعه‌ای از قواعد که دربردارنده اطلاعات زبانی هستند در فرایند ترجمه استفاده می‌کند. نتایج تولید شده توسط این مترجم‌ها معمولاً از نظر دستور زبان و ترتیب کلمات بهتر از نتایج مترجم‌های آماری هستند. ولی تحقیقات نشان داده است که این ترجمه‌ها از نظر روانی و انتخاب کلمات مناسب، ضعیفتر از مترجم‌های آماری هستند. در این مقاله هدف، بهبود انتخاب لغات در مترجم مبتنی بر قاعده است. این کار با استفاده از مجموعه‌ای از قواعد نحوی-لغوی مبتنی بر گرامر درخت-پیوندی<sup>۲</sup> (TAG) انجام می‌شود. این قواعد احتمالاتی به صورت آماری از یک پیکره موازی با اندازه بزرگ استخراج شده‌اند. در سیستم ارائه شده، کلمات با ترتیب پیشنهادی مترجم مبتنی بر قاعده در زبان مقصد قرار می‌گیرند و به همین دلیل در ترجمه جملات از یک رمزگشای یکنواخت مبتنی بر برنامه‌ریزی پویا<sup>۳</sup> استفاده شده است. در این سیستم بهترین ترجمه با استناد به احتمال قواعد استفاده شده و امتیاز مدل زبانی انتخاب می‌شود. آزمایش‌ها روی ترجمه انگلیسی به فارسی نشان داد که کیفیت نتایج بدست آمده از روش پیشنهادی حدود ۱/۳ واحد بلو از کیفیت ترجمه بدست آمده توسط مبتنی بر قاعده پایه بالاتر است.

**کلمات کلیدی:** ترجمه ماشینی ترکیبی، ترجمه ماشینی مبتنی بر قاعده، قواعد آماری، قواعد نحوی-لغوی، گرامر درخت-پیوندی.

### ۱- مقدمه

روش‌های ترکیبی متداول در ترجمه ماشینی می‌توان به اضافه کردن اطلاعات زبانی و نحوی به مترجم‌های آماری و یا استفاده از عبارات استخراج شده در مترجم آماری برای غنی‌سازی مترجم مبتنی بر قاعده اشاره کرد.

رویکرد مبتنی بر قاعده به عنوان قدیمی‌ترین رویکرد در حوزه ترجمه ماشینی شناخته می‌شود و بر پایه مجموعه‌ای از قواعد که معمولاً توسط انسان ایجاد شده است استوار است. این مجموعه قواعد نحوه انتقال نحوی و لغوی از یک زبان به زبان دیگر را مدل‌سازی می‌کنند. از اجایی که این مجموعه قواعد با نظرارت انسان تولید می‌شوند استفاده از این رویکرد هزینه بسیار زیادی به همراه دارد. در ازای این هزینه، نتایج تولید شده توسط مترجم‌های مبتنی بر قاعده از نظر دستور زبان صحیح‌تر هستند و ترتیب کلمات در آن‌ها بهتر رعایت شده است. ترجمه ارائه شده توسط این مترجم‌ها، به دلیل در نظر گرفتن اطلاعات زبان‌شناسی، معمولاً از نظر تطابق فعل و فعل، زمان، شخص و شمار افعال و خصوصیات ساخت‌واژی دیگر، بهتر از نتایج مترجم‌های آماری است. این در حالی است که مترجم‌های آماری از نظر انتخاب معادل مناسب برای کلمات در زبان مقصد، معمولاً بهتر از مترجم‌های مبتنی بر قاعده عمل می‌کنند. مترجم‌های آماری در انجام جابجایی‌های نزدیک

ترجمه ماشینی یکی از شاخه‌های پرکاربرد و پیچیده در پردازش زبان طبیعی است. با توجه به گسترش روزافزون استناد تحت وب، درخواست استفاده از سرویس‌های ترجمه ماشینی بسیار بالاست و شرکت‌های بزرگ فعال در این حوزه به طور مداوم در حال تلاش برای بهبود محصولات خود هستند. در سال‌های گذشته رویکردهای متفاوتی برای این مسئله ارائه شده است که هر کدام نقاط قوت و ضعف خاص خود را دارند. از میان این رویکردها می‌توان به ترجمه مبتنی بر قاعده، ترجمه آماری، ترجمه مبتنی بر مثال و ترجمه بر پایه شبکه‌های عصبی اشاره کرد. همچنین با ترکیب رویکردهای مختلف روش‌های ترکیبی<sup>۴</sup> ارائه داد. این روش‌ها سعی در همافرازی نقاط مثبت رویکردهای ترکیب شده دارند. در روش‌های ترکیبی معمولاً یکی از رویکردهای عنوان شده به عنوان رویکرد اصلی انتخاب می‌شود و فرایند ترجمه با تکیه بیشتر بر آن روش انجام می‌شود و روش‌های استفاده شده دیگر برای بهبود و کم کردن خطاهای روش پایه به کار می‌آیند. از

هم در زمان ترجمه انجام می‌شود. یعنی هر جمله سمت مبدأ پیکره موازی آموزش، توسط این قواعد بازاری می‌شود و پیکره جدید در فرایند آموزش مورد استفاده قرار می‌گیرد. این تغییرات روی مجموعه داده‌های توسعه و آزمون نیز انجام می‌شود. در برخی روش‌ها به جای قواعد تولید شده توسط خبره، از قواعد تولید شده با روش‌های آماری استفاده می‌شود [۸] [۹].

اطلاعات به دست آمده از ترجمه مبتنی بر قاعده ممکن است در فاز رمزگشایی مورد استفاده قرار بگیرد. در [۱۰] از ترجمه‌های بدست آمده توسط چند سیستم مبتنی بر قاعده، مجموعه‌ای از عبارات دوزبانه استخراج شده است. این عبارات به جدول عبارات یک متوجه مبتنی بر عبارت اضافه شده‌اند و در فاز رمزگشایی مورد استفاده قرار گرفته‌اند. احسن و همکارانش [۱۱] به روش‌های مختلف از ترجمه مبتنی بر قاعده برای بهبود ترجمه مبتنی بر عبارت استفاده کرده‌اند. از جمله این روش‌ها می‌توان به جابجایی کلمات در زبان مبدأ توسط متوجه مبتنی بر قاعده و همچنین غنی‌سازی جدول عبارات اشاره کرد. در [۱۲] نیز، عبارات دوزبانه منطبق با قواعد و همچنین واژه‌نامه استفاده شده در ترجمه مبتنی بر قاعده را به جدول عبارات روش مبتنی بر عبارت اضافه کرده‌اند.

از قواعد می‌توان در فاز پس‌پردازش نیز استفاده کرد. در [۱۳] روشی ارائه شده است که برخی خطاها در دستور زبان را در خروجی متوجه آماری با استفاده از مجموعه‌ای از قواعد تشخیص می‌دهد و تصحیح می‌کند. این قواعد بر پایه گرامر درخت - پیوندی هستند که ویژگی‌هایی به درختان آنها نسبت داده شده است. با تطبیق این ویژگی‌ها بر خروجی تولید شده، خطاهای تشخیص داده می‌شوند.

## ۲-۱- روش‌های ترکیبی بر پایه متوجه مبتنی بر قاعده

در [۱] مقایسه‌ای بین رویکرد مبتنی بر قاعده و رویکرد آماری ارائه شده است. براساس این تحقیق متوجه‌های مبتنی بر قاعده در رعایت کردن ترتیب صحیح کلمات و تولید صورت صحیح ساخته‌واری کلمات زبان مقصود مشکلات کمتری نسبت به متوجه‌های آماری دارند. از این‌رو این رویکرد برای ترجمه بین زوج زبان‌هایی که از نظر ساختاری از هم فاصله زیادی دارند مناسب به نظر می‌رسد. همچنین در ترجمه به زبان‌هایی که از نظر ساخته‌واری غنی هستند، متوجه‌های مبتنی بر قاعده می‌توانند بهتر عمل کنند. به همین دلیل ما در سیستم ترکیبی پیشنهادی خود، یک متوجه مبتنی بر قاعده را به عنوان متوجه پایه در نظر گرفتیم و با افزودن اطلاعات آماری در جهت بهبود کیفیت نتایج این متوجه قدم برداشتیم.

متوجه مبتنی بر قاعده نیز می‌تواند در مراحل مختلف ترجمه از ترکیب شدن روش آماری و یا اطلاعات آن بهره ببرد. به عنوان مثال در روش ارائه شده در [۱۴] نتایج تولید شده توسط متوجه مبتنی بر قاعده با استفاده از یک مدل آماری پس‌ویرایش می‌شوند. این مدل آماری با گرفتن ترجمه متوجه مبتنی بر قاعده به عنوان متن مبدأ و ترجمه انسانی به عنوان متن مقصود، آموزش داده شده است. پس از آموزش مدل، نتایج متوجه مبتنی بر قاعده بر روی مجموعه داده تست به متوجه آماری مبتنی بر عبارت جدید داده می‌شوند تا پس‌ویرایش‌های لازم روی آن‌ها اعمال شود.

برخی از سیستم‌های ترکیبی سعی بر غنی کردن دادگان متوجه‌های مبتنی بر قاعده دارند. در [۱۵] واژه‌نامه متوجه مبتنی بر قاعده با استفاده از واژه‌های استخراج شده از منابع تحت وب تقویت شده است. همچنین در [۱۶] از عبارات استخراج شده به روشن آماری از پیکره موازی برای تقویت واژه‌نامه متوجه مبتنی بر قاعده استفاده شده است. ما نیز به نحوی در روش پیشنهادی خود این کار را انجام می‌دهیم، با این تفاوت که ما ترجمه کلمات و عبارات را به همراه بافت نحوی‌شان به مجموعه اضافه می‌کنیم.

قوی‌تر هستند و به دلیل استفاده از مدل زبانی معمولاً ترجمه‌های روان‌تری نسبت به ترجمه مبتنی بر قاعده ارائه می‌دهند [۱]. بدین ترتیب اگر بتوان متوجه مبتنی بر قاعده را با استفاده از اطلاعات متوجه آماری غنی کرد، امید است که نتایج بهتری نسبت به متوجه مبتنی بر قاعده پایه به دست آید.

در این مقاله هدف ما استفاده از اطلاعات آماری در بهبود نتایج متوجه مبتنی بر قاعده است. بدین ترتیب که می‌خواهیم برای ترتیب قرارگیری کلمات در زبان مقصود به متوجه مبتنی بر قاعده استناد کنیم. از آنجایی که این متوجه‌ها از قواعد نحوی استفاده می‌کنند معمولاً در تشخیص جابجایی‌های دور بین کلمات قوی‌تر از متوجه‌های آماری عمل می‌کنند و از این نظر برای ترجمه بین زوج زبان‌های دور مانند انگلیسی و فارسی مناسب‌تر هستند. از آنجایی که بافت نحوی کلمه در زبان مبدأ می‌تواند در انتخاب معادل مناسب در زبان مقصود بسیار مفید باشد، ما مجموعه‌ای از قواعد همگام نحوی-لغوی را به صورت آماری استخراج کرده‌ایم و برای هر کلمه یا مجموعه از کلمات در جمله مبدأ با توجه به بافت نحوی این کلمات و با استناد به این قواعد معادل مناسب را پیشنهاد می‌دهیم.

قواعد استخراج شده مبتنی بر گرامر درخت-پیوندی [۲] هستند و با توجه به میزان رخدادشان در پیکره آموزشی به هریک از آن‌ها احتمالی نسبت داده شده است. سیستم ما در نهایت ترجمه کلمات را بین ترجمه‌های پیشنهاد شده توسط متوجه مبتنی بر قاعده و ترجمه‌های ارائه شده توسط مدل آماری انتخاب می‌کند. همچنین از آنجایی که ترتیب کلمات توسط متوجه مبتنی بر قاعده تعیین می‌شود، ترجمه به صورت یکنواخت<sup>۵</sup> انجام می‌شود و می‌توان برای انتخاب ترجمه بهیهنه از برنامه‌ریزی پویا استفاده کرد که پیچیدگی زمانی بسیار کمتری نسبت به الگوریتم‌های جستجو در ترجمه آماری دارد. در این مقاله از متوجه مبتنی بر قاعده فرازین [۳] به عنوان متوجه پایه استفاده شده است.

ادامه مقاله به این ترتیب ساماندهی شده است: در بخش ۲ به مرور کارهای پیشین و مرتبط با این مقاله می‌پردازیم. در بخش ۳ گرامر درخت - پیوندی را به اختصار معرفی می‌کنیم. بخش ۴ به توضیح جزئیات سیستم پیشنهادی اختصاص داده شده است. در بخش ۵ نتایج به دست آمده از این سیستم را مورد بررسی قرار می‌دهیم و در نهایت در بخش ۶ به نتیجه‌گیری می‌پردازیم.

## ۲- کارهای پیشین

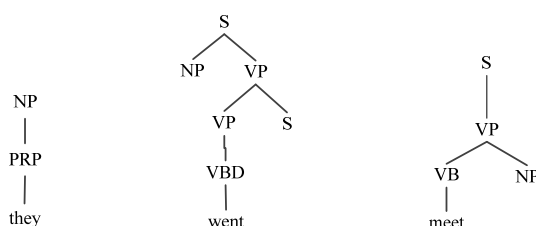
روش‌های ترکیبی در ترجمه مашینی مورد توجه بسیاری از محققان بوده‌اند. این روش‌ها معمولاً یک رویکرد را به عنوان رویکرد پایه انتخاب کرده و با ترکیب رویکردهای دیگر سعی در بهبود نتایج روش‌های دارند. در [۴] روش‌های ترکیبی به دو دسته تقسیم شده‌اند؛ روش‌هایی که بر پایه متوجه‌های آماری هستند و سعی دارند نتایج این متوجه‌ها را با تزریق اطلاعات زبان‌شناسی تقویت کنند و دسته دیگر روش‌هایی که بر پایه متوجه‌های مبتنی بر قاعده هستند و با استفاده از داده‌های به دست آمده از روش‌های آماری سعی در بهبود کیفیت متوجه مبتنی بر قاعده دارند.

## ۲-۱- روش‌های ترکیبی بر پایه متوجه آماری

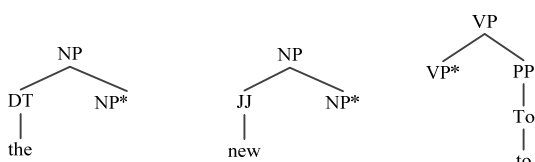
ترجمه مبتنی بر قاعده می‌تواند در مرحله رمزگشایی و یا پیش و پس‌پردازش با ترجمه آماری ترکیب شود [۵]. معمولاً هدف سیستم‌هایی که از روش مبتنی بر قاعده در فاز پیش‌پردازش استفاده می‌کنند، نزدیک کردن ساختار جمله و رودی به ساختار زبان مقصود است [۶] [۷]. در این روش‌ها ترتیب کلمات در جمله و رودی با توجه به قواعد نحوی تغییر پیدا می‌کند و جمله تغییریافته توسط مدل مبتنی بر عبارت ترجمه می‌شود. این تغییر در ترتیب کلمات هم در زمان آموزش متوجه و

گفته می‌شود. درختان اولیه خود به دو دسته درختان ابتدایی و درختان کمکی تقسیم می‌شوند. درختان ابتدایی ساختارهای نحوی اصلی در جمله را تشکیل می‌دهند و در آن‌ها تمام گره‌های داخلی، غیرپایانه و برگ‌ها پایانه یا غیرپایانه هستند. در گرامر درخت-پیوندی لغوی<sup>۱۶</sup> هر درخت اولیه حتماً دارای یک برگ لغوی است که به آن لنگر<sup>۱۷</sup> گفته می‌شود. یک اشتراق TAG حتماً با یک درخت ابتدایی شروع می‌شود. نمونه‌هایی از درختان ابتدایی در شکل ۱ نمایش داده شده‌اند.

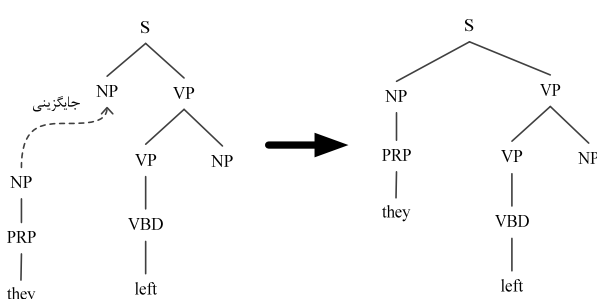
دسته دوم از درختان، که وجه تمایز TAG با TSG به حساب می‌آیند، درختان کمکی هستند. این درختان برای وارد کردن سازه‌ها در یک درخت دیگر استفاده می‌شوند و معمولاً نشان‌دهنده سازه‌های اختیاری و ساختارهای بازگشته هستند. در هر درخت کمکی یک برگ با علامت ستاره (\*) مشخص می‌شود که به آن گره انتهایی<sup>۱۸</sup> گفته می‌شود. غیرپایانه مربوط به این گره حتماً با غیرپایانه‌ای که در ریشه درخت قرار دارد یکسان است. چند نمونه از این درختان در شکل ۲ نمایش داده شده‌اند. قاعده سمت چپ نشان می‌دهد که حرف تعریف "the" می‌تواند قبل از یک عبارت اسمی اضافه شود و یک عبارت اسمی جدید تولید کند. قاعده وسط نشان می‌دهد که صفت "new" می‌تواند پیش از یک گروه اسمی اضافه شود و یک گروه اسمی جدید بسازد. و در نهایت قاعده سمت راست نشان دهنده اضافه شدن حرف اضافه "to" به انتهای یک عبارت فعلی و تولید یک عبارت فعلی جدید است.



شکل ۱- نمونه‌هایی از درختان ابتدایی TAG



شکل ۲- نمونه‌هایی از درختان کمکی TAG



شکل ۳- نمونه‌ای از عملیات جایگزینی

در TAG دو عملیات روی درختان اولیه قابل اعمال است که باعث اتصال درختان اولیه به یکدیگر می‌شوند: عملیات جایگزینی و الحاق. جایگزینی نوعی اتصال محسوب می‌شود و روی درختان ابتدایی قابل اعمال است. در این عملیات یک درخت ابتدایی با ریشه X به یک درخت دیگر با برگ X متصل می‌شود. این

### ۲-۳- گرامرهای مورد استفاده در مدل کردن اطلاعات نحوی

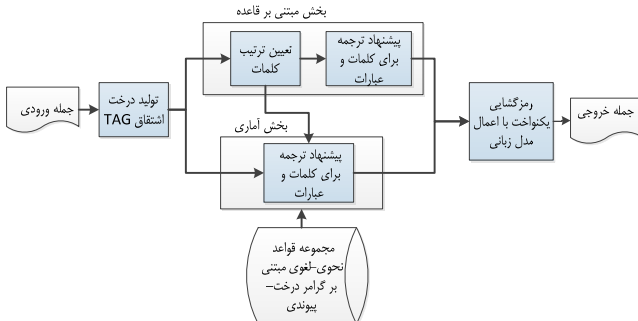
استفاده از اطلاعات نحوی در ترجمه ماشینی را از منظر نوع گرامر مورد استفاده نیز، می‌توان بررسی کرد. برخی مترجم‌ها از ساختارهای وابستگی در ترجمه استفاده می‌کنند [۱۷] در حالی که دیگر مترجم‌ها از گرامرهای مبتنی بر سازه استفاده می‌کنند. قدرت گرامرهای مختلف استفاده شده متفاوت است. یک فرمالیسم ممکن است قادر به مدل کردن پدیده‌هایی در زبان باشد که گرامر دیگر توانایی نمایش آن‌ها را ندارد. در بین گرامرهای مبتنی بر سازه، ابتدا گرامرهای مستقل از متن (CFG) در ترجمه ماشینی مورد استفاده قرار گرفتند [۱۸]. توانایی این گرامرها در مدل کردن برخی جاچایی‌ها باعث شد محققین این حوزه به سراغ گرامرهایی با دامنه محلی بزرگ‌تر<sup>۱۹</sup> مانند TSG<sup>۷</sup> بروند [۱۸]. در TSG تنها یک عملیات "جاگزینی"<sup>۸</sup> وجود دارد و در هر مرحله از اشتراق یک غیرپایانه با یک درخت جایگزین می‌شود. در CFG قواعد به صورت درخت‌هایی دو سطحی هستند و به همین دلیل تنها می‌توانند جاچایی‌های در سطح همزادها<sup>۹</sup> را مدل کنند ولی در TSG این محدودیت وجود ندارد و قواعد می‌توانند از درختانی با بیش از دو سطح تشکیل شده باشند.

TSG نیز دارای محدودیتهایی است و نمی‌تواند ساختارهای حساس به متن<sup>۱۰</sup> را مدل کند. همچنین برخی از قواعد تولید شده توسط مدل مبتنی بر TSG ساختارهای مسطح و بزرگی را مورد پوشش قرار می‌دهند که باعث می‌شوند یک کلمه با تعداد زیادی از وابسته‌هایی در قالب یک قاعده دیده شود. بدین ترتیب با دیدن ترکیب جدیدی از وابسته‌ها در زمان ترجمه، سیستم قاعده‌ای برای پوشش آن‌ها پیدا نمی‌کند. برای رفع این مشکل، و استخراج قواعد عمومی‌تر از دودویی‌سازی درختان استفاده می‌شود. در این روش هر سازه با بیش از دو فرزند به تعدادی زیرسازه شکسته می‌شود و درخت مربوطه به شکل دودویی در می‌آید. این کار باعث شکسته شدن ساختارهای بزرگ و مسطحی که راجع به آن‌ها صحبت شد، به ساختارهای کوچک‌تر می‌شود. در [۲۰] عنوان می‌شود که دودویی‌سازی درختان که از آن به عنوان روشی برای کم کردن محدودیتهای نحوی و رسیدن به قواعدی عمومی‌تر مطرح شد، ممکن است به آزادی بیش از حد در مدل بینجامد که باعث تولید نتایج نادرست از نظر نحوی شود. همچنین در دودویی‌سازی تفاوتی بین وابسته‌های اجرایی و اختیاری هسته<sup>۱۱</sup> گذاشته نمی‌شود و به همین دلیل در صورتی که بین یک هسته و یکی از وابسته‌های اجرایی آن یک وابسته اختیاری قرار بگیرد، وابسته اجرایی با هسته در قالب یک قاعده استخراج نمی‌شوند. برای کم کردن این مشکل و همچنین بالا بردن قدرت مدل در پذیرفتن ساختارهایی که TSG قادر به پذیرفتن آن‌ها نیست، مترجم‌هایی به سمت استفاده از گرامر درخت-پیوندی رفتند که در دسته‌بندی چامسکی جزء زبان‌های حساس به متن ملایم<sup>۱۲</sup> دسته‌بندی می‌شود. در این گرامرهای بعلاوه بر عملیات جایگزینی که در TSG نیز وجود دارد، دارای عملیات الحاق<sup>۱۳</sup> نیز هست. این عملیات قادر است زیر درخت‌هایی را به جای یک گره در یک درخت موجود اضافه کند و برای مدل کردن اتصال سازه‌های اختیاری<sup>۱۴</sup> و ساختارهای بازگشته استفاده می‌شود. درختان TAG اطلاعات ساختار وابستگی را نیز در خود دارند و به همین دلیل قدرتمندتر از گرامرهای وابستگی هستند. در سیستم پیشنهادی در این مقاله از گرامر درخت-پیوندی در مدل کردن اطلاعات نحوی استفاده شده است. در بخش بعد در مورد گرامر درخت-پیوندی توضیحاتی ارائه خواهد شد.

### ۳- گرامر درخت-پیوندی

گرامر درخت-پیوندی یکی از فرمالیسم‌های قوی در مدل کردن پدیده‌های زبانی است. در این گرامر واحدهای سازنده، درختانی هستند که به آن‌ها درختان اولیه<sup>۱۵</sup>

پیشنهادی را از مجموعه قواعد آماری استخراج می‌کند. این ترجمه‌های پیشنهادی به همراه ترجمه‌های ارائه شده توسط فرازین در اختیار رمزگشای<sup>۲۳</sup> یک‌نواخت قرار داده می‌شود تا این رمزگشای با توجه به امتیاز هر ترجمه و با در نظر گرفتن مدل زبانی بهترین ترجمه را از بین ترجمه‌های ممکن انتخاب و به عنوان خروجی سیستم اعلام کند. جزئیات مربوط به رمزگشایی در بخش ۲-۴ شرح داده شده است.



شکل ۵- روال کار سیستم پیشنهادی

#### ۴- قواعد نحوی- لغوی

- همان‌طور که گفته شد قواعد استفاده شده در این سیستم بر پایه گرامر درخت - پیوندی هستند. روال استخراج قواعد نحوی، که یک پیکره دوزبانه را به عنوان ورودی می‌گیرد، شامل مراحل زیر است [۲۰]:
۱. به دست آوردن همترازی در سطح کلمه بین جملات مبدأ و مقصد پیکره موازی
  ۲. تجزیه نحوی جملات سمت مبدأ
  ۳. تبدیل درختان تجزیه به درختان اشتراق TAG
  ۴. استخراج قواعد کمینه از درختان اشتراق
  ۵. استخراج قواعد مرکب
  ۶. تخمین احتمالات مربوط به قواعد

برای تولید همترازی در سطح کلمات از ابزاری مانند GIZA++ [۲۴] استفاده می‌شود. برای تجزیه نحوی جملات سمت مبدأ نیز از یکی از تجزیه‌گرهای موجود مانند تجزیه‌گر استنفورد [۲۲] می‌توان استفاده کرد. پس از تولید درخت تجزیه باید درخت اشتراق TAG را از روی آن ساخت. برای این کار از روش‌های متفاوتی می‌توان استفاده کرد. روش ارائه شده در [۲۰] و [۲۳] تقریباً مشابه یکدیگر است. هر دو این روش‌ها از اطلاعات زبان‌شناسی برای تشخیص هسته سازه و ابسته‌های مربوط به آن استفاده می‌کنند و با توجه به این اطلاعات درخت اشتراق TAG را تولید می‌کنند. این در حالی است که الگوریتم ارائه شده در [۲۵] تنها با توجه به ظاهر درخت و بدون استفاده از اطلاعات زبان‌شناسی دست به تولید درخت اشتراق می‌زند. از این‌رو این روش برای یک درخت تجزیه واحد چند درخت اشتراق محتمل تولید می‌کند در حالی که الگوریتم ارائه شده توسط چن [۲۳] تنها یک درخت اشتراق به عنوان خروجی تولید می‌کند. به همین دلیل و همچنین به دلیل استفاده از اطلاعات زبانی در روش ارائه شده توسط چن، ما از این الگوریتم استفاده می‌کنیم.

##### ۴-۱- استخراج قواعد کمینه

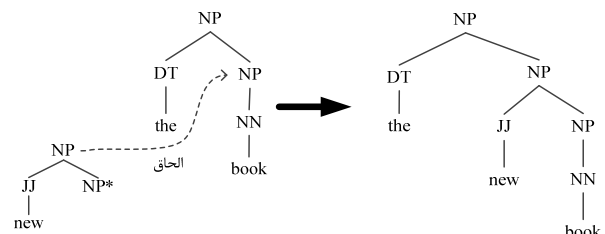
پس از تولید درخت اشتراق برای جمله ورودی، با توجه به آن درخت و همچنین همترازی کلمات جمله با کلمات جمله زبان مقصد، قواعد کمینه را استخراج

ح. فدائی، م. فیلی و ف. قاسمی تودشکی: بهبود ترجمه ماشینی مبتنی بر قاعده ... (مقاله عادی)

عملیات در TSG نیز وجود دارد و به طور مشابه انجام می‌شود. نمونه‌ای از این عملیات که اضافه شدن فاعل به جمله را نشان می‌دهد در شکل ۳ نمایش داده شده است.

الحق عملیاتی است که روی درختان کمکی انجام می‌شود. در این عملیات یک درخت کمکی در میان یک درخت اولیه اضافه می‌شود گرمهای در درخت پدر که درخت کمکی در آن اضافه می‌شود دارای یک "جاگاه الحق"<sup>۲۹</sup> است. در این عملیات فرزندان گره محل الحق جدا شده و به زیر گره انتهایی متصل می‌شوند. سپس درخت کمکی تغییریافته در گره محل الحق جایگزین می‌شود. نمونه‌ای از این عملیات که اضافه شدن یک صفت به یک عبارت اسمی را نشان می‌دهد در شکل ۴ نمایش داده شده است. قدرت گرامر درخت - پیوندی در عملگر الحق نهفته است. این عملگر به ما این امکان را می‌دهد که یک درخت اولیه را در میان یک درخت اولیه دیگر وارد کنیم و این کار می‌تواند به دفعات انجام شود. در درخت اشتراق درخت - پیوندی یک جمله، سازه‌های اختیاری عموماً در قالب عملیات الحق از هسته خود جدا می‌شوند. این جداسازی باعث می‌شود در استخراج قواعد به قواعد کلی تری دست پیدا کنیم که کمتر با خطر تنکی روبرو هستند [۲۱].

درخت تجزیه هر جمله در زبان، از ترکیب درختان ابتدایی و کمکی با عملیات جایگزینی و الحق ساخته می‌شود و به آن درخت استنتاج<sup>۲۱</sup> گفته می‌شود و از نظر ظاهري تفاوتی با درخت تجزیه CFG ندارد. ساخته درختان اولیه را در میان انجام شده روی آن‌ها برای ساخت جمله، در درخت اشتراق<sup>۲۲</sup> ذخیره می‌شود.



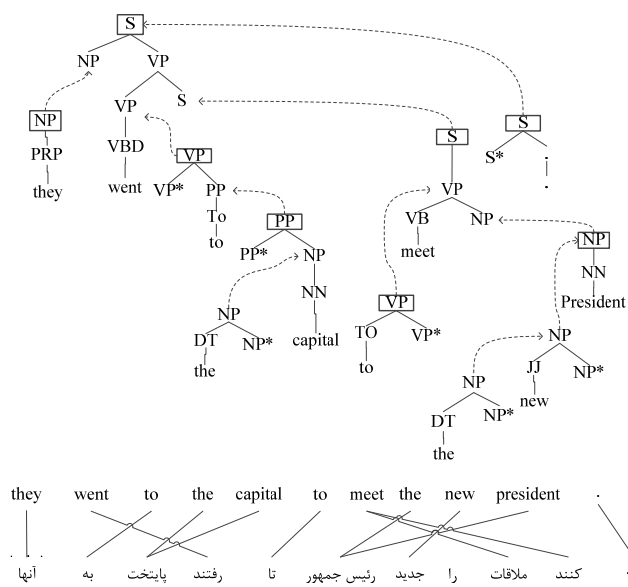
شکل ۴- نمونه‌ای از عملیات الحق

#### ۴- سیستم پیشنهادی

هدف کلی سیستم پیشنهادی، بهبود ترجمه ارائه شده توسط یک سیستم مبتنی بر قاعده با استفاده از مجموعه از قواعدی نحوی است که به صورت آماری از یک پیکره موازی استخراج شده‌اند. این قواعد مبتنی بر گرامر درخت - پیوندی هستند و نحوه استخراج آن‌ها در بخش ۱-۴ شرح داده شده است.

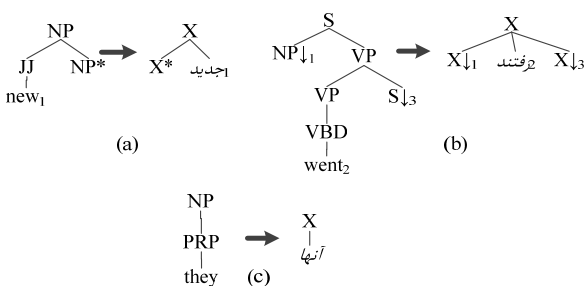
نمودار بلوکی نمایش داده شده در شکل ۵ روند کار سیستم ترکیبی پیشنهاد شده در این مقاله را نمایش می‌دهد. مطابق این شکل برای هر جمله ورودی ابتدای درخت اشتراق در فرمالیسم درخت - پیوندی تولید می‌شود. برای این کار ابتدای جمله توسط تجزیه‌گر استنفورد [۲۲] تجزیه نحوی شده و طی فرایندی مبتنی بر قاعده [۲۳] درخت اشتراق آن تولید می‌شود. در مرحله بعد مترجم انگلیسی - فارسی فارزین با استناد به این درخت اشتراق و قواعد داخلی خود، ترتیب صحیح ترجمه کلمات در زبان فارسی را تعیین می‌کند. همچنین برای هر کلمه یا هر دنباله از کلمات که معادلی در واژه‌نامه خود داشته باشد، واژه یا عبارت ترجمه را پیشنهاد می‌دهد. لازم به ذکر است که در روش ارائه شده استخراج از درخت اشتراق در مترجم مبتنی بر قاعده ضروری نیست و هر مترجم مبتنی بر قاعده دیگری با ساختار دلخواه می‌تواند جایگزین فارزین شود.

بخش آماری سیستم با توجه به ترتیب کلمات ارائه شده توسط فرازین و با استفاده از قواعد خود برای هر کلمه یا هر دنباله متولی از کلمات، ترجمه‌های



شکل ۷- درختان کاندیدای استخراج در جمله "They went to the capital to meet the new president."

در شکل ۸ قاعده اول نشان می‌دهد که اگر صفت "new" به یک گروه اسمی پیویندد، در ترجمه به فارسی جای ترجمه صفت (جدید) با ترجمه گروه اسمی جاگذاشود. قاعده دوم ترجمه یک جمله متعددی با فعل "went" را نشان می‌دهد. در انگلیسی فعل بین فعل و مفعول فرار دارد، در حالی که در ترجمه به فارسی فعل به انتهای جمله و بعد از مفعول انتقال پیدا می‌کند. قاعده سوم یک قاعده لغوی است که هیچ غیریابی‌هایی در آن حضور ندارد و نشان می‌دهد که ضمیر "they" به "آنها" ترجمه می‌شود.



شکل ۸- نمونه‌هایی از قواعد کمینه استخراج شده از جمله مثال

## ۲-۱-۴- استخراج قواعد مرکب

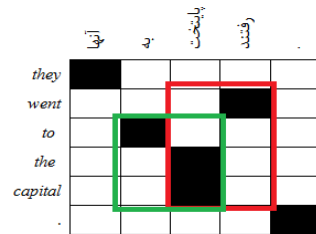
قواعد کمینه مطابق آنچه در بخش ۱-۱-۴- توضیح داده شد، استخراج می‌شوند. این قواعد کوچک‌ترین قواعد قابل استخراج از داده‌های ورودی و غالباً شامل یک لنگر هستند و به همین دلیل بافت کمی را پوشش می‌دهند. به‌منظور نزدیک شدن به قدرت مترجم‌های مبتنی بر عبارت در ترجمه عبارات چند کلمه‌ای، محققین به سراغ قواعد پیچیده‌تر و بزرگ‌تر رفته‌اند بافت بزرگ‌تری را مورد پوشش قرار دهند [۲۷]. این قواعد که از ترکیب چند قواعد کمینه به دست می‌آیند قواعد مرکب<sup>۲۹</sup> نامیده می‌شوند. سمت چپ این قواعد ترکیبی از چند درخت اولیه‌ی همبند و سمت راست آنها رشتاهی در زبان مقصود است که به‌طور مستقل با توجه به همترازی‌ها استخراج می‌شود. معمولاً برای تولید قواعد مرکب محدودیت‌هایی قائل می‌شوند که اندازه و تعداد قواعد از حدی بزرگ‌تر نشود. این محدودیت می‌تواند بر روی اندازه درخت تولید شده از نظر ارتفاع و پهنای و یا تعداد

می‌کنیم. برای این کار تعدادی تعريف را مورخ کرده و هم‌زمان روش استخراج قواعد را توضیح می‌دهیم.

**تعريف ۱:** زوج دنباله‌ای از کلمات در زبان مبدأ و مقصد را سازگار<sup>۲۴</sup> با همترازی (با اختصار "سازگار") گویند که هر کلمه در سمت مبدأ تنها به کلمات داخل دنباله سمت مقصد و یا Null همتراز شده باشد و برعکس [۲۶].

این تعريف اساس استخراج عبارات در مترجم مبتنی بر عبارت است. شکل ۶ همترازی‌های بین کلمات دو جمله فارسی و انگلیسی را نمایش می‌دهد. با توجه به این شکل زوج عبارت "به پایتخت، رئیس جمهور" سازگار است. ولی زوج عبارت "پایتخت رفتند" و "آمدند" نیز سازگار است. ولی زوج عبارت "went to the capital" و "هم‌زمان رفتند" نیز سازگار است.

**تعريف ۲:** درخت اولیه‌ای را "کاندیدای استخراج قاعدة"<sup>۲۵</sup> گویند که لنگر آن و لنگرهای تحت پوشش هر یک از درختان اولیه فرزندان آن در درخت تجزیه، تشکیل یک عبارت سازگار با سمت مقصد دهد [۲۰].



شکل ۶- مثال‌هایی از عبارات سازگار و غیرسازگار

برای استخراج قواعد در مدل نحوی مبتنی بر TAG، درخت اشتقاق بهصورت پایین به بالا مورد بررسی قرار می‌گیرد و هر درخت اولیه در صورت کاندیدای استخراج بودن، می‌تواند سمت چپ یک قاعده را تشکیل دهد. در غیر این صورت باید آن قدر با پدران خود ترکیب شود تا به یک پدر کاندیدای استخراج برسد. لازم به ذکر است که پدر مربوطه دیگر خود به‌نهایت قادر به تشکیل یک قاعده جدید نخواهد بود. شکل ۷ درخت اشتقاق مربوط به جمله "They went to the capital to meet the new president." را نمایش می‌دهد که درختان اولیه کاندیدای استخراج در آن مشخص شده‌اند.

بدین ترتیب تعريف ۲ را می‌توان به شکل زیر بازنویسی کرد:

**تعريف ۳:** درخت اولیه و یا ترکیبی از درختان اولیه می‌تواند سمت چپ یک قاعده را تشکیل دهد که در آن درخت اولیه ریشه، "کاندیدای استخراج" باشد و تمامی فرزندان آن، خود ریشه یک درخت "کاندیدای استخراج" باشند.

شکل ۸ نمونه‌هایی از قواعد کمینه استخراج شده برای جمله شکل ۷ را نمایش می‌دهد. در سمت راست قواعد تنها متغیر X و پایانها دیده می‌شوند که تشکیل یک درخت را می‌دهند. این درخت ماهیت نحوی ندارد و از تحلیل نحوی به دست نیامده است و معادل یک رشته در نظر گرفته می‌شود. در این قواعد، جایگاه‌های جایگزینی با ↓ مشخص شده‌اند. اعداد متصل به هر برگ برای مشخص کردن زوج گره‌های همگام در سمت مبدأ و مقصد هستند.

برای به دست آوردن سمت راست قواعد به همترازی بین عبارت زبان مبدأ و مقصد توجه می‌شود. به ازای هر جایگاه جایگزینی در سمت راست قاعده، یک X در سمت چپ قاعده قرار داده می‌شود تا جایگاه درختی را که در آینده در آن گره جایگزین می‌شود را معین کند. ترتیب قرارگیری این متغیرها به ترتیب قرارگیری لنگرهای وابسته به آن‌ها در زبان مقصد مرتبط است. این ترتیب جابجایی‌های لازم در ترجمه را ایجاد می‌کند و این مسئله قدرت اصلی سیستم‌های ترجمه مبتنی بر نحو است.

غیرپایانه‌های میانی در آن باشد.

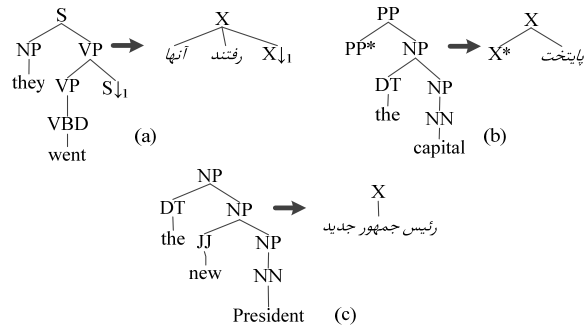
برای پیدا کردن بهترین ترجمه استفاده کرد.

جدول ۱- نمونه‌هایی از قواعد نحوی- لغوی مبتنی بر گرامر درخت- پیوندی

درخت سمت مبدأ	ترجمه	احتمال
<pre> NP    NN    break </pre>	استراحت	۰/۱۴
<pre> NP    ADJP   NP*    RB     ADJP    very   JJ    different </pre>	بسیار متفاوتی	۰/۲
<pre> S    VP   NP↓    VB    break </pre>	شکستن	۰/۲۳
<pre> S    NP↓   VP    VP     VP    VBZ   VBN    is    estimated </pre>	برآورده شده است	۰/۳۳
<pre> S    NP    PRP    I            VP                         VBD                         know </pre>	من می‌دانم که	۰/۱۴

روش کار به این ترتیب است که یک جدول برنامه‌ریزی پویا با سایز  $n \times n$  خواهیم داشت که در آن  $n$  تعداد کلمات جمله مبدأ است. و کلمات جمله مبدأ را با ترتیب تعیین شده توسط مترجم مبتنی بر قاعده در این جدول قرار می‌دهیم. بدین ترتیب خانه  $[j, i]$  در این جدول در بردارنده ترجمه‌های پیشنهادی برای کلمه  $\text{آم تا زام}$  (در ترتیب جدید) خواهد بود. و در نهایت ترجمه جمله در خانه  $[1, n]$  تولید خواهد شد. نمونه‌ای از این جدول برای جمله  $\text{"I finally went to school yesterday."}$  پس از جابجایی کلمات توسط فرازین در شکل ۱۰ نمایش داده شده است. همان‌طور که توضیح داده شد در این مرحله کلمات هنوز ترجمه

طوری که هر زیر درخت از درخت اشتراق که محدودیت‌های تعیین شده را ارضا کند، می‌تواند به عنوان سمت چپ یک قاعده مرکب در نظر گرفته شود. در انتخاب این زیردرخت نوع پال بین درختان اولیه و یا همان گره‌های درخت اشتراق دارای اهمیت نیست. تعدادی از قواعد مرکب استخراج شده از روی این جمله در شکل ۹ نشان داده شده‌اند.



شکل ۹- نمونه‌هایی از قواعد مرکب استخراج شده برای جمله مثال

### ۴-۱-۳- تخمین احتمالات

پس از استخراج قواعد برای تمام جملات موجود در پیکره آموزش، احتمالات مربوطه به هر قاعده باید محاسبه شوند. برای این کار از روش تخمین بیشینه درستنمایی<sup>۷۷</sup> استفاده خواهد شد. برای هر قاعده احتمال  $P(f|e)$  محاسبه خواهد شد که در آنها درخت نحوی سمت مبدأ قاعده به همراه لنگرهایش و  $f$  درخت ساختاری و یا رشته سمت مقصده است. این احتمال را می‌توان با استفاده از رابطه (۱) محاسبه کرد. در این رابطه تعداد رخداد درخت‌های سمت مبدأ و مقصد قاعده به همراه لنگرهایشان در کل پیکره آموزشی در صورت کسر قرار می‌گیرد. در مخرج کسر لنگرهایشان در شمارش نادیده گرفته می‌شوند.

$$p(f|e) = \frac{\text{Count}(e, f)}{\sum_{f_i \in \text{Set of all target strings without anchor}} \text{Count}(e, f_i)} \quad (1)$$

از آنجایی که قواعد استفاده شده در این سیستم قواعدی نحوی- لغوی هستند، استفاده از آنها به ما ممکن می‌کند که ترجمه کلمات را با توجه به ساختار نحوی جمله و رودی انتخاب کنیم. نمونه‌هایی از این قواعد در جدول ۱ نمایش داده شده‌اند.

در جدول ۱ قاعده اول نشان می‌دهد که کلمه "break" وقتی به عنوان اسم در جمله ظاهر شود به احتمال ۰/۱۴ به "استراحت" ترجمه می‌شود. قاعده دوم نشان می‌دهد عبارت "very different" هنگامی که در نقش صفت برای یک گروه اسمی باشد، در ۰/۲۰٪ موارد به "بسیار متفاوتی" ترجمه شده است. قاعده آخر نشان می‌دهد اگر عبارت "I know" به یک جمله وابسته پیوند داده شود، به احتمال ۰/۱۴ به "من می‌دانم" که ترجمه می‌شود.

### ۴-۲- رمزگشایی

همان‌طور که گفته شد از آنجایی که ترتیب کلمات در زبان مقصود در ابتدای کار توسط مترجم مبتنی بر قاعده تعیین می‌شود، فضای جستجو در زمان رمزگشایی بسیار کوچک‌تر از مترجم‌های آماری است و همچنین می‌توان از برنامه‌ریزی پویا

توسط مترجم فرازین یک احتمال ثابت اختصاص دادیم. این احتمال با توجه به مجموعه داده توسعه انتخاب شده است.

## ۵- آزمایش‌ها و ارزیابی

برای انجام آزمایش‌ها نیاز به یک پیکره دوزبانه برای استخراج قواعد نحوی - لغوی داریم. آزمایش‌ها روی ترجمه‌های انگلیسی- فارسی انجام شده است و ما از پیکره دوزبانه AFEC [۲۸] به عنوان پیکره آموزشی خود استفاده کردیم که اطلاعات مربوط به آن در جدول ۲ ارائه شده است.

با استفاده از پیکره آموزشی و روش ارائه شده در بخش ۱-۴ مجموعه‌ای از قواعد نحوی- لغوی را استخراج کردیم. همان‌طور که گفته شد هر مجموعه از درختان اولیه که تشکیل یک زیردرخت متصل را بدنه و شرایط گفته شده در بخش ۱-۴ را داشته باشد می‌توانند یک قاعده نحوی را تشکیل دهد. ولی از آنجایی که به طور متوسط هر چه اندازه درخت بزرگ‌تر شود، تعداد رخداد آن در پیکره کمتر می‌شود، ما اندازه قواعد خود را محدود کردیم. در آزمایش‌های انجام شده از قواعدی استفاده شده است که سمت راست آن‌ها حداقل از ترکیب سه درخت اولیه ایجاد شده باشد. همچنین برای بالا بردن کیفیت، قواعدی که تنها یک بار در کل پیکره آموزش دیده شده بودند را حذف کردیم. جدول ۳ اطلاعاتی در مورد مجموعه قواعد استخراج شده ارائه می‌دهد. نمونه‌های از مجموعه قواعد استخراج شده در جدول ۱ نمایش داده شده بود.

جدول ۲- اطلاعات مربوط به پیکره آموزش و مجموعه داده‌های تست و توسعه

مجموعه تست	مجموعه توسعه	پیکره آموزشی		
۴۲۷	۴۶۰	۶۸۳ هزار	تعداد جملات	
۱۰.۸۰۰	۱۱.۶۰۰	۱۴/۵ میلیون	تعداد کلمات	
۲.۸۰۰	۳۰۰۰	۱۵۸ هزار	تعداد کلمات یکتا	۱۵۸
۲۵	۲۵	۲۱	متوسط طول جمله	۱۵
-	-	۱۵/۴ میلیون	تعداد کلمات	
-	-	۲۰۲ هزار	تعداد کلمات یکتا	۲۰۲
-	-	۲۲	متوسط طول جمله	۱۵

جدول ۳- آمار مربوط به قواعد استخراج شده

۳۰ هزار	تعداد قواعد کمینه (با ۱ لنگر)
۴۰۵ هزار	تعداد قواعد مرکب (با ۳-۲ لنگر)
۳	متوسط تعداد ترجمه‌های مختلف برای هر کلمه و بافت نحوی آن در قواعد کمینه
۲/۶	متوسط تعداد ترجمه‌های مختلف برای هر کلمه و بافت نحوی آن در قواعد مرکب

نشده‌اند و تنها ترتیب قرارگیری آنها مطابق ترتیب در زبان فارسی شده است. برای هر خانه  $[j, i]$  بهترین ترجمه آن نگه داشته می‌شود و بقیه ترجمه‌ها نادیده گرفته می‌شوند. ترجمه‌های کاندیدا برای خانه  $[j, i]$  از دو طریق ایجاد می‌شوند: ۱- مستقیماً توسعه فرازین یا مجموعه قواعد ما ارائه می‌شوند. ۲- از ترکیب ترجمه عبارات تشکیل دهنده آن تولید می‌شوند.

برای هر دنباله  $i$  تا  $j$  از کلمات جمله مبدأ، ترجمه  $p$  ممکن است مستقیماً توسعه فرازین و یا قواعد ما ارائه شود. امتیاز اختصاص داده به این ترجمه که با  $\text{Score}(p)$  نمایش داده می‌شود مطابق رابطه  $(2)$  محاسبه می‌شود. در این رابطه  $\text{lm}(p)$  امتیاز مدل زبانی عبارت  $p$  به شرط کلمات قبل از آن است و  $\text{tm}(p|w_{i-j})$  احتمال ترجمه کلمات  $i$  تا  $j$  به عبارت فارسی  $p$  است. بسته به این که  $P$  توسط کدام مرجع ترجمه ارائه شده است،  $(\text{tm}(p|w_{i-j}))$  از فرازین یا مجموعه قواعد همگام نحوی گرفته می‌شود.  $w_1$  و  $w_2$  وزن‌هایی هستند که برای امتیاز مدل زبانی و امتیاز ترجمه در نظر گرفته می‌شوند.

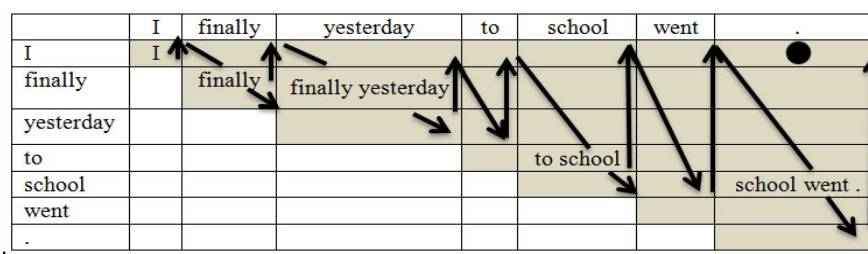
$$\text{Score}(p) = w_1 \log(\text{lm}(p)) + w_2 \log(\text{tm}(p|w_{i-j})) \quad (2)$$

در روش دوم برای پر کردن خانه  $[j, i]$  می‌توان از ترجمه‌های خانه‌های  $[k+1, k]$  استفاده کرد. بدین ترتیب که ترجمه‌های خانه  $[i, k]$  و خانه  $[j, k]$  را دو بهدو باهم در نظر می‌گیریم و به هم متصل می‌کنیم. بدین ترتیب برای هر  $k$  که بین  $i$  و  $j$  انتخاب شود حداکثر  $m^2$  ترجمه تولید شده و جزو کاندیداهای خانه  $[j, i]$  محاسبه می‌شود. امتیاز اختصاص داده شده به هر کاندیدا که از ترکیب ترجمه  $p$  از خانه  $[i, k]$  و ترجمه  $q$  از خانه  $[j, k+1]$  تولید شده است مطابق رابطه  $(3)$  محاسبه می‌شود.  $\text{Score}(p)$  از خانه  $[i, k]$  و  $\text{Score}(q)$  از خانه  $[j, k+1]$  در خوانده می‌شود. از آنجایی که امتیاز مدل زبانی نیز در محاسبه امتیاز هر خانه دخالت داده شده است لازم است که احتمال  $n$ -gram کلمات اولیه  $q$  به نسبت کلمات انتهایی  $p$  نیز در محاسبه امتیاز  $\text{Score}(pq)$  دخالت داده شوند.

$$\text{Score}(pq) = \text{Score}(p) + \text{Score}(q) + w_1 \log(\text{lm}(q|w_i)) \quad (3)$$

در جدول برنامه‌ریزی پویا، قطر اصلی جدول شامل کلمات تکی است. این خانه‌ها با ترجمه‌های فرازین برای هر کلمه و همچنین با استفاده از ترجمه‌های ارائه شده توسعه قواعد نحوی- لغوی ما پر می‌شوند. سپس خانه‌های دیگر جدول با ترتیب نمایش داده شده در شکل ۱۰ و با توجه به توضیحات ارائه شده، پر می‌شوند.

بکی از چالش‌هایی که در استفاده از این روش با آن رو به رو هستیم این است که خروجی‌های تولید شده توسط سیستم فرازین احتمالاتی نیستند و تنها ترجمه کلمات به عنوان خروجی داده می‌شود، یعنی مقداری برای  $\text{tm}(p|w_{i-j})$  مستقیماً در اختیار ما قرار داده نمی‌شود. راه‌های متعددی برای بروز مشکل وجود دارد که ما ساده‌ترین آن‌ها را انتخاب کرده‌ایم و به تمام ترجمه‌های ارائه شده



شکل ۱۰- نمونه‌ای از جدول برنامه‌ریزی پویا

امتیاز مدل ترجمه و لگاریتم امتیاز مدل زبانی محاسبه شده برای آن تعیین می‌شود. هریک از مدل‌های ترجمه و زبانی در این ترکیب خطی دارای وزنی است. شکل ۱۲ تأثیر تغییر این وزن‌ها روی کیفیت ترجمه نهایی برای مجموعه داده توسعه بررسی شده است. با توجه به این شکل سیستم پیشنهادی وقیعی بهترین عملکرد را داشته است که وزن مدل ترجمه ۱۰ برابر وزن مدل زبانی در نظر گرفته شده است.

جدول ۴ امتیاز‌های بلوی دو سیستم مورد آزمایش را روی مجموعه داده‌های توسعه و آزمون را پس از پیدا کردن و اعمال وزن‌های بهینه نمایش می‌دهد. همان‌طور که در این جدول نمایش داده شده است، ترجمه‌های ارائه شده توسط سیستم پیشنهادی در این مقاله برای مجموعه داده تست، نسبت به ترجمه‌های مترجم فرازین حدود  $1/3$  واحد بلو افزایش کیفیت داشته‌اند. برای بررسی معناداری نتایج به دست آمده از آزمون معناداری ارائه شده در  $P \leq 0.01$  ( $[30]$ ) ۱۰۰۰ iterations استفاده شده است و اختلاف کیفیت‌های بدست آمده توسعه روش پیشنهادی از نظر آماری معنادار هستند.

در جدول ۵ نیز دو نمونه از جملات مجموعه داده تست به همراه ترجمه‌های ارائه شده توسط فرازین و سیستم پیشنهادی، ارائه شده است. با توجه به این مثال‌ها می‌توان دید که انتخاب لغات در سیستم پیشنهادی بهتر از سیستم پایه است. اختلاف‌ها در این جدول با رنگ متفاوت مشخص شده‌اند.

جدول ۴- نتایج به دست آمده در آزمایش‌ها با استفاده از معیار بلو

سیستم پیشنهادی	فرازین	مجموعه داده
۱۹/۵۹ (+/۱/۷)	۱۷/۸۹	توسعه
۲۰/۹۳ (+/۱/۲۸)	۱۹/۶۵	آزمون

جدول ۵- نمونه‌هایی از نتایج ترجمه

mcguinness is expected to return to his role as northern ireland's deputy first minister.	مک‌گینس احتمال داده می‌شوند به نقش او به عنوان <b>جانشین اولین وزیر ایرلند شمالی</b> بر بگردند.
four afghans , including two students , were also killed , said hashmatstanikzai , spokesman for kabul 's police chief .	مک‌گینس انتظار می‌رود به نقش او به عنوان <b>معاون نخست وزیر ایرلند شمالی</b> بر بگردند.
حشمت stanikzai , سخنگو برای رئیس پلیس کابل گفت چهار افغان‌ها، از جمله دو تن از دانشجویانی، <b>همچنین</b> کشته شدند.	حشمت stanikzai سخنگوی رئیس پلیس کابل گفت چهار افغان‌ها، از جمله دو دانشجو، <b>نیز</b> کشته شدند.

## ۶- نتیجه‌گیری و کارهای آتی

در این مقاله روشی برای غنی‌سازی ترجمه مبتنی بر قاعده پیشنهاد شد. این روش بر پایه مجموعه‌ای از قواعد نحوی-لغوی مبتنی بر گرامر درخت-پیوندی است که

پس از اتمام مرحله استخراج قواعد می‌توانیم روش خود را روی مجموعه داده تست ارزیابی کنیم. اطلاعات مربوط به مجموعه داده‌های توسعه و تست در جدول ۲ ارائه شده است. این مجموعه‌ها از دامنه خبر هستند و در آن‌ها هر جمله انگلیسی چهار ترجمه مرتع دارد.

در روش ارائه شده چند پارامتر وجود دارد که مقادیر آن‌ها باید با توجه به مجموعه داده توسعه، تنظیم شود:

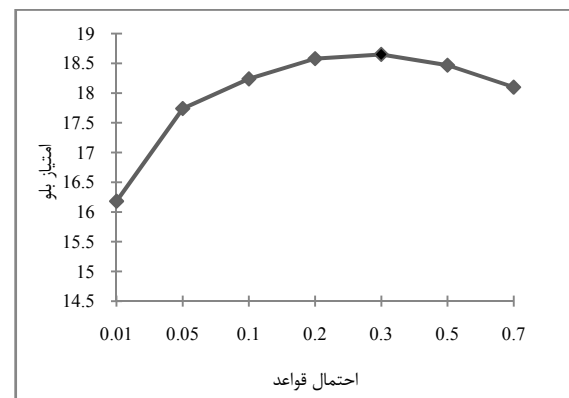
۱- احتمال ثابت اختصاص داده شده به ترجمه‌های فرازین

۲- وزن امتیاز مدل زبانی ( $w_1$ )

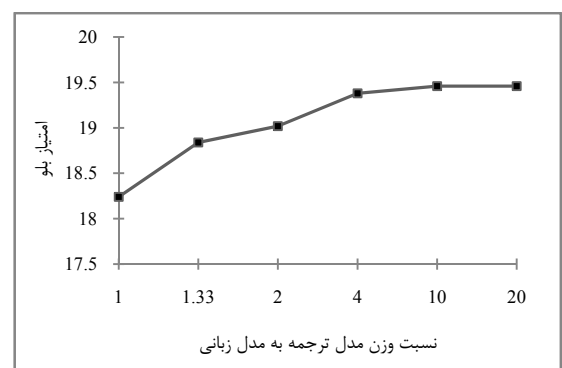
۳- وزن امتیاز ترجمه ( $w_2$ )

برای تنظیم مقادیر این پارامترها، در فرایندی تکراری مقادیر این پارامترها را تغییر دادیم و مجموعه داده توسعه را با توجه به آن مقادیر ترجمه کردیم و کیفیت ترجمه را با توجه به ترجمه‌های مرجع سنجیدیم. درنهایت مقادیری که بهترین نتیجه را روی مجموعه داده‌های توسعه داشتند به عنوان مقادیر نهایی انتخاب و در ارزیابی سیستم از آن‌ها استفاده کردیم. در ارزیابی‌ها از معیار بلو  $^{[29]}$  به عنوان معیار ارزیابی کیفیت ترجمه استفاده شده است. همچنین در آزمایش‌ها از مدل زبانی ۴-گرام استفاده شده است و در هر خانه از جدول برنامه‌ریزی پویا ۲۰ کاندیدای ترجمه بهتر را نگه داشتیم.

شکل ۱۱، امتیاز بلوی به دست آمده با تغییر احتمال اختصاص داده شده به ترجمه‌های فرازین نمایش داده شده است. در این آزمایش بقیه پارامترها ثابت نگه داشته شده‌اند. با توجه به این شکل اختصاص داده احتمال  $0.3$  به ترجمه‌های ارائه شده توسط فرازین، سیستم را به بهترین نتایج رسانده است.



شکل ۱۱- نمودار امتیاز بلو بر حسب احتمال ثابت نسبت داده شده به ترجمه‌های مترجم مبتنی بر قاعده



شکل ۱۲- نمودار بلو بر حسب نسبت وزن مدل ترجمه به وزن مدل زبانی همان‌طور که توضیح داده شد امتیاز نهایی هر ترجمه از ترکیب خطی لگاریتم

[7] R. N. Patel, R. Gupta, P. B. Pimpale, and M. Sasikumar, "Reordering rules for English-Hindi SMT," In Proceedings of the 2nd Workshop on Hybrid Approaches to Translation (HyTra), pp. 34-41, 2013.

[8] F. Xia, and M. McCord, "Improving a Statistical MT System with Automatically Learned Rewrite Patterns," In Proceedings of the 20th international conference on Computational Linguistics, pp. 508, 2004.

[9] A. Mansouri, H. Fadaei, H. Faili, and M. Arabsorkhi, "Using Synchronous TAG for Source-Side Reordering in SMT," International Journal of Information & Communication Technology Research, vol. 5, no. 4, pp. 47-58, Autumn 2013.

[10] A. Eisele, C. Federmann, H. Saint-Amand, M. Jellinghaus, T. Herrmann, and Y. Chen. "Using Moses to integrate multiple rule-based machine translation engines into a hybrid system," In Proceedings of the 3rd Workshop on Statistical Machine Translation (WMT), pp. 179–182, 2008.

[11] A. Ahsan, P. Kolachina, S. Kolachina, D. Misra Sharma, and R. Sangal, "Coupling statistical machine translation with rule-based transfer and generation," In Proceedings of the 9th Conference of the Association for Machine Translation in the Americas. 2010.

[12] V. M. Sánchez-Cartagena, J. A. Pérez-Ortiz, and F. Sánchez-Martínez, "Integrating Rules and Dictionaries from Shallow-Transfer Machine Translation into Phrase-Based Statistical Machine Translation," Journal of Artificial Intelligence Research, vol. 55, pp. 17-61, 2016.

[13] W. Ma, and K. McKeown, "Detecting and Correcting Syntactic Errors in Machine Translation Using Feature-based Lexicalized Tree Adjoining Grammars," Computational Linguistics and Chinese Language Processing, vol. 17, no. 4, pp. 1-14, December 2012.

[14] A. L. Lagarda, V. Alabau, F. Casacuberta, R. Silva, and E. Díaz-de Liano, "Statistical post-editing of a rule-based machine translation system," In Proceedings of Human Language Technologies: The 2009 Annual Conference of the North American Chapter of the Association for Computational Linguistics, Companion Volume: Short Papers, pp. 217-220, January 2009.

[15] A. Göhring, "Building a Spanish-German dictionary for hybrid MT," The 3rd Workshop on Hybrid Approaches to Machine Translation (HyTra), pp. 30–35, April 2014.

[16] A. Antonova, and A. Misyurev, "Improving the precision of automatically constructed human-oriented translation dictionaries," In Proceedings of the 3rd Workshop on Hybrid Approaches to Machine Translation (HyTra), pp. 58–66, April 2014.

[17] L. Shen, J. Xu, and R. Weischedel, "A New String-to-dependency Machine Translation Algorithm with a Target Dependency Language Model," In Proceedings of The

با استفاده از روش‌های آماری از یک پیکره موازی استخراج شده‌اند. این قواعد احتمالاتی برای هر کلمه یا عبارت با توجه به بافت نحوی کلمه، ترجمه‌های پیشنهاد می‌کنند. ترتیب قرارگیری کلمات در زبان مقصد در ابتدای کار توسط مترجم مبتنی بر قاعده تعیین می‌شود و ادامه کار با ثابت در نظر گرفتن این ترتیب دنبال می‌شود. این امر باعث می‌شود که بتوان عمل رمزگشایی را با استفاده از برنامه‌ریزی پویا انجام داد. نتایج بدست آمده از این روش به نسبت مترجم مبتنی بر قاعده پایه از کیفیت بالاتری برخوردار هستند و بهبود  $+ \frac{1}{3}$  در واحد بلو در آزمایش‌ها ملاحظه شد. روش پیشنهادی مستقل از زبان است و در صورت وجود پیکره موازی و تجزیه‌گر نحوی مناسب قابل استفاده برای زوج زبان‌های دیگر نیز هست.

در روش ارائه شده، به ترجمه‌های پیشنهادی توسط مترجم مبتنی بر قاعده احتمال یکسانی داده شد. انتخاب روشی مناسب‌تر برای تعیین احتمال برای این ترجمه‌ها می‌تواند باعث بهبود نتایج شود. یکی از راهکارها در این زمینه می‌تواند استفاده از جدول عبارت‌مدل مبتنی بر عبارت برای اختصاص دادن احتمال به ترجمه‌های مترجم مبتنی بر قاعده باشد. مشکل دیگری که وجود دارد تنکی مجموعه قواعد استخراج شده است. برای کم کردن تأثیر این مشکل می‌توان در مواردی که قاعده‌ای برای کلمه مبدأ در بافت نحوی موردنظر پیدا نمی‌شود به مدلی بدون در نظر گرفتن بافت نحوی عقب‌گرد<sup>۲۹</sup> کرد.

## قدرتانی

پژوهشی که نتایج آن در این مقاله ارائه شده است در قالب یک طرح تحقیقاتی مصوب و با حمایت مالی صندوق حمایت از پژوهشگران و فناوران کشور انجام شده است.

## مراجع

[1] M. R. Costa-jussà, M. Farrús, J. B. Mariño, and J. A.R. Fonollosa, "Study And Comparison of Rule-Based And Statistical Catalan-Spanish Machine Translation Systems," Computing and Informatics, vol. 31, no. 2, pp. 245-270, 2012.

[2] A. K. Joshi, L. S. Levy, and M. Takahashi, "Tree Adjunct Grammars," Journal of Computer and System Sciences, vol. 10, no. 1, pp. 136–163, 1975.

[3] [Online], فرازین: مترجم خودکار متون انگلیسی به فارسی Available: www.faraazin.ir.

[4] M. R. Costa-jussà, and J. A. R. Fonollosa, "Latest trends in hybrid machine translation and its applications," Computer Speech & Language, vol. 32, no. 1, pp. 3-10, July 2015.

[5] A. Bisazza, and M. Federico, "A Survey of Word Reordering in Statistical Machine Translation: Computational Models and Language Phenomena," Computational Linguistics, vol. 42, no. 2, pp. 163–205, 2016.

[6] M. Collins, P. Koehn, and I. Kucerova, "Clause Restructuring for Statistical Machine Translation," In Proceedings of the 43rd Annual Meeting of the Association for Computational Linguistics, pp. 531–540, 2005.

the Association for Computational Linguistics, pp.311–318, 2002.

- [30] P. Koehn, "Statistical Significance Tests for Machine Translation Evaluation," In Proceedings of EMNLP. pp. 388–395, 2004.

حکیمه فدایی دانشجوی مقطع دکتری رشته مهندسی نرم افزار در دانشگاه تهران است. همچنین وی مدرک کارشناسی و کارشناسی ارشد خود را در رشته مهندسی نرم افزار به ترتیب در سال‌های ۱۳۸۵ و ۱۳۸۸ از دانشگاه شهید بهشتی کسب کرده است. زمینه پژوهشی وی پردازش زبان طبیعی و بهطور خاص ترجمه ماشینی است.



آدرس پست الکترونیکی ایشان عبارت است از:

h.fadaei@ut.ac.ir

هشام فیلی تحصیلات خود را در مقطع کارشناسی مهندسی نرم افزار در دانشکده مهندسی کامپیوتر دانشگاه صنعتی شریف با رتبه یک در سال ۱۳۷۶ به پایان رساند؛ سپس مقطع کارشناسی ارشد نرم افزار و دکترای هوش مصنوعی را به ترتیب در سال‌های ۱۳۷۸ و ۱۳۸۵ در همان دانشکده تکمیل کرد. از سال ۱۳۸۷ تاکنون عضو هیأت علمی دانشکده مهندسی برق و کامپیوتر دانشکده فنی دانشگاه تهران است. زمینه های پژوهشی مورد علاقه ایشان پردازش هوشمند متن و زبان طبیعی، ترجمه ماشینی، داده کاوی، بازیابی اطلاعات و شبکه های اجتماعی هستند.



آدرس پست الکترونیکی ایشان عبارت است از:

hfaili@ut.ac.ir

فرناز قاسمی دوره کارشناسی خود را در سال ۱۳۹۵ در رشته مهندسی فناوری اطلاعات در دانشگاه تهران به پایان رساند. او در حال حاضر دانشجوی کارشناسی ارشد دانشگاه تهران در گرایش سامانه های شبکه ای است. زمینه پژوهشی مورد علاقه وی پردازش زبان طبیعی است.



آدرس پست الکترونیکی ایشان عبارت است از:

f.qasemi.91@ut.ac.ir

#### اطلاعات بررسی مقاله:

تاریخ ارسال: ۱۳۹۵/۱۰/۲۷

تاریخ اصلاح: ۱۳۹۵/۱۱/۱۵

تاریخ قبول شدن: ۱۳۹۵/۱۱/۲۵

نویسنده مرتبط: دکتر هشام فیلی، دانشکده مهندسی برق و کامپیوتر،  
دانشگاه تهران، تهران، ایران.

Association for Computational Linguistics, pp. 577-585, 2008.

- [18] M. Galley, M. Hopkins, K. Knight, and D. Marcu, "What's in a Translation Rule," In Proceedings of The Conference of the North American Chapter of the Association for Computational Linguistics: Human Language Technologies (NAACL- HLT), Boston, Massachusetts, USA, pp. 273-280, 2004.

- [19] L. Huang, K. Knight, and A. Joshi, "Statistical Syntax-directed Translation with Extended Domain of Locality," In Proceedings of AMTA, pp. 66-73, 2006.

- [20] S. DeNeefe, "Tree-adjoining Machine Translation," PhD Thesis, Faculty of the USC graduate school University of Southern California, 2011.

- [21] S. DeNeefe, K. Knight, W. Wang, and D. Marcu, "What Can Syntax-based MT Learn from Phrase-based MT?," In Proceedings of EMNLP-CoNLL, pp. 755-763, 2007.

- [22] D. Klein, and Ch. D. Manning, "Accurate Unlexicalized Parsing," In Proceeding of the 40th Annual meeting of the Association for Computational Linguistics, vol.1, pp. 423-430, 2003.

- [23] J. Chen, and K. Vijay-Shanker, "Automated Extraction of TAGs from the Penn Treebank," In Proceedings of the Sixth International Workshop on Parsing Technologies, pp. 73-89, 2000.

- [24] F. J. Och, and H. Ney, "Improved Statistical Alignment Models," In Proceedings of the 38th Annual Meeting of the Association for Computational Linguistics, pp. 440-447, 2000.

- [25] Y. Liu, Q. Liu, and Y. Lu, "Adjoining Tree-to-String Translation," In Proceedings of the 49th Annual Meeting of the Association for Computational Linguistics, Portland, Oregon, pp. 1278–1287, 2011.

- [26] P. Koehn, "Statistical Machine Translation," Cambridge University Press, 2010.

- [27] M. Galley, J. Graehl, K. Knight, D. Marcu, S. DeNeefe, W. Wang and I. Thayer, "Scalable Inference and Training of Context-Rich Syntactic Translation Models," In Proceedings of the 21st International Conference on Computational Linguistics and the 44th annual meeting of the Association for Computational Linguistics, pp. 961-968, 2006.

- [28] F. Jabbari, S. Bakhshaei, S. M. MohammadzadehZiabary, and S. Khadivi, "Developing an Open-domain English-Farsi Translation System Using AFEC: Amirkabir Bilingual Farsi-English Corpus," In Proceedings of the fourth Workshop on Computational Approaches to Arabic Script-based Languages, pp. 17, 2012.

- [29] K. Papineni, S. Roukos, T. Ward, and W. J. Zhu, "BLEU: a method for automatic evaluation of machine translation," In Proceedings of the 40th Annual meeting of

<sup>1</sup>Rule-Based Machine Translation

<sup>2</sup>Tree Adjoining Grammar

<sup>3</sup>Dynamic Programming

<sup>4</sup>Hybrid Approaches

<sup>5</sup>Monotone

<sup>6</sup>Extended Domain of Locality

<sup>7</sup>Tree Substitution Grammar

<sup>8</sup>Substitution

<sup>9</sup>Siblings

- 
- <sup>۱۰</sup>Context Sensitive
  - <sup>۱۱</sup>Head
  - <sup>۱۲</sup>Mildly Context Sensitive
  - <sup>۱۳</sup>Adjunction
  - <sup>۱۴</sup>Optional
  - <sup>۱۵</sup>Elementary Tree
  - <sup>۱۶</sup>Lexicalized Tree Adjoining Grammar
  - <sup>۱۷</sup>Anchor
  - <sup>۱۸</sup>Foot Node
  - <sup>۱۹</sup>Adjunction Site
  - <sup>۲۰</sup>Sparseness
  - <sup>۲۱</sup>Derived Tree
  - <sup>۲۲</sup>Derivation Tree
  - <sup>۲۳</sup>Decoder
  - <sup>۲۴</sup>Consistent
  - <sup>۲۵</sup>Extractable
  - <sup>۲۶</sup>Composed Rules
  - <sup>۲۷</sup>Maximum Likelihood Estimation
  - <sup>۲۸</sup>BLEU
  - <sup>۲۹</sup>Back-Off

## پیش‌بینی رفتار مشتریان بیمه از طریق ترکیب تکنیک‌های داده کاوی

احسان مختاری سید ابوالقاسم میرروشنده

دانشکده فنی، دانشگاه گیلان، رشت، ایران

### چکیده

امروزه مهمترین اقدام شرکت‌های بیمه در بحث بازاریابی و تبلیغات، بخش‌بندی و تفکیک مشتریان براساس رفتار و نیاز آن‌ها است. از این‌رو، این شرکت‌ها برای شناسایی و تحریک کردن مخاطبان خود، بازاریابی و تبلیغات را به‌طور گسترده و هدفمند در تمام محیط‌های ارتباطی به انجام می‌رسانند. برای اثربخشی هرچه بهتر این رویکرد، مشتریان براساس معیارها و اهداف خاصی تفکیک و بخش‌بندی می‌شوند. خوشبندی روشی تحلیلی برای کشف عملکرد و رفتار مخاطبان از طریق اطلاعات آن‌ها است. این امر باعث می‌شود تا شرکت‌ها بتوانند از طریق همین عملکرد مخاطبان، دست به اتخاذ تصمیم و تبلیغات هدفمند نسبت به آن‌ها بزنند. هدف اصلی این پژوهش، ارائه راهکاری برای شناخت و پیش‌بینی عملکرد و رفتار مشتریان جدید در انتخاب نوع بیمه برای حفاظت مسکن خود در برابر مخاطرات، از طریق ترکیب روش K-medoids با شبکه‌های عصبی در جهت تعیین خوشه مشتریان جدید برای ارائه تبلیغ محصولات بیمه‌ای است. در این راستا، بدلیل زیاد بودن مشخصه‌ها در اکثر مجموعه داده‌ها و پراکندگی آن‌ها، ابتدا از طریق تکنیک‌های K-means و K-medoids به کشف الگوهای مفهومی رسیده و با استفاده از همین الگوها بعد از مشخص شدن خوشه مشتریان، فقط با داشتن اطلاعات جمعیت شناختی از سوی مشتریان جدید، خوشه آن‌ها پیش‌بینی و اقدامات لازم صورت می‌گیرد. ویژگی متمایز این پژوهش، ترکیب روش‌های خوشبندی با روش‌های دست‌بندی در کشف الگو است. آزمایش‌های انجام شده، موقوفیت روش پیشنهادی در شناخت و کشف نیازها، همچنین رفتار و عملکرد مشتریان را نشان می‌دهد که براساس آن تبلیغات صورت می‌گیرد.

**کلمات کلیدی:** بازاریابی و تبلیغات، خوشبندی، شبکه‌های عصبی، K-means، K-medoids

### ۱- مقدمه

سازمان‌ها این امکان را می‌دهد که بتوانند استراتژی‌های بازاریابی خود را براساس این بخش‌ها تنظیم کنند که تبلیغات یکی از مهمترین ابزار بر روی این بخش‌ها

همچنین با برتری رقبتی در این بخش‌ها، بقای خود را در محیط کنونی تضمین کنند [۵]. هدف از خوشبندی<sup>۱</sup> داده‌های مشتریان این است که داده‌ها را به خوش‌بینی تقسیم کنیم تا داده‌های درون یک خوشه دارای بیشترین شباهت و داده‌های خوش‌بینی مختلف دارای کمترین شباهت باشند. مشتریان براساس ویژگی‌های رفتاری<sup>۲</sup>، دموگرافیک<sup>۳</sup>، جغرافیایی<sup>۴</sup> و روان‌شناختی<sup>۵</sup> در دسته‌های مجزا بخش‌بندی می‌شوند [۵]. فاکتورهای روان‌شناختی تأثیرگذار بر رفتار خرید مشتری به عنوان مدلی محاسباتی برای قصد خرید مشتری، در بخش‌بندی بازار مورد بررسی قرار گرفته‌اند [۶]. لذا در دنیای امروز استفاده از سیستم‌هایی همچون مدیریت ارتباط با مشتری تنها یک مزیت رقابتی نیست بلکه یک ضرورت برای سازمان محسوب می‌شود. با کندوکاو داده‌های مربوط به مشتریان، به رکوردهای

بسیاری از صاحبنظران عرصه بازار، تقسیم بازار را نوشداروی بازاریابی مدرن دانسته، علت آن را کمبود منابع ذکر می‌کنند [۱]. منطق نهفته در تقسیم بازار، ناهمگنی ترجیح محصولات و رفتار خرید مشتریان بوده، و این تفاوت‌ها معمولاً با اختلافات در محصولات یا مصرف‌کنندگان توضیح داده می‌شود [۲]. افزایش تعداد سازمان‌ها و در نتیجه، تشیدی هر چه بیشتر رقابت بین آن‌ها، سازمان‌ها را مجبور کرده است که برای بهبود عملیات تبلیغاتی خود، سرمایه‌گذاری بیشتری انجام دهند. یکی از روش‌هایی که سازمان‌ها برای بهبود عملیات تبلیغاتی خود به کار بسته‌اند، بازاریابی هدف‌دار<sup>۱</sup> است [۳، ۴]. در بازاریابی هدف‌دار که در مقابل بازاریابی انبوه<sup>۲</sup> قرار می‌گیرد، سازمان‌ها فعالیت تبلیغاتی خود را (به جای تمامی مشتریان) بر روی گروه‌های خاصی از آن‌ها متمرکز می‌نمایند. بخش‌بندی بازار<sup>۳</sup> به

پیش‌بینی انتخاب گردشگران، پیش‌بینی رفتار گردشگران و پیش‌بینی تقاضا و تحلیل وفاداری میهمان‌های خارجی استفاده گردیده است [۱۳].

## ۱-۲- روش شناسی پژوهش

در این پژوهش نیز یک مدل بازاریابی مناسب برای انجام تبلیغات هدفمند بر روی مشتریان بیمه از طریق ترکیب روش K-medoids با شبکه‌های عصبی ارائه می‌شود که برای شرکت بیمه سودآور باشد. مجموعه داده شرکت بیمه سامان مربوط به شهر تهران، توسط ۲۵ نفر از نیروهای بازاریابی این شرکت طی ۵ ماه جمع‌آوری شده است. این مجموعه داده حاوی اطلاعاتی در رابطه با بیمه کردن واحدهای مسکونی و تجاری در برابر حوادث طبیعی و غیرطبیعی بکار رفته است. این مجموعه داده شامل ۳۰ ستون (مشخصه) و ۵۰۰ سطر (رکورد) که از سه بخش اصلی در قسمت مشخصه‌ها تشکیل یافته است. براساس این مشخصه‌ها و ارتباط آنها با یکدیگر خوشبندی انجام گرفته است. این سه بخش شامل:

- مشخصه‌های مربوط به اطلاعات جمعیت شناختی مشتریان (سن، میزان درآمد، تحصیلات، نوع اشتغال، تعداد خانوار، میزان استفاده از اینترنت و میزان مطالعه روزنامه)
- مشخصه‌های مربوط به نوع بیمه‌نامه‌های خریداری شده در قبال بیمه مسکن موردنظر (سرقت، ترکیدگی، سیل، زلزله، آتش‌سوزی، رعد و برق)
- مشخصه‌های مربوط به اطلاعات محل شعبات و جایگاه‌های اختصاصی شرکت بیمه سامان در کل مراکز خرید شهر تهران (گلدیس، علاءالدین، اتکا، تیراژه، ایران زمین)

## ۳- تعیین پر تکرارترین نوع بیمه‌نامه‌ها از طریق روش FP-Growth

برای مشخص کردن پر تکرارترین نوع بیمه‌نامه‌های خریداری شده از روش‌های قواعد وابستگی<sup>۱۵</sup> و تکنیک FP-Growth استفاده شده است. اطلاعات حاصل شده به عنوان کشف الگویی در رفتار خرید مشتریان است که همراه با اطلاعات جمعیت شناختی مشتریان وارد مرحله خوشبندی می‌شوند. الگوریتم FP-Growth برایه که از یک ساختار جدید درخت الگویی تکرار شونده است که ساختار توسعه‌یافته‌ای از prefix-tree است. این الگوریتم، روش موثری برای یافتن مجموعه کاملی از الگوهای تکرارشونده با رشد الگو است [۱۶]. سپس از روش رشد الگو استفاده می‌شود تا از تولید پرهزینه تعداد زیاد مجموعه‌های کاندید جلوگیری شود. بعد از خوشبندی، خوشه مشتریان براساس میزان ارزشی که برای شرکت بیمه دارند، نام‌گذاری شده‌اند.

بدین معنی که مشتریانی که بیشترین نوع بیمه را خریده‌اند مشتریان وفادار، و مشتریان دیگر براساس ارزش‌شان نسبت به مشتریان وفادار مشخص شده و خوش آن‌ها نام‌گذاری شده‌اند. مانند مشتریان فضلی، مشتریان حساس و مشتریان ضعیف. سپس با مشخص شدن وضعیت هر خوشه، همچنین با تعیین نام برای هر خوشه، نام خوشه‌ها این بار خود به عنوان ستون مشخصه هدف در مجموعه داده جدید اضافه شده و برچسب‌گذاری می‌گردد. سپس این مجموعه داده برای مدل‌سازی و پیش‌بینی نام خوشه مشتریان جدیدالورود وارد الگوریتم شبکه‌های عصبی می‌شود. به این صورت که با ورود مشتری جدید و تنها با داشتن اطلاعات مربوط به مشخصه جمعیت شناختی از سوی مشتریان، از طریق شبکه‌های عصبی نام خوشه برای مشتری جدید پیش‌بینی خواهد شد. نهایتاً تبلیغات و نوع بیمه‌های جدید براساس معیارها و متناسب با وضعیت هر خوشه به مشتریان جدید ارائه خواهد

اطلاعاتی مشتریان ساختار داده می‌شود. جریان تشخیص مشتریان با اهمیت به صورت خودکار صورت می‌گیرد که باعث تغییر در شیوه تشخیص مشتریان خاص و با ارزش از لیست کلیه مشتریان و در نهایت کشف مشتریان وفادار خواهد شد [۶].

## ۲- پیش‌بینی پژوهش

تخمین درست از رفتار خرید مشتری یکی از مهمترین چالش‌ها در بستر بازاریابی است به گونه‌ای که با ترکیب روش‌های k و SOM<sup>۱۶</sup>، مشتریان به چند بخش مختلف بخش‌بندی شده و با تشخیص مشتریان جدید به یکی از این بخش‌ها با استفاده از روش K-NN<sup>۱۷</sup> با دقت ۹۰٪ نزدیک به ۹۰ درصد، قصد خرید مشتریان را به درستی تخمین زده است [۶]. همچنین با استفاده از CBR<sup>۱۸</sup> روشی برای بخش‌بندی مشتریان ارائه و از الگوریتم ژنتیک برای بهبود دقت تشخیص یک مشتری جدید به بخش مربوط به خودش استفاده کرده‌اند [۷]. در این روش، ترکیبی از اطلاعات دموگرافیک مشتری و اطلاعات محصول خریداری شده، به عنوان ویژگی‌های توصیف‌کننده یک نمونه استفاده شده است. با استفاده از الگوریتم ژنتیک، نمونه‌ها و ویژگی‌هایی که کمتر معرف ویژگی‌های کلی مجموعه داده هستند، از پایگاه نمونه‌ها حذف شده‌اند. بنابراین الگوریتم با دقت بیشتری عمل بخش‌بندی مشتریان را انجام می‌دهد. با توجه به اطلاعاتی که در خصوص رفتار مشتریان از حیث میزان هزینه کردن بدست می‌آید، مشتریان در سه دسته مشتریان پرخرچ، مشتریان کم خرج و مشتریان متوسط قرار می‌گیرند. هنگام ورود یک مشتری جدید، با استفاده از الگوریتم نزدیکترین همسایه و پایگاه حاوی نمونه‌ها، رفتار این مشتری از نظر هزینه‌ای که احتمالاً در این شرکت خواهد کرد، تخمین زده می‌شود.

سازمان با شناخت این مشتریان، می‌تواند تمرکز خود را بر روی مشتریان با ارزش (مشتریانی که بیشتر خرج می‌کنند) قرار دهد و یا برای هر دسته، استراتژی بازاریابی متفاوتی را به کار گیرد [۸].

برخلاف بیشتر کارهای صورت گرفته در زمینه بخش‌بندی مشتریان، که از اطلاعات دموگرافیک مشتریان به عنوان متغیرهای بخش‌بندی استفاده می‌کنند، اطلاعات مربوط به اقلام خریداری شده و قیمت هر قلم که به صورت رکوردهای تراکنشی برای هر مشتری در دسترس را به عنوان متغیرهای بخش‌بندی مورد استفاده قرار می‌دهند و با ترکیب الگوریتم ژنتیک و الگوریتم خوشبندی K-means، مشتریان را از لاحظ رفتار خرید، خوشبندی و در نهایت برای تحلیل میزان سودبخشی مشتریان هر خوشه از RFM<sup>۱۹</sup> استفاده می‌کنند. با داشتن میزان سودبخشی هر خوشه، سازمان می‌تواند مشتریان هدف را به سرعت شناسایی کرده و محصولات و خدمات، و منابع مناسبی را به خوشه‌های هدف تشخیص دهد [۹]. در اطلاعات مربوط به بانکداری برای بازاریابی بانکی، نحوه به کارگیری روش‌های داده‌کاوی را به منظور انتخاب مجموعه مناسبی از مشتریان بررسی کرده‌اند که یک بانک با در اختیار داشتن اطلاعات مشتریانش، می‌خواهد تعیین کند که در صورت تماس گرفتن با آن‌ها و پیشنهاد افتتاح سپرده مدت‌دار نارخ سود بالا در آن بانک، چه مشتریانی اقدام به افتتاح حساب خواهند نمود. به عبارت دیگر، بانک برای پیش‌بینی نتیجه تماس با مشتریانش مدلی می‌سازد. این مدل می‌تواند از طریق مدیریت بهتر منابع سازمان (نظیر منابع انسانی، تماس‌های تلفنی، و زمان) کارایی عملیات تبلیغاتی را بهبود ببخشد [۱۰]. همچنین یکی از روش‌های قابل استفاده در تقسیم بازار، استفاده از شبکه‌های عصبی مصنوعی<sup>۲۰</sup> است. علت استفاده از آن، انعطاف‌پذیری در ساختن مدل و توانایی اش در استفاده از اطلاعات جدید است [۱۱]. از نمونه‌های مطالعات تقسیم بازار که از شبکه‌های عصبی با نقشه‌های خودسازمانده استفاده کرده‌اند می‌توان تقسیم بازار گردشگران در اتریش و تقسیم گردشگران برتر در استرالیا را نام برد [۱۲]. البته از سایر روش‌های شبکه عصبی در

کرده‌اند مشخص شده است. از سه بخش اصلی در مجموعه داده، تنها مشخصه‌های بخش دوم که مربوط به نوع بیمه‌نامه واحدهای مسکونی و تجاری در برابر حوادث است و مشتریان آن‌ها را برای خانه‌های خود خریداری کرده‌اند وارد الگوریتم FP-Growth می‌شود. با این کار آن دسته از بیمه‌نامه‌هایی که کمتر خریداری شده‌اند و از دید مشتریان کمتر حائز اهمیت هستند مشخص شده و از بین مابقی بیمه‌نامه‌ها جدا می‌شوند.

قواعد استخراج شده با درجه پشتیبان و درجه اطمینان بالا و به صورت تجربی انتخاب شده است. که به درجه پشتیبان ۶۰ درصد و درجه اطمینان ۷۰ درصد حاصل شده‌اند. همچنین مقدار لیفت برای هر کدام از قواعد بیان شده است قواعد استخراج شده عبارتند از:

#### Association Rules

[سرقت]--> [ترکیدگی] (lift 100%) (confidence:0.787)

[آتش سوزی]--> [سرقت] (lift 94%) (confidence:0.819)

[لزلزله]--> [سرقت] (lift 98%) (confidence:0.853)

[ترکیدگی]--> [سرقت] (lift 100%) (confidence:0.904)

در قواعد استخراج شده چهار قانون استخراج شده است:

قانون اول: کسانی که خانه خود را در برابر سرقت بیمه کرده‌اند، آنگاه با درجه اطمینان ۷۸ درصد خانه خود را در برابر خطر ترکیدگی لوله نیز بیمه کرده‌اند (نوع بیمه ترکیدگی را نیز خریداری کرده‌اند).

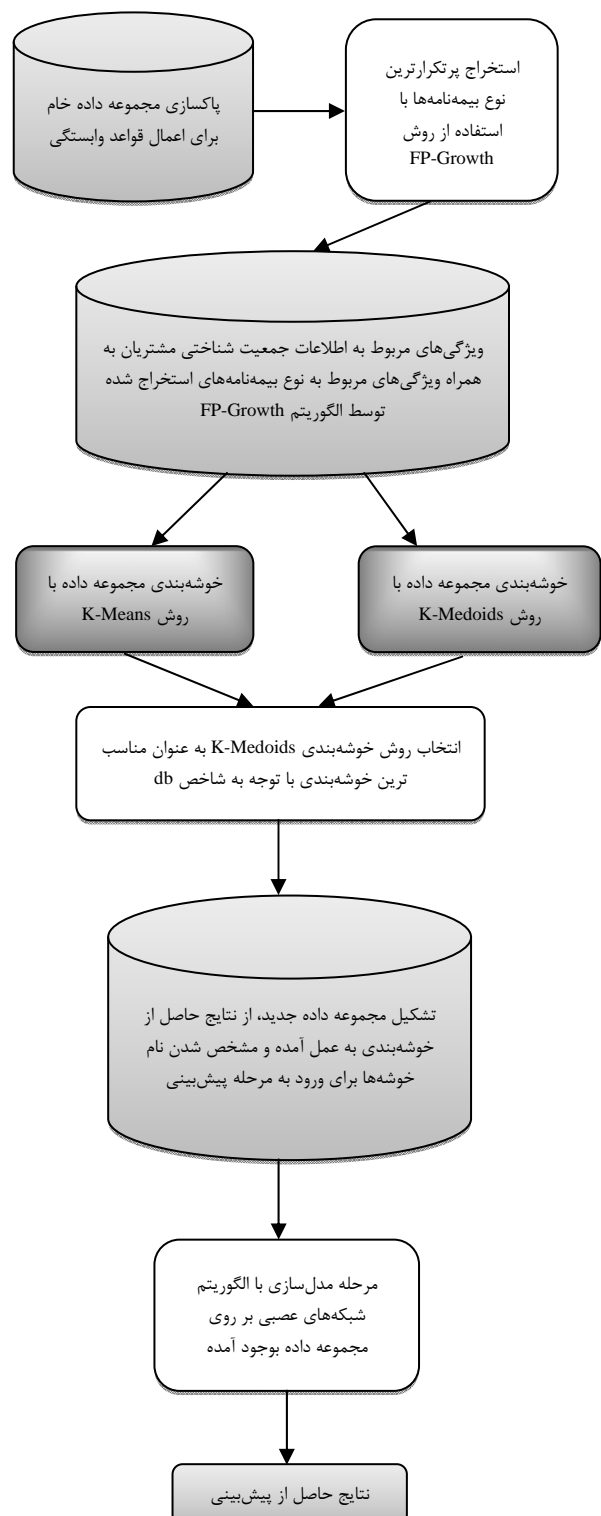
قانون دوم: کسانی که خانه خود را در برابر آتش‌سوزی بیمه کرده‌اند، آنگاه با درجه اطمینان ۸۱ درصد خانه خود را در برابر خطر سرقت نیز بیمه کرده‌اند (نوع بیمه سرقت را نیز خریداری کرده‌اند).

قانون سوم: کسانی که خانه خود را در برابر زلزله بیمه کرده‌اند، آنگاه با درجه اطمینان ۸۵ درصد خانه خود را در برابر خطر سرقت نیز بیمه کرده‌اند (نوع بیمه سرقت را نیز خریداری کرده‌اند).

قانون چهارم: کسانی که خانه خود را در برابر ترکیدگی لوله بیمه کرده‌اند، آنگاه با درجه اطمینان ۹۰ درصد خانه خود را در برابر خطر سرقت نیز بیمه کرده‌اند (نوع بیمه با مشخص شدن پر تکرارترین نوع بیمه‌های خریداری شده، برای آشکار و تشریح دقیق تر خوش‌ها نسبت به رفتار مشتریان در مرحله خوش‌بندی، مشخصه‌های نوع بیمه‌نامه‌ها با توجه به نتایج حاصل از قواعد وابستگی در مرحله قبل، همراه با مشخصه‌های جمعیت شناختی وارد مرحله خوش‌بندی می‌شوند. در این مرحله، عمل خوش‌بندی با استفاده از الگوریتم K-medoids و K-means انجام می‌شود تا با توجه به معیارهای دقت و صحت خوش، الگوریتمی که بهترین عملکرد و بالاترین دقت را در خوش‌بندی انجام می‌دهد انتخاب شود. براساس نتایج حاصل از دقت و صحت خوش‌بندی‌های صورت گرفته، روش K-medoids انتخاب می‌شود. این انتخاب براساس شاخص دیویس بولدین انجام شده است. این معیار از شباهت بین دو خوش (Rij) استفاده می‌کند که براساس پراکندگی یک خوش (Si) و عدم شباهت بین هر خوش با شبیه‌ترین خوش به آن را محاسبه می‌کند.

می‌توان دریافت که هر چه مقدار این شاخص بیشتر باشد، خوش‌های بهتری تولید شده است [۱۵]. با مقایسه الگوریتم K-medoids با K-means با توجه به شاخص دیویس بولدین دقت و صحت هر کدام از الگوریتم‌ها مبنی بر تعیین تعداد خوش (K#) برای خوش‌بندی مجموعه داده موردنظر مشخص شده است. بنابراین با توجه به معیار و شاخص دیویس بولدین الگوریتم K-medoids با عملکردی دقیق‌تر و مناسب‌تر نسبت به الگوریتم K-means، به عنوان الگوریتم خوش‌بندی با تعیین ۴ خوش‌های انتخاب شده است. زیرا با توجه به شاخص دیویس بولدین هر چقدر شاخص به عدد ۱ نزدیک‌تر باشد، خوش‌بندی با کیفیت‌تر است. جدول ۱ نتایج بررسی‌های

شد. نمودار کلی استخراج ویژگی و مراحل روش پیشنهادی در شکل ۱ نشان داده شده است.



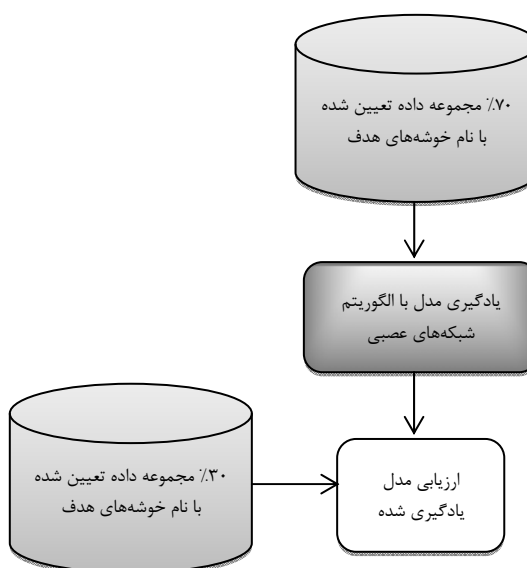
شکل ۱- نمودار کلی استخراج ویژگی‌ها و مراحل روش پیشنهادی

#### ۳- فرضیه‌ها و مدل مفهومی پژوهش

در راهکار پیشنهادی ترکیبی، پس از پاکسازی داده‌ها برای یافتن و پی‌بردن به پر تکرارترین نوع بیمه‌نامه‌های خریداری شده ابتدا از طریق قواعد وابستگی، نوع بیمه نامه‌هایی که افراد برای خانه‌های خود در برابر حوادث و مخاطرات انتخاب

خوش شماره ۳ اکثراً سنی بین ۵۰ تا ۶۰ سال دارند، شغلشان مدیر است، درآمد آن‌ها بیش از ۳ میلیون تومان در ماه است، مدرک تحصیلی آن‌ها فوق لیسانس است، خانه خود را علاوه بر پر تکرارترین نوع بیمه‌نامه خریداری شده، بر تمامی بیمه‌نامه‌ها نیز بیمه کرده‌اند و معیارهای دیگری که با توجه به اطلاعات مربوط به هر خوش، کارشناسان این خوش را بنام خوش مشتریان طلایی نام‌گذاری کرده‌اند.

همچنین خوش‌های دیگر نیز با توجه به تجزیه و تحلیل هر خوش توسط کارشناسان شرکت بیمه بنام مشتریان وفادار، مشتریان حساس و مشتریان ضعیف نام‌گذاری شده‌اند. پس از نام‌گذاری هر خوش و مشخص شدن محل قرار گرفتن هر رکورد در خوش‌بندی مجموعه داده، این بار همین مجموعه داده با اضافه شدن ستون نام خوش به عنوان مشخصه یا متغیر هدف، برچسب‌گذاری شده و برای پیش‌بینی خوش برای مشتریان جدید وارد الگوریتم شبکه‌های عصبی می‌شوند. نهایتاً با استفاده از ۷۰ درصد مجموعه داده به عنوان مجموعه داده آموزش جهت یادگیری مدل و انتخاب ۳۰ درصد از مجموعه داده به عنوان مجموعه داده آزمایش، الگوریتم شبکه‌های عصبی بر مجموعه داده حاصل شده اجرا می‌شود. شبکه‌های عصبی تا حد زیادی به عنوان جعبه سیاهی دیده شده‌اند که الگوی پیچیده در داده‌ها را مشخص می‌کنند و یادگیری از طریق آموزش از ویژگی‌های اساسی آن‌ها است [۱۶]. پس از اجرای الگوریتم بر روی مجموعه داده، خوش‌ها برای مشتریان جدید با دقت ۸۷/۱۰ درصد پیش‌بینی می‌شوند. هر چند شبکه‌های عصبی مصنوعی محدودیت‌های خاص خود را دارند، اما آن‌ها دارای محسن ویژه‌ای، همچون قدرت یادگیری، انعطاف‌پذیری، انطباق و کشف دانش هستند [۱۷]. نمودار کلی نحوه اعمال مدل پیشنهادی بر روی مجموعه داده در شکل ۳ ارائه شده است.



شکل ۳- نحوه اعمال مدل بر روی مجموعه داده (مرحله یادگیری)

#### ۴- یافته‌ها و ارزیابی پژوهش

در راه کار پیشنهادی، برای بررسی شاخص دقت در نتیجه مدل‌سازی شبکه‌های عصبی از معیار دقت یا نرخ دسته‌بندی استفاده می‌شود:

$$\text{precision} = \frac{\text{TP}}{\text{TP} + \text{FP}} \quad (1)$$

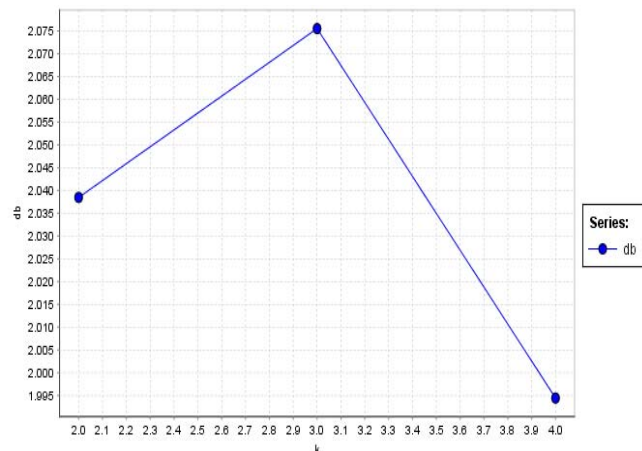
$$\text{recall} = \frac{\text{TP}}{\text{FN} + \text{TP}} \quad (2)$$

حاصل از انتخاب الگوریتم K-medoids را بجای الگوریتم K-means تعیین دهد.

جدول ۱- نتایج مقایسه عملکرد الگوریتم K-medoids و K-means از لحاظ تعیین تعداد بهترین خوش

K-medoids	
# Generated by Log[com.rapidminer.datatable.SimpleDataTable]	
# kdb	
2	2.038455301456895
3	2.0755253687899238
4	1.9144175531970258
5	1.9424645897881654
6	1.9514199199455575

K-means	
# Generated by Log[com.rapidminer.datatable.SimpleDataTable]	
# k	db
2	2.533608807984115
3	3.068261052728064
4	3.140990808692302
5	3.189741241276476
6	3.021981090479843



شکل ۲- نمودار شاخص db در الگوریتم K-medoids

شکل ۲ نمودار تعیین، بهترین تعداد خوش را با توجه به شاخص دیویس بولدین در الگوریتم K-medoids نشان می‌دهد. با مشخص شدن روش خوش‌بندی K-medoids به عنوان مناسب‌ترین روش خوش‌بندی برای مجموعه داده موردنظر، نتایج خوش‌بندی به این صورت حاصل شده:

##### Cluster Model

Cluster 0: 147 items  
 Cluster 1: 130 items  
 Cluster 2: 64 items  
 Cluster 3: 73 items  
 Total number of items: 414

با توجه به بهترین حالت خوش‌بندی مطابق با شاخص دیویس بولدین، داده‌ها در بهترین وضعیت در ۴ خوش، خوش‌بندی می‌شوند. سپس بعد از بررسی‌های به عمل آمده توسط کارشناسان شرکت بیمه بر روی محتویات هر خوش، برای هر خوش نامی تعیین می‌شود تا معرف آن خوش باشد. به عنوان مثال: مشتریان

پر تکرارترین نوع بیمه‌نامه‌های خریداری شده در هر خوشة، همان بیمه‌نامه‌ها و بیمه‌نامه‌های جدید بدون آگاهی از نیاز و انتخاب مشتری، متناسب با وضعیت خوشه‌های پیش‌بینی شده برای مشتریان ارائه می‌شود. این کار فقط با داشتن اطلاعات جمعیت شناختی مشتریان انجام می‌شود و بهترین راه تبلیغ محصولات و نوع بیمه‌نامه‌های جدید برای مشتریان و مشتریان جدید است. برای پیاده‌سازی مدل پیشنهاد شده از نرم‌افزار RapidMiner استفاده کردگایم که یک نرم‌افزار مجتمع و مطلوب برای انجام تکنیک‌های خوشبندی و دسته‌بندی است.

#### ۱-۴- تحلیل خوشه‌ها بر روی مجموعه داده‌های هدف

واژه تحلیل خوشه‌ای برای اولین بار توسط ترایون استفاده شد. تحلیل خوشه‌ای، شامل مجموعه‌ای از الگوریتم‌ها و روش‌ها است که جهت گروه‌بندی موضوعات یا اشیاء مشابه در طبقه‌های مرتبط استفاده می‌شود [۲۰].

براساس اهداف و معیارهای مختلف، تحلیل‌های خاصی بر روی خوشه‌ها انجام می‌گیرد که در نهایت با توجه به نتایج و خروجی خوشه‌ها، کارشناسان و متخصصان دست به اتخاذ تصمیم می‌زنند و برنامه عملیاتی خود را انجام می‌دهند. با توجه به خوشبندی‌های انجام شده بر روی مجموعه داده‌های این پژوهش می‌توان براساس نیاز، تصمیمات مهندسی را در امر بازاریابی و تبلیغات اتخاذ کرد: • طبق خوشبندی‌هایی که بر پایه اطلاعات جمعیت شناختی حاصل شده بهترین بستر تبلیغات بیمه را تشخیص و آن راه را برای انجام تبلیغ انجام داد و یا از طریق همین خوشبندی از میزان سطح سواد و درآمد افراد آگاهی پیدا کرد و نوع بیمه و شرایط آن را جهت گرفتن بیمه طی تبلیغات هدفمندی به افراد پیشنهاد کرد و موارد گوناگونی که به هدف شرکت و یا سازمان مرتبط است.

• با استفاده از خوشبندی‌هایی که بر پایه اطلاعات نوع و انتخاب بیمه توسط افراد مختلف انجام شده به کمترین و بیشترین انتخاب نوع بیمه دست پیدا کرد و بسته به شرایط افراد و موقعیت‌شان نوع بیمه را به مشتریان قدیمی و یا مشتریان جدید که با محصولات بیمه آشناشی ندارند از طریق تبلیغات طبقبندی شده‌ای پیشنهاد کرد.

• مطابق با خوشبندی‌هایی که بر پایه اطلاعات شعبات مختلف بیمه که در سطح شهر پراکنده شده‌اند به میزان دسترسی و مراجعه افراد به شعبات مختلف می‌توان پی برد و تبلیغات مختص با نقاط پر رفت و آمد و نقاط خلوت انجام داد.

این‌ها تنها مواردی از ارائه تبلیغ بر پایه خوشبندی بود، براساس نیازهای مختلف و تحلیل‌های خاصی که بر روی خوشه‌ها انجام می‌شود هدف‌های راهبردی خاصی انجام می‌شود. همچنین از تکنیک‌های مختلف داده کاوی می‌توان در قسمت دسته‌بندی برای انجام پیش‌بینی‌ها گوناگون استفاده کرد که منجر به نتایج جالب توجه و مفیدی در بحث بازاریابی و ارائه تبلیغات می‌شود.

#### ۵- نتیجه‌گیری و پیشنهادها

به دلیل افزایش رقابت بین سازمان‌ها و فعالیت‌های تبلیغاتی، بخش‌بندی بازار اهمیت ویژه‌ای برای تمرکز روی گروه خاصی از مشتریان و لذا کاهش هزینه‌ها پیدا کرده است. روش پیشنهادی ترکیب روش K-medoids با روش شبکه‌های عصبی در بازاریابی شرکت بیمه برای پیش‌بینی خوشه مشتریان استفاده می‌شود. نتایج آزمایش انجام شده بر رویدادهای یک شرکت بیمه نشان می‌دهد که تکنیک

TN: این مقدار بیانگر تعداد رکوردهایی است که دسته واقعی آن‌ها منفی بوده و الگوریتم دسته‌بندی نیز دسته آن‌ها را به درستی منفی تشخیص داده است.

FP: این مقدار بیانگر تعداد رکوردهایی است که دسته واقعی آن‌ها منفی بوده و الگوریتم دسته‌بندی، دسته آن‌ها را به اشتباه مثبت تشخیص داده است.

FN: این مقدار بیانگر تعداد رکوردهایی است که دسته واقعی آن‌ها مثبت بوده و الگوریتم دسته‌بندی، دسته آن‌ها را به اشتباه منفی تشخیص داده است.

TP: این مقدار بیانگر تعداد رکوردهایی است که دسته واقعی آن‌ها مثبت بوده و الگوریتم دسته‌بندی نیز دسته آن‌ها را به درستی مثبت تشخیص داده است.

معیار Recall دقت دسته‌بندی دسته  $x$  را با توجه به کل رکوردهای با برچسب  $x$  نشان می‌دهد. معیار Precision دقت دسته‌بندی دسته  $x$  را با توجه به مواردی نشان می‌دهد که برچسب  $x$  برای رکورد مورد بررسی توسط دسته‌بند پیشنهاد شده است [۱۸]. جدول ۲ میزان دقت در مدل شبکه‌های عصبی را نشان می‌دهد که برابر است با:

جدول ۲- میزان دقت در مدل شبکه‌های عصبی

	Weighted mean precision	Weighted mean recall	Accuracy
مدل شبکه عصبی	۹۵.۷۳ درصد	۹۳.۵۲ درصد	۹۷.۱۰ درصد

همچنین جدول ۳ نتایج حاصل از میزان دقت در پیش‌بینی خوشه هر رکورد از مجموعه داده آزمایش را نشان می‌دهد.

جدول ۳- میزان دقت در پیش‌بینی هر خوشه

	True cluster 1 (مشتریان وفادار)	True cluster 0 (ضعیف)	True cluster 2 (مشتریان حساس)	True cluster 3 (طلایی)	Class precision
پیش‌بینی خوشه ۱	۳۳	۱	۴	۳	۹۰.۴۹ درصد
پیش‌بینی خوشه ۲	۱	۴۵	۱	۰	۹۷.۷۴ درصد
پیش‌بینی خوشه ۳	۱	۱	۱۴	۱	۹۲.۲۵ درصد
پیش‌بینی خوشه ۴	۱	۰	۲	۱۶	۹۴.۲۱ درصد
Class recall	۹۸.۵۷ درصد	۹۹.۷۴ درصد	۷۶.۶۷ درصد	۹۰.۰۰ درصد	

ارزیابی خوشه‌ای اندازه‌گیری، میزان برتری یک خوشبندی نسبت به خوشبندی‌های دیگر به وسیله الگوریتم‌های متفاوت خوشبندی یا الگوریتم‌های مشابه ولی با مقدار پارامترهای متفاوت است [۱۹]. با توجه به نتایج و معیارهای حاصل شده، تنها با داشتن برخی اطلاعات جمعیت شناختی از قبیل سن، میزان درآمد و میزان تحصیلات یا میزان استفاده از اینترنت در روز با استفاده از مدل سازی شبکه‌های عصبی، خوشه موردنظر مطابق با محتوای اطلاعاتی درون خوشه برای مشتریان جدید پیش‌بینی و براساس سیاست‌ها و استراتژی‌های بازاریابی صورت می‌گیرد.

همچنین تبلیغات موردنظر برای ارائه محصولات و بیمه‌نامه‌های جدید متناسب با وضعیت مشتریان هر خوشه به آنها ارائه می‌شود. همچنین با بررسی

[10] W. Kuang-Wei, and K. Peng. "Market segmentation via structured click stream analysis," *Industrial Management & Data Systems*, vol. 102, no. 9, pp. 493-502, 2002.

[11] J. A. Mazanec, "Classifying tourists into market segments: A neural network approach," *Journal of Travel & Tourism Marketing*, vol. 1, no.1, pp. 39-60, 1992.

[12] J. Kim, SH. Wei, and H. Ruys, "Segmenting the market of West Australian senior tourists using an artificial neural network," *Tourism Management*, vol. 24, no. 1, pp. 25-34, 2003.

[13] R. Law, and N. Au, "A neural network model to forecast Japanese demand for travel to Hong Kong," *Tourism Management*, vol. 20, no. 1, pp. 89-97, 1997.

[14] H. Lijun, and et. al., "Comparison and Analysis of algorithms for association rules," *Database Technology and Applications*, First International Workshop on, IEEE, 2009.

[15] D. L. Davies, and D. W. Bouldin, "A cluster separation measure," *IEEE transactions on pattern analysis and machine intelligence*, vol. 1, pp. 224-227, 1979.

[16] S. Walczak, and N. Cerpa, "Heuristic principles for the design of artificial neural networks," *Information and software technology*, vol. 41, no. 2, pp. 107-117, 1999.

[17] S. Goonatilake, and C. P. Treleaven, Intelligent systems for finance and business, New York, USA: John Wiley & Sons, Inc, 1995.

[18] D. Powers, andD. Martin, "Evaluation: from precision, recall and F-measure to ROC, informedness, markedness and correlation," 2011.

[19] P. K. Roy, andet. al., "Automated Segmentation of White Matter Lesions Using Global Neighbourhood Given Contrast Feature-Based Random Forest and Markov Random Field," *Healthcare Informatics (ICHI)*, IEEE International Conference on, IEEE, 2014.

[20] K. Hornik, M. Stinchcombe, andH. White, "Multilayer feedforward networks are universal approximators," *Neural networks*, vol. 2, no. 5, pp. 359-366, 1989.

احسان مختاری فارغ‌التحصیل رشته فناوری اطلاعات  
گرایش تجارت الکترونیکی از دانشگاه گیلان هستند و  
زمینه‌های مورد علاقه ایشان داده کاوی، متن کاوی و هوش  
تجاری هستند.

آدرس پست الکترونیکی ایشان عبارت است از:  
ehsan\_m63000@yahoo.com



سید ابوالقاسم میرروشندل فارغ‌التحصیل از دانشکده  
فنی دانشگاه تهران در مقطع کارشناسی در رشته مهندسی  
کامپیوتر با گرایش نرم‌افزار و دانشگاه صنعتی شریف در  
مقاطع کارشناسی ارشد و دکتری در رشته مهندسی  
کامپیوتر گرایش هوش مصنوعی. از سال ۱۳۹۱ عضو هیأت



پیشنهادی راهکاری جدید با دقت نسبتاً خوب برای پیش‌بینی عملکرد رفتاری مشتریان برای ارائه تصمیمات مختلف است.  
همچنین با این تکنیک دقت در پیش‌بینی به مراتب بالاتر از موقعي است که متغیر هدفی در مجموعه داده نیست. لذا، استفاده از روش K-medoids تنها برای تشریح برخی مسائل یا شبکه‌های عصبی برای پیش‌بینی یک عمل به تنها دقت بالای ندارد و تکنیک‌های اختصاصی تری ترکیب K-medoids با الگوریتم درخت تصمیم و یا تکنیک‌های قواعد و استگی بسیار مناسب‌تر از الگوریتم‌های عام منظوره هستند. در آینده می‌توان کارایی این روش پیشنهادی را در کاربردهای دیگر بازاریابی مورد ارزیابی قرار داد. به علاوه، ترکیب روش پیشنهادی با سایر روش‌های موجود، با هدف افزایش کارایی و یا دقت آن نیز می‌تواند موضوع پژوهشی مناسبی برای کار در آینده باشد. می‌توان شکل‌های مختلف ترکیب تکنیک را نیز به مجموعه قواعد مورد استفاده اضافه کرد و شکل پیچیده‌تری را نیز برای فرضیه‌ها تعریف کرد. بدین صورت فضای فرضیات بزرگتری را مورد جستجو قرار داده و لذا احتمال یافتن فرضیه‌های بهتر با دقت پیش‌بینی بالاتر افزایش می‌یابد.

## مراجع

[1] Y. Wind, "Issues and advances in segmentation research," *Journal of marketing research*, vol. 15, no. 3, pp. 317-337, 1978.

[2] V. Mahajan, and A. Kjain, "An approach to normative segmentation," *Journal of Marketing Research*, vol. 15, no. 3, pp. 338-345, 1978.

[3] D. Chaffey, and P. R. Smith, "eMarketingXcellence: Planning and optimizing your digital marketing," Routledge, 2013.

[4] D. Chaffey, and et. al., "Internet marketing: strategy, implementation and practice," Pearson Education, 2009.

[5] S.Goyat, "The basis of market segmentation: a critical review of literature," 2011.

[6] T. Hong, andE. Kim, "Segmenting customers in online stores based on factors that affect the customer's intention to purchase," *Expert Systems with Applications*, vol. 39, no. 2, pp. 2127-2131, 2012.

[7] Y. Chen, CH. Yi Wang, and Y. Feng, "Application of a 3NN+ 1 based CBR system to segmentation of the notebook computers market," *Expert Systems with Applications*, vol.37, no.1, pp. 276-281, 2010.

[8] C-Y. Tsai, and C-C. Chiu, "A purchase-based market segmentation methodology," *Expert Systems with Applications*, vol. 27, no. 2, pp. 265-276, 2004.

[9] M. Sergio, R. Laureano, and P. Cortez, "Using data mining for bank direct marketing: An application of the crisp-dm methodology," *Proceedings of European Simulation and Modelling Conference-ESM*, Eurosis, 2011.

علمی گروه مهندسی کامپیوتر دانشگاه گیلان بوده و زمینه‌های مورد علاقه ایشان پردازش زبان‌های طبیعی، داده‌کاوی، یادگیری ماشینی و پردازش تصویر هستند. آدرس پست‌الکترونیکی ایشان عبارت است از:

[mirroshandel@guilan.ac.ir](mailto:mirroshandel@guilan.ac.ir)

#### اطلاعات بررسی مقاله:

تاریخ ارسال: ۱۳۹۵/۱۰/۰۱

تاریخ اصلاح: ۱۳۹۵/۱۱/۰۸

تاریخ قبول شدن: ۱۳۹۵/۱۱/۳۰

نویسنده مرتبط: دکتر سید ابوالقاسم میرروشنل، دانشکده فنی، دانشگاه گیلان، رشت، ایران.

<sup>۱</sup> Target Marketing

<sup>۲</sup> Mas Marketing

<sup>۳</sup> Market Segmentation

<sup>۴</sup> Clustering

<sup>۵</sup> Behavioral

<sup>۶</sup> Demographic

<sup>۷</sup> Geographic

<sup>۸</sup> Psychographic

<sup>۹</sup> Self-Organizing Map

<sup>۱۰</sup> K-Nearest Neighbors

<sup>۱۱</sup> Accuracy

<sup>۱۲</sup> Case-Based Reasoning

<sup>۱۳</sup> Recency, Frequency, Monetary

<sup>۱۴</sup> Artificial Neural Networks

<sup>۱۵</sup> Association Rule

## مدیریت سیستمی دمای پردازندۀ‌های چندهسته‌ای برای زبان‌های موازی مبتنی بر زمانبند ربايش کار

حمید نوری<sup>۱۲</sup>

مرتضی مرادی<sup>۱۲</sup>

حمید گوهرجو<sup>۱</sup>

<sup>۱</sup>دانشکده مهندسی، دانشگاه فردوسی مشهد، مشهد، ایران

<sup>۲</sup>پژوهشکده علوم کامپیوتر، پژوهشگاه دانش‌های بنیادی (IPM)، تهران، ایران

### چکیده

در سال‌های اخیر، دمای بالا و توان مصرفی زیاد در پردازندۀ‌های چندهسته‌ای به یک چالش اساسی برای سازندگان و کاربران این پردازندۀ‌ها تبدیل شده است. با رشد دمای پردازندۀ هزینه‌های خنکسازی و مصرف توان افزایش یافته و طول عمر پردازندۀ کاهش می‌یابد. در این تحقیق، یک الگوریتم مدیریت دمای بودا در سطح سیستم عاملپیشنهاد شده است که در اجرای برنامه‌های موازی مبتنی بر زمانبند ربايش کار<sup>۱</sup>، دمای پردازندۀ را در محدودیت درخواستی کاربر مدیریت می‌کند. از این رو، ما مدل دمایی و کارایی را جهت پیش‌بینی دمای آینده و تخمین میزان تغییرات کارایی برنامه پیشنهادی، الگوریتم پیشنهادی، با استفاده از مدل‌های پیشنهادی، الگوریتم پیشنهادی، فعال و فرکانس پردازندۀ را به نحوی تعیین می‌کند که دما از محدودیت تعیین شده باشند و کمترین آسیب ممکن به کارایی برنامه وارد گردد. آزمایشات بر روی سیستم واقعی نشان داد که الگوریتم پیشنهادی به طور میانگین ۲۸ درصد کارایی بالاتری از الگوریتم آغاز از همسایگی داشته و برخلاف این الگوریتم، هرگز از محدودیت دمایی تعیین شده تخطی نمی‌کند.

**کلمات کلیدی:** اجرای موازی، پردازندۀ چندهسته‌ای، ربايش کار، زمانبند، سیستم عامل، مدیریت دما.

### ۱- مقدمه

برنامه‌نویسی موازی پیاده‌سازی شوند تا بتوانند کارایی بالایی را در اجرا بر روی پردازندۀ‌های چندهسته‌ای بدست آورند. تعداد زیادی از زبان‌های موازی مانند Intel TBB و Intel Cilk Plus، OpenMP و موازی‌سازی در سطح برنامه بهره می‌برند<sup>[۲]</sup>. این در حالی است که سیستم عامل‌ها از وجود چنین زمانبندی درون برنامه اطلاعی ندارند. در اجرا به وسیله زمانبند ربايش کار، چندین نخ به عنوان کارگر<sup>۳</sup> در سطح سیستم عامل ایجاد می‌شود که تمامی آن‌ها به صورت همزمان به اجرای وظایف تعريف شده در برنامه می‌پردازنند. از آنجایی که تخصیص وظایف به نخ‌های کارگر در زمان اجرا به صورت پویا و بدون پیش‌فرضی در برنامه صورت می‌گیرد، در صورت توقف یکی از نخ‌های کارگر، دیگر نخ‌های فعال در برنامه به اجرای وظایف باقیمانده خواهند پرداخت. این در حالی است که در برخی مدل‌های برنامه‌نویسی دیگر در صورت توقف یک نخ ممکن است ادامه‌ی اجرای کل برنامه به چالش کشیده شود. در [۴] و [۵] به بهبود صفت نگهداری وظایف در ربايش کار پرداخته شده است. و [۶]، [۷] و [۸]

در سال‌های اخیر با افزایش تعداد و چگالی ترانزیستورها بر روی تراشه، توان مصرفی و دمای پردازندۀ‌های چندهسته‌ای افزایش یافته است. با رشد دمای پردازندۀ هزینه‌های خنکسازی و مصرف توان افزایش یافته و طول عمر پردازندۀ کاهش می‌یابد<sup>[۱]</sup>. در مواجهه با این مشکل، راهکارهای مختلفی با محوریت مدیریت دمای پردازندۀ مطرح شده‌اند که از این میان، دسته‌ای با عنوان مدیریت پویای پیشگیرانه‌ی دما<sup>۴</sup>، رسیدن پردازندۀ به آستانه‌ی دمایی نامطلوب را با استفاده از مدل‌هایی پیش‌بینی کرده و با انجام اقدامات پیشگیرانه‌ای مانند کاهش فرکانس ساعت پردازندۀ<sup>۵</sup>، مهاجرت پردازه‌ها<sup>۶</sup> و کاستن از هسته‌های فعال پردازندۀ ضمن ممانعت از کاهش شدید کارایی از بروز دمای نامطلوب اجتناب می‌کنند<sup>[۳]</sup>. با ظهور پردازندۀ‌های چندهسته‌ای، برنامه‌ها ناگزیرند تا با استفاده از زبان‌های

است که برنامه‌ی موازی در حال اجرا با استفاده از زمانبند ریاضی کار پیاده‌سازی شده است و در اثر کاهش و یا افزایش تعداد نخ‌ها، روند اجرای برنامه مختلف نخواهد شد. در ادامه، نوآوری‌های این پژوهش به صورت خلاصه بیان شده است:

- ارائه الگوریتم مدیریت دما در سطح سیستم عامل برای برنامه‌های موازی مبتنی بر زمانبند ریاضی کار برای اولین بار به نحوی که تفہیم کننده عدم تجاوز دما از سطح درخواستی کاربر باشد.
- پیشنهاد دو مدل دمایی و کارایی با دقت مناسب جهت استفاده در الگوریتم‌های مدیریت دما.

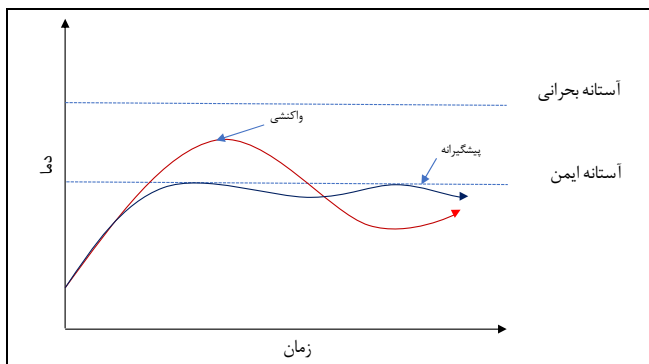
• بررسی دقت مدل دمایی و تأثیر افزایش دقت مدل‌ها در الگوریتم مدیریت دما، بر کارایی برنامه و دمای پردازنده.

• عدم تجاوز از محدودیت دمایی کاربر با صرف هزینه کارایی پایین‌تر از دیگران، چنانچه در کارهای دیگران با وجود تخطی از محدودیت دمایی تعیین شده، کارایی پایین‌تر بدست آمده است.

در ادامه، بخش ۲ پیشینه‌ی تحقیق و کارهای انجام شده در زمینه‌ی مدیریت دما بررسی کرده است. سپس، مدل‌های دمایی، مدل کارایی و الگوریتم مدیریت دمای پیشنهادی در بخش ۳ ارائه شده‌اند. همچنین، بخش ۴ به ارزیابی الگوریتم مدیریت دمایی پیشنهادی و بررسی دقت مدل‌های دمایی پرداخته است. در نهایت، نتیجه‌گیری و پیشنهاداتی برای ادامه‌ی تحقیق در بخش ۵ بیان شده است.

## ۲- پیشینه

تا کنون در تحقیقات صورت گرفته در مدیریت پویای دمای پردازنده، از ابزار کنترلی دما مانند تنظیم فرکانس پردازنده، مهاجرت پردازه‌ها و تغییر درجه همروندی اجرای پردازه‌ها در یک زمانبند زمان اجرا برای دستیابی به اهداف استفاده شده است [۱]. به طور کلی، رویکرد حل مسئله در این تحقیقات را می‌توان در دو دسته‌ی واکنشی<sup>۷</sup> و پیشگیرانه<sup>۸</sup> تقسیم کرد (شکل ۲). در رویکرد واکنشی، پس از رسیدن دمای پردازنده به آستانه‌ی نامطلوب از ابزار کنترلی برای کاهش دما استفاده می‌شود. مشکل اساسی این روش این است که عدم تخطی از آستانه را تضمین نمی‌کند. علاوه بر این، نوسانات زیاد دمایی ایجاد شده در این روش، موجب کاهش عمر پردازنده می‌شود [۱۵]. در مقابل، رویکرد پیشگیرانه با بهره‌گیری از مدل‌های پیش‌بینی دما و انجام اقدامات کنترلی پیشگیرانه از رسیدن دما به محدوده‌ی نامطلوب جلوگیری می‌کند. مطالعات اخیر نشان داده است که رویکرد پیشگیرانه کارآمدی بیشتری در دستیابی به اهداف مدیریت دما از جمله عدم تخطی از آستانه‌ی دمای نامطلوب و اجتناب از کاهش کارایی برنامه دارد [۳].

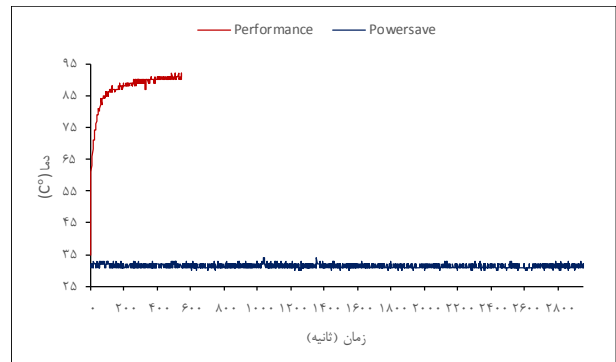


شکل ۲- رویکردهای مدیریت دما

به طور کلی کارهای انجام شده در رویکرد پیشگیرانه دما را می‌توان در دو

مسئله‌ی نحوه انتخاب صفت قربانی را جهت ریاضی وظیفه بهبود داده‌اند. در [۹] در هنگام ریاضی وظیفه به جای یک وظیفه، نصف وظایف موجود در صفت قربانی ریاضی می‌شود. در [۱۰] ریاضی خودش حق برداشتن وظیفه از صفت قربانی را ندارد بلکه درخواست خود را به قربانی ارسال می‌کند و قربانی در صورت داشتن وظیفه آن را برای ریاضی ارسال می‌کند. در [۱۱] با استفاده از ساختمنداده لیست پیوندی، یک صفت با اندازه پویا ارائه شده است. در [۱۲] به زمانبندی وظایف با دقت نظر گرفتن اولویت در ریاضی کار پرداخته شده است. در هیچ کدام از این کارها مسئله دما مورد توجه قرار نگرفته است.

در این تحقیق، ما اجرای برنامه‌ی ضرب استاندارد ماتریس را بر روی پردازنده Intel Core i7-4790K توسط دو مدیریت فرکانس powersave و performance موجود در سیستم عامل لینوکس آزمایش کردیم. نمودار ارائه شده در شکل ۱، دمای پردازنده را در این آزمایش نشان می‌دهد که در آن محور افقی زمان اجرا و محور عمودی دمای پردازنده است. همان‌طور که در شکل دیده می‌شود، دمای پردازنده در مدیریت با powersave به طور میانگین حدود ۵۵ درجه کمتر از میانگین دمای performance است. در مقابل زمان اجرای performance تقریباً یک‌چهارم زمان اجرای powersave است. بر این اساس، دریافتیم که با امکانات موجود در سیستم عامل لینوکس نمی‌توان با صرف هزینه کارایی پایینی، دمای پردازنده را در محدوده‌ی دلخواه مدیریت کرد.

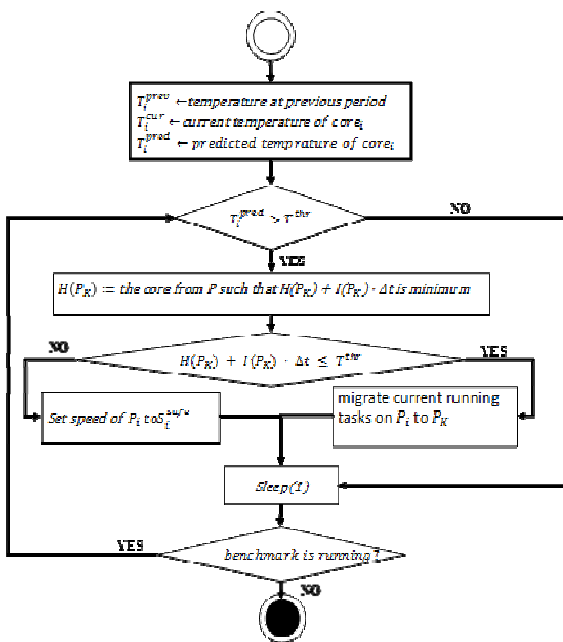


شکل ۱- دمای پردازنده تحت مدیریت فرکانس در سیستم عامل لینوکس

تا کنون تحقیقات زیادی برای مسئله‌ی مدیریت پویای دمای پردازنده‌ی چنددهسته‌ای صورت گرفته است. در این کارها تمرکز روی معیارهایی از جمله کاهش میانگین دمای پردازنده، کاهش رخداد نقاط داغ<sup>۹</sup> بر روی پردازنده و نیز کنترل دما زیر محدودیت درخواستی کاربر بوده است [۱۸-۱۳]. از میان کارهای صورت گرفته، [۱۳] و [۱۴] عملکرد بهتری از دیگران داشته‌اند. در این کارها، از مدل‌های پیش‌بینی دمای پردازنده بهره‌برده شده است تا دمای آینده‌ی پردازنده پیش‌بینی شود و در صورت لزوم برای اجتناب از گذر دما از محدودیت درخواستی کاربر، عمل پیش‌دستانه‌ای صورت می‌گیرد. تحقیقات دیگری مشابه این کارها صورت گرفته است اما در اکثر این کارها ویژگی‌هایی از جمله موازی سازی در برنامه‌های کاربردی مورد توجه قرار گرفته نشده است و لذا کارایی آن‌ها برای چنین کاربردهایی مورد تردید است.

اطلاعات ما نشان می‌دهد که تاکنون هیچ یک از راهکارهای مدیریت دمای مطرح شده در سطح سیستم عامل، آگاهی از وجود زمانبند ریاضی کار را در برنامه‌های موازی در نظر نگرفته‌اند. در حالی که با وجود این زمانبند، امکان تغییر تعداد نخ‌های فعل در زمان اجرا به صورت پویا و بدون نیاز به تغییر ساختار برنامه وجود دارد. از این‌رو، در این تحقیق یک الگوریتم مدیریت دمای پویا در سطح سیستم عامل را پیشنهاد دادیم که در اجرای برنامه‌های موازی، دمای پردازنده را کمتر از آستانه‌ی درخواستی کاربر مدیریت می‌کند. در الگوریتم ما، فرض بر این

کاهش شدید فرکانس در دستور کار خواهد گرفت که بدون شک هزینه کارایی سنگینی را به مدیریت دما تحمیل خواهد کرد.



شکل ۳- نمودار گردشی الگوریتم آگاه از همسایگی [۱۳]

در [۱۴] برای پیش‌بینی دما علاوه بر دما و ویژگی فیزیکی هسته‌ها، ویژگی‌های بار کاری<sup>۹</sup> نیز در نظر گرفته شده است. در این روش یک مدل دمایی برای پیش‌بینی دما براساس بار کاری و یک مدل دمایی دیگر برای پیش‌بینی دما براساس ساختار پردازنده پیشنهاد شده است. در نهایت پیش‌بینی نهایی براساس مجموع ضرایبی از این دو، شکل می‌گیرد. این ضرایب براساس مشاهدات پیشین و به صورت تجربی بدست می‌آیند. زمانی که دمای یک هسته از یک مقدار مشخص بیشتر شود، هسته‌ای که کمترین پیش‌بینی دما در آینده خواهد داشت، به عنوان مقصد مهاجرت انتخاب می‌شود.

در برخی از کارها از شمارنده‌های کارایی<sup>۱۰</sup> جهت پیش‌بینی دمای آینده استفاده شده است. در [۱۶ا]، با استفاده از یک آزمایش تجربی مشاهده شده که ترتیب مختلف اجرای وظایف در دما موثر است. به عنوان مثال اگر ابتدا یک وظیفه گرم و سپس یک وظیفه سرد اجرا شود، دمای هسته نسبت به حالت عکس کمتر خواهد بود. این مقاله به کمک شمارنده‌های کارایی یک تخمین زنده‌ی دما ارائه داده است که از آن در سیاستی استفاده شده که وظایف را به ترتیب دما مرتب کرده و داغ‌ترین وظیفه‌ای که دمای پردازنده را از حد آستانه بالاتر نمی‌برد را به عنوان وظیفه بعدی جهت اجرا انتخاب می‌کند.

یک پردازنده از واحدهای محاسباتی متفاوت تشکیل شده است و یک برنامه و یا وظیفه ممکن است از تمامی این واحدهای محاسباتی استفاده نکند. و هر یک از وظایف ممکن است از واحدهای محاسباتی متفاوتی در پردازنده استفاده کنند. به عنوان مثال، یک وظیفه که عمدی دستورات، اعمال ریاضی صحیح هستند، ALU را تحت تاثیر قرار می‌دهند در حالی که وظیفه‌ای که تمامی دستورات ممیز شناور است، واحد ممیز شناور را تحت تاثیر قرار داده و موجب افزایش دما در آن واحد می‌شود. در [۱۷ا]، سعی شده است تا در یک محیط چند نخی همزمان<sup>۱۱</sup>، وظایفی که از این نظر متمایز هستند همزمان اجرا شوند. در [۱۸، ۱۹] یک الگوریتم توانی بار آگاه از دما ارائه شده است. که با استفاده از تغییر فرکانس و مهاجرت سعی می‌کند دما را زیر حد آستانه حفظ کند.

دسته قرار داد. دسته‌ای اول، کارهایی هستند که در آن‌ها آگاهی از وجود برنامه‌های موازی مورد توجه قرار گرفته نشده است و مدیریت دما، هر یک از نخهای تولید شده توسط یک برنامه موازی را به عنوان برنامه‌ی مستقلی تلقی می‌کند [۱۷-۱۳]. براساس آزمایشات ما، عدم آگاهی از موازی‌سازی در برنامه‌ها می‌تواند هزینه‌های کارایی را در مدیریت دما افزایش دهد. دسته‌ی دوم از این کارها، آگاهی از وجود موازی‌سازی در برنامه‌ها را در نظر گرفته‌اند [۲۵-۱۶]. در این دسته، برخی از کارها به مسئله‌ی کنترل دما پرداخته [۱۹، ۱۷، ۱۶] و برخی دیگر نیز در جهت بهبود توان و انرژی مصرفی پردازنده تلاش کرده‌اند [۲۵-۲۰]. گرچه بهبود توان مصرفی و یا انرژی مصرفی ممکن است در راستای اهداف این پژوهش یعنی عدم تخطی از محدودیت دمایی نباشد، اما ایده‌های به کار رفته در این کارها ممکن است برای کنترل دمای پردازنده هم کارایی داشته باشند.

از میان تحقیقات اخیر، الگوریتم آگاه از همسایگی به عنوان یک رویکرد پیشگرانه مورد توجه زیادی بوده است [۱۳]. در این الگوریتم، دمای هر کدام از هسته‌های پردازنده با در نظر گرفتن تاثیر هسته‌های همسایه به صورت جدالگاهه پیش‌بینی می‌شود. در این کار، چنانچه دمای پیش‌بینی شده برای یک هسته از محدودیت دمایی بیشتر باشد، هسته‌ای به عنوان مقصد جهت مهاجرت پردازهای هسته‌ی جاری انتخاب می‌شود. برای انتخاب هسته‌ی مقصد از پایین‌ترین دمای پیش‌بینی شده‌ی هسته‌ها استفاده می‌شود که از محدودیت مشخص شده پایین‌تر است. شکل ۳، نمودار گردشی الگوریتم آگاه از همسایگی را نمایش می‌دهد. در این الگوریتم،  $T_i^{\text{pred}}$ ,  $T_i^{\text{cur}}$  و  $T_i^{\text{prev}}$  به ترتیب دمای گذشته، دمای حال و دمای پیش‌بینی شده برای هسته‌ی آ هستند و  $S_i^{\text{safe}}$  به ترتیب آستانه محدودیت دمایی، فاصله‌ی زمانی بین دو اجرای متوالی الگوریتم و فرکانس مطمئن برای هسته‌ی آ می‌باشند. همچنین،  $H(P_k)$ ،  $I(P_k)$ ،  $\Delta(t)$  و  $t^{\text{thr}}$  به ترتیب، آستانه پیش‌بینی شده برای هسته‌ی آ هستند. همچنین،  $H(P_k)$  را می‌توان از فرمول زیر بدست می‌آید:

$$H(P_k) = \frac{\sum_{P_j \in P_k^{\text{NB}} \cup \{P_k\}} t_j^{\text{prev}}}{|P_k^{\text{NB}} \cup \{P_k\}|} \quad (1)$$

در واقع فرمول (۱)، میانگین دمای هسته‌ی  $k$  و هسته‌های مجاور آن را محاسبه می‌کند. از دید الگوریتم آگاه از همسایگی، هسته‌ای که کمترین مقدار  $H(P_k)$  را دارد برای انتخاب به عنوان مقصد مناسب است. افزون بر این، فاکتور  $I(P_k)$  که بیانگر میزان شبیه‌افزایش دمای هسته‌ی  $k$  با درنظر گرفتن هسته‌های همسایه است، در الگوریتم آگاه از همسایگی از معیارهای انتخاب مقصد محاسبه می‌شود که مقادیر کمتر برای آن مطلوب‌تر هستند.  $(P_k)I$  را می‌توان از فرمول زیر محاسبه کرد:

$$I(P_k) = \frac{\sum_{P_j \in P_k^{\text{NB}} \cup \{P_k\}} \frac{t_j^{\text{cur}} - t_j^{\text{prev}}}{t_j^{\text{cur}} - t_j^{\text{prev}}}}{|P_k^{\text{NB}} \cup \{P_k\}|} \quad (2)$$

در الگوریتم آگاه از همسایگی، چنانچه  $(t)H(P_k) + I(P_k).\Delta(t)$  برای هیچ یک از هسته‌ها پایین‌تر از محدودیت دمایی نباشد، فرکانس هسته‌ی جاری به سطح اینم  $(S_i^{\text{safe}})$  کاهش خواهد یافت تا دمای هسته‌ی جاری در آینده از محدودیت تعیین شده تجاوز نکند.

مزیت الگوریتم آگاه از همسایگی نسبت به دیگران، در نظر گرفتن تاثیر هسته‌های مجاور در مدل دمایی جهت پیش‌بینی دمای آینده برای یک هسته است تا تمايز میان دمای هسته‌ها مبنای مهاجرت پردازه‌ها قرار گیرد. به نظر می‌رسد، این روش در اجرای همزمان چندین برنامه‌ی غیرموازی کارایی مناسبی داشته باشد. در مقابل، در اجرای برنامه‌ی موازی ممکن است تفاوت چندانی میان فعالیت هسته‌های مختلف نباشد و مهاجرت نخ‌ها موجب کاهش دما نشود. در چنین حالتی

### ۳- سیاست پیشنهادی مدیریت دما

سیاست پیشنهادی مدیریت پویای دما در این تحقیق بر مبنای یک مدل دمایی برای پیش‌بینی دمای پردازندۀ، یک مدل کارایی جهت پیش‌بینی میزان افزایش سرعت و یک الگوریتم انتخاب پیکربندی است که به کمک این دو مدل ضمن تضمین رعایت محدودیت دما، سعی در کاهش تخریب کارایی دارد. پس از انجام آزمایشات مختلف بر روی برنامه‌های محک موازی، بی‌بردیم که با تغییر تعداد نخ‌های فعال برنامه و فرکانس پردازندۀ، زمان اجرای برنامه تقریباً به صورت خطی و دمای پردازندۀ به صورت غیرخطی تغییر می‌کنند. بنابراین، ما با پیشنهاد دو مدل کارایی و دمایی، نقش عواملی همچون فرکانس ساعت پردازندۀ و تعداد هسته‌های فعال را در کارایی برنامه و دمای پردازندۀ تبیین کرده و الگوریتم مدیریت دمایی خود را بر پایه این مدل‌ها پیشنهاد می‌دهیم.

#### ۱-۳- مدل پیش‌بینی دما

یک هدف اساسی در مدل پیش‌بینی دما، افزایش دقت در مقادیر پیش‌بینی شده است. از این رو، برای افزایش دقت پیش‌بینی مدل دما باستی ویژگی‌های موثر در دمای پردازندۀ شناسایی و در مدل گنجانده شوند. با این وجود، شناخت این ویژگی‌ها نیازمند صرف آزمایشات متعدد و آزمودن ترکیبات مختلفی از ویژگی‌های آماری دمای پردازندۀ است. گرچه روش‌های متعددی برای ایجاد مدل‌های دمایی با استفاده از ویژگی‌های آماری موجود است، در این تحقیق ما از رگرسیون خطی برای تخمین ضرایب ویژگی‌های موثر مدل دمایی خود بهره بردیم که در تحقیقات دیگر مرسوم بوده است [۱۴]. فرمول (۳) یک معادله درجه اول از مدل دمایی پیشنهادی را نشان می‌دهد:

$$T_{\text{new}} = \alpha_1 T_{\text{cur}} + \alpha_2 f_{\text{new}} + \alpha_3 c_{\text{new}} + \alpha_4 \quad (3)$$

که در آن  $T_{\text{new}}$  پیش‌بینی دمای جدید،  $T_{\text{cur}}$  دمای حال،  $f_{\text{new}}$  فرکانس آینده پردازندۀ،  $c_{\text{new}}$  تعداد نخ‌های کارگر آینده و مقادیر  $\alpha_i$  برای  $i = 1, 2, \dots, 4$  ضرایب تعیین شده توسط رگرسیون خطی هستند. پس از انجام آزمایشات متعدد روی برنامه‌های محک مختلف، به این نتیجه رسیدیم که علاوه بر ویژگی‌های استفاده شده در فرمول (۳) عوامل دیگری چون شبیه تغییرات ویژگی‌ها نیز بر عملکرد الگوریتم مدیریت دمایی موثر است. فرمول (۴)، با دخیل کردن پارامترهای بیشتر را در یک معادله درجه دوم برای مدل دمایی پیشنهاد می‌دهد که در آن علاوه بر ویژگی‌های فرمول (۴)، میزان تغییرات ویژگی‌ها نیز جهت افزایش دقت مدل، گنجانده شده است.

$$T_{\text{new}} = \alpha_1 T_{\text{cur}} + \alpha_2 f_{\text{new}} + \alpha_3 c_{\text{new}} + \alpha_4 \nabla T_{\text{cur}} + \alpha_5 \nabla f_{\text{new}} + \alpha_6 \nabla c_{\text{new}} + \alpha_7 T_{\text{cur}}^2 + \alpha_8 f_{\text{new}}^2 + \alpha_9 c_{\text{new}}^2 + \alpha_{10} \nabla T_{\text{cur}}^2 + \alpha_{11} \nabla f_{\text{new}}^2 + \alpha_{12} \nabla c_{\text{new}}^2 + \alpha_{13} \quad (4)$$

عملگر گرادیان (۷) برای یک ویژگی به معنی تفاضل مقدار جدید آن ویژگی با مقدار قبلی آن در دو نمونه متوالی از زمان اجرا است. به عبارت دیگر برای ویژگی فرضی  $\chi$  خواهیم داشت:

$$\nabla \chi_{\text{cur}} = \chi_{\text{cur}} - \chi_{\text{past}}, \quad \nabla \chi_{\text{new}} = \chi_{\text{new}} - \chi_{\text{cur}}$$

که در آن،  $\chi_{\text{cur}}$  و  $\chi_{\text{past}}$  به ترتیب مقدار پیشین، حال و آینده ویژگی فرضی  $\chi$  است.

این روش در محیط برنامه‌نویسی charm++ پیاده‌سازی شده است. یکی از معایب مهم این کار، نیاز به آگاهی از زمان اجرای وظایف در الگوریتم زمانبندی است. باید توجه شود که در برنامه‌ها چنین اطلاعاتی به راحتی در دسترس نیست و به دست آوردن آن‌ها نیازمند پایش‌های اماراتی از زمان اجرا و استفاده از مدل‌های تخمینی است. در مقابل، از آنجایی که سیستم عامل از وجود وظایف موجود در برنامه مطلع نیست و در مدیریت اجرای آن‌ها نقشی ندارد، استفاده از این ایده برای مدیریت دما در سطح سیستم عامل، در عمل ممکن نیست.

یک برنامه‌ی موازی معمولاً علاوه بر قسمت‌هایی که موادی اجرا می‌شوند دارای قسمت‌هایی است که در آن موازی سازی صورت نگرفته و اجرا به صورت سریال است. بر این اساس، در برخی از کارها سعی شده است تا قسمت‌های سریال برنامه روى دیگر هسته‌هایی ضعیفتر اجرا شوند تا ضمن افزایش کارایی برنامه، در مصرف انرژی صرفه‌جویی صورت گيرد. [۲۰، ۲۱]، مصرف انرژی در قسمت‌های سریال و موازی برنامه را با رویکردی در سطح کامپایلر کاهش داده‌اند. در اینکارها، در زمان کامپایل، قطعه کدی به قسمت‌های سریال برنامه افزوده می‌شود که فرکانس ساعت پردازندۀ را در حداکثر قرار می‌دهد و در قسمت‌های موازی برنامه قطعه کدی قرار داده می‌شود که سطح پایینی از فرکانس پردازندۀ را در خواست می‌کند. بنابراین، همواره قسمت‌های سریال برنامه با بیشترین فرکانس و قسمت‌های موازی با فرکانس پایین اجرا شده و در توان مصرفی صرفه‌جویی خواهد شد.

در تعداد زیادی از کارهای انجام شده در زمینه کاهش مصرف انرژی، تلاش شده است تا بهترین پیکربندی پردازندۀ برای اجرای برنامه پیش‌بینی شود تا ضمن کمترین تخریب کارایی، بیشترین صرفه‌جویی در مصرف انرژی صورت گیرد. به عبارت دیگر، در زمان اجرا و یا قبل از آن، مصرف انرژی و میزان کارایی برنامه در ترکیب‌های مختلفی از تعداد هسته‌ها و فرکانس ساعت پردازندۀ پیش‌بینی می‌شود، و هر پیش‌بینی به عنوان یک نقطه‌ی عملیاتی <sup>۱۳</sup> سیستم تلقی می‌گردد. سپس، یکی از حالات که به اهداف موردنظر کاربر نزدیک‌تر است از میان نقاط عملیاتی انتخاب می‌شود.

در این راستا، [۲۲، ۲۳] از یک روش رگرسیون خطی <sup>۱۴</sup> برای دسته‌بندی و پیدا کردن نقاط عملیاتی سیستم استفاده کردند. در این کارها، داده‌های ورودی رگرسیون می‌تواند دما، شمارنده‌های کارایی، زمان اجرای برنامه، تعداد هسته‌ها و فرکانس پردازندۀ باشد. همچنین، خروجی زمان اجرا و انرژی مصرفی است. در این کارها، با افزایش تعداد انتخاب‌ها از میان نقاط عملیاتی ممکن، فضای جستجو بزرگ می‌شود و بررسی تمام این نقاط سربار زمان اجرا زیادی خواهد داشت. در [۲۴]، با استفاده از الگوریتم تپه‌نوردی <sup>۱۵</sup> و جستجوی دودویی فضای جستجوی نقاط عملیاتی هرس شده و بنابراین با مرحاباتی انتخاب نقطه‌ی عملیاتی بهینه کاهش می‌یابد گرچه ممکن است لزوماً بهترین حالت انتخاب نشود.

در اکثر کارهای انجام شده، زمانی که اهداف مختلفی از جمله کاهش دما، مصرف انرژی و زمان اجرای اجرای برنامه به صورت توامان موردنظر است، از روش بهینه‌سازی مبتنی بر محدودیت برای انتخاب تصمیم زمانبندی بهینه استفاده می‌شود. در این روش، یک هدف بیشینه یا کمینه می‌شود و دیگر اهداف به صورت محدودیت‌هایی در نظر گرفته می‌شوند.

به عنوان مثال، برای کمینه کردن زمان اجرا تلاش می‌شود که دما از محدودیت مشخصی فراتر نرود. با این حال، در محدودیت از کارها سعی شده است تا تمامی اهداف به صورت همزمان بیشینه یا کمینه شوند. از این دست، در [۲۵] با استفاده از الگوریتم ژنتیک بهینه‌سازی توام کارایی، دما و توان مصرفی صورت گرفته است. با این وجود، سربار بالای اجرای محاسبات تکاملی مانع کارآمدی راه حل پیشنهادی در این مقاله شده است.

فرمول (۳) یا (۴) کمتر از مقدار آستانه تخمین زده می‌شود، گزینه‌ای انتخاب شود که براساس فرمول (۵) بیشترین کارایی را دارد. در گام بعدی، اگر تعداد هسته‌های فعال جدید کمتر از هسته‌های فعال کنونی باشند، به تعداد تفاضل این دو، از نخ‌های کارگر فعل خواهند شد تا در عمل از هسته‌های فعل پردازنده کاسته شود. همچنین، اگر تعداد هسته‌های فعل جدید بیشتر از هسته‌های فعل کنونی باشد، به تعداد تفاضل این دو از نخ‌های کارگری که قبل تعلیق شده‌اند برای ادامه‌ی اجرا بیدار خواهند شد. در نهایت، فرکانس پردازنده با فرکانس جدید تنظیم خواهد شد. لازم به ذکر است که در عموم پیاده‌سازی‌های ریاضی کار، تعداد نخ‌های کارگر در ابتدای اجرا برابر با تعداد هسته‌های پردازنده است.

```

1:  $\Phi \leftarrow \text{set of processor frequencies}$ 
2:  $P \leftarrow \text{set of processor cores}$ 
3:  $f_{\text{cur}} \leftarrow \text{maximum processor frequency}$ 
4:  $c_{\text{cur}} \leftarrow \text{the number of processor cores}$ 
5:  $T_{\text{safe}} \leftarrow \text{getSafeThreshold}(T_{\text{constraint}})$ 
6: while(a parallel program is running) do
7:    $f_{\text{new}}, c_{\text{new}} \leftarrow \underset{f_{\text{new}} \in \Phi, c_{\text{new}} \in P}{\operatorname{argmax}} \{ \text{Speedup} \mid T_{\text{new}} \leq T_{\text{safe}} \}$ 
8:   if  $c_{\text{new}} \leq c_{\text{cur}}$  then
9:     Suspend ( $c_{\text{new}} - c_{\text{cur}}$ ) worker threads
10:   else
11:     Awake ( $c_{\text{cur}} - c_{\text{new}}$ ) worker threads
12:   end if
13:    $f_{\text{cur}} \leftarrow f_{\text{new}}$ 
14:    $c_{\text{cur}} \leftarrow c_{\text{new}}$ 
15:   sleep(1)
16: end while

```

شکل ۴- الگوریتم مدیریت دمای پیشنهادی

#### ۴- ارزیابی

ما الگوریتم مدیریت دمای پیشنهادی خود را بر روی یک سیستم واقعی دارای پردازنده‌ی Intel Core i7-4790K که دارای چهار هسته‌ی فیزیکی، هشت هسته منطقی و ۱۶ پله‌ی فرکانسی مختلف است آزمایش کردیم. این سیستم دارای ۸ گیگابایت حافظه اصلی بود و از سیستم عامل ۱۴.۰۴ Ubuntu به عنوان میزبان استفاده شد. برای پیاده‌سازی الگوریتم پیشنهادی از زبان C++ و کامپایلر GCC استفاده شد. همچنین، برنامه‌های محک مورد آزمایش شامل مرتب‌سازی ادغامی، ضرب استاندارد ماتریس، تبدیل فوریه سریع، ترانهاده ماتریس، مرتب‌سازی سریع و مرتب‌سازی رقمه‌ی با استفاده از ابزار Intel Cilk Plus [۲۸] پیاده‌سازی شدند. افزون بر این، ما برای خواندن دمای هسته‌های پردازنده از ابزار lm-sensors [۲۶] و برای تنظیم فرکانس پردازنده از ابزار CPUFreq [۲۷] استفاده کردیم. در طول زمان آزمایشات تلاش شد تا دمای اتاق ثابت و برای تمامی آزمایشات یکسان نگاه داشته شود. همچنین، ما با استفاده از ابزار lm-sensors سرعت خنک‌کننده‌ی پردازنده را در تمامی آزمایشات ثابت نگاه داشتیم تا تغییر رفتار خنک‌کننده در نتایج اثری نداشته باشد.

#### ۴-۱- ارزیابی دقت مدل دمایی

ما هر یک از مدل‌های دمایی ارائه شده در بخش ۳-۱ را در الگوریتم مدیریت دمایی پیشنهادی قرار داده تا اثر افزایش دقت مدل‌ها بر عملکرد سیستم پیشنهادی مدیریت دما را ارزیابی کنیم. در هر اجرا، دمای پردازنده به صورت لحظه‌ای اندازه‌گیری شد و با دمای پیش‌بینی شده برای آن لحظه مقایسه گردید. شکل ۵، نتایج حاصل از این آزمایش را برای برنامه‌های محک مختلف نشان

#### ۴-۲- مدل پیش‌بینی کارایی

در مدل پیش‌بینی کارایی ما به دنبال تخمین تغییر در زمان اجرای برنامه در اثر تغییر پیکربندی سیستم هستیم. از این رو، تخمین توان پردازشی سیستم را به صورت زیر تبیین می‌کنیم:

$$\text{ProcessingPower} = f \times c$$

که در آن  $f$  فرکانس ساعت و  $c$  تعداد هسته‌های فعل پردازنده است.

در بسیاری از الگوریتم‌های مدیریت دمای پردازنده، از تنظیم در فرکانس ساعت و تغییر در تعداد هسته‌های فعل در پردازنده استفاده می‌شود. بنابراین، میزان تغییر در کارایی برنامه را پس از اعمال تغییرات نسبت به حالت کنونی را می‌توان از تقسیم تخمین توان پردازشی کنونی بر تخمین توان پردازشی جدید محاسبه کرد که خواهیم داشت:

$$\text{Speedup} = \frac{f_{\text{new}} \times c_{\text{new}}}{f_{\text{cur}} \times c_{\text{cur}}} \quad (5)$$

که در آن  $f_{\text{cur}}$  و  $c_{\text{cur}}$  به ترتیب فرکانس فعلی و تعداد هسته‌های فعل پردازنده است. همچنین،  $f_{\text{new}}$  و  $c_{\text{new}}$  به ترتیب فرکانس آینده و تعداد هسته‌های فعل آینده پردازنده است.

بدون شک، هر چه مقدار Speedup در فرمول (۵) بزرگ‌تر باشد، افزایش سرعت بیشتری در اثر تغییر در فرکانس ساعت و تعداد هسته‌های فعل پردازنده حاصل خواهد شد. بنابراین، افزایش مقدار Speedup می‌تواند از اهداف الگوریتم مدیریت دما باشد.

#### ۴-۳- الگوریتم مدیریت دما

ما در الگوریتم پویای دمای پیشنهادی، به نحوی تعداد هسته‌های فعل و فرکانس ساعت پردازنده‌ی چندهسته‌ای را تعیین می‌کنیم که ضمن تضمین عدم تخطی دما از میزان آستانه، حداقل آسیب کارایی به برنامه وارد شود. در شکل ۴، الگوریتم مدیریت دمای پیشنهادی نمایش داده شده است. الگوریتم پیشنهادی ما شامل دو بخش مقداردهی اولیه و اجرای متوالی است. در بخش مقداردهی اولیه که در خطوط یک تا پنج در شکل ۴ مشاهده می‌شود، مجموعه‌ی فرکانس‌های ساعت و تعداد هسته‌های پردازنده در متغیرهای ذخیره شده و نیز تعداد هسته‌های فعل برابر با تمام هسته‌ها و فرکانس ساعت برابر با حداقل فرکانس ممکن مقداردهی می‌شوند. همچنین، محدودیت دمایی کاربر به آستانه‌ی دمایی اینم تبدیل می‌شود. آستانه دمایی اینم، عدم تخطی از محدودیت دمایی کاربر را تضمین می‌کند و همواره مقداری کمتر یا مساوی آن است. برای بدست آوردن مقدار آستانه دمایی اینم، می‌توان ابتدا در الگوریتم مدیریت دمای پیشنهادی مقدار آستانه را برابر با محدودیت دمایی کاربر فرض کرد. سپس، با اجرای برنامه‌های محک مختلف مقدار حداقل دمای اندازه‌گیری شده برای هر آستانه را می‌توان به عنوان محدودیت دمایی قابل تضمین با آن آستانه محسوب کرد. به عنوان مثال، ممکن است نیاز باشد برای تضمین عدم تخطی از محدودیت دمایی ۶۰ درجه، میزان آستانه دمایی اینم را برابر با ۴۸ درجه در نظر گرفت.

در بخش دوم که خطوط شش تا ۱۴ الگوریتم را شامل می‌شود، فرآیندی توصیف می‌شود که در طی مدت اجرای برنامه‌ی موازی در سیستم ادامه می‌یابد. در این فرآیند، ابتدا (خط ششم) تنظیمات جدید فرکانس و تعداد هسته‌های فعل پردازنده با محاسباتی تعیین می‌شود که در آن بیشینه‌ی کارایی با شرط عدم تجاوز از آستانه اینم دما حاصل می‌آید. برای انجام چنین محاسباتی از بین تمامی ترکیبات تعداد هسته‌ها و فرکانس پردازنده که در آن‌ها دمای پردازنده با استفاده از

جدول ۱- آستانه دمایی ایمن برای محدودیت کاربر

آستانه دمایی ایمن	محدودیت دمایی کاربر
۲۵	۴۰
۳۸	۴۵
۴۰	۵۰
۴۱	۵۵
۴۷	۶۰
۵۰	۶۵
۵۵	۷۰

نمودارهای ارائه شده در شکل ۶، نتایج حاصل از این آزمایشات را به صورت خلاصه بیان کرده است. در هر یک از این نمودارها، محور افقی زمان اجرای برنامه محک بر حسب ثانیه و محور عمودی دمای پردازندۀ بر حسب درجه سانتیگراد است. براساس این نتایج، در تمامی موارد زمان اجرای برنامه محک تحت مدیریت الگوریتم پیشنهادی بسیار کمتر از زمان اجرا تحت مدیریت الگوریتم آگاه از همسایگی است. همچنین، الگوریتم پیشنهادی تمامی محدودیت‌های دمایی را رعایت کرده و هرگز اجازه نمی‌دهد که دمای پردازندۀ از محدودیت تعیین شده فراتر رود. این در حالی است که الگوریتم آگاه از همسایگی به طور میانگین در ۲۹ درصد از زمان اجرا از محدودیت دمایی تعیین شده تخطی کرده و نوسانات شدیدی در دمای پردازندۀ ایجاد می‌کند.

شکل ۷، میانگین زمان اجرای برنامه‌های محک مختلف در محدودیت‌های دمایی ۴۰، ۵۰، ۶۰ و ۷۰ درجه را نمایش می‌دهد. در این شکل، ستون مربوط به میانگین زمان اجرا در الگوریتم پیشنهادی با W1 و W2، و برای الگوریتم آگاه از همسایگی با حرف N نمایش داده شده است. همچنین، از حرف P برای نمایش زمان اجرا توسط زمانبند performance استفاده شده است. در هر ستون، ارتفاع آبی رنگ مدت زمانی است که دما در محدوده‌ای کمتر از محدودیت تعیین قرار داشته است. همچنین، میانگین زمان تخطی از محدودیت دمایی با رنگ نارنجی نمایش داده شده است.

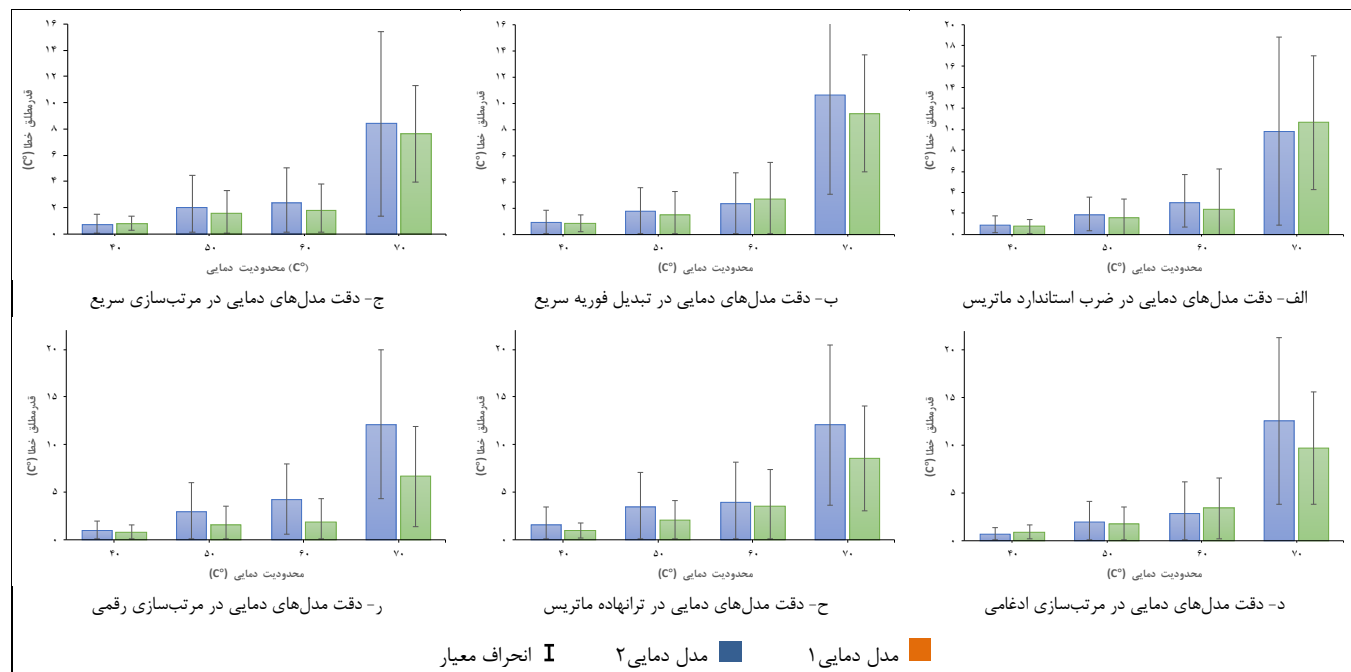
می‌دهد. در نمودارهای ارائه شده در شکل ۵، محور افقی محدودیت‌های دمایی مختلف و محور عمودی میزان خطای مطلق مطلع پیش‌بینی دمای پردازندۀ بر حسب درجه سانتیگراد است. همان‌طور که در این شکل مشاهده می‌شود، برای بیشتر برنامه‌های محک، مدل دمایی فرمول (۳) از نظر میزان قدر مطلق خطای پیش‌بینی، عملکرد بهتری نسبت به مدل دمایی فرمول (۲) دارد. به طور میانگین، مدل دمایی فرمول (۳) از نظر زمان اجرا به میزان ۴۴ درصد و از نظر میانگین خطای پیش‌بینی ۱۶ درصد عملکرد بهتری نسبت به مدل دمایی فرمول (۲) دارد. این نتایج نشان می‌دهد که افزایش دقت مدل به میزان قابل توجهی در کارایی برنامه و عملکرد الگوریتم مدیریت دمایی موثر است. بنابراین، ما مدل پیش‌بینی دمای فرمول (۳) را برای استفاده در سیاست پیشنهادی مدیریت دمای خود انتخاب کردیم.

#### ۴- آستانه دمایی ایمن

همان‌طور که در بخش ۳-۳ بیان شد، در ابتدای اجرای الگوریتم پیشنهادی مدیریت دما نیاز است تا محدودیت دمایی درخواستی کاربر به آستانه دمایی ایمن تبدیل شود. برای این منظور، ما آستانه‌های دمایی ایمن را با اجرای برنامه‌های محک بر روی بستر آزمایش و براساس توضیحات بخش ۳-۳ محاسبه کردیم. جدول ۱، مقادیر آستانه محاسبه شده را برای تعدادی از محدودیت‌های دمایی کاربر پیشنهادی می‌شود. همان‌طور که در این جدول مشاهده می‌شود، همواره آستانه دمایی ایمن برای هر محدودیت، مقداری کمتر از آن است.

#### ۴- ارزیابی روش پیشنهادی

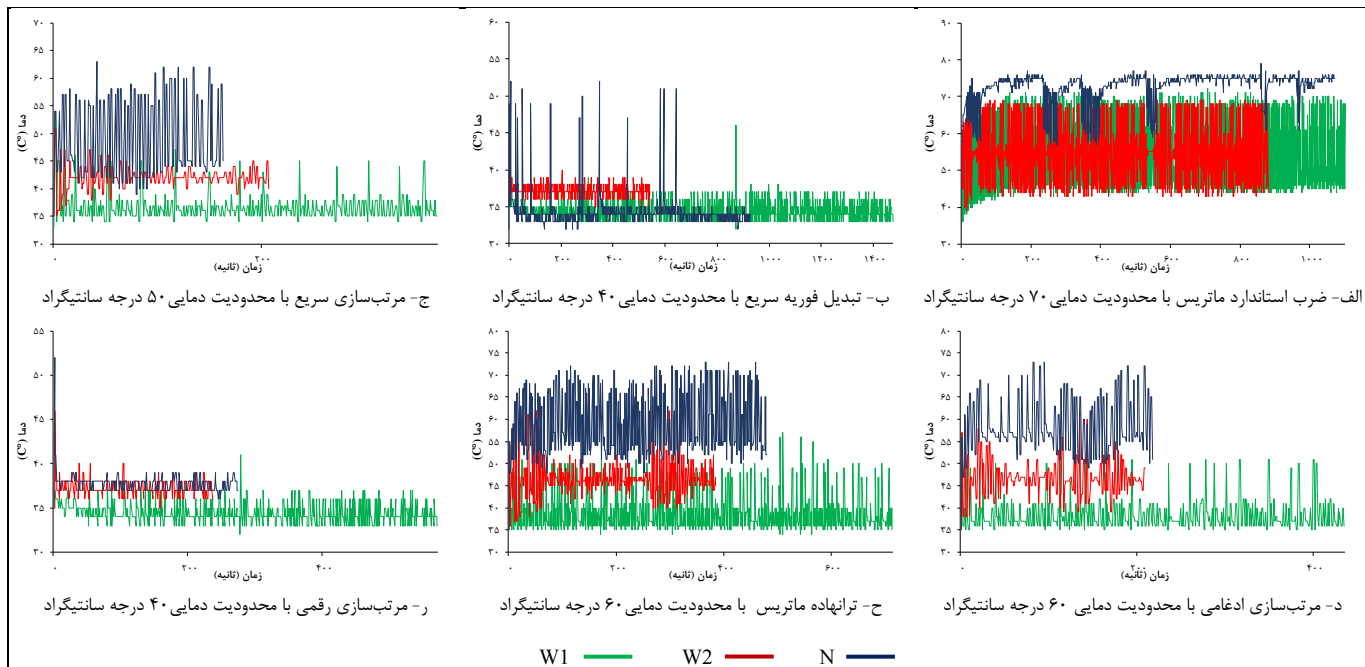
برای ارزیابی الگوریتم پیشنهادی، ما الگوریتم مدیریت پویای دمای آگاه از همسایگی [۴] را پیاده‌سازی کردیم. سپس، در اجرای آزمایشات دمای پردازندۀ را به صورت لحظه‌ای نمونه‌گیری کرده و مدت زمان اجرای برنامه‌های محک ثبت نمودیم. محدودیت‌های دمایی در نظر گرفته شده در آزمایشات شامل ۴۰، ۵۰، ۶۰، ۷۰ درجه سانتیگراد بودند.



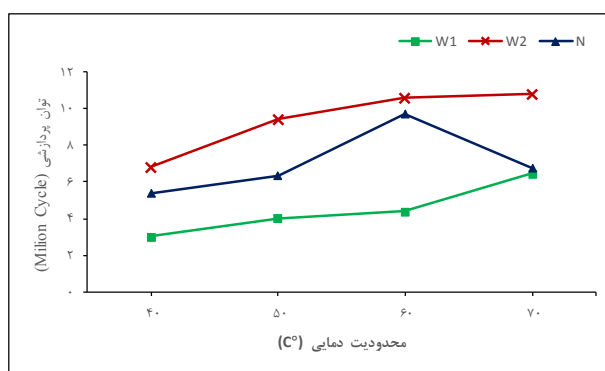
شکل ۵- دقت مدل‌های دمایی در برنامه‌های محک مختلف. محور افقی آستانه‌های ایمن دمایی مختلف و محور عمودی قدر مطلق خطای پیش‌بینی دما

همچنین، ما مشاهده کردیم که همواره میانگین توان پردازشی در الگوریتم پیشنهادی نسبت به الگوریتم آگاه از همسایگی بیشتر بوده ولی این توان بیشتر با ترکیب تعداد هسته‌های فعال بیشتر و فرکانس پایین‌تر حاصل آمده است. شکل ۸، میانگین توان پردازشی پردازنده را برای الگوریتم پیشنهادی و الگوریتم آگاه از همسایگی در اجرای برنامه‌های محک نمایش داده است. با توجه به این شکل، هر چه سطح محدودیت دما بیشتر باشد، الگوریتم‌های مدیریت دما ناگزیر به اعمال سطح پایین‌تری از توان پردازشی هستند که منجر به افزایش زمان اجرای برنامه‌های موازی خواهد شد.

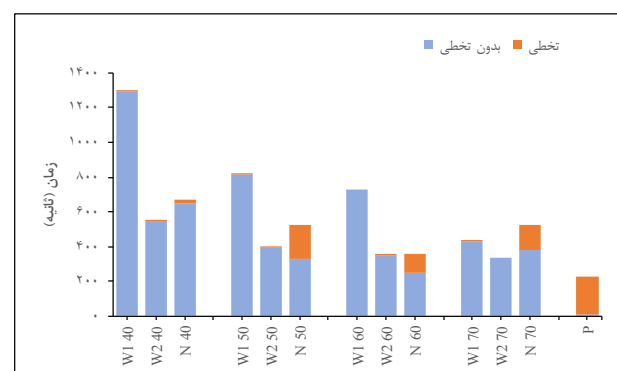
بر این اساس، مشاهده می‌گردد که توسط الگوریتم آگاه از همسایگی در محدودیت‌های دمایی مختلف به طور میانگین برای ۱۵ درصد از زمان اجرا، دمای پردازنده از محدودیت تعیین شده تخطی کرده است. این در حالی است که الگوریتم پیشنهادی تقریباً در تمامی موارد توانسته است دمای پردازنده را کاملاً زیر محدودیت تعیین شده مدیریت کند و به طور میانگین ۲۸ درصد نسبت به روش آگاه از همسایگی و ۴۶ درصد نسبت به روش پایه با مدل دمایی یک، کارایی بهتری داشته باشد.



شکل ۶- مقایسه عملکرد روش‌ها در برنامه‌های محک افقی زمان برخسب ثانیه و محور عمودی دمای لحظه‌ای برحسب درجه سانتیگراد



شکل ۷- میانگین زمان اجرای برنامه‌های محک تحت محدودیت‌های دمایی ۴۰، ۵۰، ۶۰ و ۷۰ درجه سانتیگراد



را پیش‌بینی می‌کنند. همچنین تاثیر افزایش دقت مدل دمایی را نیز مورد بررسی قرار دادیم و مشاهده کردیم که افزایش دقت مدل نه تنها زمان اجرای برنامه را کاهش می‌دهد بلکه بر عملکرد الگوریتم مدیریت دما نیز موثر بوده و خطای پیش‌بینی دما را نیز کاهش می‌دهد. آزمایشات بر روی سیستم واقعی نشان داد که الگوریتم پیشنهادی ما عملکرد بسیار بهتری از الگوریتم آگاه از همسایگی دارد. بنابراین، ما الگوریتم پیشنهادی خود را راه حلی مناسب برای مدیریت دمای پردازنده‌ی چندنهضه‌ای در اجرای برنامه‌های موازی را پیش کار می‌دانیم.

## ۵- نتیجه‌گیری

در این پژوهش، ما یک الگوریتم مدیریت پویای دما را در سطح سیستم عامل پیشنهاد دادیم که دمای پردازنده‌ی چندنهضه‌ای را در اجرای برنامه‌های موازی پیاده‌سازی شده توسط زمانبند ریاضی کار مدیریت می‌کند. الگوریتم ما مبتنی بر دو مدل دمایی و کارایی پیشنهادی است که دمای پردازنده و تغییرات زمان اجرای

[13] G. Liu, M. Fan, G. Quan, and M. Qiu, "On-Line predictive thermal management under peak temperature constraints for practical multi-core platforms," In Journal of Low Power Electronics, vol. 8, no. 5, pp. 565-578, 2012.

[14] I. Yeo, C. C. Liu, and E. J. Kim, "Predictive dynamic thermal management for multicore systems," In Proceedings of the 45th annual Design Automation Conference, pp. 734-739, 2008.

[15] R. Cochran, and R. Sherie, "Thermal prediction and adaptive control through workload phase detection," ACM Transactions on Design Automation of Electronic Systems, vol. 18, no. 7, 2013.

[16] J. Yang, X. Zhou, M. Chrobak, Y. Zhang, and L. Jin, "Dynamic thermal management through task scheduling," IEEE International Symposium on Performance Analysis of Systems and software (ISPASS'08), pp. 191-201, 2008.

[17] A. Merkel, and F. Bellosa, "Task activity vectors: a new metric for temperature-aware scheduling," In SIGOPS Operating Systems Review, vol. 42, no. 4, pp. 1-12, 2008.

[18] O. Sarood, P. Miller, E. Totoni, and L.V. Kale, "Load Balancing for High Performance Computing Data Centers," IEEE Transactions on Computers, vol. 61, no. 12, pp. 1752-1764, 2012.

[19] O. Sarood, "Optimizing performance under thermal and power constraints for HPC data centers," Doctoral dissertation, University of Illinois at Urbana-Champaign, 2014.

[20] T. Lu, P. P. Pande, and B. Shirazi, "A Dynamic, Compiler Guided DVFS Mechanism to Achieve Energy-Efficiency in Multi-coreProcessors," Sustainable Computing: Informatics and Systems, vol. 12, pp. 1-9, 2016.

[21] R. A. Shafik, A. Das, S. Yang, G. Merrett, and B. M. Al-Hashimi, "Adaptive energy minimization of OpenMP parallel applications on many-core systems," In Proceedings of the 6th Workshop on Parallel Programming and Run-Time Management Techniques for Many-core Architectures, pp. 19-24, 2015.

[22] R. Cochran, C. Hankendi, and A. Coskun, "Identifying the optimal energy-efficient operating points of parallel workloads," In IEEE/ACM International Conference on Computer-Aided Design, pp. 608-615, 2011.

[23] D. D. Sensi, "Predicting Performance and Power Consumption of Parallel Applications," International Conference on Parallel, Distributed, and Network-Based Processing, pp. 200-207, 2016.

[24] J. Li, and J. F. Martinez, "Dynamic power-performance adaptation of parallel computation on chip multiprocessors," In The Twelfth International Symposium on High-Performance Computer Architecture, pp. 77-87, 2006.

[25] H. F. Sheikh, I. Ahmad, and D. Fan, "An Evolutionary Technique for Performance-Energy-Temperature Optimized

در آینده تصمیم داریم دقت مدل‌های دمایی و کارایی را بهبود بخشیم و اثر این بهبود را در عملکرد الگوریتم مدیریت دمای پیشنهادی ارزیابی کنیم. همچنین، قصد داریم تا ارزیابی‌های خود را بر روی پردازنده‌ها و برنامه‌های محک متعدد تری گسترش دهیم.

## مراجع

- [1] J. Kong, S. W. Chung, and K. Skadron, "Recent thermal management techniques for microprocessors," In Computing Surveys (CSUR), vol. 44, no. 3, pp.1-42, 2012.
- [2] J. Diaz, C. Munoz-Caro, and A. Nino, "A survey of parallel programming models and tools in the multi and many-core era," IEEE Transactions on parallel and distributed systems, vol. 23, no. 8, pp. 1369-1386, 2012.
- [3] S. Zhuravlev, J. C.Saez, Blagodurov, S. Fedorova, and M. Prieto, "Survey of energy-cognizant scheduling techniques," IEEE Transactions on Parallel and Distributed Systems, vol. 24, no. 7, pp. 1447-1464, 2013.
- [4] T. van Dijk, and C. Jaco, "Lace: non-blocking split deque for work-stealing," In European Conference on Parallel Processing, pp. 206-217, 2014.
- [5] A. Morrison, and Y. Afek, "Fence-free work stealing on bounded TSO processors," ACM SIGPLAN, vol. 49, no. 4, pp. 413-426, 2014.
- [6] J. Nakashim, S.Nakatani, and K. Taura, "Design and implementation of a customizable work stealing scheduler," In Proceedings of the 3rd International Workshop on Runtime and Operating Systems for Supercomputers, pp. 1-9, 2013.
- [7] M. Wimme, D. Cederma, J. L. Träff, and P. Tsigas, "Work-stealing with configurable scheduling strategies," In ACM SIGPLAN, vol. 48, no. 8, pp. 315-316, 2013.
- [8] A. Bhattacharjee, and M. Martonosi, "Thread criticality predictors for dynamic performance, power, and resource management in chip multiprocessors," In ACM SIGARCH Computer Architecture, vol. 37, no. 3, pp. 290-301, 2009.
- [9] D. Hendler, and N. Shavi, "Non-blocking steal-half work queues," In Proceedings of the twenty-first annual symposium on Principles of distributed computing, pp. 280-289, 2002.
- [10] U. Acar, A. Chargueraud, and M. Rainey, "Scheduling parallel programs by work stealing with private deques," In ACM SIGPLAN, vol. 48, no. 8, pp. 219-228, 2013.
- [11] D. Hendler, Y. Lev, M. Moir, and N. Shavit, "Adynamic-sized nonblocking work stealing deque," Technical report, Sun Microsystems, 2005.
- [12] S. Imam, and V. Sarkar, "Load balancing prioritized tasks via work-stealing," In Euro-Par'15, pp. 222-234, 2015.

**اطلاعات بررسی مقاله:**

تاریخ ارسال: ۱۳۹۵/۱۰/۲۷

تاریخ اصلاح: ۱۳۹۵/۱۱/۲۰

تاریخ قبول شدن: ۱۳۹۵/۱۱/۲۹

نویسنده مرتبه: دکتر حمید نوری، دانشکده مهندسی، دانشگاه فردوسی مشهد، مشهد، ایران.

"Scheduling of Parallel Tasks on Multi-Core Processors," IEEE Transactions on Parallel and Distributed Systems, vol. 27, no. 3, pp. 668-681, 2016.

[26] lm-sensors Linux hardware monitoring [Online]. Available: <http://www.lm-sensors.org>, Jan 2017.

[27] Linux cpufreq governors, Linux Kernel [Online]. Available: <https://www.kernel.org/doc/Documentation/cpufreq/governors.txt>. Jan 2017.

[28] Intel Cilk Plus [Online]. Available: <http://www.cilkplus.org>, Jan 2017.

حمید گوهرجو دانش آموخته رشته علوم کامپیوتر دانشگاه گلستان- گرگان در مقطع کارشناسی. در حال حاضر دانشجوی کارشناسی ارشد رشته مهندسی کامپیوتر - نرم افزار دانشگاه فردوسی مشهد و عضو آزمایشگاه معماری کامپیوتر پیشرفته دانشگاه فردوسی مشهد. علاوه‌مندی‌ها: برنامه‌نویسی موادی، زمانبندی، سیستم عامل و مدیریت دمای پردازندۀ.



آدرس پست‌الکترونیکی ایشان عبارت است از:

ha.goharjoo@mail.um.ac.ir

مرتضی مرادی در سال ۱۳۸۶ از دانشگاه بیرجند در مقطع کارشناسی رشته مهندسی کامپیوتر فارغ‌التحصیل شد. سپس، در سال ۱۳۹۱ موفق به اخذ مدرک کارشناسی ارشد از دانشگاه آزاد اسلامی واحد مشهد شد. او در حال حاضر دانشجوی دکتری مهندسی کامپیوتر - نرم افزار گرایش سیستم‌های نرم افزاری در دانشگاه فردوسی مشهد است. علاوه‌تحقیقاتی وی شامل طراحی الگوریتم‌های موادی، مدیریت حافظه‌های اشتراکی و توزیع شده، کنترل دما و توان مصرفی پردازندۀ و پرداختن به مستله زمانبندی اجرای وظایف است.



آدرس پست‌الکترونیکی ایشان عبارت است از:

morteza.moradi@mail.um.ac.ir

حمید نوری مقطع کارشناسی و کارشناسی ارشد خود را به ترتیب در سال ۱۳۷۵ و ۱۳۷۹ در رشته مهندسی کامپیوتر از دانشگاه صنعتی شریف و دانشگاه صنعتی امیرکبیر دریافت کرد. مقطع دکتری خود را در رشته مهندسی کامپیوتر در دانشگاه کیوشو در ژاپن گذرانده است. در سال‌های ۱۳۸۷ تا ۱۳۸۹ استادیار دانشکده مهندسی برق و کامپیوتر دانشگاه تهران بوده است. از سال ۱۳۸۹ تا به اکنون استادیار گروه مهندسی کامپیوتر در دانشگاه فردوسی مشهد و سرپرست آزمایشگاه معماری کامپیوتر پیشرفته می‌باشد. زمینه‌های تحقیقاتی ایشان شامل معماری کامپیوتر، پردازنده‌های چند هسته‌ای، پردازش موادی و سیستم‌های نهفته می‌باشد.



آدرس پست‌الکترونیکی ایشان عبارت است از:

hnoori@um.ac.ir

## یادگیری عمیق در خلاصه‌سازی چندسندی متون فارسی

سید ابوالقاسم میرروشنل

حمیدرضا احمدی‌فر

شیما محرابی

دانشکده فنی، دانشگاه گیلان، رشت، ایران

### چکیده

با پیشرفت علوم و تکنولوژی و در نتیجه افزایش حجم اطلاعات متنی قابل دسترس از طریق اینترنت، وجود سامانه‌های خلاصه‌ساز که چکیده‌ای از اطلاعات موردنظر را در کوتاه‌ترین زمان ممکن در دسترس کاربر قرار دهند، ضروری به نظر می‌رسد. خلاصه‌سازی خودکار متون از دیرباز مورد توجه پژوهشگران زبان‌های طبیعی قرار گرفته است. امروزه با بهبود توان پردازشی سیستم‌های موجود و ظهور ابزارهای محاسباتی نوین، تلاش برای افزایش کارایی سیستم‌های خلاصه‌ساز ادامه دارد. در این مقاله به معرفی یک سامانه‌ی خلاصه‌ساز استخراجی چندسندی متون فارسی می‌پردازیم. این سامانه برای امتیازدهی به جملات از نظر میزان اهمیت آنها در سند، از روشنی تحت عنوان یادگیری عمیق بهره می‌برد. یادگیری عمیق، روشنی برای آموزش ماشین برپایه شبکه‌های عصبی مصنوعی است. پیش از این، یادگیری عمیق در زمینه‌های پردازش صوت و تصویر و همچنین پردازش زبان‌های طبیعی مورد استفاده قرار گرفته است. نتایج خوب بدست آمده از این روش در مقایسه با دیگر روش‌های مرسوم، انگیزه‌ای در بکارگیری این روش در خلاصه‌سازی خودکار چندسندی متون فارسی گشت. در خلاصه‌ساز پیشنهادی با استفاده از یک شبکه‌ی Autoencoder عمیق، عمل امتیازدهی به جملات انجام می‌گیرد و میزان دقت خلاصه‌ساز در ارزیابی جمله‌ای قابل قبول به نظر می‌رسد.

**کلمات کلیدی:** پردازش زبان فارسی، خلاصه‌سازی خودکار چندسندی، یادگیری عمیق، شبکه‌های عصبی مصنوعی.

### ۱- مقدمه

استفاده از منابع بیشتر با سرعت بالاتر و در نتیجه دستیابی به اطلاعاتی غنی‌تر می‌شود. یک خلاصه خوب باید موضوعات گوناگون یک یا چند سند را بدون افروزگی دربرداشته باشد.

به شکل‌های مختلفی می‌توان خلاصه‌سازی را طبقه‌بندی کرد. یک روش طبقه‌بندی از نظر شکل و فرم سازماندهی متن خلاصه است. در این حالت متن خلاصه شده به یکی از روش‌های استخراجی<sup>۱</sup> و یا چکیده‌ای<sup>۲</sup> حاصل می‌گردد. در روش استخراجی، جملات مهم متن انتخاب شده و به همان شکل اصلی خود در متن خلاصه ظاهر می‌شوند. در خلاصه‌ی چکیده‌ای، خلاصه‌ی مفهومی از متن در خروجی خلاصه‌ساز تولید می‌شود. در واقع ممکن است، فرم جملات تغییر بابد. این روش مشابه روشی است که انسان برای خلاصه‌سازی متون بکار می‌گیرد [۱]. همچنین گونه‌ی دیگری از دسته‌بندی خلاصه، براساس تعداد اسناد شرکت داده شده در تولید خلاصه است. بر این اساس خلاصه‌سازی به دو دسته‌ی تکسندی و چندسندی تقسیم‌بندی می‌شود. در خلاصه‌سازی تکسندی، از یک سند برای ایجاد متن خلاصه استفاده می‌شود اما در خلاصه‌سازی چندسندی، ورودی سیستم چندین سند با موضوع کلی مشترک است که جنبه‌های مختلفی از آن موضوع را

در دنیای امروزی، با پیشرفت علوم و تکنولوژی، شاهد افزایش روزافزون حجم اطلاعات متنی قابل دسترس هستیم. بنابراین دستیابی به اطلاعات موردنظر در حجمی کمتر اما کاربردی و دارای جامعیت قابل قبول، بسیار مطلوب به نظر می‌رسد. خلاصه‌سازی متون<sup>۱</sup> توسط انسان با وجود داشتن مزایایی از قبیل صحت و جامعیت مستلزم صرف وقت و هزینه‌ی بالایی است. همچنین خلاصه‌سازی اسناد بزرگ به صورت دستی برای انسان کاری دشوار است. این در حالی است که متون موجود ببروی اینترنت فراوان است و اینترنت بیشترین اطلاعات موردنیاز افراد را فراهم می‌کند. لذا وجود یک سیستم خلاصه‌ساز کامپیوتری باعث صرفه‌جویی در زمان و هزینه‌ی مصرفی در تولید متن خلاصه خواهد شد، هرچند که ممکن است از لحاظ صحت و جامعیت با خلاصه‌ی تولید شده توسط انسان برابری نکند.

بطور کلی هدف از خلاصه‌سازی خودکار متن، فشرده‌سازی و کوتاه نمودن متن اصلی با حفظ محتوا و معنای کلی آن است. خلاصه‌سازی متون منجر به

برچسب‌گذاری اجزای کلام<sup>۷</sup>، برچسب‌گذاری نقش معنایی کلمات<sup>۸</sup> و تکه‌بندی گرامری جملات<sup>۹</sup> است [۱۳]. در [۱۴] از یادگیری عمیق در مدل‌سازی زبانی<sup>۱۰</sup> استفاده شده است. در این مقاله مشاهده شده است که میزان نرخ خطای کلمات و همچنین میزان حیرانی در انتخاب کلمه به نسبت روش‌های دیگر بهبود یافته است. در [۱۵] یک چهارچوب خلاصه‌سازی چندسندی با استفاده از یادگیری عمیق ارائه شده است که بردار ویژگی‌ها در آن شامل تعداد تکرار کلمات یک مجموعه لغات از پیش تعیین شده، در اسناد موردنظر برای خلاصه‌سازی است. بنابراین رودی شبکه، برداری از ویژگی‌ها و خروجی آن مجموعه‌ای از جملات خواهد بود. برای ایجاد خلاصه ساز از یک RBM<sup>۱۱</sup> استفاده می‌شود. ابتدا شبکه سعی در حذف کلمات غیرضروری دارد، سپس کلمات مهم از بین کلمات باقی‌مانده تعیین می‌شوند. جملاتی که حاوی کلمات مهم هستند، استخراج شده و در نهایت با استفاده از برنامه‌نویسی پویا و با در نظر گرفتن محدودیت حجم از پیش تعریف شده متن خلاصه، از بین جملات مهم، جملات مناسب برای شکل‌گیری خلاصه انتخاب می‌گردد.

با توجه به دستاوردهای بدست آمده از یادگیری عمیق در پردازش زبان‌های طبیعی برآن شدیم که از توانایی‌های این روش یادگیری در خلاصه‌سازی خودکار متون فارسی بهره ببریم. در این پژوهش به معروفی یک سیستم خلاصه‌سازی استخراجی چندسندی برای متون فارسی می‌پردازیم که در آن عمل انتخاب جملات مهم براساس امتیازاتی است که به هر جمله توسط شبکه عمیق اختصاص داده شده است. شبکه‌ی عمیق پیشنهادی، یک شبکه‌ی ۹ لایه است که در لایه‌ی ورودی ویژگی‌های هر جمله شامل TF/IDF، میزان تشابه با عنوان سند، مکان رخداد جمله و امتیاز مربوط به برچسب اجزای کلام جمله به شبکه داده می‌شود. در نهایت طی آموزش لایه‌ی شبکه به هر جمله یک امتیاز اختصاص داده می‌شود. سپس جملات براساس امتیازشان مرتب شده و جملات با بالاترین امتیاز برای تشکیل متن خلاصه انتخاب می‌شوند. ساختار این مقاله بدین شرح است: در بخش دوم به معروفی یادگیری عمیق پرداخته می‌شود و در بخش سوم روش پیشنهادی برای خلاصه‌سازی چندسندی متون فارسی ارائه خواهد شد. بخش چهارم ارزیابی روش پیشنهادی را شامل می‌شود و در پایان نیز نتیجه‌گیری ذکر شده است.

## ۲- معرفی یادگیری عمیق

مکانیزم پردازش اطلاعات توسط انسان نظیر بینایی و شنوایی، به نوعی بازگوکننده‌ی نیاز به معماری عمیق برای استخراج ساختارهای پیچیده‌ی داده‌های ورودی است. به عنوان مثال سیستم بینایی انسان ذاتاً از یک ساختار سلسله مراتبی برای درک تصاویر بهره می‌برد و به عنوان ورودی رنگ، اندازه، جهت و عواملی از این دست را مدنظر قرار می‌دهد. مفهوم یادگیری عمیق نشأت گرفته از پژوهش‌های حوزه‌ی شبکه‌های عصبی مصنوعی است. شبکه‌های پیش‌خور<sup>۱۲</sup> و یا پرسپترون چند لایه با تعداد لایه‌های مخفی زیاد، نمونه‌های خوبی از مدل‌هایی با عماری عمیق هستند. الگوریتم Back-Propagation که در دهه‌ی ۱۹۸۰ به محبوبیت رسید، یک الگوریتم معروف در یادگیری پارامترهای این شبکه محسوب می‌شود.

آموزش شبکه‌های عمیق دشوار است، روش‌هایی که بطور مؤثر و بهینه بر روی شبکه‌های کم عمق اعمال می‌شود، در شبکه‌های عمیق چندان کارآمد نیستند. این مشکل با معروفی روشی تحت عنوان پیش‌آموزش لایه‌ای بدون ناظر<sup>۱۳</sup>، در شبکه‌های عمیق مرتفع گشت. بطور دقیق‌تر، در یک ساختار یادگیری عمیق، هر لایه بطور مجزا در نظر گرفته می‌شود. در این روش به محض اینکه لایه‌های قبلی آموزش داده شدند، لایه‌ی بعدی با استفاده از داده‌های حاصل از لایه‌ی قبلی آموزش می‌بیند. سپس بروی کل شبکه یک مرحله تنظیم کلی یا fine-tuning انجام

### تحت پوشش قرار می‌دهد

یکی از مهمترین چالش‌ها در امر خلاصه‌سازی متون، انتخاب بهترین جملات متن اصلی است به طوری که جنبه‌های مهم و کلیدی متن را شامل شده و در عین حال قادر افزونگی باشد. در نتیجه لازم است که متن اصلی پیش‌پردازش شود و ویژگی‌هایی که در انتخاب بهترین جملات تاثیرگذارند، استخراج شوند. مർحله‌ی پیش‌پردازش و استخراج ویژگی‌ها نقش بسزایی در حصول نتیجه‌ی مطلوب، ایفا می‌کند. در خلاصه‌سازی استخراجی جملات در قالب بردارهایی قرار می‌گیرند که هر بردار شامل ویژگی‌هایی است که اهمیت یک جمله را از جهات مختلف بیان می‌دارد. یک بردار ویژگی‌ی برداری <sup>۱۴</sup> عضوی است که هر عضو آن یک مقدار عددی دارد. تصمیم‌گیری در مورد میزان اهمیت یک جمله براساس این مقادیر صورت می‌گیرد.

یکی از معروف‌ترین سیستم‌های خلاصه‌سازی چندسندی، تحت عنوان MEAD شناخته می‌شود [۲]. Gistsumm نیز یک خلاصه‌ساز استخراجی است که از ۳ بخش تکه‌سازی متن، امتیازدهی به جملات و ایجاد خلاصه تشكیل شده است [۳]. قدیمی‌ترین کاری که در زبان فارسی برای یک سیستم خلاصه‌ساز صورت گرفته، یک خلاصه‌ساز استخراجی تکسندی بهنام FarsiSum است [۴]. این خلاصه‌ساز یک برنامه‌ی کاربردی تحت وب است و شکل‌گیری آن بر پایه‌ی یک پژوهش خلاصه‌سازی در زبان سوئدی است. در [۵] یک استخراج کننده متن فارسی تکسندی ارائه شده است که براساس زنجیره‌ی زبانی و روش‌های مبتنی بر گراف عمل می‌کند. در [۶] یک سیستم خلاصه‌ساز چندسندی- چندزبانی ایجاد و معرفی شده است که براساس<sup>۴</sup> SVR و دسته‌بندی چندسطحی عمل می‌کند. در [۷] یک خلاصه‌ساز براساس منطق فازی معرفی شده است. در این سیستم، ویژگی‌های یک متن نظیر طول جمله، میزان تشابه با عنوان و تشابه با کلمات کلیدی به عنوان ورودی سیستم فازی درنظر گرفته شده و عمل خلاصه‌سازی انجام می‌شود.

از سال ۲۰۰۶ حوزه‌ی جدیدی از تحقیقات یادگیری ماشین با نام یادگیری ساختاریافته عمیق و یا بطور مصلحه تر یادگیری عمیق<sup>۵</sup> پا به عرصه‌ی وجود نهاد [۸]. در طی چند سال اخیر تکنیک‌های حاصله از تحقیقات یادگیری عمیق، حجم وسیعی از پژوهش‌های مربوط به پردازش سیگنال و اطلاعات را تحت تأثیر خود قرار داده است. یادگیری عمیق عموماً از شبکه‌های عصبی مصنوعی بهره می‌برد. سطوح بالاتر در شبکه به واسطه‌ی اطلاعات حاصله از سطوح پایین‌تر تعریف می‌شوند. یادگیری عمیق را می‌توان تقاطعی میان حوزه‌های تحقیقاتی شامل هوش مصنوعی، شبکه‌های عصبی، تشخیص الگو و پردازش سیگنال دانست. ۳ عامل مهم در محبوبیت امروزی یادگیری عمیق، افزایش روزافزون توان پردازشی تراشه‌های محاسباتی، افزایش قابل توجه حجم اطلاعات مورد استفاده برای یادگیری و پیشرفت‌های اخیر در پژوهش‌های مرتبط با پردازش اطلاعات و سیگنال است [۹]. یکی از مقالات مهم در زمینه‌ی یادگیری عمیق در سال ۲۰۰۹ منتشر شد و در آن دلایل اهمیت این روش و مزایای آن بر شمرده شد. امکان یادگیری چندسطحی و توانایی استخراج ویژگی‌ها بطور مستقیم از داده‌های ورودی از نقاط قوت این روش محسوب می‌شود [۱۰]. در [۱۱] شبکه‌های عصبی عمیق را در زمینه‌ی پردازش صوت و گفتار مورد آزمایش قرار داده‌اند. ارزیابی‌های صورت گرفته در مقاله‌ی مذکور، نشان داده است که استفاده از شبکه‌های عصبی عمیق در پردازش گفتار نسبت به روش‌های مرسوم نظیر مدل مارکوف پنهان، با افزایش کارایی همراه است.

نتایج بدست آمده توسط یادگیری عمیق در حوزه‌های پردازش صوت و تصویر، پژوهشگران پردازش زبان‌های طبیعی را برآن داشت که از این روش یادگیری در مسائل مربوط به پردازش زبان نیز بهره ببرند. در سال ۲۰۱۱ یک معماری واحد و یکپارچه معرفی شد که قابل اعمال بر روی مسائل متنوعی در پردازش زبان است. مسائل قابل حل توسط این معماری شامل تشخیص موجودیت‌های نامدار<sup>۱۵</sup>

می‌گیرد [۹].

كلماتی نظیر «است»، «برای»، «شده» در مجموعه کلمات ایست قرار می‌گیرند.

### ۱-۳- تولید بردار ویژگی‌ها

در این پژوهش برای آموزش خلاصه‌ساز، <sup>۴</sup> ویژگی معرفی می‌شود. این <sup>۴</sup> ویژگی تشکیل یک بردار ویژگی را می‌دهند. هر جمله از متن دارای یک بردار ویژگی است. ویژگی‌ها شامل میزان تکرار کلمات، میزان تشابه کلمات با عنوان سند، موقعیت قرارگیری جمله در سند و امتیاز مربوط به برجسب‌گذاری اجزای کلام جمله است.

#### ۱-۱-۳- ویژگی میزان تکرار کلمات

برای اندازه‌گیری میزان تکرار کلمات از فراوانی وزنی TF/IDF بهره برده شده است. در این شیوه به کلمات یک وزن براساس فراوانی آنها در سند داده می‌شود. در واقع این سیستم وزن دهنده نشان می‌دهد که به چه میزان یک کلمه در یک سند مهم است. میزان تکرار کلمه در یک سند با  $TF(f,d)$  نشان داده می‌شود و وزن نهایی با استفاده  $IDF$  بدست می‌آید.  $IDF$  به معنای عکس فراوانی سند است که نشان دهنده میزان فراوانی کلمه موردنظر در اسناد دیگر است، در واقع به این سوال پاسخ می‌دهد که آیا کلمه موردنظر، در تمامی اسناد متداول است یا خیر. عکس فراوانی سند با لگاریتم گیری از نتیجه تقسیم تعداد کل اسناد بر تعداد اسنادی که کلمه موردنظر در آن‌ها ظاهر شده، بدست می‌آید. در نهایت با ضرب  $IDF$  میزان وزن اختصاص داده به کلمات براساس تکرار آنها بدست می‌آید. در رابطه (۱) روش محاسبه  $IDF$  و در رابطه (۲) نیز روش محاسبه میکار  $TF/IDF$  نشان داده شده است.

$$IDF(t,D) = \log\left(\frac{D}{d \in D : t \in d}\right) \quad (1)$$

در رابطه (۱)،  $D$  به کلیه اسناد موجود و  $t$  به کلمه موردنظر اشاره دارد. تعداد اسنادی که کلمه  $t$  در آن موجود است را نشان می‌دهد.

$$TF/IDF(t, d, D) : TF(t, d) \times IDF(t, D) \quad (2)$$

در رابطه (۲)، منظور از  $TF(t, d)$ ، تعداد دفعاتی است که کلمه  $t$  در سند  $d$  تکرار شده است. در روش پیشنهادی، میانگین مقادیر معیار  $TF/IDF$  کلمات یک جمله، بیانگر مقدار ویژگی میزان تکرار کلمات آن جمله خواهد بود، در واقع طول کلمات بر حسب تعداد کلمات آن در محاسبه مقدار ویژگی تکرار کلمات یک جمله در نظر گرفته می‌شود. روش محاسبه ویژگی میزان تکرار کلمات یک جمله در رابطه (۳) نشان داده شده است.

$$\text{Sentence TF/IDF Feature} : \frac{\sum_{i=1}^n TF/IDF(w_i, d, D)}{n} \quad (3)$$

در رابطه (۳)،  $w_i$  کلمه آم در جمله  $S$  و  $n$  تعداد کل کلمات موجود در جمله  $S$  را نشان می‌دهد.

#### ۱-۲-۳- ویژگی میزان تشابه کلمات با عنوان سند

نسبت تعداد کلمات مشترک در یک جمله از سند به تعداد کل کلمات عنوان را امتیاز جمله از نظر میزان تشابه آن با عنوان، در نظر می‌گیریم. البته میزان تشابه با

از مدل‌های مرسوم در یادگیری عمیق می‌توان به ماشین بولتزمن محدود شده Autoencoder اشاره کرد. ماشین بولتزمن محدود شده و یا به اختصار RBM مدلی برای نمایش یک توزیع احتمال است. به منظور آموزش RBM و با فراهم آوردن مجموعه داده‌های آموزشی، این مدل سعی در تنظیم پارامترهای خود دارد، به قسمی که توزیع احتمال را که شده توسط RBM به بهترین شکل ممکن در برگیرندهای داده‌های آموزشی باشد. با معرفی یک معماری چند لایه به نام شبکه‌های باور عمیق <sup>۱۰</sup> که متشکل از چندین RBM متصل به هم هستند، RBM‌ها بیش از پیش مورد توجه قرار گرفتند. ایده این معماری استخراج ویژگی‌های مرتبه با نورون‌های ورودی توسط نورون‌های مخفی است. سپس این پشت‌هزار RBM، شبکه قادر به یادگیری ویژگی‌های جدید از ویژگی‌های حاصله‌ی قبلی خواهد بود [۱۶].

نوع خاصی از شبکه‌های عصی عمیق تحت عنوان Autoencoder ها شناخته می‌شود که در آن‌ها بردار خروجی مشابه بردار ورودی است. این نوع شبکه اغلب برای یادگیری ویژگی‌ها با رمزگذاری مؤثر داده‌های ورودی بکار گرفته می‌شود. Autoencoder یک روش استخراج ویژگی به شکل غیرخطی و بدون استفاده از داده‌های برجسب‌دار است. یک Autoencoder دارای یک لایه ورودی است که نمایش دهنده داده‌های ورودی شبکه است (به عنوان مثال، پیکسل‌های یک تصویر). همچنین این مدل شامل یک یا چند لایه مخفی است که نشان دهنده ویژگی‌های تغییریافته هستند و دارای یک لایه خروجی مطابق لایه ورودی خود است. تعداد نورون‌های مخفی می‌تواند بیشتر و یا کمتر از تعداد نورون‌های ورودی باشد. یک Autoencoder با شبکه توسعه یکی از اشکال الگوریتم Stochastic gradient Back-Propagation می‌باشد و عموماً روش descent را مورد استفاده قرار می‌دهد [۱۷].

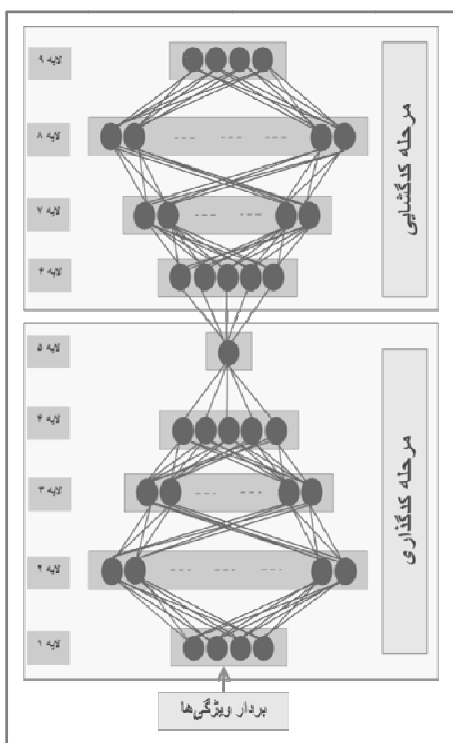
### ۳- روش پیشنهادی خلاصه‌سازی

یکی از مراحل پایه‌ای در امر خلاصه‌سازی متون، مرحله‌ی پیش‌پردازش متن ورودی است. اولین گام پیش‌پردازش متن، نرم‌افزاری آن است. نرم‌افزاری به عمل یک دست‌سازی واحدهای متئی به طوری که قابل پردازش توسط ماشین باشند، اطلاق می‌گردد. گاهی حروف به کار رفته در دو کلمه‌ی یکسان، با یکدیگر متفاوتند این در حالی است که از دید انسان آن دو کلمه یکسان محسوب می‌شوند. این مسئله باعث عدم شناسایی یکسان بودن دو کلمه توسط ماشین می‌شود. در نتیجه لازم است متن نرم‌افزاری شود تا یک شکل واحد برای کلمات یکسان بدست آید. به عنوان مثال «ها» را می‌توان به ۳ شکل، چسبان، جدا با فاصله و جدا با نیم‌فاصله بکار برد. در نتیجه ۳ شکل متفاوت از یک کلمه‌ی جمع بسته شده با «ها» تولید می‌شود. به منظور نرم‌افزاری متن می‌باشد که شکل قابل قبول تعیین قابل قبول در نظر گرفت و تمامی اشکال دیگر آن کلمه به شکل قابل قبول شوند. شده، تبدیل شوند.

در گام بعدی می‌باشد متن را به واحدهایی براساس کلمات و کلمات تقسیم‌بندی کنیم. در واقع باید مرز جملات و کلمات شناسایی شود. عالمی نظیر نقطه (اگر محصور به عدد نباشد) و «۱۰» را می‌توان به عنوان پایان یک جمله قلمداد کرد. همچنین عالمی نظیر خط‌فاصله، فضای خالی و ویرگول را می‌توان به عنوان مرز کلمات در نظر گرفت. در مرحله‌ی بعد، کلمات ریشه‌یابی شده و کلمات ایست <sup>۱۵</sup> حذف می‌گردند. کلمات ایست، کلماتی پر تکرار و بی‌اهمیت از لحاظ بارگذاری هستند که عدم حذف آن‌ها بواسطه تعداد تکرار بالایی که دارند، ممکن است سیستم را در شناسایی کلمات پراهمیت متن، دچار اشتباه کند.

است. در این پژوهش از یک شبکه‌ای Autoencoder که به انضمام لایه‌ی ورودی شامل ۹ لایه است، بهره برده‌ایم. در Autoencoder خروجی است و هدف بازسازی مقادیر گره‌های ورودی در لایه‌ی خروجی است. در نتیجه داده‌های ما بدون برچسب هستند. عملکرد این نوع شبکه به دو بخش کدگذاری و کدگشایی تقسیم‌بندی می‌شود. در مرحله‌ی کدگذاری، شبکه سعی در کدگذاری داده‌ها و تولید ویژگی‌های جدید از ویژگی‌های ورودی دارد، پس از آن و در مرحله‌ی کدگشایی، شبکه به بازسازی داده‌های ورودی از روی ویژگی‌های جدید تولید شده در پایان مرحله‌ی کدگذاری، می‌پردازد. شبکه‌های Autoencoder در آموزش‌های بدون ناظر یعنی زمانی که داده‌های آموزشی ورودی فاقد برچسب هدف هستند، کاربرد دارند.

تصمیم‌گیری در مورد تعداد لایه‌ها و گره‌های مخفی در شبکه عملی تجربی بوده و با آزمایشات مکرر می‌باشد در مورد بهترین حالت تصمیم‌گیری نمود. در شبکه‌ی پیشنهادی ما لایه‌ی ورودی و یا همان لایه اول شامل ۴ نورون است که به عنوان ورودی، بردار ویژگی ۴ عضوی استخراج شده‌ی مربوط به ویژگی‌های هر جمله به آن تزریق می‌شود. در لایه‌های دوم، سوم و چهارم به ترتیب ۱۰، ۱۵ و ۵ نورون داریم و لایه‌ی پنجم، جایی که مرحله‌ی کدگذاری به پایان می‌رسد، شبکه دارای یک نورون است که مقدار آن امتیازی است که شبکه به جمله‌ی ورودی می‌دهد. بعد از آن، مرحله‌ی بازسازی ورودی و یا کدگشایی آغاز می‌شود. بنابراین لایه‌های ششم، هفتم، هشتم و نهم به ترتیب شامل ۵، ۱۰، ۱۵ و ۴ نورون هستند. شکل ۱ شمایی از شبکه‌ی پیشنهادی را نشان می‌دهد.



شکل ۱- شبکه عمیق پیشنهادی

برای آموزش و آزمایش سیستم خلاصه‌ساز پیشنهادی از پیکره‌ی پاسخ [۲۰] استفاده شده است. پیکره‌ی «پاسخ» اولین پیکره‌ی متنی برای ارزیابی خلاصه‌سازی تک‌سنندی و چندسندی است که توسط آزمایشگاه فناوری وب دانشگاه فردوسی مشهد و با همکاری سازمان فناوری اطلاعات ایران تولید گردیده است. «پاسخ» یک پایگاه داده متشکل از حجم زیادی از اسناد خبری فارسی در موضوعات متنوع است. همچنین این پیکره در بردارنده‌ی خلاصه‌های تولید شده

عنوان بعد از انجام عملیات پیش‌پردازش جمله و عنوان، امتیازدهی می‌گردد. رابطه‌ی (۴) روش محاسبه‌ی ویژگی تشابه با عنوان را نشان می‌دهد. در این رابطه مقدار میزان اشتراک جمله مورد نظر بر تعداد کلمات عنوان نرمال می‌گردد، این عمل سبب می‌شود که درک مناسب‌تری از میزان تشابهات ایجاد گردد، چرا که اگر سند دارای یک عنوان طولانی باشد مطمئناً شمارش تعداد تشابهات به تنها بی محاسبه‌ی درستی از معیار نخواهد بود.

$$\text{TitleSimilarityFeature} : \frac{|S \cap T|}{|T|} \quad (4)$$

در رابطه‌ی (۴)،  $|S \cap T|$  نشان دهنده‌ی تعداد کلمات مشترک بین عنوان و جمله‌ی موردنظر است و  $|T|$  تعداد کلمات عنوان را نشان می‌دهد.

### ۳-۱-۳- ویژگی موقعیت جمله

در متون خبری فارسی عموماً جملات ابتدایی و انتهایی متن حاوی بار معنایی بیشتری نسبت به جملات میانی هستند. از آنجایی که متون مورد استفاده در سامانه‌ی پیشنهادی، متون خبری است لذا از این قاعده به عنوان یکی از معیارهای امتیازدهی به جملات سند بهره می‌بریم. در واقع اگر جمله‌ی موردنظر در ابتدای متن و یا در انتهای متن ظاهر شود، میزان اهمیت آن جمله نسبت به ماقبلي جملات بیشتر خواهد بود لذا به ویژگی موقعیت جمله‌ی مربوط به جملات ابتدایی و انتهایی سند مقدار عددی ۱ اختصاص داده می‌شود و ویژگی موقعیت جمله در سایر جملات به صفر مقداردهی شده است. هدف از این ویژگی بر جسته کردن میزان اهمیت جملات ابتدایی و انتهایی سند در فرآیند امتیازدهی کلی به یک جمله است.

### ۴-۱-۳- ویژگی برچسب اجزای کلام

برچسب‌زنی اجزای کلام به عمل دسته‌بندی کلمات یک متن براساس ماهیت آنها از نظر اجزای گرامری زبان است. بنابراین هر کلمه را می‌توان در یکی از دسته‌های فعل، اسم، صفت، قید و غیره قرار داد. اسمی، یکی از مهمترین کلمات جمله در انتقال بار معنایی آن محسوب می‌شوند. صفات نیز به عنوان یکی از اجزای کلام می‌تواند حاوی اطلاعات مفیدی از نظر معنای جمله باشد [۱۸، ۱۹]. در این پژوهش امتیاز مربوط به اجزای کلام، از مجموع تعداد اسمی و صفات بکاررفته در یک جمله، تقسیم بر تعداد کل کلمات آن جمله بدست می‌آید. رابطه‌ی (۵) نحوه محاسبه‌ی این ویژگی را نشان می‌دهد.

$$\text{POSScoreFeature} : (S_{|N|} + S_{|\text{Adj}|}) / |S| \quad (5)$$

در رابطه‌ی (۵)،  $S_{|N|}$  تعداد اسمی در جمله‌ی  $S$ ،  $S_{|\text{Adj}|}$  تعداد صفات در جمله‌ی  $S$  و  $|S|$  تعداد کل کلمات موجود در جمله‌ی  $S$  را نشان می‌دهد.

### ۲-۳- استفاده از یادگیری عمیق در امتیازدهی به جملات و تولید متن خلاصه

پس از مرحله‌ی پیش‌پردازش متن و تولید بردار ویژگی‌ها می‌باشد به جملات امتیازی مبنی بر میزان اهمیت آنها اختصاص داده شود. روش پیشنهادی ما برای امتیازدهی به جملات، استفاده از یادگیری عمیق و به کمک یک شبکه‌ی عصبی

شده است. بهطور کلی جملاتی که آغازگر آن‌ها یک ضمیر است به نوعی حاوی توضیحات در رابطه با جملات ماقبل خود هستند، در واقع این نوع جملات وابسته به جملات دیگر بوده و لحاظ کردن آن‌ها در متن خلاصه ممکن است میزان خوانایی آن متن را کاهش دهد. نسبتی از تاثیر مکان قرارگیری ضمیر در جمله تعداد ضمایر در جمله و تعداد کلمات آن جمله بیانگر مقدار ویژگی تاثیر ضمیر در جمله است. ویژگی دیگر تاثیر طول جمله است، جملات طولانی و همچنین جملات بسیار کوتاه، جملات مناسبی برای انتخاب در متن خلاصه نیستند لذا حد آستانه‌ای برای طول جملات در نظر گرفته می‌شود و جملات نسبت به آن حد آستانه‌ای امتیازدهی می‌شوند. در هر یک از حالات سعی شده بهترین مجموعه ممکن از ویژگی‌ها انتخاب شود. جدول ۱ در بردارنده ویژگی‌های انتخابی در هر یک از این حالات است.

جدول ۱- حالات مختلف از نظر تعداد ویژگی‌های استخراج شده

۷	۶	۵	۴	۳	تعداد ویژگی‌ها ویژگی‌ها
*	*	*	*	*	میزان تشابه با عنوان
*	*	*	*	*	مکان رخداد جمله
*	*	*	*	*	TF/IDF
*	*	*	*		برچسب اجزای کلام
*	*	*			تعداد کلمات ایست در جمله
*	*				وجود ضمیر در ابتدای جمله
*					تاثیر طول جمله

نتایج حاصل از مقایسه‌ی این ۵ حالت در شکل ۲ نشان داده شده است. همانطور که قابل مشاهده است، زمانی که شبکه از ۴ ویژگی برای ارزیابی میزان اهمیت جمله استفاده نموده، نتایج بهتری را نسبت به ۴ حالت دیگر کسب کرده است. می‌توان یکی از دلایل رخداد این امر را مسأله‌ی تنک<sup>۱۶</sup> بودن داده‌های آموزشی دانست. در واقع ممکن است افزایش و یا کاهش تعداد ویژگی‌ها و ترکیبات آن‌ها بهدلیل عدم گستردگی حالات به وجود آمده در سطح مجموعه داده‌های در دسترس باعث گردد، اطلاعاتی که در رابطه با میزان اهمیت یک جمله بدست می‌آید، قابل تعیین بر روی داده‌های آزمایشی نباشد. دلیل دیگر را می‌توان عدم هماهنگی معماری شبکه پیشنهادی با تغییر در تعداد ویژگی‌های مروری دانست. در واقع با توجه به مساله تنک بودن داده‌ها و معماری شبکه، سامانه‌ی پیشنهادی در حالتی که از ۴ ویژگی شامل میزان تکرار کلمات، میزان تشابه جملات با عنوان سند، موقعیت قرارگیری جمله در سند و امتیاز مربوط به برچسب‌گذاری اجزای کلام استفاده می‌کند، بهترین عملکرد را از خود نشان داده است.

جدول ۲ مقادیر معیارهای ارزیابی مربوط به مقایسه‌ی جمله‌ای در حالتی که شبکه از ۴ ویژگی استفاده کرده است را نشان می‌دهد. با توجه به ماهیت چندستدی خلاصه‌ساز پیشنهادی، ممکن است در اسناد مختلف یک مجموعه، جملاتی وجود داشته باشند که در عین حالی که حامل بار معنای مشابه‌ای هستند، اما از کلمات و شیوه‌ی نگارش متفاوتی بهره برده‌اند. در ارزیابی‌های صورت گرفته بر روی خروجی خلاصه‌ساز، به جملاتی برخور迪م که از نظر مفهومی مشابه جملاتی در خلاصه‌ی تولید شده توسط انسان بودند، اما از آنجایی که معیار ارزیابی ما جملات کاملاً یکسان بود لذا جملات با مفهوم مشترک را در ارزیابی شرکت ندادیم هرچند که با احتساب اینگونه جملات می‌توان دقت خلاصه‌ساز را بالاتر از مقادیر موجود در جدول ۲ در نظر گرفت. با توجه به جدول ۲ می‌توان اینگونه

توسط عوامل انسانی به آشکال تک‌ستدی، چندستدی، استخراجی و چکیده‌ای است. تیم تولیدکننده پیکره «پاسخ» برای ساخت متن خلاصه توسط عامل انسانی، از ۱۰ دانشجوی آموزش دیده، کمک گرفته است. به‌منظور جلوگیری از تاثیر سلایق و گرایشات شخصی در تولید خلاصه، عمل خلاصه‌سازی هر سند به ۵ نفر محول گشته است. پیکره «پاسخ» در بخش چندستدی دارای ۵ عنوان کلی خبری است که هر عنوان شامل ۲۰ سند است. در مجموع پیکره «پاسخ» در بخش چندستدی خواهی ۱۰۰۰ سند است که از این بین ۸۰۰ سند در مرحله آموزش و ۲۰۰ سند در مرحله آزمایش سامانه‌ی پیشنهادی مورد استفاده قرار گرفته است. به‌منظور آموزش شبکه از ۴۰ سند متنی خبری در ۴۰ دامنه‌ی موضوعی متفاوت موجود در پیکره «پاسخ»، بهره گرفته شده است. مجموعاً تعداد ۱۳۷۹۵ جمله برای آموزش شبکه پیش‌پردازش شد و بردار ویژگی‌های مختص به هر جمله استخراج گردید. پس از آموزش شبکه و تنظیم پارامترهای مربوط به آن، در فاز ایجاد متن خلاصه، از شبکه‌ی آموزش دیده شده برای امتیازدهی به جملات استفاده می‌شود. سپس جملات براساس امتیاز اختصاص داده به آن‌ها مرتباً شده و با توجه به نرخ فشرده‌سازی متن خلاصه که پیش‌فرض آن ۱۰ درصد است، جملاتی که بالاترین امتیاز را دارند برای تشکیل متن خلاصه انتخاب می‌شوند.

#### ۴- ارزیابی روش پیشنهادی

برای ارزیابی روش پیشنهادی، با توجه به مطالعات و جستجوهای انجام شده، سیستم خلاصه‌ساز چندستدی قابل دسترسی دیگری که از پیکره‌ی پاسخ برای آموزش و ارزیابی استفاده کرده باشد، یافت نشد. یکی از شروط لازم برای مقایسه‌ی دو سامانه‌ی خلاصه‌سازی خودکار، اشتراک در داده‌های آزمایشی است. به دلیل عدم دسترسی به سیستم خلاصه‌ساز چندستدی فارسی دیگری که بتوان داده‌های آزمایشی برگرفته از پیکره «پاسخ» و مشابه با سامانه‌ی پیشنهادی را به آن اعمال نمود لذا ارزیابی‌های انجام شده در این مقاله محدود به مقایسه‌ی خروجی سیستم خلاصه‌ساز پیشنهادی با خلاصه‌های انسانی موجود در پیکره‌ی پاسخ، می‌شود.

سامانه‌ی پیشنهادی برروی ۱۰ مجموعه سند موجود در پیکره «پاسخ» که هر یک دارای ۲۰ سند خبری است، مورد ارزیابی و آزمایش قرار گرفت. تعداد ۲۴۹۳ جمله‌ی آزمایشی برای تولید بردار ویژگی پردازش گشت و شبکه‌ی پیشنهادی برای امتیازدهی به این داده‌های آزمایشی، به کار گماشته شد و خلاصه‌های متضاظ با هر مجموعه سند تولید گشت.

یک روش ارزیابی استفاده شده در این مقاله، مقایسه‌ی جمله به جمله متن خروجی سامانه با خلاصه‌ی انسانی متضاظ با آن است، جملاتی که عیناً مشابه یکدیگرند در امتیازدهی به عملکرد سامانه‌ی خلاصه‌ساز شرکت داده می‌شوند. معیارهای ارزیابی Precision، Recall، F-Score برای متن خلاصه محاسبه شده است. به عنوان مثال، برای یک مجموعه ۲۰ سندی که شامل ۱۸۰ جمله است، یک خلاصه‌ی ۱۸ جمله‌ای توسط خلاصه‌ساز تولید شد، خلاصه‌ی انسانی متضاظ با این مجموعه سند شامل ۱۵ جمله است. تعداد جملاتی که عیناً در هردو خلاصه‌ی تولید شده توسط سیستم و خلاصه‌ی تولید شده توسط انسان، ظاهر شده ۷ جمله است.

همچنین سیستم خلاصه‌ساز پیشنهادی را در ۵ حالت مختلف از نظر تعداد و نوع ویژگی‌های استخراج شده برای هر جمله، مورد ارزیابی قرار دادیم. بدین‌منظور از ۳ ویژگی دیگر برای جملات استفاده شده است که این ۳ ویژگی شامل تعداد کلمات ایست در جمله، وجود ضمیر در ابتدای جمله و طول جمله است [۲۱]. معمولاً جملاتی که حاوی تعداد کلمات ایست بالایی هستند، کلمات پراهمیت کمتری را شامل می‌شوند. در نتیجه نسبت تعداد کلمات ایست در جمله به کل تعداد کلمات آن جمله به عنوان ویژگی تعداد کلمات ایست در جمله در نظر گرفته

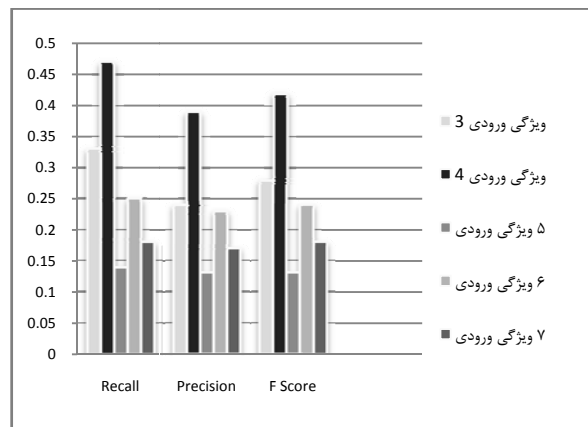
آموزشی استخراج شد. برای امتیازدهی به جملات براساس ویژگی‌های استخراج شده، از روشی تحت عنوان پادگیری عمیق استفاده کردیم. در این روش با استفاده از یک شبکه‌ی عصبی مصنوعی به نام Autoencoder و تزریق بردار ویژگی‌ها به عنوان ورودی به آن، به آموزش سیستم برای امتیازدهی به جملات پرداختیم. در فاز نهایی برای تولید متن خلاصه، جملات براساس امتیازهای بدست آمده، مرتب می‌شوند و جملاتی که بالاترین امتیاز را دارا هستند، تشکیل متن خلاصه را می‌دهند.

متن خلاصه‌ی تولید شده توسط سیستم پیشنهادی با خلاصه تولید شده توسط انسان مورد مقایسه و ارزیابی قرار گرفت. این ارزیابی به ۳ شکل، ارزیابی جمله‌ای، ارزیابی براساس مشابه و ارزیابی براساس bigram مشابه صورت گرفت. نتایج حاصل از این ارزیابی‌ها نشان از عملکرد خوب سامانه‌ی پیشنهادی داشته و توانایی آن را در تولید یک خلاصه‌ی قابل قبول با بهره‌گیری از تعداد محدودی ویژگی ورودی را بازگو نماید. در واقع یکی از مزایای استفاده از پادگیری عمیق در این سامانه، کاهش صرف وقت و هزینه در تولید و طراحی ویژگی‌ها و معیارهای اهمیت متن است، زیرا شبکه‌ی پیشنهادی به لطف استفاده از پادگیری عمیق قابلیت تولید ویژگی‌های جدید از ویژگی‌های محدود ورودی را دارد.

## مراجع

- [1] D. Das, and A. Martins, "A Survey on Automatic Text Summarization," Literature Survey for the Language and Statistics II Course at Carnegie Mellon University, 2007.
- [2] D. Radev, and T. Allison, "MEAD – A platform for multidocument multilingual text summarization," Proceedings of the 4<sup>th</sup> International Conference on Language Resources and Evaluation (LREC), pp. 699-702, 2004.
- [3] A. Thiago, and P. Salgueiro, "GistSumm: A Summarization Tool Based on a New Extractive Method," Proceedings of 6<sup>th</sup> International Conference on Computational, pp. 210-218, 2012.
- [4] M. Hassel, and N. Mazdak, "FarsiSum - A Persian text summarizer," Proceedings of the Workshop On Computational Approaches to Arabic Script-Based Languages, pp. 82-84, 2004.
- [5] ز. کریمی، و. م. شمس‌فرد، "خلاصه‌سازی متون فارسی،" در مجموعه مقالات بیانیات کنفرانس سالانه انجمن کامپیوتر ایران، ص ۱۲۹۴-۱۲۸۶، ۱۳۸۴.
- [6] M. A. Honarpisheh, Gh. Ghassem-Sani, and G. Mirroshandel, "A Multi-Document Multi-Lingual Automatic Summarization System," Proceedings of the Joint Conference on Natural Language Processing, pp. 733-738, 2008.
- [7] F. Kiyomarsi, and F. Rhimi Esfahani, "Optimizing Persian Text Summarization Based on Fuzzy Logic Approach," Proceedings of the International Conference on Intelligent Building and Management, pp. 264-269, 2011.
- [8] G. Hinton, O. Simon, and T. Yee-Whye, "A Fast Learning Algorithm for Deep Belief Nets," Neural Computation, vol. 18, pp. 1527-1554, 2006.

برداشت کرد که خروجی سامانه پیشنهادی، در قیاس جمله‌ای و در حالت میانگین نزدیک به ۵۰ درصد مشابه خلاصه‌ی انسانی موجود در پیکره است.



شکل ۲- ارزیابی خلاصه‌ساز با تعداد ویژگی‌های ورودی مختلف

جدول ۲- نتایج حاصل از ارزیابی جمله‌ای

	F Score	Precision	Recall	معیارهای ارزیابی
مقادیر بدست آمده از مقایسه‌ی جمله‌ای	۰.۴۲۴۳	۰.۳۸۸۹	۰.۴۶۶۷	

یک بسته‌ی نرم‌افزاری استاندارد برای ارزیابی سیستم‌های خلاصه‌سازی خودکار متون و ترجمه‌ی ماشینی تحت عنوان ROUGE موجود است. این نرم‌افزار به مقایسه‌ی خلاصه‌های تولید شده توسط سیستم‌های مختلف با یکدیگر و همچنین خلاصه‌های تولید شده توسط انسان می‌پردازد [۲۲]. در این پژوهش، توسط نرم‌افزار ROUGE خلاصه‌ی تولید شده توسط سیستم خلاصه‌ساز پیشنهادی را با خلاصه‌های انسانی موجود در پیکره پاسخ و براساس unigram و bigram مشابه مورد ارزیابی قرار دادیم. در واقع میزان کلمه‌ها و جفت کلمه‌های مشابه مابین خلاصه‌های تولید شده توسط سامانه و خلاصه‌های ایده‌آل مدنظر قرار می‌گیرند. لازم به ذکر است که این ارزیابی‌ها با حذف کلمات ایست و نادیده گرفتن آن‌ها انجام شده است. نتایج بدست آمده از این ارزیابی در جدول ۳ قابل مشاهده است.

جدول ۳- نتایج حاصل از ارزیابی توسط نرم‌افزار ROUGE

	F Score	Precision	Recall	معیارهای ارزیابی
مقایسه‌ی براساس مشابه unigram	۰.۴۸۲۷	۰.۳۷۲۶	۰.۶۸۵۰	
مقایسه‌ی براساس مشابه bigram	۰.۳۵۶۲	۰.۲۷۲۸	۰.۵۱۲۷	

## ۵- نتیجه‌گیری

در این مقاله طراحی یک سیستم خلاصه‌ساز استخراجی چندسندی متون فارسی، با بهره‌گیری از پیکره‌ی پاسخ تشریح گشت. ۴ ویژگی تاثیرگذار در تصمیم‌گیری در رابطه با میزان اهمیت یک جمله از متن، برای تمامی جملات موجود در پیکره

[22] Ch. Lin, "Rouge: A package for automatic evaluation of summaries," Proceedings of the ACL workshop on Text Summarization Branches Out, pp. 74-81, 2004.

شیما محربی فارغ‌التحصیل از موسسه آموزش عالی  
طریق‌ستان در مقاطع کارشناسی و دانشگاه گیلان در مقاطع  
کارشناسی ارشد در رشته مهندسی کامپیوتر گرایش  
نرم‌افزار، زمینه‌های تحقیقاتی مورد علاقه یادگیری ماشین،  
یادگیری عمیق، پردازش زبان‌های طبیعی، خلاصه‌سازی



خودکار متون هستند.

آدرس پست‌الکترونیکی ایشان عبارت است از:  
shima.mehrabi85@gmail.com

همیدرضا احمدی‌فر فارغ‌التحصیل از دانشگاه شهری  
بهشتی در مقاطع کارشناسی و دکتری و دانشگاه صنعتی  
امیرکبیر در مقاطع کارشناسی ارشد در رشته مهندسی  
کامپیوتر با گرایش معماری سیستم‌های کامپیوتری. از  
سال ۱۳۸۲ عضو هیات علمی گروه مهندسی کامپیوتر  
دانشگاه گیلان بوده و زمینه‌های مورد علاقه حساب کامپیوتری، سیستم‌های توزیع  
شده، رایانش ابری و بکارگیری شبکه‌های عصبی در حل مسائل مختلف هستند.



آدرس پست‌الکترونیکی ایشان عبارت است از:  
ahmadifar@guilan.ac.ir

سید ابوالقاسم میرрошندل فارغ‌التحصیل از دانشکده  
فنی دانشگاه تهران در مقاطع کارشناسی در رشته  
مهندسی کامپیوتر با گرایش نرم‌افزار و دانشگاه صنعتی  
شریف در مقاطع کارشناسی ارشد و دکتری در رشته  
مهندسی کامپیوتر گرایش هوش مصنوعی. از سال ۱۳۹۱  
عضو هیات علمی گروه مهندسی کامپیوتر دانشگاه گیلان بوده و زمینه‌های مورد  
علاقه ایشان پردازش زبان‌های طبیعی، داده‌کاوی، یادگیری ماشینی و پردازش  
تصویر هستند.



آدرس پست‌الکترونیکی ایشان عبارت است از:  
mirroshandel@guilan.ac.ir

#### اطلاعات بررسی مقاله:

تاریخ ارسال: ۱۳۹۵/۰۷/۱۱

تاریخ اصلاح: ۱۳۹۵/۱۰/۰۲

تاریخ قبول شدن: ۱۳۹۵/۱۰/۲۵

نویسنده مرتبه: دکتر همیدرضا احمدی‌فر، دانشکده فنی، دانشگاه گیلان،  
رشت، ایران.

[9] L. Arnold, S. Rebecchi, S. Chevallier, and H. Paugam-Moisy, "An Introduction to Deep Learning," Proceedings of the European Symposium on Artificial Neural Networks-Computational Intelligence and Machine Learning, pp. 477-488, 2011.

[10] Y. Bengio, "Learning Deep Architectures for AI," Foundations and Trends in Machine Learning, vol. 2, no. 1, pp. 1-127, 2009.

[11] G. Hinton, L. Deng, D. Yu, G. Dahl, and A. Mohamed, "Deep Neural Networks for Acoustic Modeling in Speech Recognition," IEEE Signal Processing Magazine, vol. 29, no. 6, pp. 82-97, 2012.

[12] R. Collobert, and J. Weston, "A Unified Architecture for Natural Language Processing: Deep Neural Networks with Multitask Learning," Proceedings of the International Conference on Machine Learning, pp. 160-167, 2008.

[13] R. Collobert, J. Weston, L. Bottou, M. Karlen, M. Kavukcuoglu, and P. Kuksa, "Natural Language Processing (almost) from Scratch," Journal of the Machine Learning Research, vol. 12, pp. 2493-2537, 2011.

[14] E. Arisoy, T. Sainath, B. Kingsbury, and B. Ramabhadran, "Deep Neural Network Language Models," Proceedings of the NAACL-HLT, pp. 20-28, 2012.

[15] Y. Liu, S. Zhong, and W. Li, "Query-Oriented Multi-Document Summarization via Unsupervised Deep Learning," Proceedings of the 26<sup>th</sup> AAAI Conference on Artificial Intelligence, pp. 1699-1705, 2012.

[16] A. Fischer, and Ch. Igel, "An Introduction to Restricted Boltzmann Machines," Proceedings of the 17<sup>th</sup> Iberoamerican Congress on Pattern Recognition, pp. 14-36, 2012.

[17] P. Vincent, H. Larochelle, I. Lajoie, Y. Bengio, and P. Manzagol, "Stacked Denoising Autoencoders: Learning Useful Representations in a Deep Network with a Local Denoising Criterion," Journal of the Machine Learning Research, vol. 11, no.11, pp. 3371-3408, 2010.

[18] N. Prabhakar, and N. Chandra, "Automatic Text Summarization Based on Pragmatic Analysis," International Journal of the Scientific and Research Publications, vol. 2, Issue 5, pp. 1-4, 2012.

[19] R. Mihalcea, and P. Tarau, "TextRank: Bringing Order into Texts," Proceedings of the Conference on Empirical Methods in Natural Language Processing, pp. 404-411, 2004.

[20] B. Behmadi Moghaddas, M. Kahani, S. A. Toosi, A. Pourmasoumi, and A. Estiri, "Pasokh: A standard corpus for the evaluation of Persian text summarizers," Proceedings of the Computer and Knowledge Engineering (ICCKE), pp. 471-475, 2013.

[۲۱] الف. پورمعصومی، م. کاهانی، الف. طوسی، الف. استیری، و. ه. قائمی "ایجاد یک سامانه‌ی عملیاتی برای خلاصه‌سازی تک‌سندی متون خبری فارسی،" دوفصلنامه‌ی پردازش علائم و دادها، شماره ۱، پیاپی ۲۱، ص ۴۸-۳۳، ۱۳۹۳.

<sup>1</sup>Text Summarization

<sup>2</sup>Extractive Summarization

<sup>3</sup>Abstractive Summarization

<sup>4</sup>Support Vector Regression

<sup>5</sup>Deep Learning

<sup>6</sup>Name Entity Recognition

<sup>7</sup>Part Of Speech Tagging

<sup>8</sup>Semantic Role Labeling

<sup>9</sup>Chunking

---

<sup>۱۰</sup>Language Modeling

<sup>۱۱</sup>Restricted Boltzmann Machine

<sup>۱۲</sup>Feed-Forward Neural Networks

<sup>۱۳</sup>Unsupervised Layer-Wise Pre-Training

<sup>۱۴</sup>Deep Belief Networks

<sup>۱۵</sup>Stop Words

<sup>۱۶</sup>Data Sparseness

## یک سیستم توصیه‌گر در بستر تجارت اجتماعی برای صنعت گردشگری: مبتنی بر شباهت، جوامع اجتماعی، اعتماد و شهرت

زینب زنگنه مدار

سید علیرضا هاشمی گلپایگانی

لیلا اسماعیلی

دانشکده مهندسی کامپیوتر و فناوری اطلاعات، دانشگاه صنعتی امیرکبیر، تهران، ایران

### چکیده

اینترنت و سرویس‌های مبتنی بر آن، به طور قابل توجهی کسب و کارهای مختلف از جمله صنعت گردشگری را تحت تاثیر قرار داده و تنوع بسیاری در سرویس‌ها و محصولات آن فراهم آورده‌اند. با افزایش چشمگیر تعداد انتخاب‌ها در بسته‌های سفر، هتل‌ها، جاذبه‌های گردشگری و غیره، پیدا کردن آن چه که گردشگر بدان نیاز دارد، بسیار دشوار شده است. به همین دلیل، سیستم‌های توصیه‌گر گردشگری مورد توجه محققان و کسب و کارها قرار گرفته‌اند. جاذبه‌های گردشگری، اغلب دلیل تمایل افراد به سفر و گردشگری هستند. این تحقیق، یک سیستم توصیه‌گر اجتماعی- ترکیبی را در بستر تجارت اجتماعی پیشنهاد می‌دهد که می‌تواند یک فهرست شخصی‌سازی شده از جاذبه‌های گردشگری برای هر گردشگر، مبتنی بر تشابه تمایلات و علاقه‌گری از فاکتورهای مختلف و لحاظ کردن فاکتور اعتماد در منابع توصیه مانند شناسایی رتبه‌هایی برخون هشت می‌باشد. نتایج حاصل از آزمایش‌ها برتری روش پیشنهاد شده جامعیت به کارگیری از فاکتورهای مختلف و لحاظ کردن فاکتور اعتماد در منابع توصیه مانند شناسایی رتبه‌هایی برخون هشت می‌باشد. نتایج حاصل از آزمایش‌ها برتری روش پیشنهادی نسبت به سایر روش‌های رایج را تایید می‌کند؛ مدل پیشنهادی، می‌تواند در توصیه سایر محصولات و سرویس‌ها در صنعت گردشگری و دیگر کسب و کارهای اجتماعی بکار گرفته شود.

**کلمات کلیدی:** تجارت اجتماعی، سیستم توصیه‌گر، اعتماد، شباهت، جوامع، شهرت، صنعت گردشگری، روابط اجتماعی.

سیستم‌های توصیه‌گر، به کاربران در یافتن گزینه‌های جذاب، مورد نیاز و مناسب از بین گزینه‌های بسیار کمک می‌کنند. هدف اصلی این سیستم‌ها برآورده تمایل کاربر و فراهم کردن پیش‌بینی از اطلاعات موجود است. سه رویکرد پالایش مشارکتی، پالایش مبتنی بر محتوى و ترکیبی از جمله مرسوم‌ترین روش‌های توصیه محسوب می‌شوند [۳].

از سوی دیگر، توسعه سریع رسانه‌های اجتماعی و وب، ۲۰۰۰، پتانسیل عظیمی را برای تبدیل تجارت الکترونیکی از یک محیط محصول محور به یک محیط اجتماعی و مشتری محور فراهم کرده است [۴]. در این محیط، دسترسی مشتریان به دانش و تجارب اجتماعی موجب فهم بهتر اهداف خرید برخط و تصمیم‌گیری دقیق‌تر و با آگاهی بیشتر می‌شود [۵] چرا که برای اغلب مردم، خرید، یک تجربه اجتماعی است و به همین دلیل پیش از خرید، علاقه‌مند به آگاهی از نظر دوستان و آشنایاشان هستند. همچنین Gretzel و Yoo [۶] عنوان کرده‌اند که سه چهارم از مسافران، بررسی‌های مصرف‌کنندگان برخط را به عنوان یک منبع اطلاعاتی

### ۱- مقدمه

صنعت گردشگری با داشتن حدود ۱۱٪ تولید ناخالص داخلی<sup>۱</sup> (GDP) جهانی و به کارگیری ۲۰۰ میلیون نفر و به خدمت گرفتن ۷۰۰ میلیون گردشگر در سراسر جهان، یکی از بزرگترین بخش‌های تولیدی در جهان محسوب می‌شود، که انتظار می‌رود در سال ۲۰۲۰، این آمار دو برابر شود [۱]. پیشرفت فناوری اطلاعات و ارتباطات، اینترنت و سرویس‌های مبتنی بر آن ضمن فراهم کردن امکان دسترسی کاربر به اطلاعات دقیق‌تر و بیشتر، تعداد انتخاب‌ها را به طور چشمگیری افزایش داده است؛ و این امر موجب دشواری یافتن آن چه مصرف‌کنندگان به آن نیاز دارند شده است. با توجه به پژوهش‌ها [۲]، از جمله دلایل عدم خرید برخط محصولات گردشگری توسط مشتریان، فقدان خدمات شخصی‌سازی شده، مسائل امنیتی، فقدان تجربه و وقت‌گیر بودن جستجوی آن می‌باشد.

ادامه مقاله به این صورت سازماندهی شده است. بخش ۲ به مرور ادبیات مرتبط با موضوع می‌پردازد. در بخش ۳ مدل توصیه‌گر اجتماعی- ترکیبی بحث می‌شود. مجموعه داده، تنظیمات و استراتژی توصیه در بخش ۴ توضیح داده می‌شود. بخش ۵ به بحث در خصوص نتایج حاصل از آزمایش‌ها و ارزیابی اختصاص یافته است. نتیجه‌گیری تحقیق و ارائه پیشنهادهایی برای تحقیقات آتی در بخش آخر آمده است.

## ۲- کارهای مرتبط

### ۱-۲- سیستم‌های توصیه‌گر جاذبه گردشگری

سیستم‌های توصیه‌گر، به کاربران در یافتن گزینه‌های جذاب، مورد نیاز و مناسب از بین گزینه‌های بسیار کمک می‌کنند. این سیستم‌ها برای حل مشکل سربار اطلاعاتی، به وجود آمده [۲۰] و موجب رشد فروش در تجارت الکترونیکی شده‌اند. هدف اصلی این سیستم‌ها برآورد تمایل کاربر و فراهم کردن فهرست اقلام پیش‌بینی شده از اطلاعات مناسب است [۳].

روش‌های توصیه‌گر مختلفی توسعه یافته‌اند که مرسوم‌ترین آن‌ها عبارتند از پالایش مبتنی بر محتوا، پالایش مشارکتی و روش‌های توصیه ترکیبی [۲۱]. ایده اصلی در روش اول، انتخاب و پیشنهاد قلم‌هایی است که به آنچه کاربر هدف در گذشته خریداری کرده است، شبیه باشد. الگوریتم مبتنی بر محتوا برای انتخاب چنین قلم‌هایی، شباهت بین قلم‌ها را با استفاده از تحلیل محتوای اطلاعات متنی آن‌ها اندازه‌گیری می‌کند؛ با اینحال، مشکل اصلی این روش زمانی است که اطلاعات کافی و مناسب جمع‌آوری و فراهم نشود، بنابراین سیستم توصیه‌گر با شکست مواجه می‌شود [۲۲]. پالایش مشارکتی یکی از موفق‌ترین الگوریتم‌های توصیه در دامنه‌های تجاری بوده است. این روش کاربران مشابه را شناسایی کرده (مثلاً براساس ماتریس رتبه‌دهی کاربر- قلم داده) و تمایلات آن‌ها را برای ساخت توصیه‌ها کند. شروع سرد و قلم داده جدید، دو مشکل اصلی این روش هستند. مطالعات بسیاری برای ترکیب موازی یا متواالی سیستم‌های پالایش مشارکتی و پالایش مبتنی بر محتوا به منظور بهبود سیستم‌های توصیه‌گر انجام شده است [۳].

اكتساب اطلاعات برای فراهم کردن توصیه‌های شخصی شده مناسب با تمایل کاربر به دو روش صریح و ضمنی انجام می‌شود [۳۱]. در روش ضمنی رفتار کاربر به منظور اطلاع از تمایلاتش جمع‌آوری می‌شود. زمانی که تعییری در رفتار شناسایی شود، داده مربوط به تمایل کاربر نیز به طور همزمان تغییر می‌کند [۳۲]. روش صریح، تعاملات و بازخوردهای کاربر را پالایش و تحلیل می‌کند تا بتوان ویژگی‌های کاربر و تمایلات را تعیین کرد [۳۳].

سیستم‌های توصیه‌گر جاذبه گردشگری مبتنی بر روش‌های پالایش مشارکتی [۲۳] و ترکیبی [۲۴] هستند. همچنین عمدتاً با استفاده همزمان از روش‌های ضمنی و صریح، تمایلات کاربر هدف را شناسایی می‌کنند [۲۴] [۲۶]. Huang and Bian [۲۶] از اطلاعات جمعیت‌شناسنامی استفاده کرده‌اند تا در روش پالایش مشارکتی، کاربران مشابه را شناسایی کنند. آنها با استفاده از شبکه‌های معنایی، عامل‌ها و ترکیب روش پالایش مشارکتی و پالایش مبتنی بر محتوا به توصیه‌های جاذبه‌های گردشگری پرداختند. معیارهای توصیه آنها نوع جاذبه، قیمت، موقعیت و زمان سفر است. AHP با شبکه‌های بیزین برای توصیه جاذبه‌های گردشگری استفاده کردند. روش PPIH معیارهای توصیه در این پژوهش نوع جاذبه، فاصله و قیمت است. در روش پیشنهادی Garcia-Cerspo et al. [۲۶] که مبتنی بر پالایش مشارکتی است، علايق، تمایلات کاربر و رتبه‌دهی وی به جاذبه‌های گردشگری به صورت صریح در

هنگام برنامه‌ریزی سفرهای خود در نظر می‌گیرند. از این رو، تجارت الکترونیکی با پذیرش قابلیت‌ها، عملکردها و مشخصه‌های وب ۲.۰ به منظور مشارکت مشتری و تشویق روابط مشتریان، با یک تحول جدید روبرو شده است که آن را تجارت اجتماعی می‌نامند [۷] [۸] و ارزش اقتصادی بیشتری را برای کسب و کارها دارد [۹].

با توجه به بستر فراهم شده در تجارت اجتماعی، یک رویکرد جدید در سیستم‌های توصیه‌گر مطرح می‌شود که کمتر مورد توجه قرار گرفته است و آن استفاده از روابط اجتماعی افراد به عنوان یک منبع اطلاعاتی اضافی می‌باشد. براساس اصل هوموفیلی [۱۰] در حوزه شبکه‌های اجتماعی، شباهت موجب ایجاد ارتباط می‌شود؛ به بیان دیگر، کاربران با افرادی که با آن‌ها در ارتباط هستند، صفات مشترکی دارند [۳۶] از سوی دیگر چگالی ارتباط کاربران در کل شبکه حاصل، یکسان نمی‌باشد؛ این تفاوت موجب تعریف ویژگی اجتماع در یک ساختار شبکه‌ای می‌شود. اجتماعات بخش‌های از شبکه هستند که دارای چگالی ارتباطی زیاد در داخل و چگالی ارتباطی کم با خارج از خود می‌باشند. گاهی جوامع می‌توانند برخی از ویژگی‌های افراد را بدون بررسی اطلاعات فردی هر کاربر آشکار سازند [۳۷]. اغلب سیستم‌های توصیه‌گر تجاري و گردشگری از اطلاعات جمعیت‌شناسنامی کاربران استفاده می‌کنند؛ حال آن که افراد به دلیل شباهت با سایر افرادی که در تعامل هستند، تحت تاثیر نظر دوستان، افراد خبره و افراد با علاقه مشترک قرار می‌گیرند و این امر می‌تواند توسعه یک سیستم توصیه‌گر اجتماعی مبتنی بر روابط افراد و جوامع اجتماعی را معقول و عملی کند.

دو دسته کلی برای وبسایت‌های تجارت اجتماعی وجود دارد: یک دسته مبتنی بر سایت‌های تجارت الکترونیکی است که ابزارها و مقاهیم وب www.amazon.com؛ گرفته تا یک سایت تجارت اجتماعی را توسعه دهد (مانند [۱۱] در دسته دیگر براساس یک پلتفرم وب ۲.۰ ساخته شده‌اند و ویژگی‌های تجارت الکترونیکی را نیز اضافه کرده‌اند (مانند www.facebook.com/Starbucks). در دسته اول، به قابلیت‌های اجتماعی مانند اشتراک‌گذاری مطالب، ارتباط کاربران با یکدیگر و ... کمتر پرداخته شده؛ در مقابل، دسته دوم قابلیت‌های خرید افروش را کمتر مورد توجه قرار داده است؛ به گونه‌ای که فاقد تاریخچه خرید کاربر و قیمت‌گذاری‌ها می‌باشند. از این رو، سیستم‌های توصیه‌گر، در وبسایت‌های تجارت اجتماعی تنها یک گروه از قابلیت‌ها فاکتورهای اجتماعی یا تاریخچه خرید کاربر را در نظر گرفته‌اند.

به منظور پرداختن به این مسائل، در این تحقیق یک وبسایت ارائه‌دهنده خدمات گردشگری که توانماً دارای قابلیت‌های شبکه اجتماعی و تجارت الکترونیکی می‌باشد در نظر گرفته شده است و یک روش توصیه اجتماعی- ترکیبی مبتنی بر شباهت، اعتماد، شهرت و جوامع اجتماعی جهت افزایش دقت و اعتماد در پیش‌بینی توصیه ارائه می‌شود. این توصیه‌گر به پیشنهاد جاذبه‌های گردشگری به کاربر جهت سفر می‌پردازد؛ بسیاری از محققان اظهار داشته‌اند که جاذبه‌های گردشگری، اغلب دلیل تمایل افراد به سفر و گردشگری هستند [۱۲] [۱۳]. فاکتورهای تعاملی و روابط انسانی (مانند اعتماد [۱۴] [۱۵]، شهرت [۱۶] [۱۷]) روابط اجتماعی [۱۸]، جوامع اجتماعی [۱۹] تاکنون در سیستم‌های توصیه‌گر گردشگری و به طور خاص توصیه جاذبه‌های گردشگری مورد استفاده قرار نگرفته است و در زمینه‌های کاربردی مختلف دیگر نیز به طور جداگانه به کار رفته‌اند و همزمان استفاده نشده‌اند.

روش پیشنهادی اجازه می‌دهد تا جاذبه‌های گردشگری مناسب و قابل اعتماد برای هر کاربر گردشگر با استفاده از هوش جمعی از شبکه اجتماعی کاربران شناسایی شود. مدل پیشنهادی می‌تواند به طور عملی علاوه بر بکار رفتن در وبسایت‌های اجتماعی گردشگری در سایر وبسایت‌ها و پلتفرم‌های تجارت اجتماعی نیز به کار رود.

مشترک برای همه این شبکه‌ها، ساختار انجمن یا جامعه است که به گروهی از گره‌ها با چگالی اتصال زیاد اشاره دارد. این گروه از گره‌ها دارای ارتباطات تنک و کم با سایر گروه‌ها هستند. کاوش جوامع با تمرکز بر کشف و توصیف چنین ساختارهای شبکه‌ای، در چند سال اخیر بسیار مورد توجه قرار گرفته است [۲۹]. روش‌ها و رویکردهای بسیاری برای کشف جوامع وجود دارد که می‌توان به روش‌های مبتنی بر مرکزیت، روش‌های بهمود پیمانه‌ای، روش‌های محلی، روش‌های بخش‌بندی طیفی و غیره اشاره کرد؛ [۳۰] مور کاملی بر این روش‌ها دراد.

افراد دارای ویژگی‌های مختلف هستند که به واسطه آن در طبقات توصیفی-کیفیتی بسیار متنوعی قرار می‌گیرند؛ و می‌توان برخی از ویژگی‌ها را در برخی از طبقات به صورت بارزتری دید. به عنوان مثال زنان عاطفی و افراد تحصیل کرده آزادمنش هستند. چنین ویژگی‌های ذاتی موجب نادیده گرفتن تنوع بسیار طبقات توصیفی در جوامع اجتماعی می‌شود. از این رو افراد به طور قابل توجهی با افرادی در ارتباط هستند که شبیه خودشان می‌باشند؛ در نتیجه برخی از صفات در بخش‌هایی از اجتماع محلی و متمرکز می‌شود. این اصل هوموفیلی نام دارد و به موجب آن ارتباط بین افراد مشابه، با نرخ بیشتری در مقایسه با افراد نامشابه شکل می‌گیرد [۱۰].

از اصل هوموفیلی و همچنین ساختارهای جوامع می‌توان چنین نتیجه گرفت: جوامع اجتماعی که دارای ارتباطات قوی گره‌ها در داخل و ارتباطات ضعیف با سایر جوامع هستند، متشکل از گره‌هایی می‌باشند که این گره‌ها شbahت‌های قابل قبولی با یکدیگر دارند. این مقاله با در نظر گرفتن چنین اصلی سعی در شناسایی جوامع به منظور ارائه مدل توصیه‌گر خود دارد.

### ۳- مدل سیستم توصیه‌گر ترکیبی- اجتماعی

در صنعت گردشگری، تصمیم گردشگران برای سفر تحت تاثیر جاذبه‌های گردشگری است. گردشگران برای انتخاب مقصد سفر، تمایل به سوال و دریافت پیشنهاد از دوستان نزدیک، افرادی که با آنها هم علاوه‌اند یا گردشگران حرفه‌ای دارند. گردشگران حرفه‌ای حداقل یک بار به مقصد مورد نظر رفته‌اند و تجارب سفر خود را می‌توانند از طریق ثبت نظر یا review به دیگران منتقل کنند. با این حال، دوستان نزدیک ممکن است تجربه کافی یا علاقه مشترک نداشته باشند. همچنین ممکن است توصیه‌های گردشگران حرفه‌ای که آشنا نیستند غیرقابل باور باشد. به هر حال زمانی که مقاصد سفر متنوع هستند، منابع مشورتی نیز متفاوت خواهند بود؛ و در نهایت با تجمعی نظر همه منابع گردشگر تصمیم می‌گیرد. بنابراین یک توصیه‌گر جاذبه گردشگری موثر بهتر است این موارد را بهطور مناسبی ترکیب کند. در این مطالعه، یک سیستم توصیه‌گر اجتماعی- ترکیبی برای جاذبه‌های گردشگری پیشنهاد شده است که به طور موثری از روابط افراد و نظرات گردشگران به جاذبه‌های گردشگری استفاده می‌کند تا یک فهرست توصیه شخصی‌سازی شده برای هر کاربر فعل مبنی بر اعتماد، شهرت و شbahت ایجاد نماید. کاربر فعل، کاربری است که سیستم توصیه‌گر فهرستی از جاذبه‌های گردشگری را به وی توصیه می‌کند.

معماری سیستم توصیه‌گر پیشنهادی در شکل ۱ آمده است. پنج مولفه برای تحلیل داده‌های موجود در بستر تجارت اجتماعی حوزه گردشگری توسعه یافته است. اهداف هر یک از مولفه‌های مدل در ادامه توضیح داده می‌شود:

- مولفه تعیین نوع کاربر فعل، براساس اطلاعات صریح و ضمنی متفاوتی که از کاربران و جاذبه‌های گردشگری در سیستم است (پیوست الف)، کاربر فعل را به یکی از انواع جدول ۱ تخصیص می‌دهد.

ابتدا دریافت می‌شود و بعد از آن سایر اطلاعات ضمنی می‌تواند از شبکه اجتماعی که کاربر عضو آن است و رفتار و یاستخراج شود. معیار توصیه در این تحقیق موقعیت، زمان، آب و هوا است. Marques و Yang [۲۳] ضمن کسب اطلاعات به روش ضمنی، روشی مبتنی بر پالایش مشارکتی جهت توصیه جاذبه‌های گردشگری پیشنهاد کردند.

در مقاله فعلی، ما مقدار داریم تا یک روش توصیه‌گر ترکیبی- اجتماعی را مبتنی بر تئوری گراف و با ترکیب روش‌های پالایش مشارکتی و مبتنی بر محتوا ارائه دهیم. این مدل ضمن اکتساب ضمنی و صریح اطلاعات با به کارگیری فاکتورهای اعتماد، شهرت، جوامع اجتماعی حاصل از روابط و شbahت کاربران با یکدیگر، اقلام مناسب (جادبه‌های گردشگری) را به کاربر توصیه می‌کند. این روش براساس معیارهایی متفاوت با روش‌های پیشین فهرست توصیه‌ها را ایجاد می‌کند. جزییات مدل در بخش ۳ آمده است.

### ۲-۲- اعتماد و شهرت در تجارت اجتماعی

جوامع برشط یکی از ویژگی‌های تجارت اجتماعی است که به کاربران اجازه می‌دهد تا به راحتی تمايلات شخصی خود را بیان کنند. همچنین افراد می‌توانند مشخص کنند به کدام کاربران اعتماد دارند یا به کدام محصول/ سرویس علاقه‌مند هستند. در بسیاری از معاملات برشط، خریدار از فروشنده جدید یا از کالای جدید فروشنده‌ای که قبلاً از آن خریدی داشته است، شناخت کافی ندارد. این مساله باعث می‌شود خرید کالا با ریسک همراه باشد. اگر عاملی وجود داشته باشد که تضمین کننده اعتبار فروشنده باشد، ریسک خرید از وی تا حد زیادی پایین می‌آید [۳۴]. اعتماد و شهرت از جمله عواملی هستند که می‌توان با استفاده از آن‌ها ریسک خرید را کاهش داد [۱۷]. ریسک کلی یک تراکنش، تابعی از متغیرهای اعتماد مانند هزینه تراکنش، تاریخچه تراکنش‌ها و جبران خسارت است [۲۸].

• اعتماد: یک کمیت ذهنی و تعیین‌کننده میزان انتظارات یک فرد از اعمال دیگران است که این کمیت بر نوع رفتار آن فرد در هنگام تعامل با دیگران تأثیرگذار است [۳۵].

• شهرت: یک کمیت عمومی و اجتماعی است که براساس نوع رفتار هر فرد در تعاملات قبلی خود با سایر افراد جامعه محاسبه می‌شود [۳۵]. بنابراین تفاوت اصلی بین سیستم‌های اعتماد و شهرت را می‌توان بدین صورت توضیح داد: سیستم‌های اعتماد امتیازی را تولید می‌کنند که بازتاب‌کننده دید شخصی هر فرد از میزان اطمینان به فرد دیگر است. در حالی که سیستم‌های شهرت، قابلیت اطمینان هر فرد را از دیدگاه کل اجتماع محاسبه می‌کند. علاوه بر این، ورودی سیستم‌های اعتماد تنها معیارهای ذهنی و کلی است، در حالی که اطلاعات موجود در مورد تراکنش‌ها (مانند رتبه‌ها و نظرات) ورودی سیستم‌های شهرت هستند [۲۷]. امروزه روش‌های متعددی برای محاسبه اعتماد و شهرت ارائه شده است که بعضی از آن‌ها در سیستم‌های تجارتی استفاده می‌شوند ولی بعضی هنوز در حد ایده‌های پیشنهادی هستند [۱۷].

در این تحقیق، ما اعتماد یک فرد در شبکه را ساخته شده یا فراهم شده از شهرت وی در نظر می‌گیریم.

### ۲-۳- جوامع اجتماعی

مجموعه داده‌های زیادی می‌توانند مبتنی بر ساختار شبکه توصیف شوند که در توصیف مبتنی بر تئوری گراف، گره‌ها بازنمای موجودیت‌ها (مانند افراد) و یال‌ها بازنمای روابط بین گره‌ها (مانند رابطه دوستی یا همکلاسی) می‌باشد. یک ویژگی

### جدول ۱- انواع کاربر فعال با توجه به ارتباطات و نظرات

نظر	ارتباط	کاربر دارای ارتباط است	کاربر دارای ارتباط نیست
B	A	کاربر نظر ثبت شده دارد	نوع
D	C	کاربر نظر ثبت شده ندارد	نوع

### ۲-۳- شناسایی کاربران مشابه با کاربر فعال

افراد با تمایل‌ها یا رفتارهای مشابه به اقلام یکسانی علاقمند هستند، حتی اگر هم‌دیگر را نشناسند [۳۸] [۳۹]. مبتنی بر فعالیت‌های کاربر در یک زمینه اجتماعی خاص، می‌توان کاربرانی که در یک سطح از شbahat هستند را شناسایی کرد. میزان علاقمندی گردشگر فعال برای یک جاذبه گردشگری را می‌توان بر اساس گروهی از گردشگران که تمایلات مشابه با وی دارند پیش‌بینی کرد. با توجه به نوع کاربر، کاربران مشابه با وی از دو روش شناسایی می‌شوند: ۱) مبتنی بر اصلی هوموفیلی و هم اجتماع بودن کاربران و ۲) مبتنی بر شابههای ویژگی‌های جمعیت‌شناختی کاربران.

اگر کاربر نوع A یا C باشد می‌توان زیرمجموعه‌ای از گراف روابط کاربران را که کاربر فعال بدان تعلق دارد را با استفاده از یکی از روش‌های شناسایی و کشف اجتماعات استخراج کرد (پ-۲، شکل ۱). افرادیکه در یک اجتماع هستند براساس اصل هوموفیلی دارای تمایلات و ویژگی‌های مشترک قابل قبولی می‌باشند. در رابطه ۱،  $UC_i$  مجموعه کاربران سیستم تجارت اجتماعی است؛ و  $U$  اجتماع یا گروهی است که کاربر A به آن تعلق دارد.  $UC_i$  مجموعه کاربران هم اجتماع با کاربر A را نشان می‌دهد، به طوری که هر کاربر Z که هم‌گروه با کاربر A باشد در این مجموعه قرار می‌گیرد.

$$UC_i = \left\{ UC_i \subseteq U, u_j \in UC_i \mid c_{u_j} = c_{u_i} \right\} \quad (1)$$

اگر کاربر فعال با دیگر کاربران رابطه نداشته باشد (نوع B و D)، در این صورت براساس اطلاعات جمعیت‌شناختی وی، گروهی از کاربران به عنوان کاربران مشابه با کاربر فعال مشخص می‌شوند (پ-۲-۲، شکل ۱). در رابطه ۲،  $F_{u_i}$  مجموعه ویژگی‌های جمعیت‌شناختی کاربر A را نشان می‌دهد که شامل n ویژگی مختلف است.  $UD_i$  مجموعه کاربرانی است که دارای ویژگی‌های مشترک جمعیت‌شناختی با کاربر A می‌باشند.

$$F_{u_i} = \{f_1, \dots, f_n\}$$

$$UD_i = \left\{ UD_i \subseteq U, u_j \in UD_i \mid \exists F_1 = F_{u_i} \cap F_{u_j}, |F_1| = m, m \leq n \right\} \quad (2)$$

بهطور کلی کاربر در یکی از چهار گروه A، B، C و D قرار می‌گیرد و براساس رابطه ۱ یا ۲ کاربران مشابه با وی مشخص می‌شوند. شرایطی وجود دارد که ممکن است اندازه (جمعیت) گروه کاربران مشابه با کاربر فعال برای تصمیم‌گیری و پیشنهاد کافی نباشد. در چنین شرایطی از حالت‌های جایگزین استفاده می‌شود. رابطه ۳ نحوه تعیین نهایی گروه کاربران مشابه با کاربر فعال (US) را در حالات مختلف نشان می‌دهد. براساس رابطه ۳، اگر تعداد کاربران مجموعه  $UC_i$  به سرحد موردنظر، W، برسد، این مجموعه به عنوان گروه نهایی کاربر فعال انتخاب می‌شود. در صورتی که تعداد کاربران مجموعه  $UC_i$  از سرحد مورد نظر کمتر باشد، از

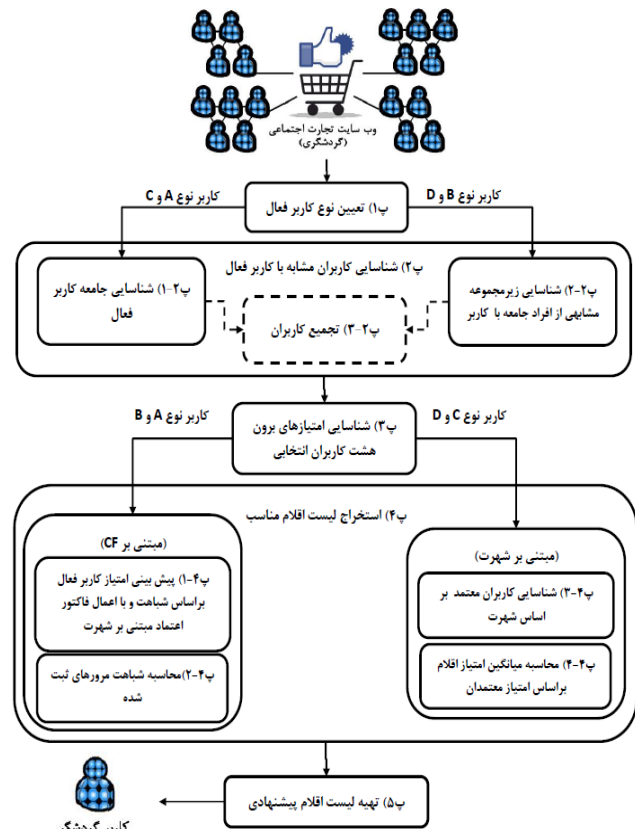
- مولفه شناسایی کاربران مشابه با کاربر فعال، زیرمجموعه‌ای از کاربران را براساس اجتماعی که وی در آن قرار دارد یا کاربرانی که شbahat جمعیت‌شناختی دارند استخراج می‌کند.

- مولفه شناسایی امتیازهای برون هشت، نظراتی که توسط کاربران با دانش کم یا کاربران جعلی برای جاذبه‌های گردشگری ثبت شده است را تعیین می‌کند.

- مولفه استخراج فهرست اقلام مناسب، رتبه هر جاذبه گردشگری را برای هر کاربر فعال با توجه به نوع وی محاسبه می‌کند.

- مولفه تهیه فهرست اقلام پیشنهادی، فهرست منتبخی از جاذبه‌های گردشگری مناسب قابل ارائه به کاربر فعال را براساس رتبه‌های آن‌ها ایجاد می‌کند.

برای هر کاربر (گردشگر) بازدیدکننده از وبسایت تجارت اجتماعی، سیستم می‌تواند فهرستی از جاذبه‌های گردشگری را مبتنی بر نظر کاربران قابل اعتماد و نظرات مشابه با کاربر فعال فراهم نماید. در ادامه پردازش‌های اصلی سیستم توصیه‌گر پیشنهادی توضیح داده می‌شود.



شکل ۱- مدل سیستم توصیه‌گر ترکیبی- اجتماعی پیشنهادی (کمان‌ها و مستطیل خط چین، الزامی نبودن را مشخص می‌کند)

### ۳-۱- تعیین نوع کاربر فعال

مولفه تعیین نوع کاربر فعال ( $U_a$ ) براساس وجود یا عدم وجود رابطه بین کاربر فعال و دیگر اعضای بستر تجارت اجتماعی، همچنین تعداد نظرات ثبت شده توسط کاربر فعال برای جاذبه‌های گردشگری، نوع کاربر را تعیین می‌کند. در نتیجه سیستم می‌تواند در ادامه مناسبترین منابع اطلاعاتی را برای روش توصیه استفاده نماید.

### ۴-۳- استخراج لیست اقلام مناسب

**کاربران نوع A و B:** این دو گروه، کاربرانی هستند که نظرات گذشته آن‌ها در سیستم موجود می‌باشد. روش استخراج لیست اقلام برای این کاربران مبتنی بر پالایش مشارکتی است؛ اما به دلیل آن که نظر کاربر تنها شامل یک امتیاز عددی نیست و برداری از پاسخ به سوالات را نیز شامل می‌شود دارای شرایطی می‌باشد. ابتدا امتیاز کاربر فعال  $u_a$  به جاذبه‌های گردشگری در هر گروه که برای آن تاکنون نظری ثبت نکرده است با در نظر گرفتن معیار شهرت تخمین زده می‌شود  $(P_{Ra}(a, j))$ . سپس شباهت هر پاسخ برای جاذبه گردشگری  $A$  و  $B$ ،  $sim(r_{p_i}, r_{p_j})$ ، به عنوان وزنی برای امتیازهای پیش‌بینی شده در مرحله قبل حافظ می‌شود؛ در نهایت  $(i)$   $P_{Ra}(a, j) = P_{Ra}(a) + sim(r_{p_i}, r_{p_j})$ ،  $P_{Ra}(a)$  امتیاز کاربر فعال  $a$  برای جاذبه گردشگری  $A$  پیش‌بینی می‌کند (رابطه ۶).

$$\begin{aligned} R_{Ra} &= \left[ Ra_{\mu_i p_j} * R_{Re_{ik}} \right], cat_{p_j} = k \\ \overline{R_{Ra_i}} &= \frac{1}{P_i} \sum_{j \in P_i} R_{Ra_{ij}}, \forall i \in U \\ Similarity(a, i) &= \\ &\frac{\sum_{j \in P_i \cap P_a} (R_{Ra_{aj}} - \overline{R_{Ra_a}})(R_{Ra_{ij}} - \overline{R_{Ra_i}})}{\sqrt{\sum_{j \in P_i \cap P_a} (R_{Ra_{aj}} - \overline{R_{Ra_a}})^2} \sqrt{\sum_{j \in P_i \cap P_a} (R_{Ra_{ij}} - \overline{R_{Ra_i}})^2}} \\ &P_{Ra}(a, j) = R_{Ra_i} + \frac{\sum_{i \in U} similarity(a, i)(R_{Ra_{ij}} - \overline{R_{Ra_i}})}{\sum_{i \in U} |similarity(a, i)|} \\ sim(r_{p_i}, r_{p_j}) &= \cos(\overline{r_{p_i}}, \overline{r_{p_j}}) \\ P_{Ra}(a, j) &= \frac{\sum_{all\_similar\_reviews, N} sim(r_{p_j}, N) * P_{Ra}(a, N)}{\sum_{all\_similar\_reviews, N} (|sim(r_{p_j}, N)|)} \end{aligned} \quad (6)$$

**کاربران نوع C و D:** چنانچه کاربر از نوع C و D باشد، سابقه‌ای از نظرات وی موجود نیست؛ بنابراین استخراج لیست اقلام مناسب، مبتنی بر سابقه نظرات دیگر کاربران خواهد بود. بر این اساس جاذبه‌های گردشگری در هر گروه با متوسط امتیاز بیشتر در بین کاربران معتمد TU، شناسایی می‌شود. کاربران معتمد کاربرانی هستند که معیار شهرت آن‌ها  $R_{Re_{ik}}$  از مقدار سرحد مشخص شده  $\alpha$  بیش‌تر باشد (رابطه ۷).

$$\begin{aligned} TU &= \{u_i \in U \mid R_{Re_{ik}} \geq \alpha\} \\ \overline{R_{Ra}} &= \frac{\sum_{i \in TU} R_{Ra_{ij}}}{|TU|} \end{aligned} \quad (7)$$

### ۵-۳- تهیه لیست اقلام پیشنهادی

امتیاز نهایی پیش‌بینی شده برای جاذبه‌های گردشگری در گروه کاربران A و B از مرحله پ-۱ و پ-۲ (شکل ۱) بدست می‌آید. با مرتب‌سازی این امتیازها، امکان انتخاب  $n$ -بالاترین قلم با امتیاز بیشتر برای سیستم وجود دارد. مقدار  $n$  با توجه به شرایط می‌تواند متغیر باشد. در صورتی که کاربر از گروه C و D شناسایی شود،

مجموعه UD کاربرانی که دارای نظر ثبت شده می‌باشند به تصادف انتخاب می‌شوند و به جمعیت گروه کاربر فعلی افزوده می‌شوند. برای کاربران نوع B و D که قطعاً امکان تشکیل مجموعه UC را ندارند، مجموعه UD را تشکیل می‌شود. در صورتی که اندازه مجموعه UD از سرحد تعريف شده،  $w$ ، کمتر باشد، تعداد ویژگی‌های جمعیت‌شناختی مشترک،  $m$ ، کاهش می‌یابد تا جمعیت مورد نظر حاصل شود. بنابراین مجموعه کاربران انتخابی  $US_i$  مستخرج از پ-۲ در شکل ۱، مبتنی بر رابطه ۳ خواهد بود.

$$US_i = \begin{cases} UC_i & n_{UC} \geq w \\ UD_i & n_{UD} \geq w \\ UC_i \cup \{Ud_i \subseteq UD_i\} & n_{UC} < w \\ UD_i, m\_new < m\_old & n_{UD} < w \end{cases} \quad (3)$$

### ۳-۳- شناسایی امتیازهای بروون‌هشت کاربران

در سیستم‌های نظردهی اجتماعی به دلایل مختلفی ممکن است نظرات فاقد ارزش و اعتبار باشند؛ کاربر جعلی است، کاربر فاقد دانش لازم است یا کاربر بنا بر دلایل مختلفی نظر غیرواقعی ثبت می‌کند. چنین کاربران و چنین نظراتی می‌باشند در منبع اطلاعاتی توصیه‌گر شناسایی شوند و برخورد مناسی با آنها انجام گیرد. بنابراین ابتدا ماتریس کاربر- جاذبه گردشگری UPoA به ازای هر نوع جاذبه CP تشکیل می‌شود. هر جاذبه گردشگری  $(P)$  براساس ماهیتش به گروه مشخصی (CP) تعلق دارد. هر درایه ماتریس UPoA برابر با امتیازی است که کاربر A به جاذبه زداده است. به ازای هر جاذبه گردشگری در این ماتریس، با استفاده از روش شناسایی بروون‌هشت آماری (توزيع نرمال) [۲۱] امتیاز بروون‌هشت شناسایی می‌شود. در نهایت، ماتریس UO ساخته می‌شود که هر درایه آن تعداد امتیازهای بروون‌هشت کاربر A در جاذبه‌های گروه k است.

$$\begin{aligned} CP &= \{cp_1, \dots, cp_k\} \quad P = \{p_1, \dots, p_j\} \\ UPoA_k &= \left[ UPo_{i p_j} \right], i \leq n_u, j \leq n_p, k \leq n_{cp}, cat_{p_j} = k \\ UO &= \left[ UO_{u_i cp_k} \right], i \leq n_u, k \leq n_{cp} \end{aligned} \quad (4)$$

$$\begin{aligned} R_{Re} &= \left[ Re_{u_i cp_k} * fall\_factor_{u_i cp_k} \right] \\ Re_{u_i cp_k} &= \frac{num\_of\_reviews\_for\_u_i - to\_u_i - cp_k}{total\_num\_of\_reviews\_for\_cp_k} \\ fall\_factor_{u_i cp_k} &= \sigma, 0 \leq \sigma \leq 1 \end{aligned} \quad (5)$$

تعداد امتیازهای بروون‌هشت هر کاربر در شهرت وی تاثیر خواهد داشت. شهرت کاربر در هر گروه از جاذبه‌های گردشگری  $Re_{u_i cp_k}$ ، به صورت جداگانه محاسبه می‌شود و مقدار آن برابر است با نسبت تعداد نظرهای ثبت شده کاربر A در مورد جاذبه‌های گردشگری گروه  $k$ ، به کل تعداد نظرات آن گروه از جاذبه‌های گردشگری. زمانی که کاربر امتیازهای بروون‌هشت داشته باشد، با یک فاکتور کاهش،  $fall\_factor_{u_i cp_k}$  شهرت وی کاهش می‌یابد. ماتریس  $R_{Re}$  ماتریس شهرت واقعی هر کاربر در هر گروه از جاذبه‌های گردشگری است (رابطه ۵).

مجموعه یادگیری و ۲۰٪ مجموعه تست تقسیم کردیم. آزمایش‌ها ۱۰ بار انجام شد؛ در ادامه میانگین نتایج ارزیابی به ازای مجموعه تست آمده است.

### ۱-۵- ارزیابی امتیازهای پیش‌بینی شده

مقایسه امتیاز واقعی ثبت شده توسط کاربران برای جاذبه‌های گردشگری با امتیاز تخمینی پیش‌بینی شده توسط استراتژی‌های مختلف، به عنوان معیاری برای ارزیابی به شمار می‌رود. این مقایسه می‌تواند به دو صورت انجام شود: اول مقایسه الگوی رفتاری نمودارهای امتیازها برای استراتژی‌های مختلف و دوم مقایسه میزان خطای امتیاز پیش‌بینی شده با امتیاز واقعی (معیار MSE [۴۱]). MSE میانگین مربعات خطا را محاسبه می‌کند.

با توجه به تعدد آزمایش‌ها برخی یا بخشی از نمودارها ارائه می‌شود. شکل ۲، رفتار نمودار امتیازهای استراتژی‌های توصیه را در مقایسه با رفتار نمودار امتیازهای واقعی در یکی از آزمایش‌ها نشان می‌دهد. دو نمودار به ازای ۵۰ جاذبه گردشگری است که به تصادف انتخاب شده‌اند. در شکل ۲ محور افقی کاربران و محور عمودی میانگین امتیازهای هر کاربریه جاذبه‌های گردشگری می‌باشد که در بازه [۰، ۵] قرار دارد. صرف‌نظر از اختلاف امتیازها در روش‌های توصیه Rec M1، Rec M2 و Rec SociHybrid با امتیاز واقعی، رفتار نمودار امتیازهای پیش‌بینی شده با استفاده از استراتژی Rec SociHybrid Rec بسیار مشابه را فرستاده است. نقاط بیشینه و کمینه نمودارهای امتیازهای واقعی و مبتنی بر استراتژی Rec SociHybrid Rec بسیار به یکدیگر نزدیک است. مقدار معیار MSE به ازای هر سه استراتژی در جدول ۲ آمده است. هر چه مقدار MSE کمتر باشد روش پیش‌بینی یا تخمین گر کارایی و دقت بیشتری دارد. براساس نتایج، روش پیشنهادی امتیازهای جاذبه‌های گردشگری را با شbahat بیشتر و اختلاف کمتری نسبت به امتیازهای واقعی و در مقایسه با دیگر روش‌ها تخمین می‌زند.

جدول ۲- نتایج معیار MSE به ازای استراتژی‌های مختلف توصیه

مبتنی بر محظوظ	پالایش مشارکتی	روش پیشنهادی
MSE		
2.22	1.6	0.78



شکل ۲- مقایسه رفتار امتیازهای جاذبه‌های گردشگری، به ازای ۵۰ جاذبه گردشگری به تصادف انتخاب شده

n- بالاترین قلم استخراج شده از مرحله p-۳-۴ و p-۴-۴ در شکل ۱، که دارای امتیاز بیشتری از سایر اقلام باشند انتخاب و به کاربر پیشنهاد می‌شوند.

## ۴- آزمایش‌ها

در این بخش، یک مطالعه تجربی براساس مدل توصیه‌گر اجتماعی- ترکیبی پیشنهادی انجام می‌شود. به منظور ارزیابی نتایج حاصل از روش پیشنهادی، کارایی آن با سایر رویکردهای رایج و قدیمی توصیه‌گری نیز مقایسه می‌شود.

### ۴-۱- مجموعه داده

آزمایش‌های ما بر روی مجموعه داده‌ای جمع‌آوری شده از یک آژانس گردشگری بین‌المللی انجام شد، که به دلیل حفظ محرومگی امکان انتشار آن وجود ندارد. جزئیات مجموعه داده در ادامه آمده است.

- پروفایل کاربران (Users): شامل اطلاعات جمعیت‌شناسنامه ۵۷۸۴۷ کاربر از جمله جنسیت، زبان، کشور و غیره ( تنها ۱۴۸۷ نفر در نظردهی مشارکت داشته‌اند) است.
- روابط دوستی کاربران (Friendships): شامل ۲۱۱۹۶۳ رابطه دوستی صریح می‌باشد، بنابراین شمار بسیاری از کاربران شبکه فاقد روابط دوستی هستند.
- اطلاعات جاذبه‌های گردشگری (Attractions): شامل تعداد ۲۷۸۱ جاذبه گردشگری در ۲۷ دسته مختلف
- نظرات کاربران (Reviews): شامل ۳۰۲۷ نظر که توسط کاربران برای جاذبه‌های گردشگری ثبت شده است. آژانس مسافربری به منظور غنای بیشتر و جمع‌آوری نظرات، طی برنامه‌های تبلیغاتی کاربران و گردشگران را به ثبت نظر تشویق نمود. با این حال، در این میان برخی از جاذبه‌های گردشگری فاقد نظر هستند.

## ۴-۲- استراتژی‌های توصیه

در این تحقیق، رویکرد پیشنهادی (SociHeybrid Rec) با دو رویکرد اصلی دیگر به منظور ارزیابی کارایی مقایسه می‌شود، با توجه به روش پیشنهادی و مجموعه دادگان سایر روش‌ها قابل مقایسه با روش پیشنهادی نبودند. دو رویکرد مورد استفاده در این آزمایش‌ها عبارتند از:

- مبتنی بر محظوظ (Rec M1): در این استراتژی، از روش معروفی شده در [۴۳] استفاده می‌شود. به طور خلاصه با استفاده از مشخصات اقلامی که قبلاً توسط کاربر فعل امتیازدهی شده‌اند، یک پروفایل از علاقه‌مندی‌های وی ایجاد و اقلام جدید مشابه و مطابق با علاقه‌مندی کاربر به او پیشنهاد می‌شود.

- پالایش مشارکتی (Rec M2): روش پالایش مشارکتی معرفی شده توسط [۴۴] می‌باشد. کاربرانی که امتیازهای آن‌ها به اقلام، مشابه با کاربر فعل است شناسایی و با استفاده از امتیازهای آنها، امتیاز کاربر فعل به اقلام پیش‌بینی می‌شود.

## ۵- نتایج و ارزیابی

به منظور ارزیابی و مقایسه کارایی استراتژی‌های مختلف توصیه، ما به طور تصادفی ۳۰۷۲ رکورد مجموعه نظرات کاربران را مبتنی بر قانون پرتو [۴۰] به ۸۰٪

نتایج معیارهای ارزیابی به ازای فهرست پیشنهادی (n) با تعداد ۲ الی ۶ جاذبه گردشگری نیز در جدول ۳ و شکل ۴ آمده است. به دلیل انتخاب اقلام فهرست پیشنهادی به روش n-بالاترین وجود اقلام موردنظر کاربر در بالای فهرست پیشنهادی شده به وی، تغییرات معیار بازخوانی در سه روش نسبت به تغییرات معیار دقت کمتر است، و معیار دقت با کاهش اندازه فهرست پیشنهادی افزایش چشم گیری دارد. علت این امر نیز آن است که تعداد اقلام یا جاذبه‌های مطلوب کاربران به طور متوسط ۲ مورد می‌باشد. بنابراین با افزایش اندازه فهرست پیشنهادی، معیار دقت کاهش می‌باید و از مقدار مشخصی نمی‌تواند بیشتر شود.

جدول ۳- نتایج معیارهای ارزیابی برای سه استراتژی توصیه به ازای فهرست پیشنهادی با اندازه‌های مختلف

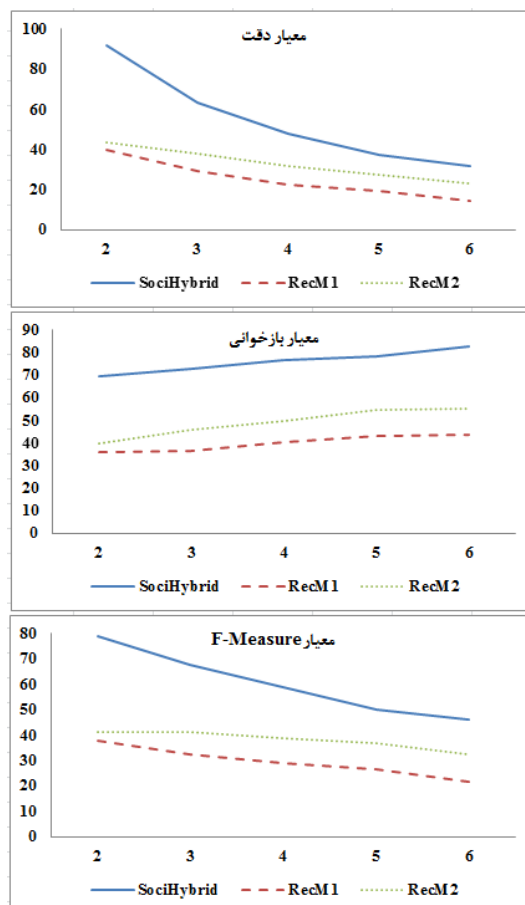
## ۴-۲- ارزیابی توصیه‌ها

مقایسه و ارزیابی استراتژی‌های توصیه مبتنی بر سه معیار راجح دقت، بازخوانی و F-Measure انجام می‌شود [۲۱] [۳]. معیار دقت، مشخص کننده نسبت تعداد توصیه‌های مطلوب به تعداد کل توصیه‌های ارائه شده به کاربر فعال است. معیار بازخوانی، نسبت تعداد توصیه‌های مطلوب به تعداد اقلام مطلوب کاربر می‌باشد. F-Measure نیز میانگین وزن دار معیار دقت و بازخوانی است که از نسبت حاصل ضرب دو معیار دقت و بازخوانی به حاصل جمع این دو معیار بدست می‌آید. مقدار هر سه معیار در بازه [۱، ۰] است و هر چه به ۱ نزدیک‌تر باشد، مطلوب‌تر است. شکل ۳ نتایج این سه معیار را برای سه استراتژی توصیه، به صورت درصد نشان می‌دهد.

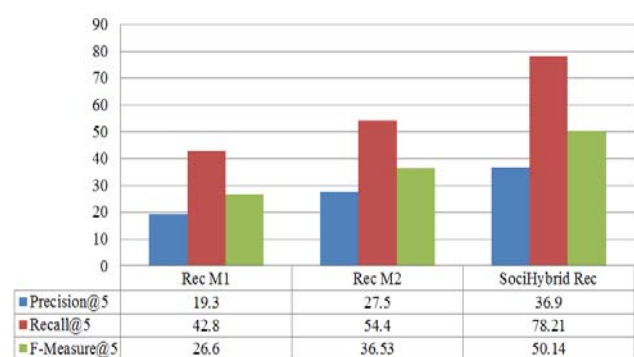
بعد از پیش‌بینی امتیازهای کاربر فعال به اقلامی که تاکنون امتیازدهی نکرده است، به روش n-بالاترین، امتیازها به ترتیب نزولی مرتب شده و n جاذبه گردشگری با امتیاز بیشتر به کاربر فعال توصیه می‌شود. طبق شکل ۳، سه معیار ارزیابی برتری روش پیشنهادی را نسبت به روش پالایش مشارکتی (Rec M2) و مبتنی بر محتوا (Rec M1) در حالتی که n=5 است را نشان می‌دهند. روش پالایش مشارکتی (Rec M2) نیز نسبت به روش مبتنی بر محتوا (Rec M1) نتایج بهتری را تولید کرده است.

اگر چه روش پیشنهادی نسبت به دو روش دیگر از نظر محاسباتی پیچیده‌تر است اما برتری نتایج ارزیابی، تاثیر مثبت افراد مشابه با کاربر فعال مبتنی بر اصل هوموفیلی، شناسایی امتیازهای بروون‌هشت و بکارگیری اعتماد و شهرت در سیستم توصیه‌گر را مشخص می‌کند. زمانی که خرید به دلایل مختلف همراه با ریسک است، توصیه‌گری مبتنی بر روش پیشنهادی قابل اعتمادتر بوده و بر تصمیم کاربر برای خرید تاثیرگذارتر است.

بیشتر بودن معیار بازخوانی نسبت به معیار دقت، به دلیل تعداد کمتر جاذبه‌های گردشگری نظردهی شده توسط کاربر (اقلام مطلوب) به تعداد جاذبه‌های توصیه شده به وی می‌باشد. براساس مجموعه داده، کاربران به طور میانگین برای ۲ جاذبه گردشگری نظر ثبت کرده‌اند، اما فهرست پیشنهادی جاذبه‌های گردشگری شامل ۵ جاذبه گردشگری است (@5). از این‌رو در همه استراتژی‌ها معیار بازخوانی بیشتر از معیار دقت می‌باشد. همچنین معیار دقت کمتر ۴٪ است، در نگاه اول این مقدار به نظر کم است ولی این مورد نیز قابل توجیه می‌باشد. از آنجا که به طور میانگین تعداد جاذبه‌های گردشگری نظر داده شده توسط کاربران ۲ است، در بهترین حالت اگر این ۲ جاذبه عضو مجموعه اقلام توصیه شده به وی باشند، مقدار دقت ۴۰٪ خواهد بود. بنابراین مقدار ۳۵.۱٪ برای معیار دقت در روش پیشنهادی در مقایسه با بیشترین مقدار ممکن ۴۰٪ مطلوب است. از این‌رو، مقادیر بدست آمده برای معیارهای ارزیابی برتری روش پیشنهادی نسبت به روش‌های پالایش مشارکتی و مبتنی بر محتوا را نشان می‌دهد.



شکل ۴- مقایسه معیارهای ارزیابی برای سه استراتژی توصیه به ازای فهرست پیشنهادی با اندازه‌های مختلف



شکل ۳- مقایسه معیارهای ارزیابی برای سه استراتژی توصیه

زیرمجموعه‌ای از کاربران مشابه با کاربر هدف، کاهش بار محاسباتی را همراه دارد.

- از دیدگاه کاربری نیز با توجه به گسترش روزافزون تجارت اجتماعی، مکانیزم پیشنهادی می‌تواند در سایر زمینه‌های تجاری مانند فروشگاه‌های الکترونیکی و صنایع مختلف دیگر استفاده شود. در مواردی که به دلیل قیمت بالای کالا/خدمات، ریسک خرید برای کاربر زیاد است روش پیشنهادی می‌تواند توصیه‌ها قابل اعتمادتری را نسبت به سایر روش‌ها ارائه کند.

## ۶- محدودیت‌ها

چندین محدودیت در این تحقیق وجود دارد که عبارتند از:

- اگر چه خدمات تجارت اجتماعی افزایش یافته است و سایت‌های تجارت الکترونیکی تا حدودی به این امکانات مجهز شده‌اند اما بیشتر به عنوان اعتبار ظاهری به کار می‌رود؛ و صاحبان پلتفرم‌های تجارت اجتماعی به دلیل حفظ محramانگی، اطلاعات خود را به اشتراک نمی‌گذارند. مجموعه داده ما نیز از یک وبسایت نه چندان مشهور گردشگری بدست آمد که تعداد نظرات ثبت شده و کاربران نظردهنده در آن با توجه به تعداد کل کاربران بسیار محدود بود. بنابراین چنانچه کسب و کارها بتوانند کاربران را تشویق به مشارکت در ارائه نظرات نمایند، این محدودیت از بین رفته و داده غنی‌تری را می‌توان برای سیستم توصیه‌گر استفاده نمود.
- امکان دریافت بازخود از کاربران در تحقیق حاضر وجود نداشت. در صورتیکه امکان دریافت بازخورد از کاربران وجود داشت، ارزیابی توصیه برای کاربران نوع C و D نیز انجام می‌گرفت؛ با توجه به ویژگی‌های مدل، در این صورت نتایج ارزیابی مدل پیشنهادی در مقایسه با رویکردهای دیگر تفاوت بیشتری داشت و تعداد اقلام مطلوب فعلی کاربران که از مجموعه داده قابل استخراج است، بر روی مقدار معیارهای ارزیابی محدودیت ایجاد نمی‌کرد.

- مدل پیشنهادی بر روی مجموعه داده کم حجمی اجرا شد، از آنجا که در واقعیت و در بستر تجارت اجتماعی تعداد کاربران و اقلام بیشتر است و تراکنش‌های بیشتری اتفاق می‌افتد، می‌باشد آزمایش‌هایی بر روی حجم بیشتر داده نیز انجام شود و روش پیشنهادی برای کاربر در حجم بالا بهینه شود و از پردازش‌های موادی بهره گرفته شود.

## ۷- مطالعات آینده

برخی از جهت‌گیری‌ها برای مطالعات آینده به شرح زیر می‌باشد:

- تقویت ساختار روابط دوستی کاربران از طریق استخراج روابط اجتماعی از دیگر شبکه‌های اجتماعی به منظور شناسایی کاربران مشابه
- تعیین روش پیشنهادی جهت ارائه یک سیستم توصیه‌گر آگاه به زمینه
- بهبود و ارتقای روش پیشنهادی به منظور رفع مشکل تنکی داده؛ روش‌های پالایش مشارکتی نسبت به تنکی داده حساس هستند و در چنین شرایطی نتایج خوبی حاصل نمی‌شود. با توجه به آنکه روش پیشنهادی از پالایش مشارکتی استفاده می‌کند، این مشکل در سیستم بروز خواهد کرد.
- بررسی تاثیر دیگر روش‌های کشف اجتماع بر نتایج روش پیشنهادی و استفاده از دیگر روابط بهمنظور محاسبه اعتماد، شهرت و شbahet؛ بدین‌منظور آزمایش‌های بیشتری مورد نیاز است تا بهترین روابط و روش کشف اجتماع برای سیستم توصیه‌گر پیشنهادی تعیین شود.

## ۶- نتیجه‌گیری

در خرید برخط، مردم تحت تاثیر پیشنهادها و راهنمایی‌های افراد مشابه، خریداران خبره، کارشناس یا دوستان صمیمی خود هستند. با این حال هنوز بسیاری از پلتفرم‌های شبکه اجتماعی مانند توئیتر و فیسبوک، همچنین پلتفرم‌های تجارت الکترونیکی مانند آمازون و یاوه به صورت مستقل عمل می‌کنند. امروزه شبکه‌های اجتماعی فراتر از کاربردشان در جهت برقراری ارتباط افراد با یکدیگر می‌باشند؛ تجارت الکترونیکی تحت تاثیر قابلیت‌ها و پتانسیل اطلاعاتی موجود در این شبکه‌ها با نسل جدیدی روبرو شده است. تجارت اجتماعی به‌طور فزاینده‌ای از نظر عملی و علمی مورد توجه قرار گرفته و کسب و کارها، سیاست‌گذاری‌ها و سرمایه‌گذاری‌های خود را به این سمت متمایل کرده‌اند. از این رو توسعه سیستم‌های توصیه‌گر مانند آمازون و eBay که مبتنی به تاریخچه خرید فردی، تجمعی نظرات اعضا و بازخوردهای باشد [۴۲]، دیگر اثرگذار و کافی نخواهد بود. این‌ها ارتباطات بین اعضا و قدرت تاثیر اجتماعی را در نظر نمی‌گیرند. بهمنظور در نظر گرفتن اثرات اجتماعی افراد و ایجاد توازن بین عوامل مختلف، در این مقاله یک سیستم توصیه‌گر اجتماعی - ترکیبی پیشنهاد شد که شباهت افراد در جوامع حاصل از ساختار اجتماعی، همراه با تشابه نظرات افراد، به علاوه اعتماد حاصل از شهرت را به منظور ارائه توصیه به کاربران در بستر تجارت اجتماعی به کار می‌گیرد. نتایج آزمایش‌ها بر روی مجموعه داده‌ای در صنعت گردشگری و با هدف توصیه جاذبه‌های گردشگری، کارایی روش توصیه پیشنهادی ما را نسبت به سایر رویکردهای اصلی نشان می‌دهد. چارچوب توصیه‌گری پیشنهاد شده می‌تواند به‌طور موثری توسط فروشنده‌گان الکترونیکی در بستر تجارت اجتماعی به منظور تغییب کاربران به خرید استفاده شود.

## ۷- نوآوری تحقیق

نوآوری‌ها و کاربردهای این مقاله در ادامه خلاصه می‌شود:

- از دیدگاه نوآوری سیستمی، همچنان که توصیه اقلام در تجارت الکترونیکی روبه گسترش سیستم‌های توصیه‌گر اجتماعی هنوز به‌عنوان یک مسئله باقیمانده‌اند و از طرفی توسعه روزافزون تجارت اجتماعی و فناوری‌های اینترنت اشیاء رسیدگی و حل این مسئله را بیشتر از قبل ضروری نموده است.

- از منظر روش‌شناسی، مانه تهها شباهت افراد از لحاظ ویژگی‌های جمعیت‌شناختی را در نظر گرفته‌ایم بلکه شباهت حاصل از هموفیلی و هم‌اجتماع بودن افراد را نیز که حاصل از ساختار اجتماعی می‌باشد لحاظ کرداییم. به‌علاوه اعتماد مبتنی بر شهرت کاربران را نیز در توصیه‌ها نقش داده‌ایم. بنابراین منبع اطلاعاتی توصیه، افراد مشابه با کاربر و نظرات قابل اعتماد هستند. از سوی دیگر در بیشتر سیستم‌های تجارت الکترونیکی نظر کاربر به یک قلم داده ترکیبی از متن، یک رتبه کلی یا چند رتبه برای جوانب مختلف کالا می‌باشد. بدليل زمان بر بودن پردازش متن، عموماً توضیحات نظرات کاربر در سیستم‌های توصیه‌گر استفاده نمی‌شود و توصیه صرفاً براساس رتبه‌ها صورت می‌گیرد. حال آن که در توصیه‌گر پیشنهادی، هر نظر علاوه بر یک امتیاز کلی، دارای برداری از مقدادر اسمی می‌باشد که در پیش‌بینی رتبه کاربر فعل به اقلام پیشنهادی لحاظ شده است.

- از منظر کارایی نیز دقت، بازخوانی و F-Measure روش پیشنهادی در مقایسه با دیگر روش‌ها بهتر است. بنابراین روش ما اطلاعات قابل اعتماد مرتبط با سلیقه و خواست کاربران را بازیابی می‌کند. همچنین انتخاب

### پیوست الف

Proceedings of the 10th International Conference on Electronic Commerce, Austria, ACMPress, New York, 2008.

[5] G. Dennison, S. Bourdage-Braun, and M. Chetuparambil, "Social commerce defined," White paper #23747, IBM Corporation, Research Triangle Park, NC, November 2009.

[6] U. Gretzel, and K. Yoo, "Use and impact of online travel reviews," In: O'Connor, P., Hopken, W., Gretzel, U. (Eds.), Information and Communication Technologies in Tourism. Springer-Verlag, Wien, New York, pp. 35–46, 2008.

[7] Y. A. Kim, and J. Srivastava, "Impact of social influence in e-commerce decision making," In Proceedings of the Ninth International Conference on Electronic Commerce, Minneapolis, MN, ACM Press, New York, pp. 293–302, 2007.

[8] T. Liang, Y. Ho, Y. Li, and E. Turban, "What drives social commerce: the role of social support and relationship quality," International Journal of Electronic Commerce, 16, 2, pp. 69–90, 2011.

[9] S. Parise, and P. J. Guinan, "Marketing using Web 2.0. In R. Sprague (ed.)," Proceedings of the 41st Hawaii International Conference on System Sciences, Hawaii, IEEE Computer Society Press, Washington, DC, 2008.

[10] M. McPherson, L. Smith-Lovin, and J. M. Cook, "Birds of a Feather: Homophily in Social Networks," Annual Review of Sociology. 27, pp. 415–444, 2001.

[11] Z. Huang, and M. Benyoucef, "From e-commerce to social commerce: A close look at design features," Electronic Commerce Research and Applications, Elsevier B. V., 12, pp. 246-259, 2013.

[12] A. Lew, "A framework of tourist attraction research," Annals of Tourism Research, 14, pp. 533–575, 1987.

[13] G. Richards, "Tourism attraction systems-exploring cultural behavior," Annals of Tourism Research, vol. 29, no. 4, pp. 1048–1064, 2002.

[14] C.-C. Chang, and K.-H. Chu, "A Recommender System Combining Social Networks for Tourist Attractions," Fifth International Conference on Computational Intelligence, Communication Systems and Networks, IEEE Computer Society, pp. 42-47, 2013.

[15] D. J. Kim, D. L. Ferrin, and H. R. Rao, "A trust-based consumer decision-making model in electronic commerce: the role of trust, perceived risk, and their antecedents," Decision Support Systems, vol. 44, no. 2, pp. 544–564, 2008.

[16] L. Xiong, and L. Liu, "A Reputation-Based Trust Model for Peer-to-Peer eCommerce Communities," Proceedings of the 2004 IEEE International Symposium on Cluster Computing and the Grid, Washington, DC, USA, 2004.

[17] L. Mui, M. Mohtashemi, and A. Halberstadt, "A Computational Model of Trust and Reputation for

کاربران، اطلاعات سفر و خرید تورهای کاربران نیز موجود می باشد. با توجه به آن که جاذبه گردشگری مهمترین محرك و انگیزه برای سفر شناخته شده است، سیستم به توصیه جاذبه گردشگری می پردازد تا این طریق کاربر اقدام به خرید تورهای مرتبه نماید. اطلاعات صریح و ضمنی متفاوتی از کاربران و جاذبه های گردشگری در سیستم موجود می باشد که برخی از اطلاعات در چارچوب توصیه گر پیشنهادی استفاده می شود و در جدول ۴ آمده است. اطلاعات ضمنی نیازمند به محاسبه و پردازش براساس سایر اطلاعات هستند. همچنین هر کاربر می تواند یک نظر یا review به ازای هر جاذبه گردشگری در سیستم ثبت نماید که شامل یک امتیاز کلی، مشخصات کاربر (جدول ۴) و سوالاتی در رابطه با جاذبه گردشگری با پاسخ های مشخص می باشد. عناصر اطلاعاتی یک نظر در جدول ۵ مشخص شده است.

جدول ۴- اطلاعات کاربر و جاذبه گردشگری در سیستم گردشگری اجتماعی  
■ در سیستم توصیه گر استفاده می شود و □ استفاده نمی شود

مشخصات کاربر	(وضعیت استفاده: عنوان: نوع داده: وضعیت)
مشخصات جاذبه گردشگری	
■: رتبه: نسبی؛ ضمنی	■: جنسیت: اسمی؛ صریح
■: نوع جاذبه: اسمی؛ صریح	■: زبان: اسمی؛ صریح
□: محل: اسمی؛ صریح	■: کشور: اسمی؛ صریح
□: وضعیت پرداخت: اسمی؛ صریح	□: بازه سنی: فاصله ای؛ ضمنی
□: امکانات: اسمی؛ صریح	□: تحصیلات: ترتیبی؛ صریح
□: معرفی: متون؛ صریح	□: شغل: اسمی؛ صریح
□: شرایط خاص: متون؛ صریح	□: وضعیت تأهل: اسمی؛ صریح
	□: شهرت: نسبی؛ ضمنی

جدول ۵- عناصر اطلاعاتی یک نظر

مشخصات کاربر	جدول ۴
رتبه	نوع داده: ترتیبی؛ وضعیت: صریح
سوال (عنوان سوال: نوع جواب: وضعیت جواب)	هدف سفر: اسمی؛ صریح
	همراهان: اسمی؛ صریح
	نوع تور: اسمی؛ صریح
	فصل سفر: اسمی؛ صریح
	روش سفر: اسمی؛ صریح

### مراجع

[1] K. Kabassi, "Personalizing recommendations for tourists," Telematics and Informatics, Elsevier, 27, pp. 51–66, 2010.

[2] K. Wolfe, C. H. C. Hsu, and S. K. Kang, "Buyer characteristics among users of various travel intermediaries," Journal of Travel and Tourism Marketing, vol. 17, no. 2/3, pp. 51–62, 2004.

[3] L. Esmaeili, M. Nasiri, and B. Minaei-Bidgoli, "Personalizing group recommendation to social network users," Web Information Systems and Mining. Springer Berlin Heidelberg, pp. 124-133, 2011.

[4] R. T. Wigand, R. I. Benjamin, and J. Birkland, "Web 2.0 and beyond: implications for electronic commerce," In

- [30] M. Plantie and M. Crampes, "Survey on Social Community Detection," *Social Media Retrieval*, Springer Publishers (Ed.), pp. 65-85, 2013.
- [31] U. Hanani, B. Shapira, and P. Shoval, "Information filtering: overview of issues, research and systems," *User Modeling and User-Adapted Interaction*, vol. 11, no. 3, pp. 203–259, 2001.
- [32] G. Adomavicius, and A. Tuzhilin, "Toward the next generation of recommender systems: A survey of the state-of-the-art and possible extensions," *IEEE Transactions on Knowledge and Data Engineering*, vol. 17, no. 6, pp. 734–749, 2005.
- [33] R. Alton-Scheidl, R. Schumutzer, P. P. Sint, and G. Tscherteu, "Voting and Rating in Web4Groups," Oldenbourg, Vienna, Austria, pp. 13–103, 1997.
- [34] L. Esmaeili, M. Mutallebi, Sh. Mardani, S. A. Hashemi G., "Studying the Affecting Factors on Trust in Social Commerce," *International Journal of Advanced Studies in Computer Science & Engineering*, vol. 4, no. 6, pp. 41-46, 2015.
- [35] S. A. Hashemi G., L. Esmaeili, S. Mardani, and S. M. Mutallebi Esfidvajani, "A Survey of Trust in Social Commerce," *E-Systems for the 21st Century: Concept, Developments, and Applications*, Book chapter, vol. 1, Chapter 1, 2016.
- [36] J. Tang, H. Gao, X. Hu, and H. Liu. "Exploiting homophily effect for trust prediction," In Proceedings of the sixth ACM international conference on Web search and data mining, ACM, pp. 53–62, 2013.
- [37] H. Zardi, L. B. Romdhane, and Z. Guessoum, "A multi-agent Homophily-based-Approach for community detection in social networks," 2014 IEEE 26th International Conference on Tools with Artificial Intelligence, IEEE Computer Society, pp. 501-505, 2014.
- [38] A. Abdul-Rahman, and S. Hailes, "Supporting trust in virtual communities," Proceedings of the Hawaii International Conference on System Sciences, Maui, Hawaii, 4–7 January, 2000.
- [39] P. DeMeo, A. Nocera, G. Terracina, and D. Ursino, "Recommendation of similar users, resources and social networks in a social internetworking scenario," *Information Sciences*, vol. 181, no. 7, pp. 1285–1305, 2011.
- [40] Pareto principle, [https://en.wikipedia.org/wiki/Pareto\\_principle](https://en.wikipedia.org/wiki/Pareto_principle), Last access: 12/19/2016.
- [41] Mean squared error, [https://en.wikipedia.org/wiki/Mean\\_squared\\_error](https://en.wikipedia.org/wiki/Mean_squared_error), Last access: 12/19/2016.
- [42] J. B. Schafer, J. A. Konstan, and J. Riedl, "E-commerce recommendation applications," *DataMining and Knowledge Discovery*, vol. 5, no. 1–2, pp. 115–153, 2001.
- E-businesses," *Proceedings of the 35th Annual Hawaii International Conference on System Sciences*, Washington DC, USA, 2002.
- [18] J. He, and W.W. Chu, "A Social Network-Based Recommender System (SNRS)," *Data Mining for Social Network Data*, Springer Berlin Heidelberg, vol. 12, pp. 47-74, 2010.
- [19] J. Kamahara, T. Asakawa, S. Shimojo, and H. Miyahara, "A Community-based Recommendation System to Reveal Unexpected Interests," *Proceedings of the 11th International Multimedia Modelling Conference (MMM'05)*, IEEE Computer Society, 2005.
- [20] J. Ben Schafer, J. Konstan, and J. Riedl, "Recommender systems in e-commerce," *Proceedings of the 1st ACM conference on Electronic commerce*, New York, USA, 1999.
- [21] L. Esmaeili, B. Minaei-Bidgoli, H. Alinejad-Rokny, and M. Nasiri, "Hybrid Recommender System for Joining Virtual Communities," *Research Journal of Applied Sciences, Engineering and Technology*, vol. 4, Issue 5, pp. 500-509, 2012.
- [22] H. J. Ahn, "A new similarity measure for collaborative filtering to alleviate the new user cold-starting problem," *Information Sciences*, vol. 178, no. 1, pp. 37–51, 2008.
- [23] Y. Yang, and N. C. Marques, "User group profile modeling based on user transactional data for personalized systems," *Lecture Notes in Computer Science, LNCS 3808*, pp. 337–347, 2005.
- [24] Y. Huang, and L. Bian, "A Bayesian network and analytic hierarchy process based personalized recommendations for tourist attractions over the Internet," *Expert Systems with Applications*, vol. 36, no. 1, pp. 933–943, 2009.
- [25] S. Schiaffino, and A. Amandi, "Building an expert travel agent as a software agent," *Expert Systems with Applications*, 36, pp. 1291–1299, 2009.
- [26] A. García-Crespo, J. Chamizo, I. Rivera, M. Mencke, R. Colomo-Palacios, and J. M. Gómez-Berbís, "SPETA: Social pervasive e-Tourism advisor," *Telematics and Informatics*, vol. 26, no. 3, pp. 306–315, 2009.
- [27] A. Josang, R. Ismail, and C. Boyd, "A survey of trust and reputation systems for online service provision," *Decision Support Systems*, vol. 43, no. 2, pp. 618–644, 2007.
- [28] D. W. Manchala, "E-commerce trust metrics and models," *IEEE journal of Internet Computing*, vol. 4, Issue 2, 2000
- [29] J. Chen, O. R. Zaiane, and R. Goebel, "Detecting Communities in social networks using Max-Min Modularity," *SIAM International Conference On Data Mining - SDM*, pp. 978-989, 2009.

**اطلاعات بررسی مقاله:**

تاریخ ارسال: ۱۳۹۵/۱۱/۲۵

تاریخ اصلاح: ۱۳۹۵/۱۲/۱۴

تاریخ قبول شدن: ۱۳۹۵/۱۲/۱۷

نویسنده مرتبط: دکتر سید علیرضا هاشمی گلپایگانی، دانشکده مهندسی کامپیوتر و فناوری اطلاعات، دانشگاه صنعتی امیرکبیر، تهران، ایران.

<sup>۱</sup>Gross Domestic Product

[43] P. Lops, M. de Gemmis, and G. Semeraro, "Content-based Recommender Systems: State of the Art and Trends," *Recommender Systems Handbook*, Springer, Chapter 3, pp. 73-105, 2011.

**لیلا اسماعیلی** دانشجوی دکترای مهندسی فناوری



اطلاعات در دانشگاه صنعتی امیرکبیر (پلی تکنیک تهران)

می‌باشد. زمینه تحقیقاتی وی فرایندکاوی در بستر تجارت

اجتماعی است. این زمینه تحقیقاتی با مباحث باز مهندسی

فرایندهای کسب و کار، تحلیل داده‌ها و تحلیل شبکه‌های

اجتماعی مرتبط است. وی همچنین از سال ۱۳۸۹ تا کنون تحقیقات متعددی در

حوزه سیستم‌های توصیه‌گر به ویژه سیستم‌های توصیه‌گر مبتنی بر تحلیل

شبکه‌های اجتماعی انجام داده است. صنعت گردشگری یکی از حوزه‌های کاربردی

مورد علاقه ایشان می‌باشد.

آدرس پست‌الکترونیکی ایشان عبارت است از:

Leila.esmaeili@aut.ac.ir

**سید علیرضا هاشمی گلپایگانی** استادیار و عضو هیات علمی گروه مهندسی فناوری اطلاعات در دانشگاه صنعتی امیرکبیر (پلی تکنیک تهران) می‌باشد. وی تحصیلات خود در مقطع کارشناسی، کارشناسی ارشد و دکتری را در رشته مهندسی صنایع و سیستم در دانشگاه صنعتی امیرکبیر به پایان رسانده است. دکتر هاشمی گلپایگانی به عنوان مشاور برای توسعه انواع مختلف سیستم‌های اطلاعاتی سازمانی در بسیاری از مراکز و موسسات دولتی و خصوصی مشغول به کار بوده است. وی از سال ۱۳۸۴ دروس مهندسی سیستم‌های تجارت الکترونیکی، مدیریت زنجیره تامین و بازمهندسی فرایندهای کسب و کار را در دانشگاه صنعتی امیرکبیر تدریس می‌نماید. زمینه تحقیقاتی مورد علاقه وی به ویژه در سال‌های اخیر شامل سیستم‌های توصیه‌گر، تحلیل شبکه‌های اجتماعی و کاربرد آن در تجارت الکترونیکی، مدیریت زنجیره تامین، فرایندکاوی و اینترنت اشیا می‌باشد.



آدرس پست‌الکترونیکی ایشان عبارت است از:

sa.hashemi@aut.ac.ir

**زینب زنگنه مدار متولد ۱۳۷۰** و دارای مدرک کارشناسی در رشته مهندسی فناوری اطلاعات از دانشگاه صنعتی امیرکبیر تهران است. وی در حال حاضر دانشجوی رشته فناوری و مدیریت اطلاعات در مقطع کارشناسی ارشد در دانشگاه تگزاس در دالاس (The University of Texas at Dallas) می‌باشد. زمینه‌های مورد علاقه او شامل سیستم‌های توصیه‌گر، شبکه‌های اجتماعی، تجارت اجتماعی، مدیریت و تحلیل داده‌ها است.



آدرس پست‌الکترونیکی ایشان عبارت است از:

zeinab.zanganehmadar@utdallas.edu



نسخه نهائی مقالات ارسالی برای چاپ در نشریه "علوم رایانش و فناوری اطلاعات" باید بر طبق اصول مطرح شده در این راهنمای تهیه شده باشد. رعایت این اصول در نسخه اولیه نیز قویاً توصیه می‌شود. مقالات به زبان فارسی ارسال گردد.

## ۱- ساختار مقاله

- عنوان: کوتاه و معرف محتوای مقاله باشد و از ۱۵ کلمه تجاوز نکند.
- نام نویسنده‌گان و مؤسسه محل اشتغال آنان: از ذکر عناوین خودداری شود.
- چکیده فارسی: حاوی تعریف مسأله، روش حل، و نتایج مهم باشد و از ۱۵۰ کلمه تجاوز نکند.
- واژه‌های کلیدی: حداقل ۱۰ کلمه
- بدنه اصلی مقاله: بدنه اصلی با "مقدمه" شروع و با "نتیجه‌گیری" خاتمه می‌یابد. بخش‌ها و زیربخش‌های بدنه اصلی باید شماره‌گذاری شوند.  
شماره "مقدمه" یک خواهد بود.
- تشرک و قدردانی (در صورت نیاز).
- مراجع: مراجع به ترتیبی که در متن به آنها رجوع می‌شود آورده شوند. نام مؤلفان مراجع در صورت لزوم در متن بصورت فارسی آورده شود. رجوع به مراجع با ذکر شماره آنها در داخل کروشه ([]) انجام پذیرد.
- پیوست‌ها (در صورت نیاز)
- واژه‌نامه (در صورت نیاز)
- برای مقالات فارسی، عنوان مقاله، نام نویسنده‌گان، مؤسسه محل اشتغال، چکیده، و کلمات کلیدی به زبان انگلیسی نیز در صفحه‌ای جداگانه داده شود.
- بیوگرافی کامل نویسنده‌گان به زبان فارسی به همراه عکس

## ۲- معادله‌ها، شکل‌ها، جدول‌ها، و عکس‌ها

- معادله‌ها باید با فاصله کافی از بالا و پائین تایپ و به صورت متوالی شماره‌گذاری شوند. شماره معادله در پرانتز در انتهای سمت راست سطر حاوی معادله قرار داده شود. معادلات دستنویس به هیچ شکل قابل قبول نیستند.
- شکل‌ها و جدول‌ها باید دارای شماره و عنوان باشند. در شکل‌ها شماره و عنوان در زیر شکل و در جدول‌ها در بالای شکل قرار می‌گیرد. اعداد و متون روی شکل‌ها و جدول‌ها باید دارای اندازه مناسب و کاملاً خوانا باشند.
- اعداد و کلمات روی شکل‌ها و جدول‌ها در مقالات فارسی به زبان فارسی باشند.
- عکس‌ها سیاه و سفید، برقی، و با کیفیت عالی باشند.

## ۳- نحوه نگارش مراجع

در لیست مراجع انواع مختلف مرجع‌ها به شکل زیر نوشته شوند:

- [۱] ب. مقدم، ا. تقیوی، و ن. طاهری، آشنایی با شبکه‌های کامپیوتری، چاپ دوم، انتشارات نصر، تهران، ۱۳۷۵.
- [۲] ی. براون، مقدمه‌ای بر شبکه‌های عصبی، ترجمه م. ع. آرام، انتشارات فجر، مشهد، ۱۳۷۰.
- [۳] راهنمای کاربران حسابرس، شرکت پردازش رایانه‌ای ایران، تهران، ۱۳۶۵.

[۴] ج. عارف، استنتاج فازی بوسیله شبکه‌های عصبی، پایان‌نامه کارشناسی ارشد هوش مصنوعی، دانشکده مهندسی کامپیوتر، دانشگاه صنعتی شهر، ۱۳۷۴.

[۵] ج. حسینی، و ح. ربانی، "تشخیص چهره انسان در تصویر،" نشریه امیرکبیر، سال هشتم، شماره ۴۲، ص ۱۲۵-۱۴۷، ۱۳۷۷.

[۶] ج. حسینی، و ح. ربانی، "تشخیص چهره انسان در تصویر،" در مجموعه مقالات هفتمین کنفرانس سالانه انجمن کامپیوتر ایران، ص ۲۲۴-۲۳۲، ۱۳۸۰.

[۷] M. A. Ahmadi, and M. H. Rahimi, *Fuzzy Set Theory*, New Jersey: Prentice-Hall, 1995.

[۸] M. A. Ahmadi, M. H. Rahimi, and A. Fatemi, "Evidence-Based Recognition of 3D Objects," *IEEE Trans. Patt. Anal. and Mach. Intell.*, vol. 12, no. 10, pp. 811-835, 1994.

[۹] A. Taheri, "On-Line Fingerprint Verification," *Proc. IEEE Intl Conf. Pattern Recognition*, pp. 752-758, 1992.

[۱۰] M. A. Ahmadi, *On-line Fingerprint Verification*, Ph. D. Dissertation, MIT, Cambridge, MA, 1982.

[۱۱] A. J. Washington, "The Fingerprint of MalcomX," <http://www.dermatoglyphics.com>, June 2003.

[۱۲] International Biometrics Group, <http://www.biometricgroup.com>, May 2003.

#### ۴- واژه‌نامه

هر واژه خارجی در واژه‌نامه در انتهای مقاله با شماره‌ای مشخص شود و شماره در معادل فارسی آن واژه در متن، بصورت بالاترین آورده شود.

#### ۵- آماده‌سازی مقاله

- مقاله را با نرم‌افزار Word تایپ نمائید.
- متن چکیده به صورت تک ستونی با طول سطر ۱۸ سانتیمتر و متن مقاله به صورت دو ستون ۸۷ میلیمتر و فاصله دو ستون ۶ میلیمتر تایپ شود. حاشیه‌ها از بالا و پائین برابر ۲۰ میلیمتر و از طرفین برابر ۱۵ میلیمتر اختیار شود.
- فاصله عنوان مقاله در صفحه اول از بالای صفحه برابر ۸۵ میلیمتر باشد و عنوان وسط چین شود.
- کلیه عنوان‌ین بصورت پررنگ با قلم "B Nazanin" تایپ شوند، اندازه قلم عنوان مقاله ۱۸، عنوان سطح اول ۱۴، و عنوان سطح دوم و سوم ۱۲ انتخاب شوند.
- متن چکیده‌ها با قلم "B Nazanin" اندازه ۹، متن مقاله با قلم "Times New Roman" اندازه ۱۰، و کلمات و متن انگلیسی با قلم Roman اندازه ۹ تایپ شوند.
- تمام متن بصورت تک فاصله تایپ شود. اسامی نویسنده‌گان از عنوان مقاله و اسامی نویسنده‌گان از عنوان محل اشتغال نویسنده‌گان دو خط فاصله داشته باشد. بالای هر عنوان یک سطر فاصله قرار داده شود.
- سعی شود تعداد صفحات مقاله از ۳۰ صفحه بیشتر نباشد.

#### ۶- نحوه ارسال مقاله

- ارسال مقاله فقط از طریق ایمیل مجله (csitjour@gmail.com) انجام شود.
- مقاله ارسالی برای نشریه علوم رایانش و فناوری اطلاعات نباید در جای دیگری به چاپ رسیده باشد و یا در زمان بررسی توسط نشریه برای چاپ به نشریه دیگری ارسال گردد.
- پس از قبول مقاله، نسخه نهائی تصحیح شده مقاله باید در قالب‌های Word و PDF به نشریه ارسال گردد.
- در نسخه نهائی باید بیوگرافی کلیه نویسنده‌گان (به زبان فارسی) و عکس آنها در انتهای مقاله قرار داده شود، همچنین عنوان مقاله، نام نویسنده‌گان، مؤسسه محل اشتغال، چکیده، کلمات کلیدی به زبان انگلیسی در فایل جداگانه ارسال شود.

# A Recommender System for the Tourism Industry, in the Context of Social Commerce: Based on the Similarity, Social Communities, Trust, and Reputation

**Leila Esmaeili      Seyyed Alireza Hashemi G.      Zeinab Zangeneh Madar**

Department of Computer Engineering and Information Technology, Amirkabir University of Technology, Tehran

## ABSTRACT

The internet and its services have significantly affected various businesses, including the tourism industry, and provided a wide range of diversity in the products and services. Due to a dramatic increase in the number of available options in travels, hotels, tourist attractions, etc., the process of decision-making has become more difficult for the consumer. As a result, Tourism Recommender Systems (TRS) have attracted the attention of researchers and businesses. Tourist attractions are often the reason why people love to travel. This research represents a social-hybrid recommender system in the context of a social commerce, which can create a personalized list of tourist attractions for each tourist, based on the similarities of the users' desires and interests, trust, reputation, communications, and social communities. The advantage of the proposed method in comparison with the traditional methods like collaborative filtering, content based filtering and hybrid, is the comprehensive usage of various factors and consideration of the trust factor in recommendation resources- as in the identification of the outliers. The results of the tests show the superiority of the presented method compared to other common methods; In addition, the proposed model can be used to recommend other products and services in the tourism industry and also in other social businesses.

**Keywords:** Social Commerce, Recommender System, Trust, Similarity, Communities, Reputation, Tourism Industry, Social Communications.

# Persian Multi-Documents Summarization by Deep Learning

**Shima Mehrabi      Hamid Reza Ahmadifar      Seyed Abolghasem Mirroshandel**

Faculty of Engineering, University of Guilan, Rasht, Iran

## ABSTRACT

With the increasing amount of the accessible textual information via internet, it seems necessary to have summarization system which is able to generate summary of information for user demands. Since long time ago, summarization has been considered by natural language processing researchers. Today, with improvement in processing power and development of computational tools, efforts to improve the performance of summarization system are continued. In this paper, a novel Persian multi-document summarization system is proposed that works based on a machine learning method called Deep Learning. Mostly Deep Learning uses artificial neural networks in learning process. The result of using deep learning in speech recognition and picture processing are sound promising which convinced natural language processing researchers to apply Deep Learning in NLP tasks. The proposed system ranks the sentences based on some predefined features and by using a deep artificial neural network called Autoencoder. The performance of the system is evaluated in Persian and the result of evaluations demonstrates the effectiveness and success of proposed summarization system.

**Keywords:** Artificial Neural Networks, Deep Learning, Multi-Documents Summarization, Persian Language Processing.

# System Level Multi-Core Thermal Management for Work-Stealing Based Parallel Programs

**Hamid Goharjoo<sup>1</sup>**

**Morteza Moradi<sup>1,2</sup>**

**Hamid Noori<sup>1,2</sup>**

<sup>1</sup>Faculty of Engineering, Ferdowsi University of Mashhad, Mashhad, Iran

<sup>2</sup>School of Computer Science, Institute for Research in Fundamental Sciences (IPM), Tehran, Iran

## ABSTRACT

In recent years, temperature and power consumption of multi-core processors have become major challenges for designers and users. As processor's temperature rises, cooling costs and power consumption increases and affects processor life time. According to our studies, no thermal management approach has been proposed at the operating system being aware of work-stealing scheduler in parallel programs. In this paper, a dynamic thermal management algorithm has been proposed at the operating system level that manages the processor temperature according to a threshold for work-stealing based parallel programs. Hence, we propose temperature and performance models to predict the future temperature and estimate the amount of program performance changes. Using proposed models, the proposed algorithm determines the appropriate number of active cores and processor frequency such that temperature does not violate the threshold and the performance degradation minimizes. Experiments show that the proposed algorithm has up to 28% higher performance than neighbor-aware algorithm and, unlike this algorithm, never violates the specified temperature threshold.

**Keywords:** Parallel Execution, Multi-core, Work-stealing, Operating System, Scheduler, Thermal Management.

# Prediction of Insurance Customers' Behavior Using a Combination of Data Mining Techniques

**Ehsan Mokhtari**

**Seyed Abolghasem MirRoshandel**

Faculty of Engineering, University of Guilan, Rasht, Iran

## ABSTRACT

Today, the segmentation and differentiation of customers based on their behaviors and needs is the most important action of insurance companies. Therefore, these companies widely and purposefully carry out advertising and marketing in all communication environments in order to identify and stimulate their clients. For better effectiveness of this approach, customers are segmented and differentiated based on special criteria and objectives. Clustering is an analytical method for detecting the performance and behavior of clients through their information. This allows companies to make decisions and carry out purposeful advertising toward them through the performance of clients. The main objective of this study is to provide a way to identify and predict the performance and behavior of new customers in choosing the insurance type in order to protect their house against risks by combining the K-medoids method with neural network to identify the cluster of new customers for offering insurance products advertisements. In this regard, due to the excess of characteristics in datasets and their dispersion, first the conceptual patterns have been discovered through K-means and K-medoids techniques and after determining the cluster of customers, their cluster is predicted using these patterns just through demographic information from new customers. The significant feature of this study is the combination of clustering and classification methods in pattern discovery. The conducted experiments show the success of proposed method in the recognition and discovery of customers' needs, behavior, and performance based on which advertising takes place.

**Keywords:** Marketing, Purposeful Advertising, Clustering, K-Medoids, K-Means, Neural System, Customer Segmentation, Pattern Discovery.

# Improving Rule-Based Machine Translation by Using Statistical Syntactic Rules

**Hakimeh Fadaei**

**Heshaam Faili**

**Farnaz Ghasemi**

School of Electrical and Computer Engineering, University of Tehran, Tehran, Iran

## ABSTRACT

Rule-based machine translation uses a set of linguistic rules in the process of translation. The results of these systems are usually better than the results of statistical models from grammatical and word order perspective. But it has been shown that statistical models are more powerful in selecting proper words and generating more fluent translations. In this paper our goal is to improve the word choice in rule-based machine translation. This is done by a set of lexical syntactic rules based on Tree Adjoining Grammar. These probabilistic rules are statistically extracted from a large parallel corpus. In the proposed system, the input sentence is first reordered by a rule-based system, and then the decoding is carried out monotonically by using dynamic programming. In this system the best translation is chosen based on the extracted rules and the language model score. The experiments on English-Persian translation showed that the proposed method resulted in an improvement of 1.3 in BLEU score in comparison to our baseline rule-based method.

**Keywords:** Hybrid Machine Translation, Rule-Based Machine Translation, Statistical Rules, Lexical Syntactic Rules, Tree Adjoining Grammar.

# Simultaneous Image Classification and Annotation Using Probabilistic Topic Models and LLC Encoding of Visual Words

**Seyed Navid Mohammadi Foumani**

**Ahmad Nickabadi**

Department of Computer Engineering and Information Technology, Amirkabir University of Technology, Tehran, Iran

## ABSTRACT

There have been several attempts so far to use topic models like LDA for simultaneous image classification and annotation. Recently, other models based on probabilistic neural networks, e.g. SupDocNADE, have been introduced with promising results in modeling multinomial data. In these models, annotation words along with visual words are embedded in the same framework and are considered as the feature vector. The imbalance between the number of visual words and annotation words may cause some problems. For instance, the contribution of the annotation words to the hidden representation is so smaller than the contribution of the visual words that the network might easily ignore it. To address this issue, we propose a weighting scheme for the annotation words. We also use LLC to generate the visual words in our proposed model. Experimental results show a 5% increase in the F-measure in the proposed annotation words and a 1% improvement in classification accuracy compared to existing models on UIUC\_Sports and LabelMe datasets.

**Keywords:** Image Classification and Annotation, Topic Models, Probabilistic Model, Neural Network, LLC Coding.

# The CSI Journal on Computing Science and Information Technology

---

Vol. 14

No. 2

2017

---

## ABSTRACTS

- **Simultaneous Image Classification and Annotation Using Probabilistic Topic Models and LLC Encoding of Visual Words .....** ..... 1  
Seyed Navid Mohammadi Foumani and Ahmad Nickabadi
- **Improving Rule-Based Machine Translation by Using Statistical Syntactic Rules .....** ..... 2  
Hakimeh Fadaei, Heshaam Faili and Farnaz Ghasemi
- **Prediction of Insurance Customers' Behavior Using a Combination of Data Mining Techniques .....** ..... 3  
Ehsan Mokhtari and Seyed Abolghasem MirRoshandel
- **System Level Multi-Core Thermal Management for Work-Stealing Based Parallel Programs .....** ..... 4  
Hamid Goharjoo, Morteza Moradi and Hamid Noori
- **Persian Multi-Documents Summarization by Deep Learning .....** ..... 5  
Shima Mehrabi, Hamid Reza Ahmadifar and Seyed Abolghasem Mirroshandel
- **A Recommender System for the Tourism Industry, in the Context of Social Commerce: Based on the Similarity, Social Communities, Trust, and Reputation .....** ..... 6  
Leila Esmaeili, Seyyed Alireza Hashemi G. and Zeinab Zangeneh Madar

# The CSI Journal on Computing Science and Information Technology

*A Semiannual Publication of Computer Society of Iran (CSI)*

## Editor-in-Chief

A. Khonsari, Associate Professor, University of Tehran, Tehran, Iran.

## Editorial Board

- H. R. Rabiee, Professor, Sharif University of Technology, Iran  
H. Sarbazi-azad, Professor, Sharif University of Technology, Iran  
K. Faez, Professor, Amirkabir University of Technology, Iran  
A. Ghaffarpour Rahbar, Professor, Sahand University of Technology  
E. Kabir, Professor, Tarbiat Modares University, Iran  
K. Navi, Professor, Shahid Beheshti University, Iran  
N. Yazdani, Professor, University of Tehran, Iran  
M. H. Yaghmaee Moghaddam, Professor, Ferdowsi University of Mashhad, Iran  
M. Analoui, Associate Professor, Iran University of Science & Technology, Iran  
M. Ebrahimi Moghaddam, Associate Professor, Shahid Beheshti University, Iran  
H. Asadi, Associate Professor, Sharif University of Technology, Iran  
A. Akbari, Associate Professor, Iran University of Science & Technology, Iran  
R. Berangi, Associate Professor, Iran University of Science & Technology, Iran  
H. Pedram, Associate Professor, Amirkabir University of Technology, Iran  
N. Moghadam Charkari, Associate Professor, Tarbiat Modares University, Iran
- G. Jaberipur, Associate Professor, Shahid Beheshti University, Iran  
J. Habibi, Associate Professor, Sharif University of Technology, Iran  
A. H. Jahangir, Associate Professor, Sharif University of Technology, Iran  
S. Hesabi, Associate Professor, Sharif University of Technology, Iran  
S. H. H. S. Javadi, Associate Professor, Shahed University, Iran  
M. Rahgozar, Associate Professor, University of Tehran, Iran  
M. Sedighi, Associate Professor, Amirkabir University of Technology, Iran  
H. Faili, Associate Professor, University of Tehran, Iran  
A. Ghasemi, Associate Professor, K.N. Toosi University of Technology, Iran  
M. Abbaspour, Associate Professor, Shahid Beheshti University, Iran  
M. Abdollahi Azgomi, Associate Professor, Iran University of Science & Technology, Iran  
M. Kargahi, Associate Professor, University of Tehran, Iran  
M. Goudarzi, Associate Professor, Sharif University of Technology, Iran  
N. Mozayani, Associate Professor, Iran University of Science & Technology, Iran

## Assistants

- L. Nourani, Publication Assistant  
M. Dolati, Editorial Assistant

**Disclaimer:** Publication of papers in CSI-CSIT does not imply that the editorial board, reviewers, or CSI-CSIT accept, approve or endorse the data and conclusions of authors.